

# **RAPORT STIINTIFIC**

## **pentru perioada 2012-2015 a proiectului PN-II-ID-PCCE-2011-2-0028**

Denumirea proiectului: **SISTEME DE INSPIRATIE BIOLOGICA PENTRU ENTITATI PROIECTATE STRUCTURAL SI FUNCTIONAL**

Coordonator: **INSTITUTUL DE CHIMIE MACROMOLECULARA „PETRU PONI” DIN IASI**

Director de proiect: **DR. MARIANA PINTEALA**

ADRESA WEB: [http://www.intelcentru.ro/Biomimetics\\_PCCE/ro/](http://www.intelcentru.ro/Biomimetics_PCCE/ro/)

[http://www.intelcentru.ro/Biomimetics\\_PCCE/ro/index.html](http://www.intelcentru.ro/Biomimetics_PCCE/ro/index.html)

### **CUPRINS:**

<b>Preambul .....</b>	<b>2</b>
<b>RAPORT STIINTIFIC pentru faza 2012 .....</b>	<b>3</b>
<b>RAPORT STIINTIFIC pentru faza 2013 .....</b>	<b>9</b>
<b>RAPORT STIINTIFIC pentru faza 2014 .....</b>	<b>30</b>
<b>Bibliografie 2012-2014 .....</b>	<b>86</b>
<b>RAPORT STIINTIFIC pentru faza 2015 .....</b>	<b>91</b>
<b>Bibliografie 2015 .....</b>	<b>130</b>

## PREAMBUL

Datorita cerintelor crescande pentru un nivel ridicat al calitatii vietii, in ultimii ani s-a remarcat o crestere a pietii de desfacere a produselor de uz biomedical, inregistrandu-se sporuri anuale ale vanzarilor de peste 29%, ceea ce a stimulat intensificarea cercetarilor si extinderea investitiilor in acest domeniu. Un rol important revine dispozitivelor dedicate medicinei regenerative si a sistemelor cu eliberare a principiilor active, inclusiv a materialului genetic. Astfel, din cele aproximativ 454,3 miliarde de dolari reprezentand valoarea estimata la nivelul anului 2014 pentru cele mai importante zece categorii de produse de uz biomedical si domeniile tehnologice aferente, piata sistemelor de eliberare a principiilor active reprezinta circa 110,8 miliarde (*Today's Medical Developments*)<sup>1</sup>.

Cautarea de noi metode pentru a controla interactiunile nanomaterialelor cu sistemele biologice, reprezinta una dintre provocarile recente pentru transpunerea acestor noilor (bio)tehnologii in terapii. Cercetarile recente urmăresc dezvoltarea de sisteme si dispozitive multifunctionale, proiectate rational, care sa asigure obtinerea performantelor vizate in sfera biomedicala. Obiectivele curente in acest sens sunt: (i) studiul fezabilitatii proceselor de mimare a mecanismelor viului, in scopul aducerii pe piata a unor tehnici terapeutice inovatoare, (ii) posibilitatea de a realiza sisteme multifunctionale care sa indeplineasca simultan multiple cerinte biologice si terapeutice si (iii) extinderea performantelor tehnicilor terapeutice seconde de micro- si nano-entitati, in conditie respectarii standardelor privind toxicologia si biocompatibilitatea.

In acest context, un rol important revine stiintei si ingineriei materialelor polimerice, in sensul controlului compozitiei, functionalitatii si topologiei polimerilor, pe fundalul utilizarii instrumentelor avansate de caracterizare, simulare si predictie<sup>2</sup>. In scopul generarii de arhitecturi macromoleculare complexe, capabile sa indeplineasca functii biologice, s-au dezvoltat strategii eficiente, care au la baza, pe de-o parte, utilizarea entitatilor functionale (macro)moleculare drept unitati de asamblare (building blocks), iar pe de alta, combinarea alternativelor conventionale si noi de preparare a respectivelor unitati.

Asigurarea concomitenta a performantelor fizico-chimice, biologice si a prelucrabilitatii, cu relevanta in aplicatiile clinice, impune combinarea de materiale din clase si subclase diferite (materiale organice/anorganice, polimeri sintetici si naturali etc.), dar si a unor procedee si sisteme din domenii diferite de aplicare.

**Obiectivul general al proiectului:** Proiectarea, generarea si caracterizarea unor entitati nano- si micro-structurate, active drept „unelte” in tehnicele de reprogramare si terapie genica, precum si in ingineria tisulara.

# **RAPORT STIINTIFIC**

## **pentru faza 2012, unica, a proiectului PN-II-ID-PCCE-2011-2-0028**

**Problematica abordata de catre colectivul proiectului PN-II-ID-PCCE-2011-2-028, in etapa 2012:**

### **1. Conceperea principiilor de realizare a vectorilor genetici non-virali**

#### **2. Realizarea de vectori non-virali:**

- sinteza si purificarea derivatilor de fullerena  $C_{60}$
- simularea moleculara a precursorilor vectorilor non-virali.
- sinteza, purificarea, caracterizarea si testarea citotoxicitatii pe linia celulara HepG2 a nanoparticulelor magnetice de tip miez-manta, cu structura magnetita-heparina-Rheina
- sinteza structurilor rotaxanice pe baza de ciclodextrina
- sinteza si caracterizarea nanoparticulelor cu capacitate de raspuns la stimuli externi
- obtinerea si caracterizarea precursorilor destinati realizarii substitutelor matricei extracelulare
- obtinerea si caracterizarea hidrogelurilor si a criogelurilor pe baza de atelocolagen si glicozamino-glicani, destinate realizarii substitutului matricei extracelulare

#### **3. Formarea si extinderea resursei umane alocate proiectului**

#### **4. Diseminarea rezultatelor studiilor derulate in cadrul etapei 2012 a proiectului**

**Preambul** - La originea multor afectiuni ale organismelor vii se regasesc gene imperfecte („defecte”), care determina evolutii anormale ori chiar aberante ale celulelor. Ele induc supraexprimarea unor proteine, sau determina biosinteza de protine nefunctionale, fapt care se soldeaza cu devierea severa a metabolismului celular, tisular, ori chiar al organismului in ansamblul sau, deviere ce poate conduce la moartea celulelor afectate, ori, dimpotriva, la „functionarea” lor la parametrii supradimensionati si/sau la multiplicarea lor necontrolabila. Pentru a corecta consecintele activitatii genelor „defecte”, terapia genica propune doua cai pentru interventia in functionarea aberanta a celulelor, respectiv:

(i) – introducerea unor gene suplimentare in zestrea genetica a celulelor afectate, gene care de regula sunt versiuni corect functionale ale celor „defecte”, dar care pot fi si distinste fata de acestea din urma, actionand complementar ori antagonice lor; in aceasta varianta de interventie, in nucleul celular se introduc tronsoane de ADN simplu sau dublu catenar ce poarta informatie genetica valida, ori plasmide ce au fost suplimentate cu tronsoane de ADN special inserate, purtatoare de informatie genetica;

(ii) – suspendarea manifestarii genelor „defecte” prin suprimarea replicarii lor in celulele fiice, prin limitarea transcrierii lor, ori prin interventia asupra mecanismelor post-transcriptionale, respectiv asupra sistemelor de traducere a informatiei genetice in structuri proteice (asa numita tehnica a interferentei ARN, RNAi, soldata cu moderarea exprimarii proteinelor codificate).

Procesul de introducere deliberata a acizilor nucleici (cDNA, dsDNA, ssDNA, siRNA) in celule eucariote uzand de vectori non-virali poarta denumirea de **transfектie**. Atunci cand se recurge la vectori virali, procesul este denumit **transductie**. Pentru „livrarea” informatiei genetice prin transfектie se aplica procedee fizice sau chimice (Figura 1).



**Figura 1. Cai uzuale pentru realizarea transfectiei asupra celulelor eucariote.**

**2. Obiectivul general al studiilor:** Proiectarea, generarea si caracterizarea unor entitati nano- si micro-structurate, active drept „unelte” in tehnicele de reprogramare si terapie genica, precum si in ingineria tisulara.

### 3. Problematica abordata de catre colectivul proiectului PN-II-ID-PCCE-2011-2-028, in etapa 2012

#### (i) – in planul conceperii principiilor realizarii de vectori genetici non-virali:

- constituirea unei baze documentare asupra tehnicielor si metodelor de transfectie, precum si asupra realizarii vectorilor genetici non-virali;
- proiectarea compozitionala si structurala a vectorilor genetici destinati transfectiei celulelor canceroase si a celor specifice tesutului osos;
- proiectarea metodelor de sinteza/preparare a precursorilor vectorilor genetici destinati transfectiei celulelor canceroase si specifice tesutului osos;
- stabilirea tehnicielor de investigare specifice etapelor de sinteza / preparare a precursorilor vectorilor genetici destinati transfectiei celulelor canceroase si specifice tesutului osos;
- stabilirea cailor si a etapelor de preparare a unor vectori non-virali ca entitati funktionale, caracterizate prin: (a) dimensiuni si conformatii apte asocierei cu tronsoane de ADN/ARN, in conditii non-inactivante; (b) solubilitate in mediu aproape, atat individual, cat si in asociere cu tronsoanele de ADN/ARN; (c) stabilitate compozitionala si conformationala in mediul tisular si intracelular; (d) abilitatea de a strapunge membrana celulara fara destructurarea asocierei cu acizii nucleici; (e) rezistenta la agresiunile enzimatiche din mediul intracelular; (f) trasabilitate fluorimetrica *per se* si in asociere cu tronsoane de acizi nucleici; (g) posibilitatea de determinare cantitativa extra- si intra-cellulara, prin tehnici non-invazive; (h) destruitibilitate extra- si intra-cellulara in regim controlat, fara generarea de debriuri cito-toxice, imunogene ori sistemic adverse;
- stabilirea cailor si a etapelor de preparare si de conditionare a substitutelor matricei extracelulare apte a functiona drept „rezervoare” de material genetic in tehnicele de transfectie osoasa;
- identificarea exigentelor si a restrictiilor impuse compusilor utilizabili pentru realizarea vectorilor non-virali cu rol terapeutic in diverse forme de cancer si cu rol de „rezervor” in transfectia osoasa;

**(ii) – in planul studiilor experimentale privind realizarea de vectori genetici non-virali,** a se vedea punctul 4, „Rezultate experimentale obtinute in cadrul fazei 2012”;

#### (iii) – in planul formarii si extinderii resursei umane alocate proiectului:

- stabilirea necesarului de manopera in etapa 2012 a proiectului;
- stabilirea sarcinilor de lucru in cadrul etapei 2012 a proiectului;

- derularea etapelor legale privind angrenarea si remunerarea personalului necesar derularii proiectului;
- ocuparea unei pozitii postdoctorale prin concurs (pagina ANCS (nr. 8166), EURAXESS (nr. 33821331)).

**(iv) – in planul asigurarii materiale a derularii proiectului:**

- inventarierea si stabilirea functionalitatii echipamentelor suport pentru realizarea sarcinilor in cadrul proiectului, echipamente deja disponibile colectivelor partenerilor implicati in proiect;
- stabilirea necesarului de echipamente noi si de instrumentar de laborator suplimentar, destinate derularii experimentelor in cadrul proiectului;
- stabilirea necesarului de facilitati si utilitati necesare derularii etapei 2012 a proiectului;
- derularea etapelor legale privind achizitionarea de echipamente noi si de instrumentar de laborator;
- derularea etapelor legale privind achizitionarea de facilitati si servicii necesare derularii etapei 2012 a proiectului;
- stabilirea necesarului de reactivi implicati in derularea experimentelor in etapa 2012 a proiectului;
- derularea etapelor legale privind achizitionarea de reactivi necesari derularii etapei 2012 a proiectului;

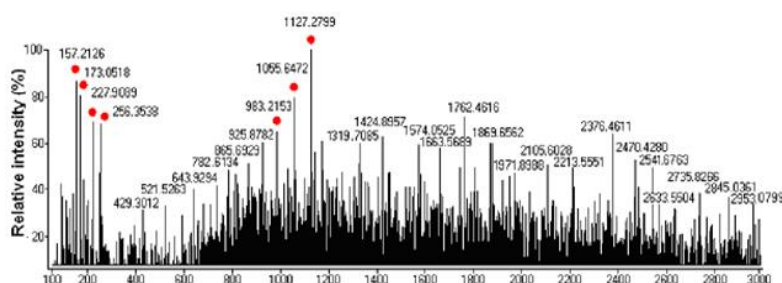
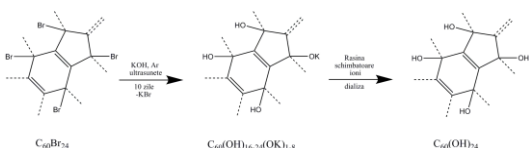
**(v) – in planul diseminarii rezultatelor studiilor derulate in cadrul etapei 2012 a proiectului:**

- evaluarea volumului de date experimentale disponibile;
- evaluarea nivelului fezabil privind accesul cu lucrari in publicatii si la manifestari stiintifice;
- pregatirea manuscriselor si depunerea lor spre publicare in cea mai favorabila varianta;
- diseminarea rezultatelor obtinute, in cadrul unor manifestari stiintifice nationale si internationale.

## 4. Rezultate experimentale obtinute in cadrul fazei 2012

### 4.1. Sinteza si purificarea derivatilor de fullerena C<sub>60</sub> (C<sub>60</sub>(Br)<sub>24</sub>, C<sub>60</sub>(OH)<sub>24</sub>, C<sub>60</sub>(COOH)<sub>24</sub>), in calitate de precursori pentru obtinerea de vectori non-virali.

Fullerena bromurata (C<sub>60</sub>(Br)<sub>24</sub>) s-a obtinut prin reactia de aditie 1,4 a bromului la C<sub>60</sub>, reactie catalizata de ferul metalic<sup>3</sup>. Solutia apoasa bazica de C<sub>60</sub>(Br)<sub>24</sub> a fost mentinuta la temperatura camerei timp de zece zile, sub agitare continua si ultrasonata zilnic (cate 10 min.). Supernatantul rezultat in urma centrifugarii a fost tratat cu rasina schimbatoare de ioni pentru indepartea ionilor de potasiu si supus dializei timp de patru zile<sup>4,5</sup> (Schema 1). C<sub>60</sub>(COOH)<sub>24</sub> a fost obtinut prin rectia gruparilor hidroxilice ale C<sub>60</sub>(OH)<sub>24</sub> (dizolvat in THF anhidru) cu anhidrida succinica, la temperatura camerei, sub agitare in atmosfera inerta timp de 24 ore, in prezenta trietilaminei. Structura compusilor C<sub>60</sub>(OH)<sub>24</sub>, C<sub>60</sub>(COOH)<sub>24</sub> a fost elucidata prin spectroscopie de masa (ESI-MS), in ionizare negativa. In spectrul de masa (Figura 2) se observa picul predominant m/z = 1127,2799, specific pentru C<sub>60</sub>(OH)<sub>24</sub>.

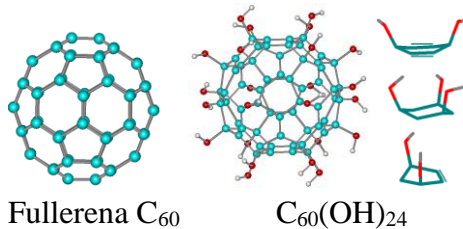


**Schema 1.** Sinteza fullerenolului C<sub>60</sub>(OH)<sub>24</sub>

**Figura 2.** Spectrul de masa al C<sub>60</sub>(OH)<sub>24</sub> in ionizare negativa

## 4.2. Simularea moleculara a precursorilor vectorilor non-virali.

Formarea, stabilitatea si reactivitatea compusului  $C_{60}(OH)_{24}$  a fost confirmata si prin calcul teoretic *in silico*. Moleculele de fullerenă si  $C_{60}(OH)_{24}$  au fost optimizate, fara restrictii de simetrie, prin metoda semi-empirica PM3, iar apoi prin metoda DFT, folosind functionala B3LYP/6-31G.

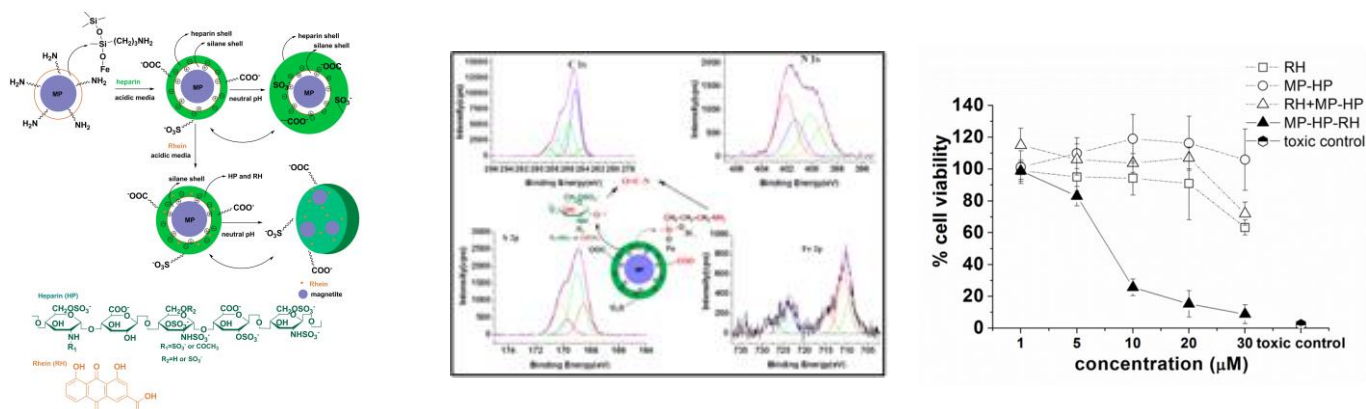


**Figura 3.** Structura optimizata a precursorului fulerenic

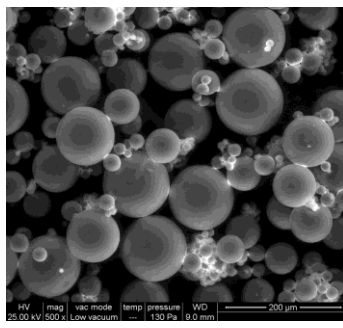
Pierderea conjugarii extinse in urma functionalizarii produce modificari conformatoare specifice, dependente de gradul de nesaturare al ciclurilor condensate (ciclurile saturate de ciclohexan trisubstituite au o conformatie de tip scaun, in care substituentii hidroxil se gasesc in pozitiile axiale, pozitiile ecuatoriale fiind implicate in interconectarea cu ceilalți atomi din scheletul de baza). De aceea, reactia tuturor grupelor functionale ar putea fi dificila, dar este fezabila, in timp ce reactia parțiala ar trebui sa decurgă in conditii uzuale (reactivitatea gruparilor hidroxilice ar trebui sa fie similara cu cea a alcoolilor terțiari).

## 4.3. Sinteza, purificarea, caracterizarea si testarea citotoxicitatii pe linia celulara HepG2 a nanoparticulelor magnetice de tip miez-manta, cu structura magnetita-heparina-Rheina, in calitatea lor de sisteme nanometrice dirijabile la tinta, ce poseda activitate anticoagulanta si antitumorală.

Nanoparticulele magnetice acoperite cu specii chimice active mic- sau macro-moleculare pot fi dirigate si retinute in tesuturi prin intermediul unui camp magnetic local. Astfel de entitati s-au aplicat in imagistica de rezonanta magnetica nucleara, ca vectori pentru hipertermie in tratarea tumorilor maligne solide, sau ca agenti de transport a unor principii bioactive<sup>6,7</sup>. In acest context a fost conceput, sintetizat si caracterizat un agent de transport complex, cu dimensiuni de  $8 \pm 2$  nm, alcătuit dintr-un miez magnetic acoperit cu heparina, capabil a fi incarcat cu Rheina (medicament cu actiune antitumorală), ce a dovedit dubla functionalitate, respectiv ca sistem de vehiculare/eliberare a medicamentului si ca vector termoinductor in hipertermia curativa a cancerelor (Figura 4). Caracteristicile fizico-chimice si morfologice ale particulelor au fost evaluate prin FTIR, spectroscopie fotoelectronica de raze X (XPS), difuzia dinamica a luminii (DLS) si microscopia electronica de transmisie de inalta rezolutie (HRTEM), iar profilul eliberarii medicamentului s-a urmarit in UV-Vis. Citotoxicitatea complexului resultat a fost testata *in vitro* pe o linie celulara de hepatocarcinom, HepG2. Rezultatele releva o activitate citotoxica ridicata, ce atinge maximul la o concentratie a Rheinei de 30  $\mu$ M.



**Figura 4.** Sinteza, caracterizarea si testarea citotoxicitatii nanoparticulelor de magnetita-heparina-Rheina.

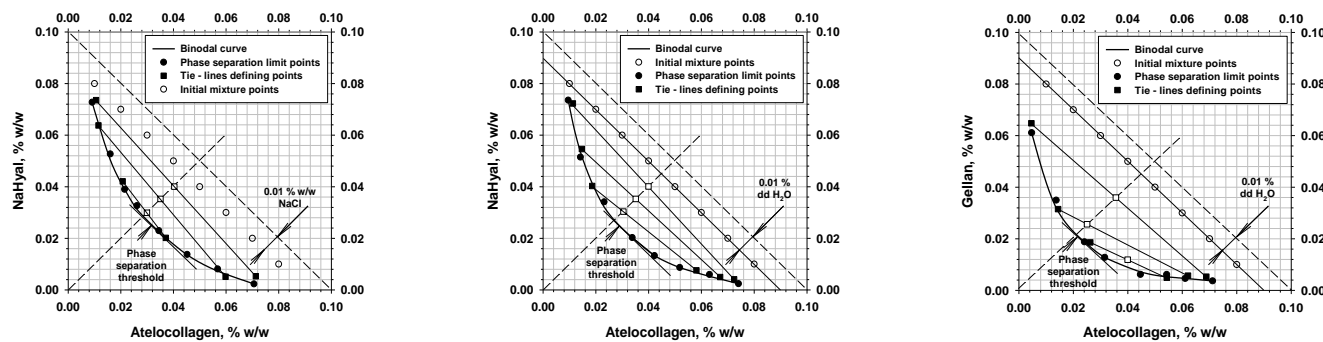


**Figura 5.** Microsfere de poli(NIPAAm-co-HEAAm)

isopropilacrilamida-co-N-hidroxietilacrilamida) reticulat cu aldehida glutarica sub temperatura LCST (Lower Critical Solution Temperature) (Figura 5). Copolimerul prezinta tranzitii de faza ( proprietati termosenzitive) la temperaturi de circa 37°C. LCST a fost determinat in conditii fiziologice, prin microcalorimetrie si turbidimetrie. Curba de eliberare a speciilor mic moleculare incarcate in microsfere prezinta un salt net la variația temperaturii de la 32 la 40°C.

#### 4.6. Obtinerea si caracterizarea precursorilor destinati realizarii substitutelor matricei extracelulare

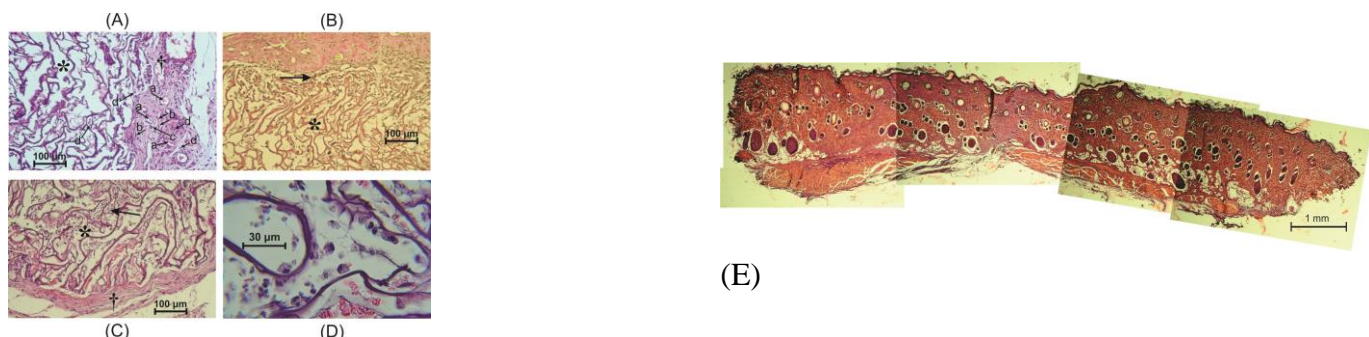
Strategia experimentală generală avută în vedere în cazul precursorilor componente organice a compozitului ce urmează a constitui substitutul matricei extracelulare cuprinde: **(i)** prepararea soluțiilor coloidale ale precursorilor (aK: atelocolagen, NaHyal: sare de sodiu a acidului hialuronic, Gellan: gelan nativ); **(ii)** investigarea comparativă a domeniilor de autoasociere a macromolecuelor de scleroproteina (aK) și polizaharide (NaHyal și Gellan) pe scara de pH; **(iii)** estimarea pragului la care apare efectul de „incalcire” (entanglement threshold) în soluțiile de biopolimeri, precum și a dependenței acestui efect de temperatura soluțiilor coloidale; **(iv)** estimarea dependenței vascosității soluțiilor diluate de biopolimeri cu temperatura; **(v)** estimarea domeniilor de concentrație fezabile la amestecarea aK cu NaHyal și respectiv cu Gellan, astfel încât să nu se depasească pragul de „incalcire” al biomacromoleculelor în soluția rezultată; **(vi)** investigarea segregării de fază în amestecuri binare de aK și polizaharide; **(vii)** stabilirea limitelor de miscibilitate în amestecuri ternare de aK, NaHyal și Gellan. Diagramele binare de fază obținute în cadrul etapei (vi) sunt prezentate în figura 6.



**Figura 6.** Diagramele binare de fază pentru amestecurile de atelocolagen și hialuronat, respectiv gelan.

#### 4.7. Obtinerea si caracterizarea hidrogelurilor si a criogelurilor pe baza de atelocolagen si glicozamino-glicani, destinate realizarii substitutului matricei extracelulare, prin tehnici combinate de reticulare cu polimeri bifunctionali reactivi (agenti de reticulare la mare distanță), urmata de iradiere UV (reticulare la mica distanță). Opt variante de criogeluri atelocolagen / dimetilsilandiol - hialuronat / poli(ε-

caprolactona) (AteCol-DMSHA-PCL) au fost produse si testate *in vitro* si *in vivo*. Biocompatibilitatea si totala bioresorbabilitate a probelor sunt dovedite prin analiza histologica a situsurilor de implantare in derma animalelor de laborator (Figura 7).



**Figura 7.** Caracterizarea histologica a situsului de implantare a criogelurilor testate, in cursul resorbtiei la nivelul dermei (A – D) si la finalul procesului de resorbtie si remodelare tisulara (E).

### Rezultatele stiintifice ale derularii etapei 2012 in cadrul proiectului PN-II-ID-PCCE-2011-2-0028

#### **Sinoptic:**

- lucrari stiintifice publicate: **2**;
- lucrari stiintifice trimise spre publicare: **7**;
- participari la manifestari stiintifice, prezентari orale si postere: **14**;
- cursuri / traininguri: **6**;
- actualizare pagina web: <http://www.intelcentru.ro/index-5-a.html>;
- lansare proiect: 27 iunie 2012 la sediul beneficiarului.

**RAPORT STIINTIFIC**  
**pentru faza 2013, unica, a proiectului PN-II-ID-PCCE-2011-2-0028**

**Problematica abordata in cadrul proiectului PN-II-ID-PCCE-2011-2-028, in etapa 2013**

Conform obiectivelor prevazute pentru etapa 2013, activitatile in cadrul proiectului au vizat:

**(i) - in planul formularii principiilor si in cel al studiilor experimentale privind realizarea de vectori genetici non-virali:**

- elaborarea schemelor si alternativelor de sinteza, precum si a protocoalelor de caracterizare a unor precursori si vectori unitari destinati transfectiei mediate non-viral;
- sinteza si caracterizarea unor carrieri particulati, de tipul microsferelor termosensibile, destinati legarii si vehicularii unor adjuvanti ai transfectarii *ex-vivo* (specii farmacologic-active model);
- sinteza si caracterizarea unor (nano)conjugate apte a chemo-mima histonele, asociind reversibil acizi nucleici in vederea vehicularii lor in proceduri *ex-vivo*;
- generarea si caracterizarea unor structuri tridimensionale apte a functiona drept substrat citoprietenos cu abilitati de transfectie, din clasa substitutelor matricei extracelulare a tesutului osos;

**(ii) - in planul coeziunii colectivelor si in cel al extinderii competentelor profesionale:**

- formarea profesionala integrata, complementara, prin elaborarea in comun a strategiilor de documentare si experimentare, precum si a politicii de diseminare a rezultatelor stiintifice;

**(iii) - in planul asigurarii materiale a derularii proiectului:**

- evaluarea functionalitatii echipamentelor suport ce sustin realizarea sarcinilor de cercetare in cadrul proiectului;
- achizitionarea de echipamente noi, instrumentar de laborator, reactivi necesari derularii etapei 2013 si/sau a studiilor preliminare pentru etapa 2014 a proiectului;
- asigurarea functionalitatii echipamentelor achizitionate;
- stabilirea necesarului de echipamente noi, de instrumentar de laborator si de reactivi destinate derularii experimentelor in cadrul etapei 2014 a proiectului;

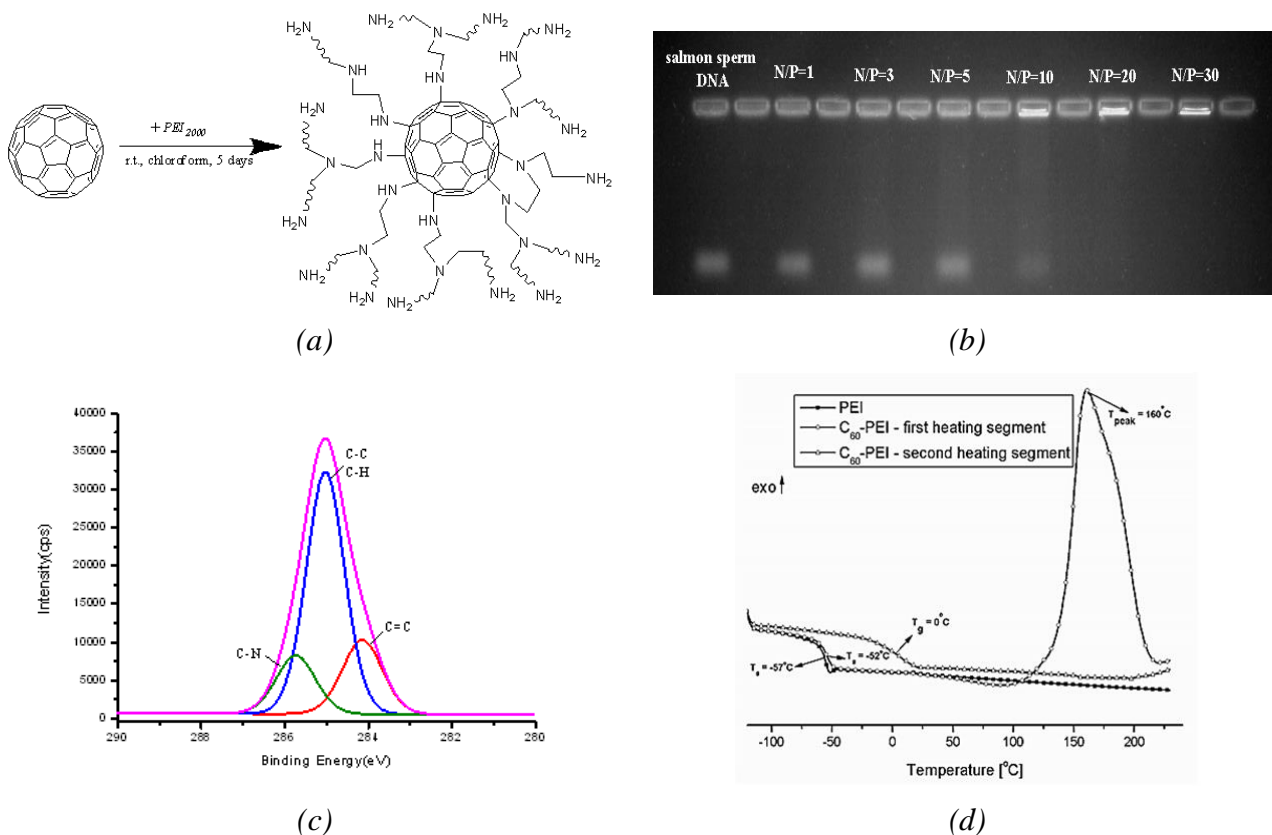
**(iv) - in planul diseminarii rezultatelor studiilor derulate in cadrul etapei 2013 a proiectului:**

- evaluarea volumului de date experimentale disponibile si a bazei documentare si logistice pentru raportarea rezultatelor in cadrul etapei 2013, precum si schitarea sarcinilor de experimentare si modelare pentru sustinerea diseminarii rezultatelor in cadrul etapei urmatoare;
- participare la manifestari stiintifice;
- efectuare de stagii de pregatire si training-uri in laboratoare din strainatate;
- pregatirea manuscriselor si depunerea lor spre publicare.

## 1. Rezultate experimentale obtinute in cadrul fazei 2013 a proiectului

### 1.1. Obtinerea si caracterizarea unor conjugate ale fullerenei, cu abilitati de vector genetic

Un carrier unitar avand fullerena C<sub>60</sub> drept entitate centrala si polietilenimina ramificata (PEI, M<sub>n</sub> 2000) drept invelis cationic a fost sintetizat conform schemei de reactie generice prezentata in Figura 1.a. Cinetica reactiei a fost urmarita prin spectroscopie UV-VIS, monitorizand picul de la  $\lambda=330$  nm pana la disparitia sa<sup>8</sup>. Abilitatea conjugatului de a transporta tronsoane de ADN cu lungimea de 25 kilobaze azotate, extras din sperma de somon, a fost demonstrata prin electroforeza pe gel de agaroză, pentru diverse rapoarte intre numarul de moli de grupari aminice ale carrier-ului si numarul de moli de grupari fosfat ale ADN-ului (N/P), asa cum se prezinta in Figura 1.b. Caracterizarea fizico-chimica a carrier-ului unitar s-a efectuat, intre altele, prin analiza XPS si termogravimetrica<sup>9</sup> (Figurile 1.c. si 1.d.; tabelul 1). Diferenta de 5°C intre temperatura de vitrifiere, T<sub>g</sub>, pentru PEI (-57°C) si cea pentru conjugatul C<sub>60</sub> – PEI (-52°C) confirma faptul ca fullerena a reacționat cu polimerul prin formarea a cel putin unei legaturi covalente (-C–NH–), iar picul exoterm de la 160°C pune in evidenta impachetarea conjugatului printr-un proces similar cristalizarii, ca urmare a grefarii macromoleculelor de PEI pe suprafata C<sub>60</sub>.



**Figura 1.** Schema de sinteza a carrier-ului unitar C<sub>60</sub> – PEI si caracterizarea acestuia.

**Tabelul 1.** Rezultatele analizei XPS pentru conjugatul C<sub>60</sub> – PEI.

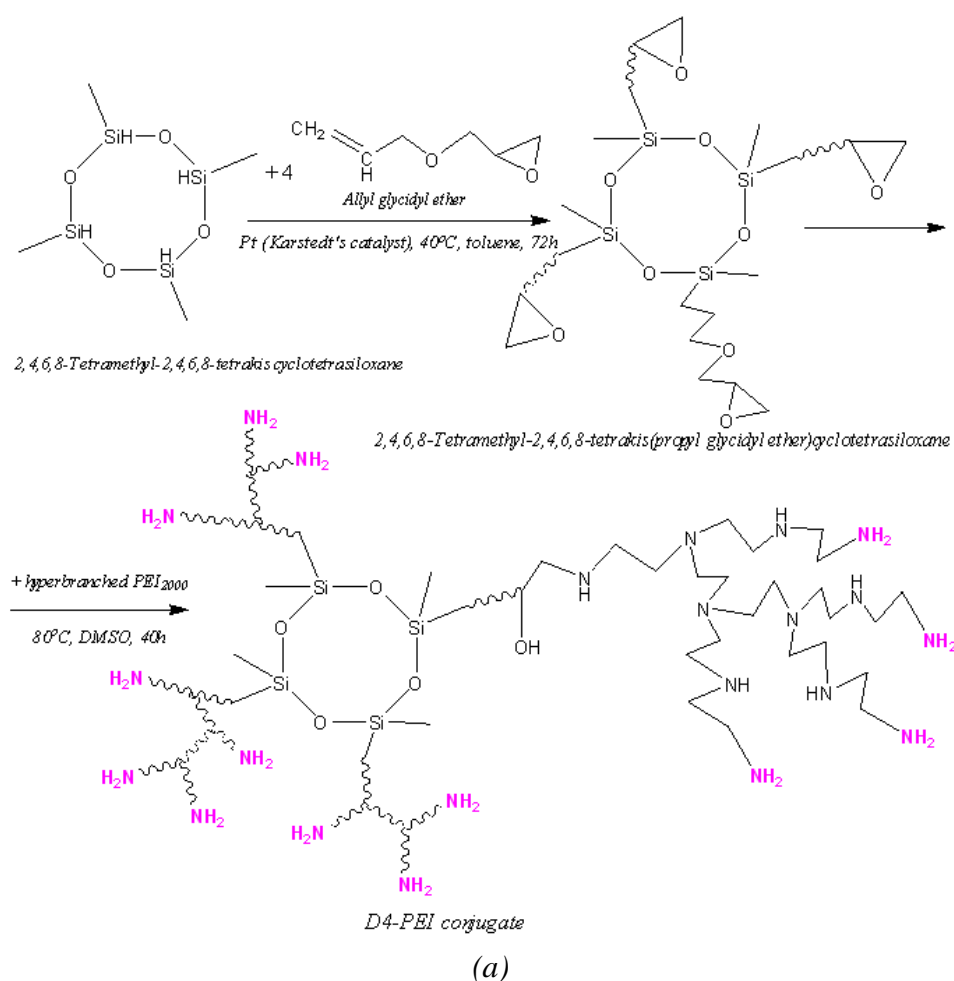
Elementul chimic	C	N	Atribuirea legaturilor	C=C	C-C/C-H	C-N
Concentratia elementala (%)	72.41	27.59	Energia de legatura (eV)	284.2	285	285.7
Concentratia masica (%)	69.23	30.77	Concentratia relativa (%)	20.49	63.66	15.85

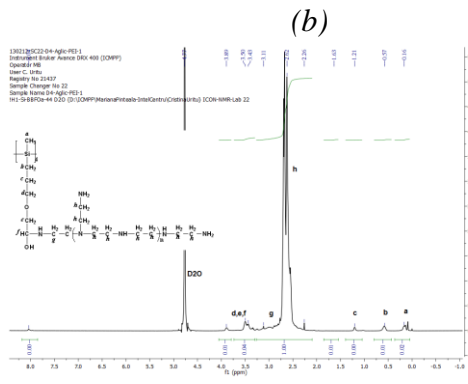
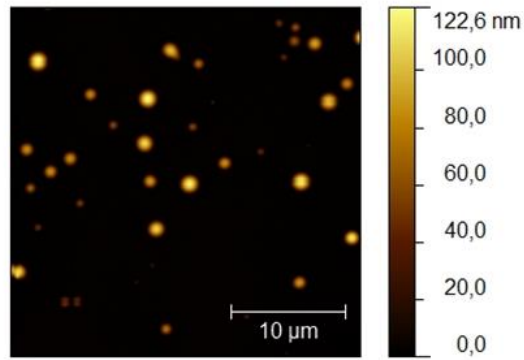
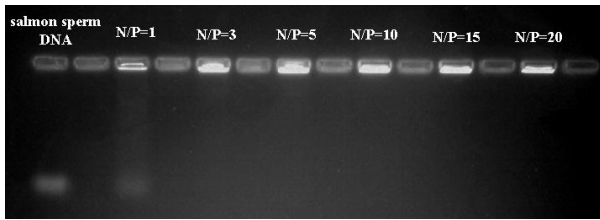
## 1.2. Obtinerea si caracterizarea unor conjugate de tipul 2,4,6,8-tetrametil-ciclo-tetrasiloxan-PEI (D4-PEI)

Sinteza conjugatului dintre 2,4,6,8-tetrametil-2,4,6,8-tetrakis-ciclo-tetrasiloxan si polietilenimina ramificata s-a realizat in doua etape, conform schemei de reactie din Figura 2.a. Capacitatea sa de transport a ADN-ului s-a determinat prin electroforeza pe gel de agaroză (Figura 2.b), similar tehnicii mentionate in paragraful 4.1. Dimensiunile complexului conjugat – ADN au fost masurate prin AFM (Figura 2.c). Structura sa a fost pusa in evidenta, intre altele, prin  $^1\text{H}$ -RMN si XPS (Figurile 2.d si 2.e; Tabelul 2).

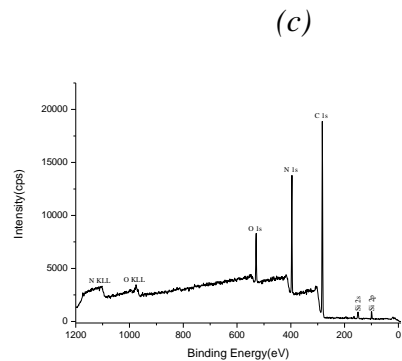
**Tabelul 2.** Rezultatele analizei XPS pentru conjugatul D4-PEI.

Elementul	O	N	C	Si
Concentratia elementala (%)	7.43	24.48	65.94	2.15
Concentratia masica (%)	9.05	26.10	60.27	4.59





(d)



(e)

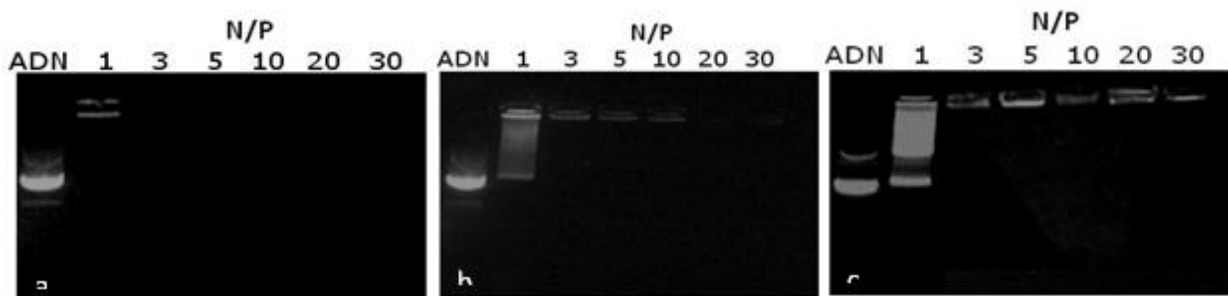
**Figura 2.** Schema de sinteza si caracterizarea carrier-ului cu miez ciclo-siloxanic si invelis cationic.

Electroforeza pe gel de agaroză pentru diferite rapoarte N/P a confirmat abilitatea carrier-ului D4/PEI de a complexa tronsoanele de ADN din sperma de somon (25 kb lungime). Valorile potentialului zeta ale complecșilor formati variaza intre 20 mV, pentru D4/PEI neincarcat, si -20 mV pentru o incarcare cu ADN la raportul N/P de aproximativ 1:1, confirmand o data in plus abilitatea conjugatului D4/PEI de a complexa ADN. Pentru cargocomplexul D4-PEI/ADN cu aceeasi incarcare (raportul N/P de 1:1) imaginea AFM pune in evidenta o morfologie sferoidală, la dimensiuni omogene de circa 200 nm.

### 1.3. Studiul *in vitro* a cargocomplecsilor C<sub>60</sub>-PEI/ADN si D4-PEI/ADN

Studiul *in vitro* s-a realizat pentru conjugatele C<sub>60</sub>-PEI cu compozitia elementala 76,63 % C si 23,37 % N, respectiv D4-PEI continand 4,59 % Si, 60,27 % C, 26,1 % N si 9,05 % O, prin comparare cu compusul model PEI, caracterizat prin compozitia elementala 62,01 % C si 37.99 % N, toate contributiile procentuale fiind determinate prin analiza XPS. Drept partener de complexare s-a utilizat plasmida pEYFP-C1, care codifica o proteina fluorescenta cu lungimile de unda de excitatie/emisie: 513/527 nm. Cunoscandu-se ca 1 mg DNA plasmidic contine 3 μmoli de fosfor, s-au calculat diverse rapoarte N/P prin varierea cantitatii de carrier, pentru o cantitate constanta de ADN. Conjugatele C<sub>60</sub>-PEI/ADN, D4-PEI/ADN, PEI/ADN au fost incubate timp de 30 minute la temperatura ambianta, inaintea utilizarii, iar apoi au fost analizate prin electroforeza pe gel de 0.8% agaroză continand SYBR® Green (pentru colorarea ADN) in tampon TAE (Tris-acetat - EDTA). Electroforeza a fost efectuata la o diferență de potential de 60 V, timp de 30 minute. La final, gelurile au fost fotografiate sub expunere la UV (Figura 3). Rezultatele DLS (prezentate in Tabelul 3) indica faptul ca nu apar modificari semnificative ale dimensiunilor carrier-ilor inainte si dupa complexarea cu ADN (pEYFP), un bun indiciu asupra capacitatii de incarcare cu plasmid, fapt echivalent cu

o foarte buna impachetare a ADN-ului in cargocomplex. Asadar, carrier-ii nanoparticulati sintetizati si testati isi joaca, *in vitro*, in mod evident, rolul scontat, acela de vector genetic non-viral.

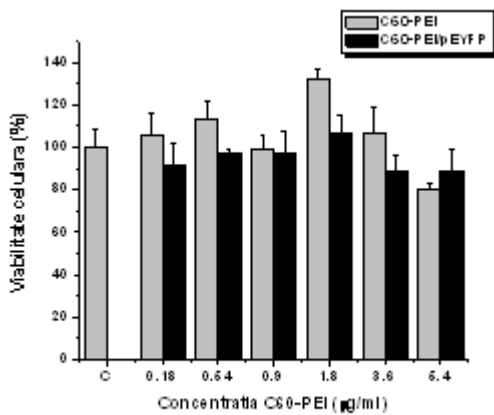


**Figura 3.** Rezultatele electroforezei pe gel de agaroză a cargocomplecsilor  $C_{60}$ -PEI/pEYFP (a), D4-PEI/pEYFP (b) și PEI/pEYFP (c), pentru diferite rapoarte N/P. Cantități crescănde de carrieri ( $C_{60}$ -PEI, D4-PEI și PEI) au fost adăugate la o cantitate constantă de ADN, de  $1\mu\text{g/mL}$ , pentru a se obține valori ale raportului N/P de 1:1, 3:1, 5:1, 10:1, 20:1 și 30:1.

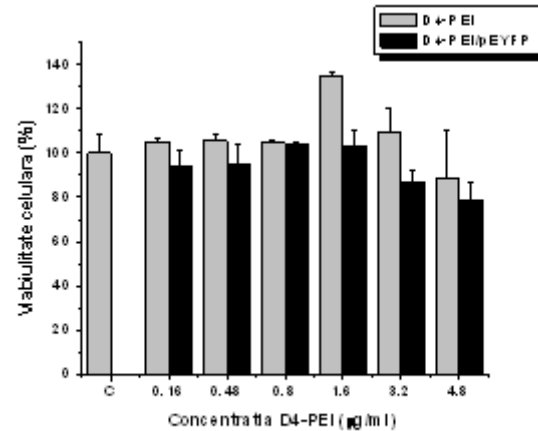
Citotoxicitatea cargocomplecsilor incarcati sau nu cu ADN a fost testata asupra liniei celulare HEK 293T. Analizand rezultatele prezentate in Figurile 4.a si 4.b se constata, in cazul incubarii in prezenta  $C_{60}$ -PEI, D4-PEI,  $C_{60}$ -PEI/pADN si D4-PEI/pADN, ca viabilitatea celulelor se situeaza in plaja culturii de control (notata cu C), insa pentru concentratii de peste  $5.4\mu\text{g/mL}$ , pentru  $C_{60}$ -PEI, respectiv de peste  $4.8\mu\text{g/mL}$ , pentru D4-PEI, viabilitatea se reduce la circa 80 % in raport cu cultura de control. In cazul compusului PEI (Figura 4.c) se constata scaderea progresiva a viabilitatii pentru concentratii mai mari decat  $0.55\mu\text{g/mL}$ , atingandu-se o valoare de circa 50 % in cazul concentratiilor de  $2.2\mu\text{g/mL}$  si  $3.3\mu\text{g/mL}$ , concentratii de PEI similre cu cele utilizate pentru obtinerea rapoartelor N/P de 20:1 si respectiv 30:1. Asadar, complexarea PEI cu pADN determina cresterea viabilitatii celulare la valori peste cele ale probelor de control (celule incubate in mediu de cultura in absenta PEI ori a cargocomplecsilor incarcati sau nu cu pADN), pentru concentratii ale PEI intre 0.1 si  $2.2\mu\text{g/mL}$ . Incubarea celulelor HEK 293T in prezenta cargocomplecsilor incarcati cu pADN, la concentratii echivalente in PEI de  $3.3\mu\text{g/mL}$  determina reducerea viabilitatii pana la circa 70 % in raport cu proba de control.

**Tabelul 3.** Rezultatele analizei DLS pentru cargocomplecsii incarcati cu ADN plasmidic si respectiv liberi de acesta, prin comparatie cu etalonul PEI.

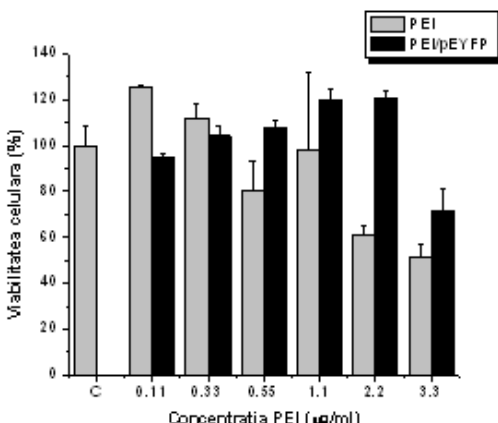
Proba	Dimensiunea (nm) ± SD					
	N/P 1:1	N/P 3:1	N/P 5:1	N/P 10:1	N/P 20:1	N/P 30:1
$C_{60}$ -PEI/pADN	$8.4 \pm 0.8$ (99.9%) $54 \pm 5.5$ (0.1%)	$8.4 \pm 0.8$ (99.4%) $51.5 \pm 6.5$ (0.6%)	$7.3 \pm 1.3$ (99.5%) $84 \pm 8$ (0.43%)	$8.4 \pm 0.8$ (99.5%) $73.9 \pm 8.1$ (0.5%)	$5.7 \pm 0.3$ (82.99%) $12.7 \pm 1.8$ (16.96%) $205.2 \pm 20.7$ (0.05%)	$7 \pm 0.6$ (97.35%) $18.6 \pm 2$ (2.64%)
D4-PEI/pADN	$6.1 \pm 0.6$ (88.5%) $15.7 \pm 1.6$ (11.46%) $224 \pm 14.2$ (0.04%)	$6.2 \pm 0.8$ (88.5%) $60.4 \pm 7.2$ (0.55%)	$8.5 \pm 1.1$ (99.3%) $59.3 \pm 5.4$ (0.67%)	$7.4 \pm 0.7$ (99.76%) $70.4 \pm 2.9$ (0.24%)	$6.5 \pm 0.6$ (92.46%) $17.2 \pm 1.9$ (7.5%)	$6.3 \pm 0.5$ (100%)
PEI/pADN	$7.7 \pm 0.7$ (97.56%) $31 \pm 2.9$ (2.4%) $228.6 \pm 12.2$ (0.05%)	$7.2 \pm 0.8$ (95.33%) $21.9 \pm 2.7$ (4.62%) $228.5 \pm 12.2$ (0.05%)	$5.7 \pm 0.3$ (86.27%) $15.4 \pm 1$ (11.91%) $21.8 \pm 0.9$ (1.83%)	$6.2 \pm 0.3$ (59.12%) $10.1 \pm 1.1$ (40.66%) $92.5 \pm 0.3$ (0.22%)	$7.4 \pm 0.8$ (98.17%) $36.2 \pm 3.9$ (1.8%) $229 \pm 21$ (0.02%)	$6.6 \pm 0.7$ (99.96%) $228.5 \pm 12.3$ (0.04%)
$C_{60}$ -PEI			$7.08 \pm 0.89$ $60.46 \pm 19.18$	(98.89%) (1.11%)		
D4-PEI			$7.18 \pm 1.29$ $32.46 \pm 18.06$ $215.66 \pm 23.18$	(82.6%) (17.38%) (0.02%)		
PEI			$7.35 \pm 0.723$ $31.2 \pm 8.1$ $219 \pm 8.48$	(97.1%) (2.88%) (8.48%)		



(a)



(b)



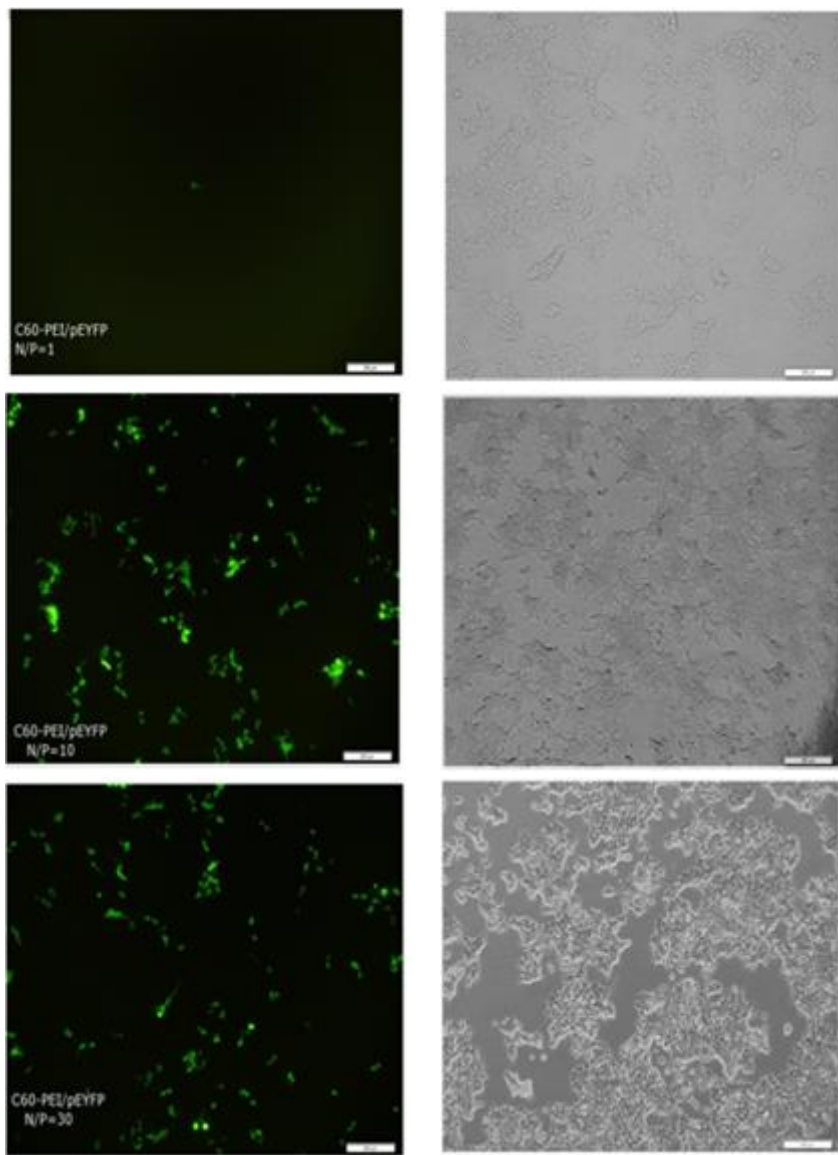
(c)

**Figura 4.** Citotoxicitatea compusilor C<sub>60</sub>-PEI (a), D<sub>4</sub>-PEI (b) si PEI (c), liberi sau complexati cu ADN plasmidic pEYFP, indusa asupra celulelor epiteliale HEK 293T, dupa 48 de ore, in cultura.

Concentratia pADN a fost mentinuta la valoarea constanta de 1μg/mL, iar concentratia compusilor studiati a fost variata astfel incat sa se obtina rapoarte N/P de 1:1, 3:1, 5:1, 10:1, 20:1 si 30:1.

#### 1.4. Evaluarea eficientei de transfectie *in vitro* a cargocomplecsilor C<sub>60</sub>-PEI/ADN si D4-PEI/ADN

Expresia genei reporter purtate de plasmida pEYFP-C1 si respectiv exprimarea proteinei fluorescente YFP ca urmare a transfectarii aplicate liniei celulare HEK 293T a fost estimata prin tehnica microscopiei de fluorescenta, utilizand microscopul Olympus IX81. Au fost astfel obtinute imagini reprezentative pentru transfectarea cargocomplecsilor C<sub>60</sub>-PEI/pEYFP, D<sub>4</sub>-PEI/pEYFP si pentru poliplexul PEI/pEYFP, la rapoartele N/P de 1:1, 10:1, 20:1 si 30:1. Figura 5 prezinta, in mod ilustrativ, efectele transfectiei efectuate cu cargocomplexul C<sub>60</sub>-PEI/pEYFP. Eficienta de transfectie asupra celulelor HEK 293T atinge un maxim pentru raportul N/P de 1:10, scazand apoi in seria experimentală. Transfectarea mediata de cargocomplexul D<sub>4</sub>-PEI/pEYFP si de catre poliplexul PEI/pEYFP conduce la exprimarea proteinei YFP in cantitati extrem de scazute (sub 10 celule transfectate per camp, in observarea la o marire de 400 de ori).

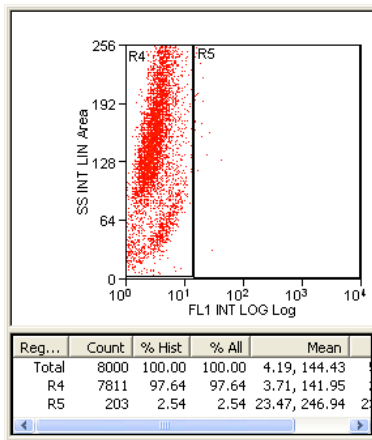


**Figura 5.** Imagini obtinute prin microscopie de fluorescenta (stanga) si cu contrast de faza (dreapta) pentru acelasi camp, reprezentand exprimarea proteinei fluorescente YFP in celule HEK 293T transfectate cu plasmida pEYFP incarcata in cargocomplexul C<sub>60</sub>-PEI, la rapoartele N/P de 1:1, 10:1 si 30:1.

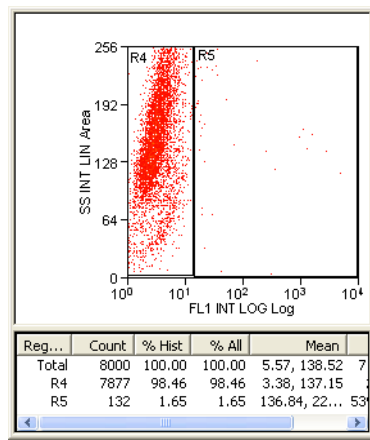
Bara: 200  $\mu$ m.

Eficienta transfectiei a fost, de asemenea, urmarita prin flux-citometrie, determinand procentul celulelor YFP-pozitive in canalul FL1 (Figura 6, ilustrativa). Aceasta analiza cantitativa a confirmat rezultatele stabilite prin microscopia de fluorescenta, indicand ca, dupa transfectarea cu cargocomplexul C<sub>60</sub>-PEI/pEYFP, 4.32 %, 20.8 %, 15 % si respectiv 28 % din 8.000 de celule analizate au exprimat proteina fluorescenta YFP, corespunzator rapoartelor de incarcare cu plasmida, N/P, de 5:1, 10:1, 20:1 si respectiv 30:1. Intensitatea medie a fluorescentei celulelor transfectate reprezinta o masura a eficientei transfectiei. In acest sens, compararea cu proba de control indica o crestere de peste 50 de ori a intensitatii fluorescentei celulelor dupa transfectarea cu C<sub>60</sub>-PEI/pEYFP, la rapoarte N/P mai mari decat 10:1. Acest fapt confirma inca o data abilitatea de vector genetic non-viral a conjugatului C<sub>60</sub>-PEI.

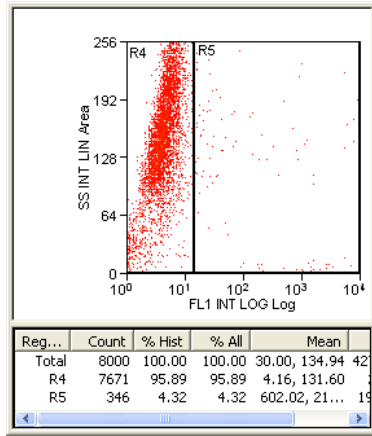
In cazul conjugatului D4-PEI si a poliplexului PEI, procentul de celule transfectate este scazut, inregistrandu-se maximum 7 % si respectiv 20 % celule fluorescente. Comparativ cu conjugatele C<sub>60</sub>-PEI, intensitatea medie a fluorescentei celulelor transfectate cu cei doi vectori mentionati se menține relativ scazuta, sugerand o eficienta modesta de transfectie, probabil si drept urmare a citotoxicitatii sporite.



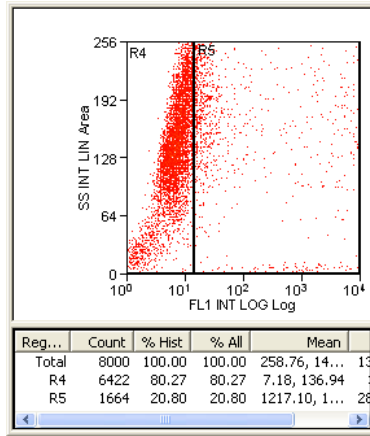
$C_{60}$ -PEI; N/P = 1



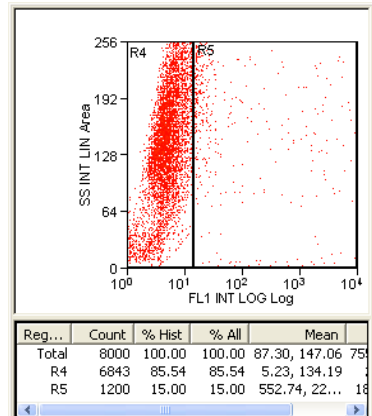
$C_{60}$ -PEI; N/P = 3



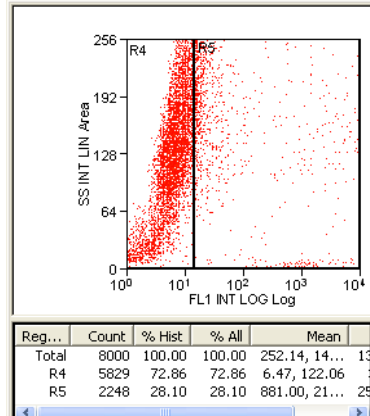
$C_{60}$ -PEI; N/P = 5



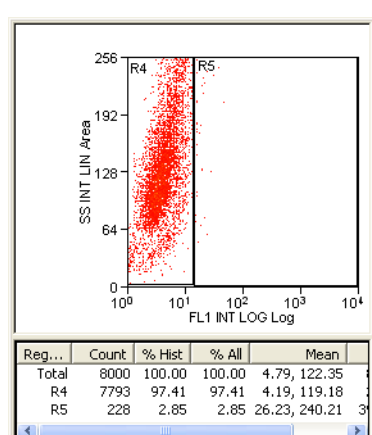
$C_{60}$ -PEI; N/P = 10



$C_{60}$ -PEI; N/P = 20

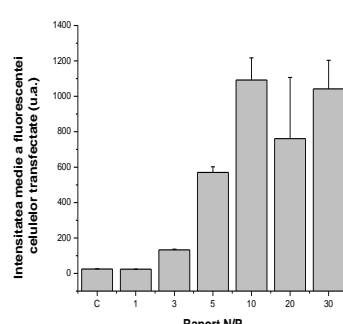


$C_{60}$ -PEI; N/P = 30



Proba de control

Compararea statistica a eficacitatii transfectarii in raport cu proba de control



**Figura 6.** Identificarea prin flux-citometrie a celulelor HEK 293T netransfектate (proba de control) și respectiv transfectate cu plasmida pEYFP încarcata pe  $C_{60}$ -PEI, la diverse rapoarte N/P. Sunt prezentate dot ploturi SSC (side scattering) versus FL1 (canalul de fluorescenza in care se masoara fluorescenza YFP); in poarta R4 se observa celulele YFP-negative, iar in poarta R5 se situeaza populatia de celule YFP-pozitive. Pentru fiecare dot plot se observa procentul de celule YFP-pozitive in poarta R5 si intensitatea medie a fluorescentei celulelor.

Histograma finala reda intensitatea medie a fluorescentei celulelor transfectate in functie de raportul N/P pentru cargocomplecsii  $C_{60}$ -PEI/pEYFP.

In urma studiilor de evaluare a eficientei transfectiei mediate de cei doi cargocomplecsi studiati ( $C_{60}$ -PEI/pEYFP, D4-PEI/pEYFP) si de poliplexul PEI/pEYFP, se desprind urmatoarele concluzii:

(1) analiza dimensiunii celor trei vectori ( $C_{60}$ -PEI/pEYFP, D4-PEI/pEYFP si PEI/pEYFP) efectuata masurand imprastierea elastica a luminii laser a indicat o populatie majoritara, in cazul tuturor complecsilor, cu dimensiuni de aproximativ 7 nm;

(2) electroforeza pe gel de agaroză a aratat ca  $C_{60}$ -PEI complexeaza total ADN plasmidic incepand de la valori ale raportului N/P de 1:1, in timp ce D4-PEI si PEI complexeaza pADN-ul incepand de la valori ale raportului N/P de 3:1.

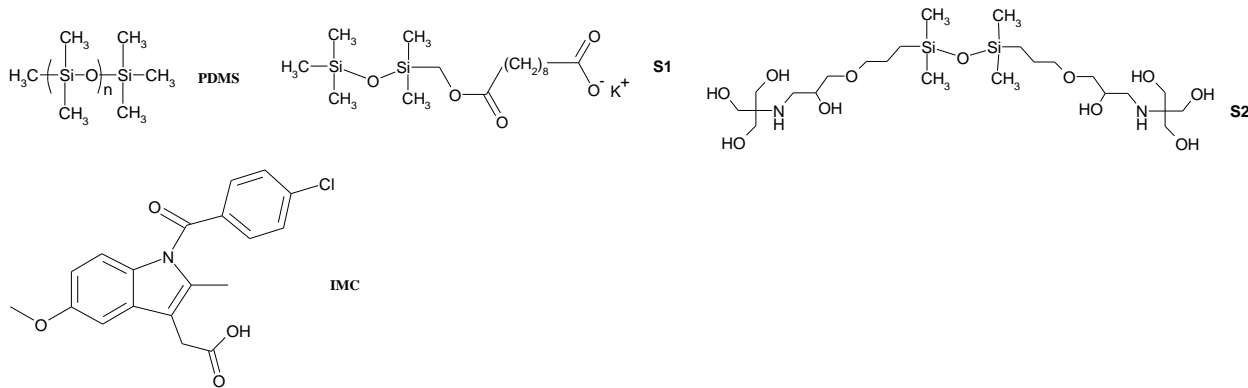
(3) viabilitatea celulelor HEK 293T nu este afectata semnificativ de incubarea cu compusii  $C_{60}$ -PEI si D4-PEI, ori cu poliplexii  $C_{60}$ -PEI/pEYFP si D4-PEI/pEYFP, obtinandu-se valori de circa 80 % in raport cu proba de control; in schimb, in polimerul cationic PEI induce un efect citotoxic mai pronuntat, inregistrandu-se viabilitati de doar 50 % pentru concentratii peste 2.2  $\mu$ g/mL. Complexarea PEI cu pADN determina cresterea viabilitatii celulare, obtinandu-se valori peste cele ale probei de control pentru concentratii ale PEI cuprinse intre 0.1 si 2.2  $\mu$ g/mL, fapt echivalent cu inducerea proliferarii;

(4) folosind doua metode de investigare, microscopia de fluorescenta si flux-citometria, s-a stabilit faptul ca eficienta de transfectie asupra celulelor HEK 293T a cargocomplecsilor  $C_{60}$ -PEI/pEYFP creste odata cu cresterea raportului N/P de la 1:1 la 10:1, iar apoi scade sensibil pentru valori ale raportului N/P de 20:1 si 30:1; in cazul complecsilor D4-PEI/pEYFP si PEI/pEYFP, exprimarea proteinei fluorescente YFP poate fi detectata, dar eficienta transfectiei este extrem de scazuta, de sub 10 celule transfectate per camp vizual.

## **1.5. Obtinerea si caracterizarea micro- si nano-particulelor siloxanice cu potential de transfectie**

Siliciul amorf este un material biodegradabil. Atunci cand este utilizat drept biomaterial ori ca vector pentru compusi farmacologic-activi, este rapid metabolizat, iar excesul se elimina din organismul uman prin urina, fara a afecta local ori sistemic ciclurile biochimice fizilogice. Din acest motiv, compusii cu siliciu (mic-moleculari, ori polimerici), precum si particulele continand diverse forme si compusi ai siliciului, prezinta interes drept transportori si ca substraturi in transfectie. In acest sens, in cadrul proiectului s-au investigat posibilitatile de realizare a unor carrier-i coloidali ai acizilor nucleici si ai adjuvantilor necesari pentru a asista procesele de transfectie, bazati pe polidimetilsiloxan (PDMS).

Precursorii utilizati pentru realizarea nanoparticulelor sunt un telomer polidimetilsiloxanic dihidroxilat (Mn=30000, Rhodia), tetraetoxisilanul (TEOS) si doi surfactanti (S1 si S2); structurile chimice ale precursorilor sunt prezентate mai jos, alaturi de compusul farmaceutic model utilizat, indometacinul (IMC). Sarea de potasiu a pentametilsebacometildisiloxanului (S1) a fost preparata conform referintei [4], atingandu-se valoarea CMC la 0.087 g/L. Disiloxanul modificat cu trometamol (S2) a fost sintetizat conform referintei [5], iar valoarea CMC determinata a fost de 0.066 g/L.



In vederea sintezei, PDMS si IMC au fost dizolvati separat in THF, apoi solutiile lor s-au amestecat in diferite proportii si s-au supus agitarii la temperatura ambianta. In continuare, solventul a fost eliminat la presiune redusa iar reziduul ramas a fost stocat in recipiente inchise. Amestecuri cu un continut de 20-60 % IMC (PDMS+IMC = 40mg) au fost dizolvate in cate 4 mL THF si au fost pregetite pentru prepararea nanoparticulelor, prin precipitare in solutii apoase diluate de surfactanti cu structura siloxanica. Pentru a verifica compozitia precipitatului, IMC a fost recuperat prin extractie cu etanol (in care PDMS nu este soluble). Determinarea cantitativa s-a realizat gravimetric si spectrofotometric (la 318 nm, in etanol). In precipitat s-a identificat un continut de IMC mai ridicat cu 2-5 %. In paralel, din dispersia de nanoparticule s-au extras probe a cate 0.1 mL, care au fost diluate cu cate 4 mL etanol si apoi continutul lor de IMC a fost determinat spectrofotometric. Pentru a studia influenta matricei reticulante, in experimente separate, inainte de precipitare, la solutia de THF rezultata dupa amestecarea initiala s-a adaugat drept agent de reticulare 50% w/w TEOS raportat la continutul de PDMS, precum si catalizator de condensare (dibutil-staniu dilaurat, DBTDL), asa cum se exemplifica in Tabelul 4. Faza organica a fost apoi injectata in 8 mL solutie apoasa de surfactanti (1g/L in cazul S1, respectiv 0.8 g/L in cazul S2), sub agitare moderata. Dupa 15 minute, THF si o cantitate mica de apa (1-2 mL) au fost eliminate la rotaevaporator (40 °C, 40 mmHg). Atunci cand s-a observat formarea unui precipitat, amestecul de reactie a fost filtrat prin hartie de filtru, iar filtratul a fost utilizat in continuare pentru izolarea si caracterizarea dispersiei de nanoparticule. Diametrul mediu al particulelor si distributia lor dimensională (indicele de polidispersitate, PDI) au fost determinate prin tehnica dispersiei dinamice a lumинii (DLS), utilizand echipamentul Zetasizer NS (Malvern Instruments, UK), care utilizeaza detectarea prin retrodifuziune non-invaziva (NIBS), sub un unghi de 173° si la lungimea de unda a laserului de 633 nm.

**Tabelul 4.** Receptura de preparare si caracteristicile nano- si micro-particulelor obtinute.

Cod NP	Cod amestec; continut M %	Agentul de reticulare	Surfactantul	Randament (M) % <sup>a</sup>	Continut M in NP, % DL <sup>b</sup>	Z <sub>ave</sub> (nm)	PDI
A	1; 20	-	S1	100	19.9 <sub>±</sub> 0.1	252	0.413
B	1; 20	TEOS, DBTDL	S1	93	39.8 <sub>±</sub> 0.3	214	0.432
C	3; 50	TEOS	S1	88	49 <sub>±</sub> 0.3	246	0.422
D	4; 60	TEOS, DBTDL	S1	81	58.6 <sub>±</sub> 0.2	165	0.240
E	1; 20	-	S2	100	20 <sub>±</sub> 0.1	298	0.443
F	2; 40	-	S2	89	39.7 <sub>±</sub> 0.2	485	0.534
G	2; 40	TEOS,	S2	51	39.2 <sub>±</sub> 0.3	452	0.256

		DBTDL					
H	3; 50	-	S2	64	48.5±0.2	488	0.470

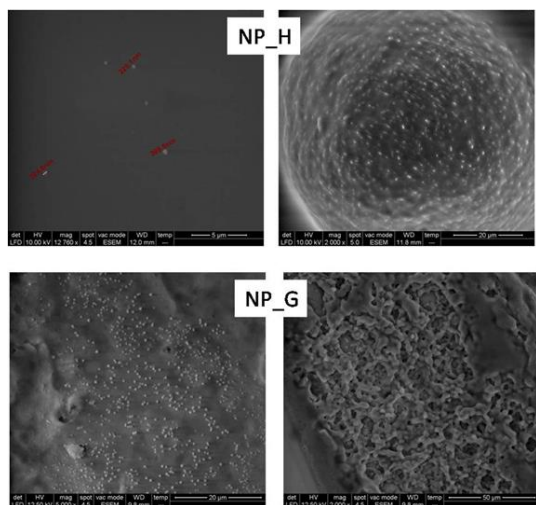
<sup>a</sup> Calculat ca  $[(m_0 - m_p) / m_0] \times 100$ .

<sup>b</sup> Calculat ca  $[m_d / (m_0 - m_p)] \times 100$ .

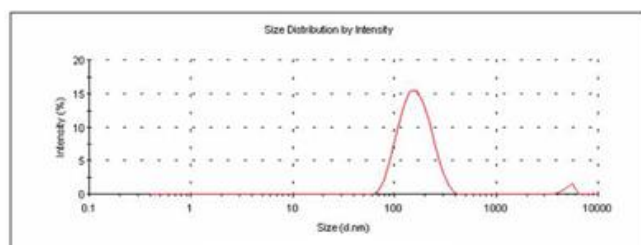
$m_0$  – masa initiala a amestecului;  $m_p$  – masa precipitatului;  $m_d$  – masa de IMC incapsulat.

Eficienta procesului de nanoprecipitare (exprimata ca randament de obtinere a nanoparticulelor, M) a scazut odata cu cresterea continutului de IMC in amestecul initial. Cantitatea de IMC cristalin care nu este dizolvata in matricea polimera ar putea fi motivul pentru diminuarea eficientei de nanoprecipitare. Adaugarea reactivilor de reticulare a dus la o precipitare mai pronuntata, scazand astfel randamentul nanoprecipitarii. Reactia de reticulare a PDMS are loc in interiorul particulelor formate. Incarcatura de IMC in nanoparticule a fost usor mai scazuta decat dozajul in compozitia initiala, diferența regasindu-se in precipitatul format si separat. In particulele reticulate, continutul initial de IMC a fost calculat tinand cont de reactivii adaugati.

Nanoparticulele rezultate au fost caracterizate prin SEM, utilizand Environmental Scanning Electron Microscope (ESEM) Quanta 200, la 30 kV si detectorul de electroni secundari. Analiza elementala calitativa si cantitativa a fos efectuata utilizand sistemul EDX al aceluiasi echipament. Figura 7 prezinta imagini ilustrative ale nanoparticulelor obtinute, iar in Figura 8 se reda distributia dimensionalala a particulelor ale caror imagini sunt reunite in Figura 7. Se pot observa particule sub-micronice, care tind sa se aglomereze datorita concentrarrii ce survine in cursul uscarii. Rezultatul analizei EDX aplicate suprafetei nanoparticulelor indica un continut semnificativ mai mic decat cel teoretic de IMC, respectiv un raport atomic Si/Cl de 22,7 fata de 8,49. Acest fapt sugereaza ca IMC nu este localizat pe suprafata particulelor, ci in volumul lor. Datele analizei DLS cuprinse in Tabelul 4, indica dimensiuni medii ale particulelor de circa 200 nm in cazul probelor preparate cu surfactantul S1 si de aproximativ doua ori mai mari in cazul utilizarii surfactantului S2. Nanoparticule de aproximativ 300 nm au fost obtinute si utilizand S2, in cazul amestecului cu continut scazut de IMC (cod E). Din analiza distributiei dimensionale rezulta in mod evident faptul ca particulele cu diametre de 200-300 nm predomina in majoritatea sintezelor efectuate. In cele mai multe cazuri s-au observat indici de polidispersitate mari, ceea ce indica tendinta de aglomerare a particulelor.



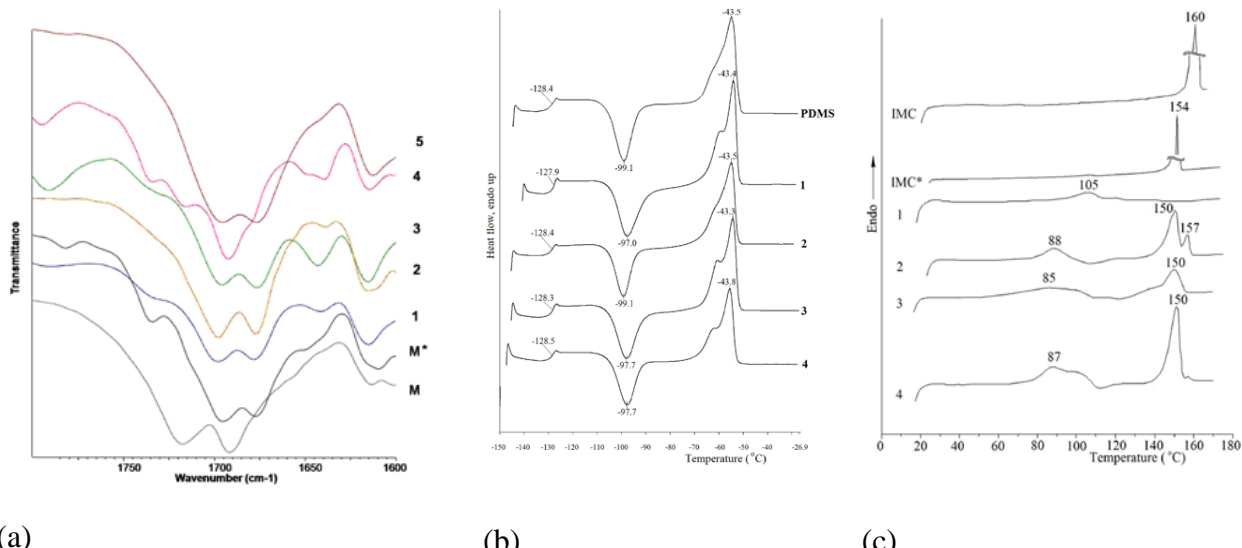
**Figura 7.** Imagini SEM reprezentative ale nanoparticulelor obtinute din amestecuri PDMS/IMC, corespunzator codificarii H si G din tabelul 4.



**Figura 8.** Distributia dimensionalala a particulelor codificate cu D in tabelul 4.

Desi randamentul de obtinere a nanoparticulelor este mai redus in cazul aplicarii reticularii, rezultatele analizelor DLS indica atingerea celor mai mici valori ale PDI. Distributia mai ingusta sugereaza faptul ca aglomerarea este diminuata pentru particulele cu proprietati mecanice mai bune, datorita fortelelor de repulsie si/sau incompresibilitatii dezvoltate, specifice dispersiilor rezultante prin precipitare. Pe de alta parte, masurarile DLS au fost realizate asupra unor probe filtrate, ceea ce a inlaturat particulele cu dimensiuni foarte mari, care au fost inlaturate odata cu precipitatul.

Pentru studiul interacțiunilor dezvoltate intre componentelete lor, sistemele nanoparticulate obtinute au fost supuse investigarii prin tehniciile FTIR si DSC (Figura 9).



**Figura 9.** Analizele FTIR (a) si DSC (b, c) aplicate precursorilor si respectiv amestecurilor de reactie in procesele de obtinere a micro- si nano-particulelor.

Spectrele FT-IR ale amestecurilor initiale au fost analizate in domeniul 1600-1800 cm<sup>-1</sup>, pentru medicamentul pur, pentru cel recristalizat din THF (M\*) si pentru cinci amestecuri cu PDMS. Se observa importante diferente, care dovedesc implicarea gruparilor carboxilice IMC in legaturi de hidrogen, cel mai probabil cu gruparile OH finale ale derivatului PDMS.

S-a constatat ca, indiferent de incarcatura de IMC, tranzitia vitroasa a PDMS ( $T_g$ ) se inregistreaza la aceeasi valoare a temperaturii, respectiv -128 °C. Cristalizarea la rece a PDMS decurge la circa -98 °C, iar temperatura de topire este de aproximativ -43.3 °C, constanta pentru toate probele. Mantinerea constanta a valorii  $T_g$  demonstreaza separarea de faze dintre cele doua componente. Temperatura de topire este o caracteristica importanta a oricarui material, fiind direct legata de puritatea acestuia. Faptul ca a fost inregistrata o valoare constanta a temperaturii de topire a matricei de PDMS, indiferent de incarcatura de IMC, confirma separarea de faze, cauzata de incompatibilitatea dintre cele doua componente.

Corelarea datelor analizelor DSC si XRD a condus la ipoteza ca PDMS se comporta drept plastifiant intern (asemanator unui solvent) pentru moleculele de IMC, iar o parte dintre acestea din urma formeaza o faza "mixta" care se topeste la temperaturi mai joase decat medicamentul pur. Amestecurile preparate ce contin si IMC pot fi stocate perioade lungi de timp (intre 6 si 12 luni) fara a-si altera caracteristicile.

Pe baza datelor experimentale mai sus prezentate, se poate concluziona ca: (a) forma cristalina a IMC se modifica dupa dizolvarea in THF; (b) amestecurile obtinute prezinta separare de faza pronuntata, dat fiind faptul ca temperaturile de tranzitie ale PDMS nu se modifica odata cu modificarea compozitiei amestecurilor; (c) medicamentul din amestecuri se regaseste total (proba cu 20 % IMC) sau parcial (probele cu peste 40 % IMC) dizolvat in matricea polimerala, formand o faza "mixta" care se topeste la 105° C in cazul probei 1, respectiv la circa 85 °C in celelalte probe; (d) in probele cu incarcatura mare de IMC, acesta

separa parțial, ceea ce conduce la o temperatură de topire mai mică, ca urmare a efectului de plastificare induș de PDMS.

Cunoscând incompatibilitatea PDMS cu moleculele organice, natura siloxanică a matricei polimerice și a tronsoanelor hidrofobe ale surfactantilor asigură o mai bună compatibilizare cu IMC, asociată cu o mai bună stabilitate a particulelor, asociată cu o bună uniformitate a dimensiunilor acestora. Pe de altă parte, încapsularea medicamentului cristalin într-o matrice polimerică moale conduce la creșterea stabilității formei și dimensiunilor particulelor.

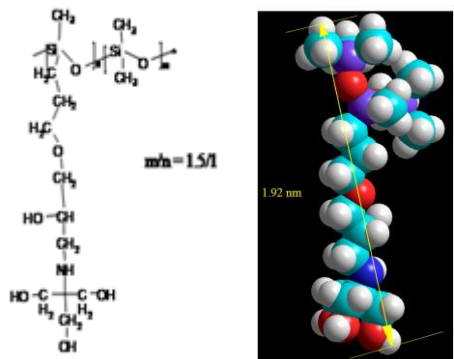
Cinetica eliberării IMC în soluție tampon fosfat a fost evaluată în cazul a două dintre dispersiile apoase obținute, constatându-se că doar 20-30 % din medicament a fost eliberat, cel mai probabil din cauza hidrofobiei PDMS. Trebuie menționat faptul că PDMS nu este ușual folosit drept vehicul al formelor farmaceutice, preferându-se polimeri cu hidrofilie netă. Cu toate acestea, datorită permeabilității siliconilor pentru diverse principii active, eliberarea acestora din urmă prin difuzie este exploatață în diverse aplicații, de la cele de îngrijire personală (formule topice locale sau pănzi), până la implanturi. S-a stabilit că polimerii hidrofobi sunt capabili să elibereze lent medicamente, fiind astfel eficienți, spre exemplu, în tratarea cancerului. Lipsa interacțiunilor chimice și fizice între matricea PDMS și IMC, precum și predispozitia pentru separarea fazelor, sunt aspecte importante în aplicațiile de transport a formelor farmacologic active care utilizează PDMS drept vehicul.

## 1.6. Surfactanți polisiloxanici cu potențiale utilizări în transfectie

În calitatea lor de sisteme pe bază de lipide și surfactanți (LSBDDS), emulsiile coloidale ale lipidelor și dispersiile nanoparticulelor obținute pornind de la lipide solide sunt larg utilizate pentru transportul speciilor farmaceutice slab solubile în apă, dar și pentru transferul genic (polimerozomi).

În vederea testării preliminare a capacitatii unor polimeri siloxanici de a genera polimerozomi utili în transfectie s-au realizat experimente privind capacitatea acestora de a solubiliza un medicament model insolubil în apă, nistatină. S-a constatat astfel diminuarea toxicității medicamentului, în condițiile eliberării sale controlate.

Surfactantul siloxanic luat în considerare este simplu de sintetizat și este biocompatibil prin chiar structura sa. El face parte din grupa surfactantilor ce contin tris(hidroximetil)amino-metan, fiind cunoscut sub denumirea de trometamol și sub acronimul THAM. Structura sa chimică și modelul molecular asociat sunt prezentate în Figura 10. Proprietatile sale superficial-active și caracteristicile lui amfifile sunt evaluate prin tensiometrie și sunt prezentate în Tabelul 5. Pentru caracterizarea surfactantului au fost efectuate masuratori de tensiune superficială, CMC și unghi dinamic de contact, utilizând tensiometrul automat Sigma 700 (KSV), ce utilizează metoda placutei Wilhelmy. Rezultatele experimentale au fost procesate utilizând aplicația software a echipamentului, care asigură și dozarea automată în vederea stabilirii CMC. Surfactantul prezintă o valoare CMC foarte scăzută (45 mg/L) și valori mici ale unghiului dinamic de contact la intrare, precum și valoarea de 0° la ieșire, atât în cazul sticlei (material hidrofil), cât și al PDMS (material hidrofob). Masurările au fost efectuate asupra unei soluții cu concentrație de 400 mg/L, valoare ridicată comparativ cu cea posibil de atins, în general.

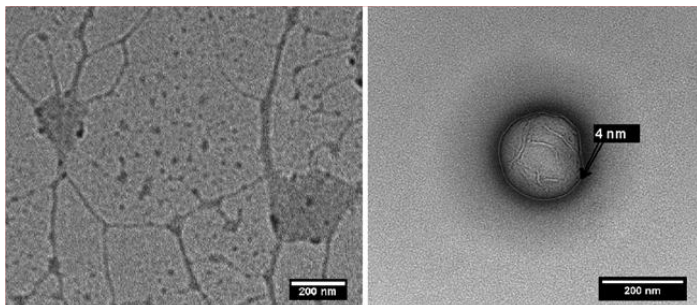


**Figura 10.** Structura chimica si modelul molecular reprezentat utilizand aplicatia Hyperchem asociate surfactantului testat, ST.

**Tabelul 5.** Caracteristicile tensioactive ale surfactantului testat.

HLB	$\eta_{CMC}$ , mN/m	CMC, mg/L	CMC, mol/L	$\theta_{adv}$ (°) sticla	$\theta_{rec}$ (°) sticla	$\theta_{adv}$ (°) PDMS	$\theta_{rec}$ (°) PDMS
9.6	25.42	45	$1.1 \times 10^{-5}$	44	0	52	0

Autoasamblarea surfactantului in apa s-a observat prin microscopie electronica de transmisie. Investigatiile TEM au fost efectuate cu microscopul Hitachi High-Tech HT7700, operat in modul *high contrast* la un potential de accelerare de 100 kV. Probele au fost aplicate din solutii diluate (1 g/L) pe grile din cupru de 300 mesh, acoperite cu carbon si s-au uscat sub vacuum. In Figura 11 se observa formarea de micle, dar si aparitia unor structuri de tip vezicular. Grosimea peretilor veziculelor, masurata pe o imagine TEM, are valoarea de 4 nm, in concordanță cu grosimea unui dublu strat, asa cum rezulta din latimea moleculei (1,92 nm) calculata prin modelare moleculara.



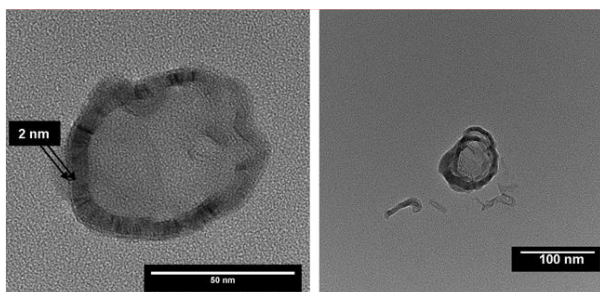
**Figura 11.** Imagini TEM ale agregatelor generate de catre surfactantul studiat.

Pentru verificarea capacitatii de solubilizare a unei specii farmaceutice insolubile s-a apelat la un procedeu simplu, care presupune folosirea unei solutii diluate de surfactant, fara adaugarea de excipienti. Protocolul este asemanator celui de nanoprecipitare, prezentat anterior. In prima etapa, nistatina (25 mg) a fost dizolvata in 3.5 mL metanol. Solutia a fost apoi injectata in 6 mL solutie de surfactant (1 g/L) si agitata moderat la temperatura ambianta, timp de cateva minute. In continuare, metanolul si circa 1 mL de apa s-au indepartat la rota-evaporator (40 °C, 40 mm Hg). S-a obtinut o solutie apoasa galbena, limpida, de Nys continand un raport masic de Nys/surfactant de 4/1, care s-a mentinut stabila timp de mai multe luni. Chiar dupa uscare, preparatul a putut fi complet re-dizolvat in apa, ceea ce arata ca practic s-a asigurat o solubilizare nelimitata. Amestecul Nys/surfactant a fost caracterizat prin diverse metode (FT-IR, TG-DTG-DTA, UV-VIS, MS, TEM, AFM si DLS), pentru a elucida derularea procesului de solubilizare.

Eficienta incapsularii poate fi considerata, in conditiile date, ca fiind 100 %, deoarece nu s-a putut pune in evidenta precipitarea, nici vizual si nici microscopic. Cantitatea de surfactant folosita in acest experiment este mica (un raport medicament/surfactant de 4/1) in comparatie cu cazul incapsularii vitaminei B6 (la raport de 1/1), ori cu producerea lipozomilor (la rapoarte de 1/20).

Masuratorile DLS indica prezenta unui pic principal asociat (după intensitate) dimensiunii de 134 nm, care poate fi atribuit agregatelor Nys-surfactant. Au fost detectate și formațiuni cu dimensiuni medii de 7 nm (aceasta fiind populația majoritară pe curba distribuției după număr). Acestea sunt probabil cele mai mici entități supra-moleculare, care asociază dinamic, generând formațiuni ori agregate cu dimensiuni mai mari. Valoarea masurată a potențialului Zeta este de 33.3 mV, indicând o bună stabilitate a dispersiei apoase. Marimea ansamblurilor structurale stabile (diametrul mediu), distribuția (indicele de poldispersitate) și potențialul Zeta s-au determinat prin tehnica difuziei dinamice a luminii (DLS), utilizând instrumentul Zetasizer NS (Malvern Instruments, UK). Solutiile au fost diluate de 4 ori înaintea analizei.

Imaginiile TEM ale formațiunilor Nys/ST au revelat o mare diversitate de structuri supramoleculare: mici sferice mai mici decât 20 nm, mici cilindrice, formațiuni veziculare quasi-sferice și chiar formațiuni cu formă neregulată. Probabil, acestea au apărut în procesul de uscare a probei pregătite pentru imagistica TEM. La examinarea unei vezicule izolate (Figura 12, stânga), se disting mai multe straturi ce alcătuiesc peretii veziculelor. Se disting monostraturi de surfactant de circa 2 nm grosime, care încapsulează nistatina între ele, plasată în regiunea polisiloxanică hidrofobă. Grosimea totală a peretelui vezicular este de circa 7 nm, valoare care coincide cu populația de mici dimensiuni detectată prin DLS, susținând ipoteza unei auto-asocieri treptate a structurilor primare Nys-surfactant. Agregate similare au fost observate și prin AFM.



**Figura 12.** Imagini TEM ale agregatelor Nys/surfactant.

Masuratorile AFM s-au efectuat pe o platformă SPM Solver Pro-M (NT-MDT, Rusia), în aer, în modul semi-contact, folosind un cantilever dreptunghiular din aur, NSG10, cu constantă de elasticitate nominală  $K_N = 11.5 \text{ Nm}^{-1}$ .

Datele obținute prin metode spectrale (FT-IR, UV-VIS) și prin ESI-MS, precum și analiza termică (TG-DTG-DTA) nu indică formarea de complexe stabili de tip Nys/surfactant. Spectrele IR au fost înregistrate cu spectrometrul Bruker Vertex 70, în modul transmisie, în domeniul  $300\text{-}4000 \text{ cm}^{-1}$  (rezoluție  $2 \text{ cm}^{-1}$ , 32 scanări), la temperatura camerei. Spectrele electronice de absorție au fost masurate cu spectrofotometrul Analytic Jena SPECORD 200, în celule din cuart cu drumul optic de 10 mm, prevăzute cu dop din PTFE. Analiza termogravimetrică a fost efectuată utilizând echipamentul STA 449F1 Jupiter NETZSCH (Germania). Masuratorile au fost efectuate în intervalul de temperatură  $20\text{-}700^\circ\text{C}$ , sub curent de azot (50 mL/min), cu o pantă a incalzirii de  $10^\circ\text{C}/\text{min}$ . Datele de spectrometrie de masa s-au obținut pe un spectrometru Agilent 6520 Series, Accurate-Mass Quadrupole Time-of-Flight (Q-TOF) LC/MS, în modul negativ de ionizare.

Rezultatele studiului indică faptul că nistatina este încapsulată fizic în agregatele surfactantului, nefiind legată chimic. Mecanismul solubilizării a fost sugerat de observațiile TEM și implica inserarea moleculelor de nistatina în regiunea hidrofobă a veziculelor de surfactant. Studiul a demonstrat: (a) posibilitatea obținerii eficiente a nanoparticulelor pe baza de PDMS și a agregatelor de tip vezicular pe baza de surfacanți polisiloxanici, printr-un procedeu simplu, reproductibil; (b) abilitatea entităților anterior citate de a încărca sau de a include principii active, fără dezvoltarea de interacțiuni puternice, care să afecteze structura sau funcția terapeutică a acestora.

Date preliminare mai sus raportate dovedesc abilitatea compusilor siloxanici de a functiona drept polipepsi cu potential rol in transfectia non-virala. Respectivii compusi vor fi testati, in etapa urmatoare, drept componente ale unor sisteme de includere in matrice polimerice, sau in scaffold-uri ternare ((atelo) colagen / dimetilsilandioli hialuronat / poli( $\epsilon$ - caprolactona)), ca atare, sau dupa asocierea cu nanoparticule de hidroxiapatita.

### **1.7. Microsfere termosensibile de poli(N-isopropilacrilamida-co-hidroxietilacrilamida) cu abilitati de eliberare a principiilor active**

Microsferele au fost sintetizate prin reticularea gruparilor hidroxil ale poli(N-isopropilacrilamida-co-hidroxietilacrilamidei) cu aldehida glutarica, la o temperatura situata imediat sub temperatura critica de solubilizare (LCST) a solutiei de polimer. Microsferele au fost caracterizate din punctul de vedere al gradului de umflare functie de temperatura. In microsfere a fost inclusa indometacina in calitate de medicament model, prin metoda evaporarii solventului, iar cineticile de eliberare a acesteia au fost studiate functie de marimea microsferelor. S-a stabilit astfel ca microsferele cu diametrul cuprins intre 5 si 60  $\mu\text{m}$  elibereaza medicamentul cu aceeasi viteza indiferent daca temperatura se afla sub sau deasupra temperaturii critice a hidrogelului (VPTT, volume phase transition temperature). In schimb, microsferele cu diametru cuprins intre 125 si 220  $\mu\text{m}$  elibereaza cantitati mai mari de medicament la temperaturi situate sub VPTT, comparativ cu cele plasate deasupra VPTT. Aceasta diferența este suficienta pentru a asigura o eliberare de tip pulsatoriu atunci cand temperatura variaza ciclic, sub si deasupra VPTT.

### **1.8. Retele interpenetrate obtinute pornind de la poli(N-isopropilacrilamida)/Carboximetil pululan (PNIPAAm/CMP), sensibile la stimuli externi (pH si temperatura)**

Au fost obtinute printr-un procedeu in doua etape: (i) polimerizarea reticulanta a NIPAAm cu bis-acrilamida, in prezenta CMP, urmata de reticularea polizaharidei cu aldehida glutarica. Hidrogelurile au fost caracterizate prin spectrofotometrie IR, microscopie electronica de baleaj si prin masuratori ale gradului de umflare la diferite pH-uri si temperaturi. Dupa incarcarea lor cu difenhidramina (DPH), hidrogelurile au fost testate din punctul de vedere al capacitati de eliberare sub stimuli externi, studiindu-se profilele curbelor de eliberare a DPH in conditii de temperatura si pH similar celor fiziologice. S-a observat ca viteza de eliberare este mai mare la pH 10 decat la pH 7.4 si 1.2, spre exemplu, la 37°C. Eliberarea s-a dovedit a fi temporizata la 37°C, comparativ cu cea la 20°C, care a fost rapida.

### **1.9. Microsfere din dextran, capabile de a elibera in mod controlat principii active**

Microsfere din dextran in care s-au imobilizat  $\alpha$ -,  $\beta$ - si  $\gamma$ -ciclodextrine, umflate apoi la echilibru in fluide ce simuleaza mediile fiziologice, au fost introduse intr-o coloana cromatografica. Peste stratul astfel obtinut au fost trecute diferite medicamente ori compusi model, in vederea determinarii timpilor de retentie a acestora din urma. Speciile retinute in microsfere ca urmare a includerii in cavitatea cyclodextrinelor au evidențiat timpi de retentie variabili, dar diferiti de cei inregistrati pentru compusii neinclusi. S-a demonstrat ca viteza de eliberare a medicamentelor este foarte mare chiar pentru compusii care prezinta timpi de retentie foarte mari (au constante de asociere foarte mari). De asemenea, volumul solutiei tampon ce simuleaza fluidele fiziologice influenteaza net viteza de eliberare.

## **1.10. Caracterizarea unor sisteme 3D hibride tip biopolimer/polimer sintetic, reticulate prin tehnici combinate**

Producerea de substraturi capabile de transfectie *ex vivo* implica realizarea de matrici macromoleculare cu caracteristicile morfologice si de reactivitate ale tesuturilor conjunctive. In acest sens, in etapa anterioara a proiectului, au fost realizate si testate hidrogeluri si vitrigeluri mixte atelocolagen / poli- $\epsilon$ -caprolactona stabilizate microstructural prin aplicarea mai multor tipuri de reticulare. In prezenta etapa, caracterizarea respectivelor substraturi a fost extinsa, in vederea optimizarii iterative a procedeelor de preparare.

Avand in vedere faptul ca investigarea proprietatilor dielectrice poate oferi informatii asupra structurii si proprietatilor materialelor la nivel molecular si macroscopic, s-au studiat efectele individuale si cumulate ale compozitiei, procedeului de reticulare aplicat, continutului de umiditate, frecventei campului electric si temperaturii asupra comportarii dielectrice a materialelor complexe, multifazice, reprezentate de substraturile mai sus mentionate. Domeniul de temperatura in care s-au realizat masuratorile (de la -100°C, pana la +100°C) il include si pe cel de stocare, manipulare si utilizare a respectivelor substraturi.

Masuratorile dielectrice s-au efectuat utilizand spectrometrul Novocontrol Dielectric Spectrometer, Concept 40 (Germania). Rezultatele s-au interpretat considerand relatia:  $\varepsilon^*(f) = \varepsilon'(f) - \varepsilon''(f)$ , in care  $\varepsilon^*(f)$  reprezinta permitivitatea complexa, iar  $\varepsilon'$  si  $\varepsilon''$  permitivitatea relativa si respectiv pierderile dielectrice. Determinarile s-au efectuat la temperatura constanta, in domeniul de frecventa cuprins intre 1 Hz si 1 MHz, prin scanare la intervale de cate 5°C in plaja -100°C ÷ +100°C. Probele s-au plasat intre doi electrozi circulari din otel, montati in interiorul unei celule de masurare termostatata, in atmosfera de azot. Pentru verificarea reproductibilitatii, probele au fost mentinute in conditii de umiditate constanta, in exicator, minimum trei zile inaintea efectuarii analizei, cu exceptia probei AteCol-1 (cu caracteristicile unui burete poros) care a fost expusa in aer cu umiditatea relativa de circa 50 %, la temperatura ambientala. Pentru investigarea efectului umiditatii, probe selectate din lotul investigat (AteCol-1, Col-1, CENP2-15,1 si CH1P30-15,2) au fost supuse unui al doilea set de masuratori, dupa un prim ciclu de incalzire in spectrometrul dielectric, aplicat drept procedeu bland de uscare nedenaturanta.

Determinarile de spectroscopie dielectrica au fost completate cu investigatii asupra comportarii termice (DSC si TGA), efectuate cu un instrument Mettler 851 DSC, in atmosfera de azot, cu o viteza de incalzire de 3°C min<sup>-1</sup> si 10°C min<sup>-1</sup>, precum si cu testarea mecano-dinamica (DMA), utilizand echipamentul Pyris Diamond, Perkin-Elmer, la frecventa de 1 Hz si panta incalzirii de 2°C min<sup>-1</sup>, in domeniul de temperatura cuprins intre -100°C si 300°C. Caracteristicile probelor supuse analizelor sunt prezentate in Tabelul 6. Rezultatele investigatiilor prin spectroscopie dielectrica sunt reunite in Figura 13, iar cele termice si mecano-dinamice se prezinta in Figura 14.

**Tabelul 6.** Substraturile biopolimer / polimer sintetic supuse caracterizarii.

Cod <sup>a</sup>	AteCol (%)	DMSHA (% rel AteCol)	PCL-DI (% rel biopolimeri)	UV <sup>b</sup> (min)
AteCol-1	100	-	-	-
AteCol-2	100	-	-	-
Col-1	100	-	-	-
C <sub>EN</sub> -1	100	-	-	-
C <sub>EN</sub> P2-30-1	100	-	2	30
CH1P-30-2	99	1	30	-
CH1P-30-15-2	99	1	30	15

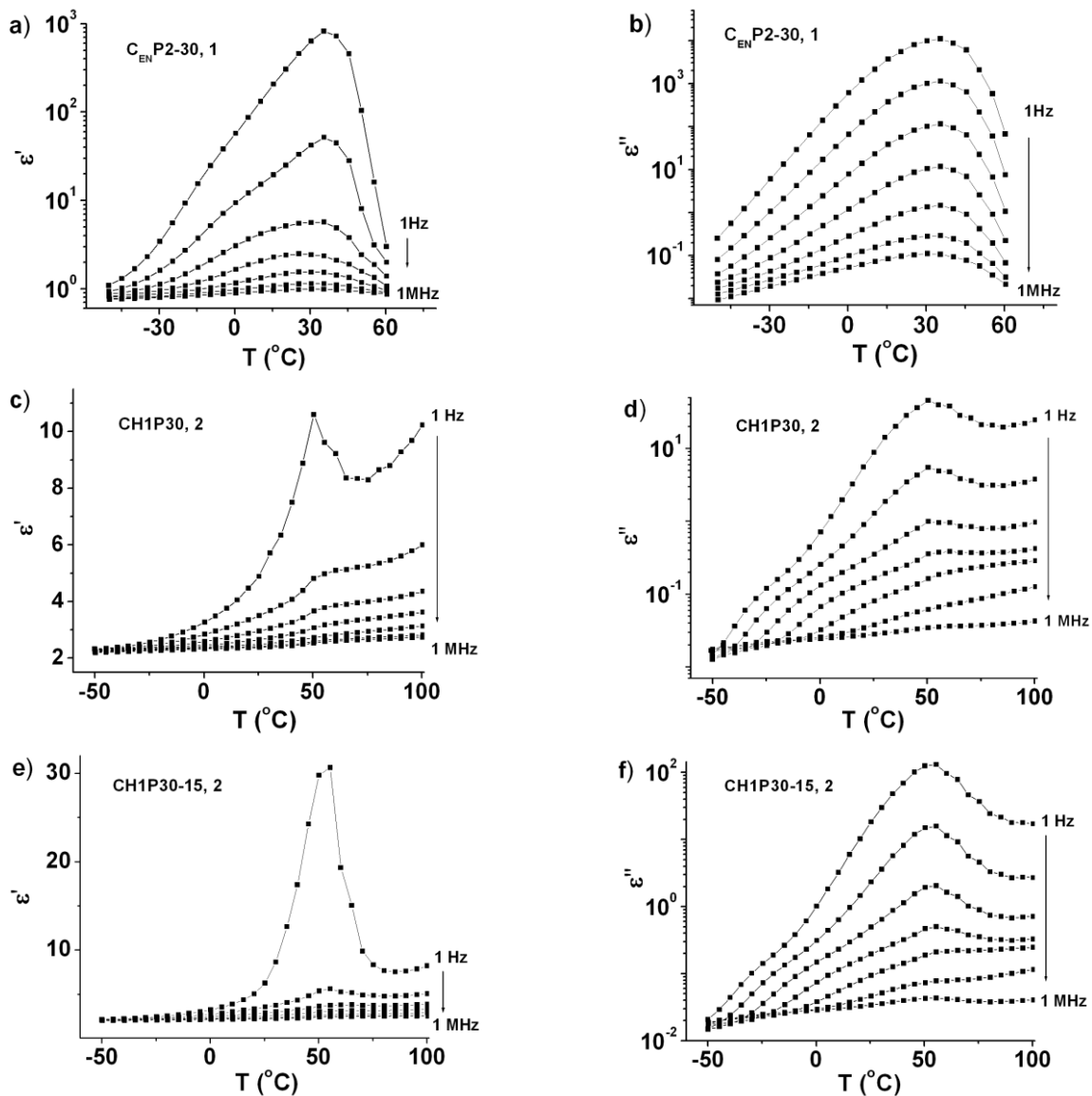
Note: <sup>a</sup> Indicii 1 si 2 definesc protocolul de preparare aplicat si microstructura rezultata:

1 - membrane poroase; 2 - filme cu structura densa.

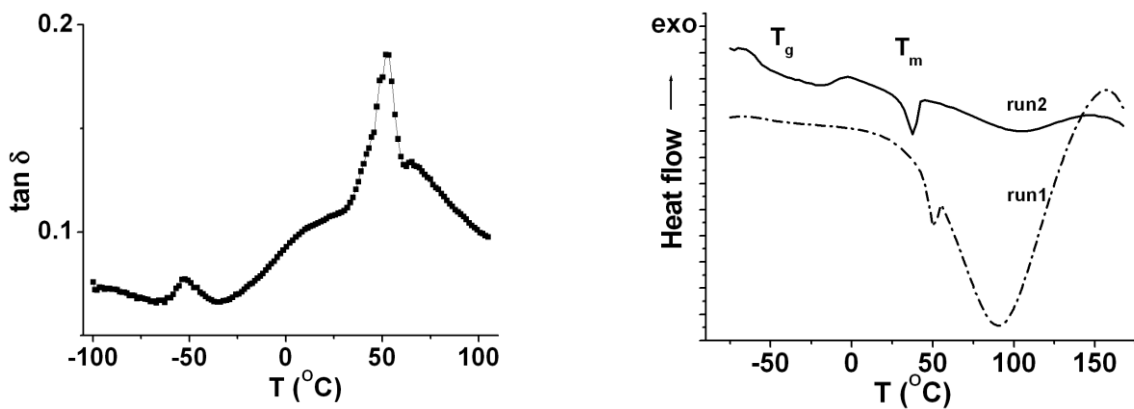
<sup>b</sup> timpul de iradiere UV (lampa cu mercur la presiune ridicata tip Osram HBO 200 W).

Dupa cum se observa in Figura 13, toate probele prezinta un semnal larg, proeminent, in domeniul 0-100°C, atat pentru variația  $\epsilon'$  cat și pentru  $\epsilon''$ , cu un maxim situat la valori diferite, functie de modul de preparare a probei: peste 60 °C pentru AteCol-1 și AteCol-2, respectiv la circa 22°C pentru C<sub>EN</sub> și Col-1. In literatura de specialitate, acest pic a fost asimilat eliberării apei slab adsorbite la suprafața probelor. Pozitia sa nu depinde de frecventa. Cresterea rapida care precede extremul este atribuita cresterii conductivitatii ca urmare a percolarii clusterilor de apa. Valorile pentru  $\epsilon'$  și  $\epsilon''$  in zona extremului sunt mai mari la frecvente joase, deoarece in aceste conditii purtatorii de sarcina au suficient timp sa migreze la distante mari, comportare cunoscuta ca *dispersia la frecvente joase* (LFD), intalnita la colagen si la alte biomacromolecule. La cresterea temperaturii, odata cu indepartarea moleculelor de apa, numarul purtatorilor de sarcina (protoni) scade si conductivitatea scade si ea. In cazul probei cu cel mai ridicat continut in apa, AteCol-1, s-a inregistrat doar un umar larg, continutul de circa 20 % umiditate facand imposibila manifestarea distincta a diferitelor procese migrationale. In cazul Atecol-2 picul este bimodal datorita heterogeneitatii probei, care include domenii cu grade de reticulare fizica diferite, ca urmare a dezvoltarii de interactiuni necovalente intre lanturile polipeptidice (directe, puternice sau slabe, mediate de un numar redus de molecule de apa).

Pentru probele reticulate (Col-1 și C<sub>EN</sub>) picul se deplaseaza spre valori mai joase de temperatura, efect raportat deja in literatura [6] si atribuit tendintei gruparilor/secventelor de reticulare de a actiona drept plastifiant intern. Se remarcă pozitia similară a picului in cele două probe, independent de tehnica de reticulare aplicată si de faptul ca forma collagenica difera de la o probă la cealalta, aspect atribuit tipului de reticulare (la mica distanță in ambele cazuri), care conduce la structuri similare, caracterizate prin puncte slabe. Pe tot domeniul de inregistrare a spectrului dielectric, intensitatea marimilor  $\epsilon'$  si  $\epsilon''$  a scazut cu cel putin două ordine de marime comparativ cu probele nereticulate chimic. In acest sens, datele obtinute difera de cele raportate in literatura, acestea din urma referindu-se de regula la colajen reticulat prin intermediul chimiei carbodiimidelor. In cazul probelor discutate, acest fapt se explica prin introducerea de noi cai de transport si de noi purtatori de sarcina odata cu formarea punctilor de reticulare. In mod neasteptat, purtatorii fiind mai ales protonii, in cazul de fata proba reticulata Col-1 are un continut mai mare de umiditate fata de AteCol-2, deci cauza nu este eventuala modificare a numarului de purtatori prin modificarea continutului de apa. In plus, desi AteCol-1 si AteCol-2 au un continut diferit de apa si o microstructura diferita, vadesc valori maxime similare ale celor doi parametri dielectrici, evolutia acestora diferind doar prin forma si largimea picului. Acest fapt sugereaza o importanta influenta a modului specific de organizare structurala a collagenului, respectiv a modului de dispunere a moleculelor de apa in microstructura collagenului aflat in stare solida.



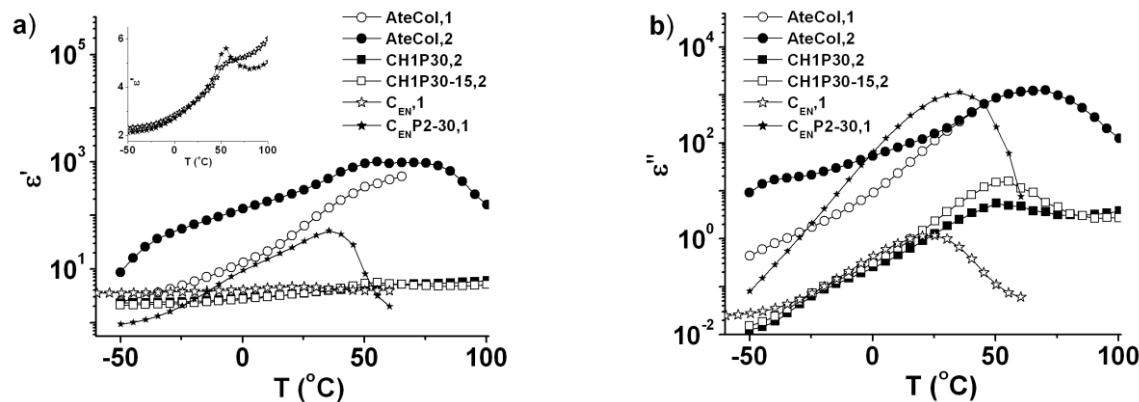
**Figura 13.** Dependenta de temperatura a  $\epsilon'$  si  $\epsilon''$  la cateva frecvente in domeniul  $1\text{--}10^6\text{ Hz}$  pentru probele: (a,b)  $C_{EN}P2-30-1$ ; (c,d)  $CH1P-30-2$  si (e,f)  $CH1P-30-15-2$ .



**Figura 14.** Evidențierea tranzitiei sticloase și a procesului de topire în probă  $CH1P-30-2$ , prin determinări DSC și DMA.

Figura 15 prezintă comparativ comportarea probelor analizate funcție de temperatură, pentru frecvența de 10 Hz. Se observă că ambii parametri dielectrici (dar mai ales  $\epsilon''$ ) cresc prin introducerea PCL în compozitie, ori prin iradiere UV. Microstructura probei (poroasă sau densă) nu pare să influențeze în mod

esential caracteristicile dielectrice. Reticularea le afecteaza insa in mod evident, in stricta corelatie cu modul de reticulare: la mica-distanta, la mare-distanta sau in sistem combinat. In cazul aplicarii unei aceleiasi metode de reticulare, difera doar intensitatea celor doi parametri dielectrici, in timp ce forma si pozitia picului raman aproape neschimbate (spre exemplu in cazul CEN-1 si Col-1). La aplicarea unor metode de reticulare diferite, spre exemplu prin combinarea reticularii la mica- si la mare-distanta, forma si pozitia picurilor in domeniul de temperaturi pozitive (0-100°C) se modifica semnificativ odata cu gradul de reticulare si dependent de componente ale amestecurilor formulate.



**Figura 15.** Reprezentarea comparativa a variatiei permitivitatii relative (a) si a pierderilor dielectrice (b) pentru probele investigate, functie de temperatura, la o frecventa a campului electric de 10 Hz.

## 1.11. Preliminarii in realizarea unui substitut de calus osos cu abilitati de transfectie *ex vivo*

Accelerarea refacerii osoase ghidate este posibila prin injectarea unui precursor al calusului osos, cultivat *ex vivo* cu celule transfectate (osteoblaste, dar si celule suport din clasa celor stem) cu plasmide purtatoare de gene ce codifica factori de crestere, ori cu ARN destinat silentierii unor gene ce determina exprimarea in exces a unor enzime remodelatoare (cum sunt matrix-metaloproteinaze). Transfectarea *ex vivo* este eficace daca se dispune de substraturi citoprietenoase, formulate compozitional pentru a initia si conduce refacerea osoasa locala. Substitutele injectabile ale calusului osos se dezvolta pornind de la un scaffold (atelo)colagenic in care s-a nucleat si s-a controlat cresterea nano- si micro-cristalelor unor saruri de calciu si fosfor, cel mai adesea a hidroxiapatitei.

In cadrul etapei 2013 a proiectului s-a dezvoltat o procedura complexa, pentru generarea hidroxiapatitei care chemo- si morfo-mimeaza bioapatita prezenta in osul sanatos. Rezultatele au fost incluse intr-o cerere de brevet intitulata „Procedeu pentru controlul caracteristicilor particulelor de hidroxiapatita sintetizata in prezenta biomacromoleculelor”, autori: Maier Stelian Sergiu, Pinteala Mariana, Maier Vasilica, Simionescu Ana-Bogdana. In cele ce urmeaza sunt redate continuturile preambulului cererii de brevet si rezumatului acestia.

### 1.11.1. Preambulul cererii de brevet A 2013 00710

**Inventia se refera la un procedeu pentru controlul caracteristicilor particulelor de hidroxiapatita sintetizata in prezenta biomacromoleculelor**, caracterizat prin aceea ca asigura obtinerea de micro- si nanoparticule de hidroxiapatita cu dimensiuni, geometrie, cristalinitate si compozitie de faza reproductibile, in contextul in care sinteza lor se conduce in conditii nedenaturante pentru biomacromoleculele prezente in sistemul de reactie (la temperaturi, pH-uri si tarii ionice in plaja valorilor

fiziologice). În virtutea caracteristicilor lor, dar și funcție de biomacromoleculele asociate (proteine, polizaharide, acizi nucleici și derivații biologic activi ai acestora), particulele obținute sunt apte incorporării în compozitii care chemo-, morfo- și bio-mimetează tesutul osos, ori calusul osos. Sinteza particulelor în prezența biomacromoleculelor asigură asocierea intimă a celor două tipuri de componente (anorganica și organica), inclusiv prin nucleerea și creșterea fazelor (nano)cristaline pe matricea macromoleculară, cu adecvarea dimensională la conformația spațială a acesteia din urmă, funcție de concentrația locală asigurată și de adjuvanti utilizati în sinteza. *Conform procedeului brevetat, controlul caracteristicilor particulelor de hidroxiapatita se realizeaza prin procedura de conducere a sintezei, precum si prin intermediul campului electric (electrostatic si / sau variabil) indus din exteriorul mediului de reactie. Particulele obtinute conform procedeului brevetat, precum si componziile rezultate ca urmare a asocierii lor cu diverse biomacromolecule, sunt destinate aplicatiilor din domeniul ingineriei tisulare, medicinei reconstitutive si regenerative, chirurgiei plastice, farmaceutice si cosmetice farmaceutice, dar si transfectiei osoase prin sisteme generate ex vivo pentru vehicularea informatiei genetice.*

### 1.11.2. Rezumatul cererii de brevet A 2013 00710

Invenția se referă la un procedeu pentru controlul caracteristicilor particulelor de hidroxiapatita sintetizată în prezența biomacromoleculelor, prin controlul strict al procedurii de sinteză, utilizând adjuvanti ai cristalinizării și sub asistența campului electric (electrostatic și / sau variabil în timp) aplicat din exteriorul sistemului de reactie, în sistem capacativ. Procedeul asigură obținerea de nanoparticule de hidroxiapatita (aggregate în particule) sau derivați ai acesteia asimilabili bioapatitei, cu caracteristici reproductibile din punctul de vedere al cristalinitatii, puritatei de fază și disimetriei geometrice. Procedeul este aplicabil pentru obținerea oricărui derivat al hidroxiapatitei sintetizabil în mediu apăs, indiferent de receptura amestecului de reactie. El evită impurificarea necontrolată a produselor de sinteză cu compusi ai reacțiilor de oxido-reducere ori de electroliza, ca urmare a existenței contactului direct al mediului de reactie cu electrozi ce aplică diferență de potențial. Particulele de hidroxiapatita, individualizate sau în amestec intim cu biomacromoleculele în prezența carora au fost sintetizate, sunt destinate aplicatiilor din domeniul ingineriei tisulare, medicinei reconstitutive și regenerative, chirurgiei plastice, farmaceutice și cosmetice farmaceutice, transfectiei osoase.

## Rezultatele științifice ale derularii etapei 2013 în cadrul proiectului PN-II-ID-PCCE-2011-2-0028

### Sinoptic:

- lucrari științifice publicate: **16**;
- participari la manifestari științifice, prezentari orale și postere: **16**;
- cerere de brevet: **1**;
- cursuri / traininguri: **9**;
- sustinere teze de doctorat cu finantare parțială de la proiect: **1**
  - Narcisa Marangoci – *Structuri complexe pe baza de ciclodextrine*;
- actualizare pagina web: <http://www.intelcentru.ro/index-5-a.html>.

**RAPORT STIINTIFIC**  
**pentru faza 2014, unica, a proiectului PN-II-ID-PCCE-2011-2-0028**

**Planul de realizare a proiectului pentru faza 2014 si angajamentele initiale privind diseminarea**

Anul	Etapa	Obiective	Activitati	Rezultate livrate per etapa
		<b>1. Studiul unor sisteme chimice cu functionalitate controlata</b>	1.1. Proiectarea, realizarea si testarea de micro- si nanosisteme purtatoare de acizi nucleici sau active in eliberarea controlata de compusi biologic activi. 1.2. Sinteza unor sisteme de tip hidrogel cu feed-back prin pH si temperatura.	O lucrare ISI. O participare la manifestari stiintifice.  O lucrare ISI.
2014	Unica	<b>2. Proiectarea si realizarea unor sisteme biomimetice destinate transfectiei</b>	2.1. Sinteza si testarea unor derivati ai squalenei activi ca vectori non-virali in vehicularea acizilor nucleici.	O lucrare ISI.
			2.2. Obtinerea si testarea de nanoconjugate cu componenta biomacromoleculara si optional cu miez de magnetizabil.	Doua lucrari ISI. Patru stagii de cercetare.
			2.3. Sinteza si testarea unor sisteme cu miez fullerenic sau din compusi ai siliciului, capabile de transfectie.	O lucrare ISI. Doua participari la manifestari stiintifice.
			2.4. Sinteza unor sisteme capabile de autoasamblare in prezenta acizilor nucleici.	O lucrare ISI. Un stagiu de cercetare.

**Preambul** - Etapa 2014 reprezinta o continuare a studiilor privind proiectarea, producerea si caracterizarea unor micro- si nano-sisteme multifunctionale inteligente, capabile sa elibereze principii active la tinta, sau sa asigure medierea transferului genic prin intermediul unor vectori non-virali, generati combinatorial in sistem poliplex - scaffold. In plus, s-a avut in vedere scaderea limitei de detectie a glucozei prin voltametrie ciclica, in scopul elaborarii unei tehnici analitice instrumentale pentru masurarea nono- si oligozaharidelor in solutii diluate si in medii de cultura formulate pentru asigurarea transfectiei.

## **Obiectivul 1. STUDIUL UNOR SISTEME CHIMICE CU FUNCTIONALITATE CONTROLATA**

In baza datelor preliminare obtinute in fazele anterioare (si in conformitate cu planificarea elaborata in anul 2013) studiile experimentale din aceasta faza includ:

- I. Realizarea de micro- si nano-particule pe baza de polimeri intelligenti pentru eliberarea controlata a compusilor biologic activi.
- II. Realizarea de sisteme nanoparticulate cu componenta biopolimerica, urmata de functionalizarea si testarea respectivelor sisteme ca vectori non-virali.
- III. Obtinerea de hidrogeluri autoorganizate pe baza de imino-chitosan.
- IV. Obtinerea multistraturilor hibride biomimetice, prin recunoasterea multivalenta a Concanavalinei A de catre gliconanocapsule {Mo132}

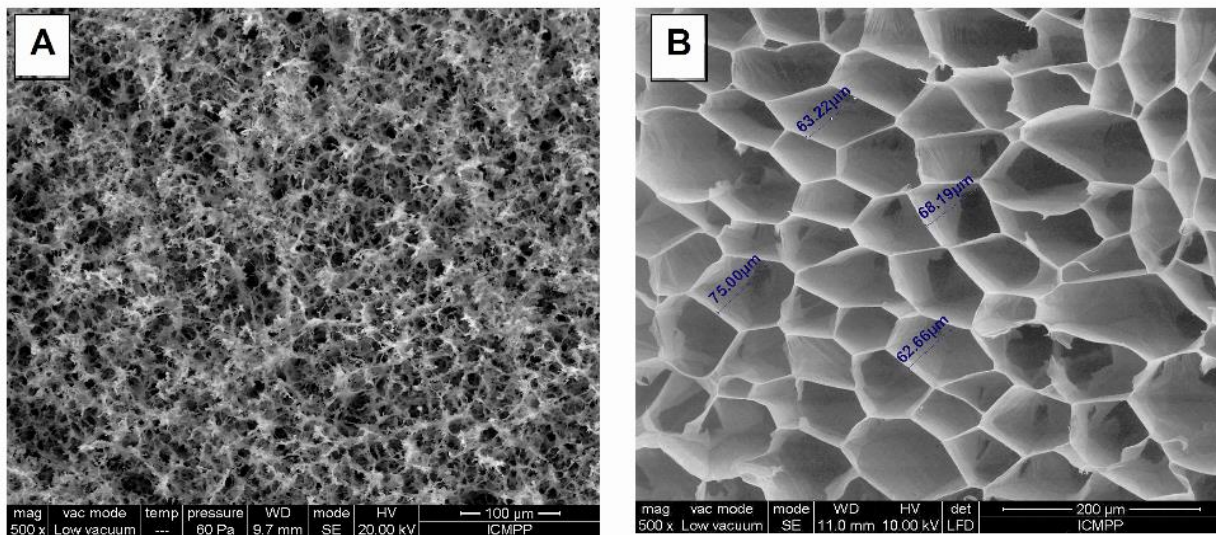
### **I. Realizarea de micro- si nano-particule pe baza de polimeri intelligenti pentru eliberarea controlata a compusilor biologic activi**

Polimerii "intelligenti" sunt sensibili la stimuli externi si reprezinta o clasa de materiale care, in solutie apoasa, sufera transformari de faza sub actiunea variatiei factorilor externi, cum ar fi pH-ul, temperatura, taria ionica, campul magnetic etc. Intre polimerii „intelligenti”, cei sensibili la variatii de pH si temperatura sunt cei mai utilizati in aplicatiile biomedical, deoarece ei exploateaza micile modificari ale pH-ului si temperaturii corpului uman in calitate de semnale de declansare a eliberarii controlate a principiilor active (farmaceutice sau genetice).

Poli(N-isopropilacrilamida) (poli(NIPAAm)) este cel mai utilizat polimer termosensibil deoarece el sufera o tranzitie de faza abrupta (lower critical solution temperature, LCST) la valori ale temperaturii in plaja fiziologica si patologica specifica organismului uman. Sub valoarea LCST, poli(NIPAAm) se afla in stare hidratata si este deci solubil, in timp ce peste valoarea LCST, pierde apa de hidratare si devine insolubil. In mod corespunzator, hidrogelul obtinut din acest polimer se umfla sub LCST si colapseaza deasupra LCST. Acest proces de umflare/colapsare a fost exploatat pentru eliberarea pulsatorie a principiilor active.

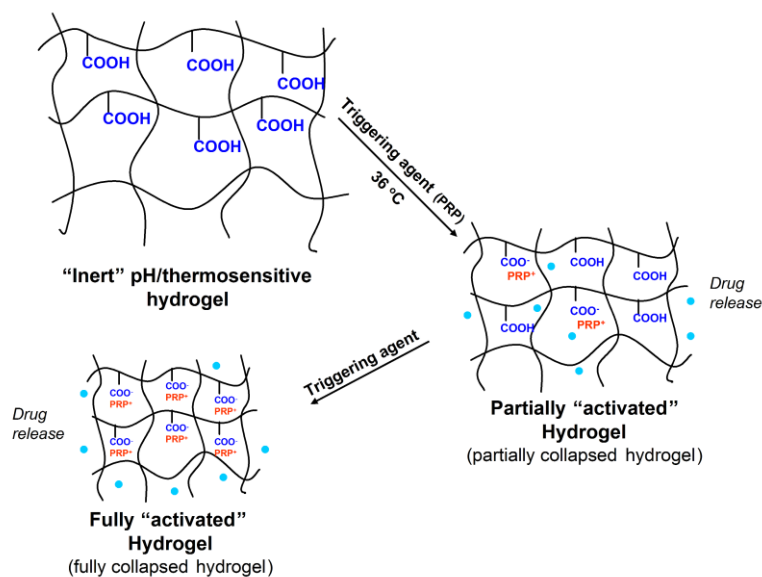
Acidul metacrilic (MA) este un acid slab ( $pKa$  4.8) si furnizeaza, prin homopolimerizare cel mai cunoscut polimer sensibil la pH. La pH-uri situate sub  $pKa$ , polimerul se gaseste in stare protonata, in timp ce desupra  $pKa$ , polimerul este ionizat. In mod corespunzator, sub  $pKa$ , hidrogelul obtinut din acest polimer este in stare colapsata, in timp ce deasupra  $pKa$ , hidrogelul este in stare umflata.

Copolimerizarea NIPAAm cu MA in prezenta unui reticulant uzual ( $N,N'$ -metilen-bisacrilamida) si a unui agent porogen a condus la un hidrogel poros, cu dubla sensibilitate: la pH si la temperatura (Figura 1).<sup>10</sup>



**Figura 1.** Microfotografii SEM ale hidrogelului de poli(NIPAAm-co-MA) (secțiune) obținut în absență (subfigura A) și respectiv în prezența agentului porogen (subfigura B).

La pH fizologic (circa 7.4), gruparea carboxilică a MA din hidrogelul pe baza de NIPAAm și MA este ionizată, fapt care face ca hidrogelul să piardă termosensibilitatea. În mod remarcabil, atunci când gruparea carboxilică ionizată interacționează electrostatic cu anumiți compuși bioactivi, hidrogelul își recapătă termosensibilitatea, colapsează și eliberează cantități bine definite de compuși activi (Figura 2). În acest caz, comonomerul sensibil la pH (MA) joacă rol de biosenzor, iar comonomerul sensibil la temperatură (NIPAAm) joacă rol de agent de livrare a speciei active. Acest sistem dual ar putea reprezenta baza realizării unei noi generații de sisteme de eliberare controlată.

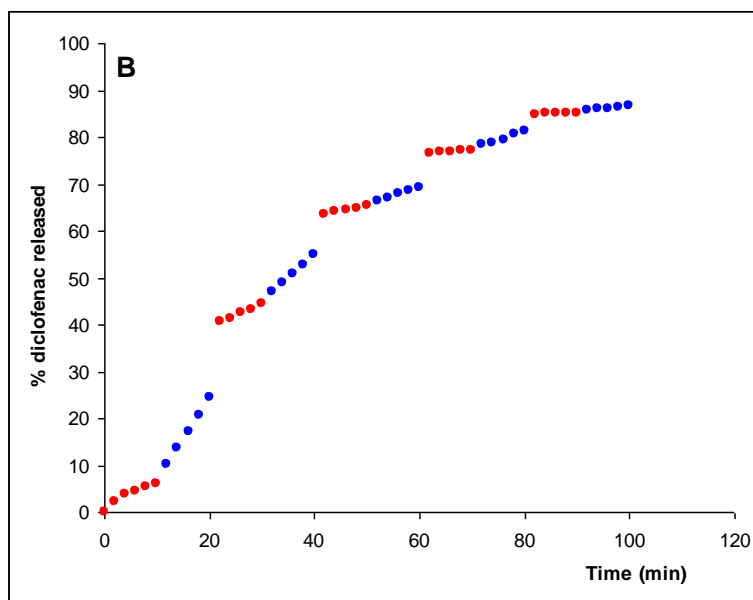


**Figura 2.** Reprezentarea schematică a principiului de operare a microgelurilor sensibile la pH/temperatură în prezența unui agent de declansare.

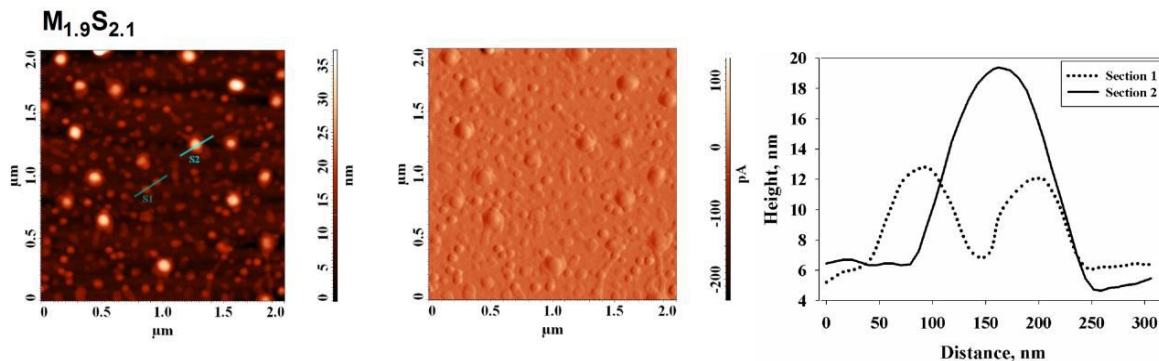
Intr-o alta abordare, NIPAAm a fost copolimerizat cu derivati vinilici de  $\beta$ -ciclodextrina (CD) pentru a obtine microgeluri sensibile la temperatura, capabile să retină în mod selectiv compuși biologici activi<sup>11</sup>. Aceste microgeluri sunt biodegradabile deoarece ciclodextrina a fost funcționalizată în astă fel încât să conțină mai multă decât o grupă polimerizabilă per molecule. Datorită dimensiunii micrometrice și porozitatii

avansate, aceste microgeluri prezinta o tranzitie de faza abrupta in conditii fiziologice de pH si temperatura. Ca urmare, viteza de raspuns este foarte mare la mici modificari ale parametrilor fiziologici. Astfel, aceste microgeluri sunt capabile sa elibereze intr-un mod pulsatoriu, printr-un mecanism de tip “ON-OFF”, compusi activi inclusi in cavitatea hidrofoba a  $\beta$ -ciclodextrinei (Figura 3).

Pentru aplicatii biomedicale care necesita particule cu dimensiuni submicronice, au fost sintetizate, prin polimerizare precipitanta, nanoparticule sensibile la temperatura pe baza de NIPAAm si hidroxietilacrilamida (HEAM)<sup>12</sup>. Tranzitia de faza volumica (volume phase transition temperature, VPTT) a acestor nanoparticule a fost determinata prin dispersia dinamica a luminii (DLS), spectroscopie UV-Vis si <sup>1</sup>H-RMN. S-a observat ca nanoparticulele au un VPTT apropiat de temperatura corpului uman, fapt care le recomanda pentru utilizari biomedicale. Microscopia de forta atomica (AFM) a fost folosita pentru a determina morfologia si polidispersitatea nanoparticulelor, constatandu-se ca acestea sunt sferice si monodisperse (Figura 4). S-a demonstrat ca prin cresterea concentratiei de agent tensioactiv utilizat in mediul de sinteza, diametrul hidrodinamic mediu scade, urmare repulsiei electrostatice dintre particule in timpul formarii lor.



**Figura 3.** Influenta modificarii ciclice a temperaturii (32 °C) (●) si 40 °C (●) asupra eliberarii diclofenacului din microsfere de poli(NIPAAm-co-CD), in conditii fiziologice simulate (PBS, pH = 7.4).



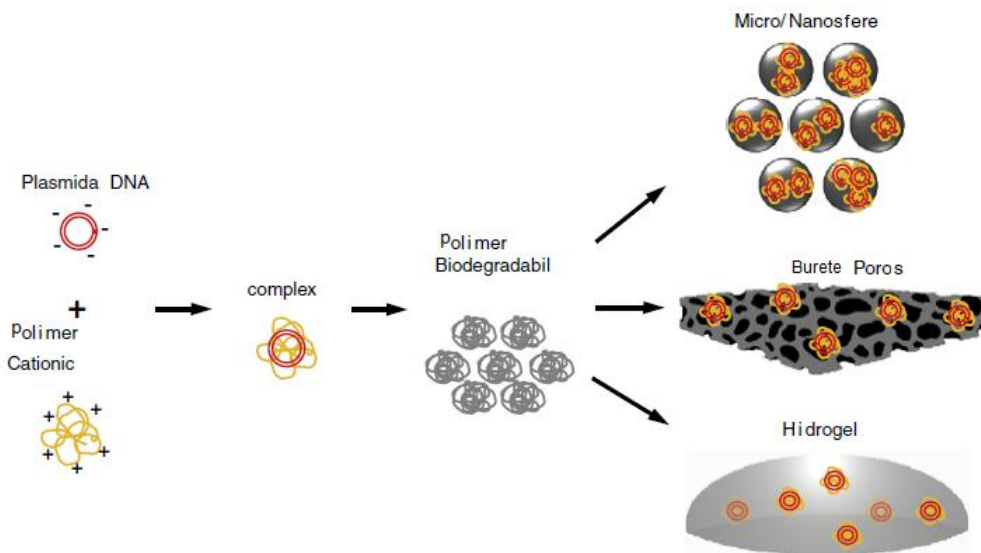
**Figura 4.** Imagini AFM ale nanoparticulelor de poli(NIPAAm-co-HEAM).

Viteza de eliberare a propranololului din aceste microgeluri este puternic influentata de temperatura: sub VPTT, microgelurile sunt umflate si compusul este eliberat rapid in timp ce deasupra VPTT, microgelurile sunt colapsate si eliberarea devine mai lenta.

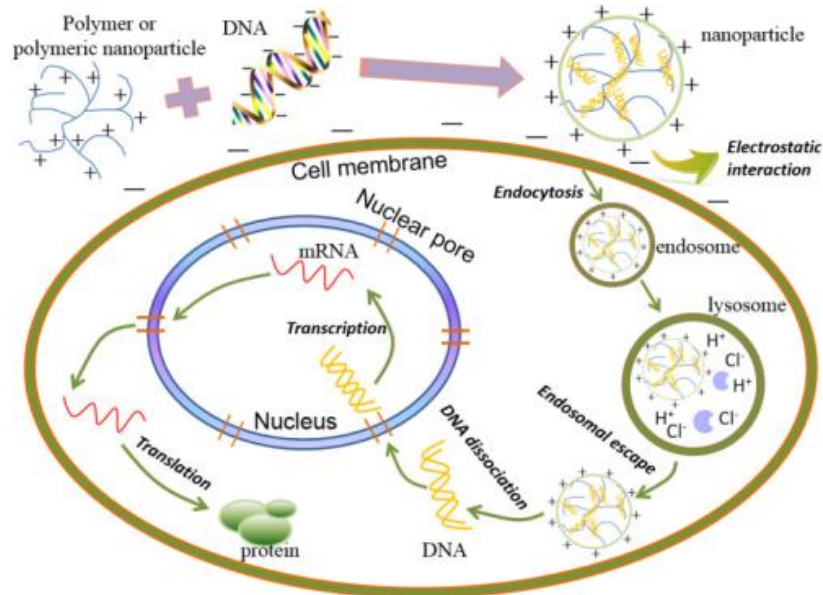
## **II. Realizarea de sisteme nanoparticulate cu componenta biopolimerica, urmata de functionalizarea si testarea respectivelor sisteme ca vectori non-virali**

Medierea transferului genic prin sistem non-viral combinatorial poliplex/scaffold reprezinta una dintre cele mai dinamice directii de cercetare actuale. Combinarea vehiculului pentru transfectie cu un sistem polimeric 3D (scaffold sub forma de micro-/ nano-sfere, burete poros sau hidrogel) (Figura 5) ofera certe avantaje (deja mentionate in faza anterioara, 2013), intre care:<sup>13,14,15</sup>

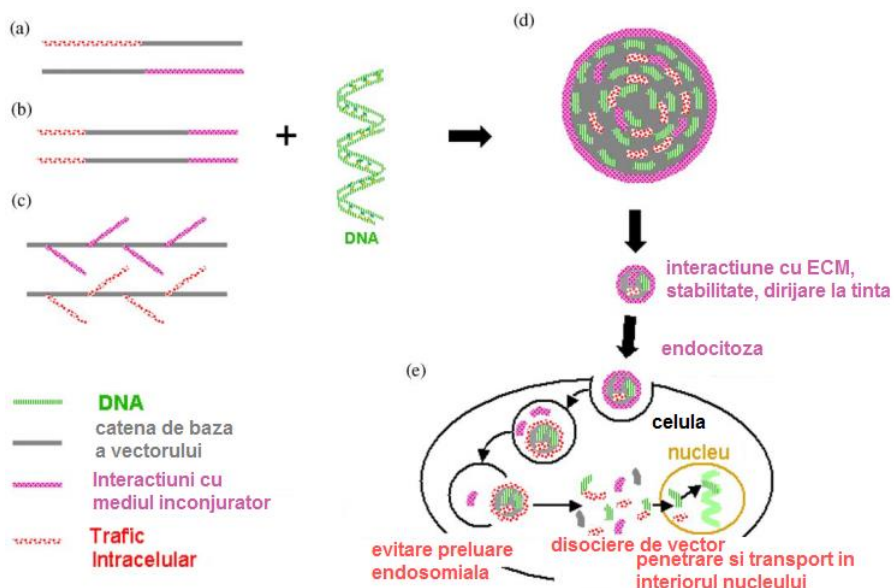
- protejarea eficienta a purtatorului (carrier-ului) de efectul componentelor plasmei sanguine;
- o durata mai mare de eliberare a materialului genic, localizat in locul de implantare al sistemului combinat, deci facilitarea controlului spatio-temporal;
- o mai buna inteleghere a relatiei structura-functie, ceea ce faciliteaza optimizarea proiectarii vectorilor non-virali la scara moleculara;
- eliminarea unor etape de preparare impuse de necesitatea evitarii/invingerii barierelor extra-/intracelulare (specifice procesului de eliberare a materialului genic, care se desfasoara in mai multe etape; Figura 6<sup>16</sup>), ceea ce necesita adesea crearea de biblioteci/serii de compusi cu structura complexa (Figura 7<sup>17,18</sup>);
- posibilitatea de a asigura/dezvolta noi cai, simple de crestere a eficientei transfectiei;
- crearea de noi posibilitati de accelerare a transpunerii vectorilor de transfectie non-virali la nivel clinic.



**Figura 5.** Transferul genic mediat de matricea polimerica tip scaffold. Plasmida complexata cu polimerul cationic (vector non-viral) este incapsulata in sisteme polimerice 3D tip scaffold pentru asigurarea unei eliberari sustinute.



**Figura 6.** Reprezentare schematică a procesului de transfer genic mediat de vectori non-virali polimerici.



**Figura 7.** Reprezentarea schematică a principiilor de proiectare modulară a vectorilor genetici non-virali.

Module principale: catena de baza (gri), grupe functionale ce reglează interacțiunea cu mediul (violet), tronsoane moleculare destinate facilitării traficului intracelular (rosu). Cetena vectorului (care conține de obicei lanturi polimerice, lipide sau polizaharide) asigură complexarea / impachetarea ADN, oferă protecție față de degradarea de către nucleaze, și facilitează traficul intracelular. Funcționalitatea catenei de baza este extinsă prin grupările ce facilitează străbaterea barierelor extra- și intra-celulare. Grupările funktionale introduse în structura vectorului pot limita interacțiunea cu componente serice, pot induce legarea specifică la celula sau tesutul vizat (eliberarea dirijată) sau pot facilita interacțiunile cu matricea extracelulară sau cu diferențele biomateriale. Grupările funktionale introduse pentru facilitarea traficului intracelular trebuie să asigure o creștere a acumulării materialului genic în nucleu prin evitarea prelucrării endosomiale, deplasarea prin citoșelet sau facilitarea traficului prin porii nucleari. Tronsoanele individuale pot fi asamblate în moduri diferite (a – c) în

*vederea facilitarii complexarii cu ADN (verde), ceea ce afecteaza structura si functionalitatea sistemului non-viral rezultat. (d) Reprezentarea schematica a distributiei modulelor si ADN, cu organizarea dorita a gruparilor ce regleaza interactiunea cu mediul (distribuite si orientate preferential la suprafata sistemului) si gruparilor prevazute pentru traficul intracelular, protejate, distribuite in interiorul structurii finale, pentru a asigura activitatea si functionalitatea sistemului dupa internalizare. (e) Internalizarea vectorului prin endocitoza (cel mai frecvent), urmata de evitarea preluarii de catre endosomi si transportul materialului genic catre nucleu. Pentru asigurarea transcriptiei componentele modulare odata ajunse in vecinatarea membranei nucleare trebuie sa disocieze de ADN.*

In contextul mentionat, in vederea proiectarii rationale a sistemelor multifunctionale, biomimetice s-au luat in considerare:

- (1) criteriile de selectie a materialelor componente functie de cerintele impuse de domeniul de aplicare, respectiv:
  - accesibilitate;
  - adevararea la domeniul biomedical (biocompatibile, sterilitate);
  - posibila activitate biologica;
  - capacitatea de raspuns la stimuli externi;
  - reproductibilitatea caracteristicilor.
- (2) avantajele oferite de combinarea unor procedee clasice si moderne de preparare pentru obtinerea facila de nanoparticule cu structura complexa si proprietati predeterminate (caracteristici impuse de aplicarea in transfer genic) prin:
  - completarea reactiilor specifice de functionalizare cu procese controlate de legare necovalenta si auto-asamblare;
  - selectarea si combinarea unor materiale diferite in vederea valorificarii functionalitatii si a abilitatii lor de a dezvolta interactiuni specifice, sau de a raspunde la stimuli externi, cu scopul asigurarii functiilor impuse (facilitarea transferului genic in diferitele etape ale procesului), in vederea eficientizarii si sporirii sigurantei in utilizare.

## **II.1. Sinteza si caracterizarea unor sisteme non-virale pe baza de biopolimeri, destinate transferului genic**

Necesitatea realizarii de vectori non-virali pentru transferul genic este impusa de efectele imunologice dificil de controlat induse de catre vectorii virali, care, in ciuda eficientei ridicate a transfectiei, tind sa fie inlocuiti. Vectorii non-virali (pe baza de polimeri naturali, de polimeri sintetici, de materiale anorganice si de compusi hibrizi) pot fi obtinuti la nivel industrial, intr-o mare varietate, iar structura si caracteristicile lor pot fi controlate, datorita versatilitatii materialelor implicate. Principalul dezavantaj, constand in eficienta relativ scazuta in raport cu vectorii virali, pare sa fie diminuat tot mai mult datorita progreselor din ultimii ani in ce priveste tehniciile de obtinere si caracterizare. In concordanta cu evolutia din domeniul chimiei compusilor macromoleculari, tot mai multe din sistemele experimentale de livrare a principiilor active, inclusiv a materialului genic, includ polimeri biodegradabili, dendrimeri, polimeri electroactivi si fulerene C-60 modificate chimic si apoi conjugate cu specii macromoleculare.

Biopolimerii (precum proteinele, oligo- si poli-zaharidele) sunt materiale preferate, datorita accesibilitatii si proprietatilor lor, care permit cresterea eficientei de transfectie si evitarea efectelor secundare induse de compusii terapeutici incorporati (medicamente, peptide, proteine), respectiv. Avantajele

de remarcat ale biopolimerilor sunt: lipsa de toxicitate chiar in doze/concentratii mari, biocompatibilitatea, biodegradabilitatea, mucoadezivitatea, functionalitatea ridicata, posibilitatea de modificare fizico-chimica eficienta in vederea functionalizarii suplimentare. Printre polimerii naturali investigati pentru utilizarea lor in transferul genic se numara colagenul, gelatina, chitozanul, alginatii si derivatii obtinuti prin modificarea acestora<sup>19,20,21</sup>.

Colagenul este de departe materialul preferat pentru astfel de aplicatii, in ciuda unor dezavantaje legate de sursa si modul de prelucrare/purificare (Tabelul 1).

**Tabelul 1.** Avantajele si dezavantajele utilizarii colagenului ca biomaterial<sup>22</sup>

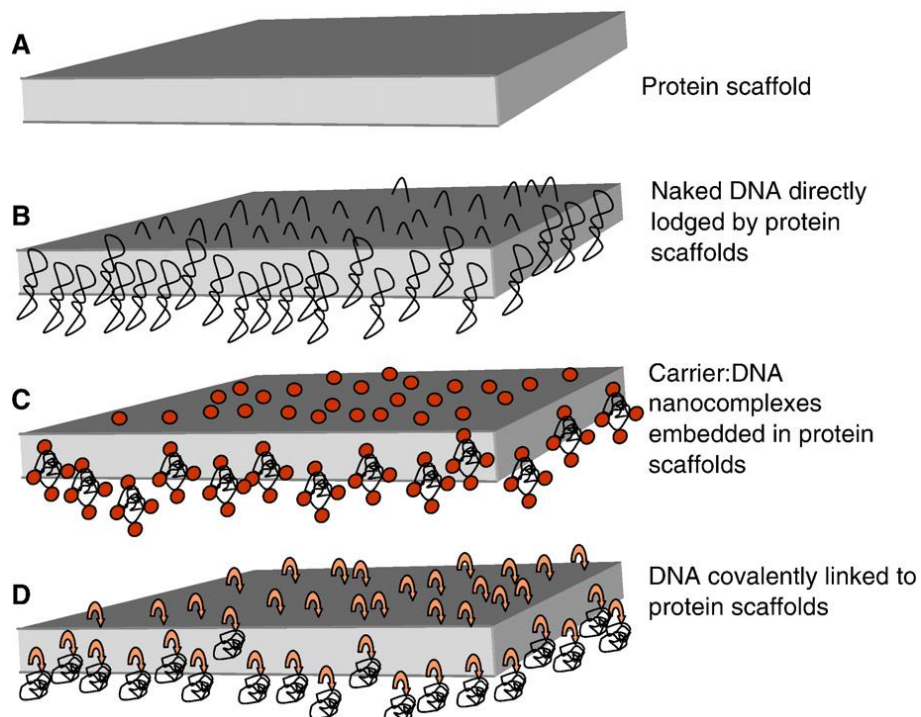
Avantaje	Dezavantaje
<ul style="list-style-type: none"> <li>- accesibilitate;</li> <li>- lipsa antigenicitatii;</li> <li>- biodegradabilitate, bioresorbabilitate;</li> <li>- lipsa toxicitatii;</li> <li>- biocompatibilitate intrinseca;</li> <li>- efect sinergic prin combinare cu diversi compusi bioactivi;</li> <li>- actiunea hemostatica;</li> <li>- biodegradabilitate posibil de controlat;</li> <li>- functionalitate ridicata;</li> <li>- compatibilitate cu polimeri sintetici.</li> </ul>	<ul style="list-style-type: none"> <li>- cost ridicat al formelor pure;</li> <li>- variatii ale componzitiei/caracteristicilor de la un sortiment la altul sau intre loturi;</li> <li>- hidrofilie ce favorizeaza umflarea si eliberarea rapida a principiilor active;</li> <li>- viteza variabila de degradare in vivo;</li> <li>- reproductibilitate modesta proprietatilor;</li> <li>- dificultati la sterilizare.</li> </ul>

Aceste caracteristici au determinat utilizarea larga a colagenului ca biomaterial<sup>23</sup> in domenii precum: oftalmologie (pelicule protectoare), dermatologie si tratarea ranilor ori arsurilor (matrici poroase), eliberarea de compusi activi la administrarea orala, parenterala, transdermala (sub forma de suspensii, tablete, geluri, nanoparticule), cultura celulara (criogeluri si geluri), ingineria tisulara (scaffold-uri pentru inlocuirea / regenerarea pielii, osului, vaselor de sange, valvelor cardiace), chirurgie (suturi, agenti hemostatici), stomatologie (membrane pentru regenerarea dirijata a tesuturilor, pulberi si membrane cu rol de adeziv sau agent hemostatic in interventii si implantologie).

Pentru transfer genic colagenul a fost utilizat, ca si alti polimeri naturali, drept suport, sub forme diverse, de la nanoparticule la scaffold-uri tridimensionale, membrane poroase, filme dense, geluri, paste. Studii efectuate asupra aplicabilitatii unor granule de atelocolagen in terapia genica au evideniat capacitatea acestuia de a proteja acizii nucleici impotriva degradarii chimice sau enzimatice. Injectarea acestui sistem non-viral de transfecție a condus la prelungirea efectelor biologice, ceea ce ar putea permite ameliorarea eficientei in transfecție<sup>24</sup>. Ca sistem non-viral particulat (la nivel micro- sau nano-) s-a utilizat pentru transferul de gene prin administrare pe cale orala si intramusculara<sup>25</sup>. Particulele s-au obtinut prin metoda emulsifierii si reticularii colagenului nativ (3 - 40 µm). Diminuarea in continuare a dimensiunilor (pana la 1 µm, sau chiar 0,1 µm) conduce la denaturarea proteinei. O alternativa de evitare a acestui neajuns consta in conjugarea proteinei cu alte biomateriale, sau modificarea sa chimica fara afectarea structurii native (conformatia triplu helix) si a proprietatilor corelate cu aceasta<sup>26,27</sup>.

Rezultate raspimate de diverse grupuri de cercetare au demonstrat ca includerea de material genic cu rol terapeutic intr-o matrice tip scaffold din collagen este deosebit de avantajoasa in ingineria tisulara, in special in cazurile in care se doreste o prelungire a duratei de viata in fluxul sanguin, a expresiei transgenice (stabilitate a expresiei transgenice in timp) si localizarea spatiala a efectului. Structura matricei pe baza de collagen, reticulata sau nu, solida sau sub forma de gel, precum si modul de atasare a materialului genic (legare covalenta, atasare prin interactiuni necovalente sau includere – Figura 8<sup>28</sup>) influenteaza mult

eficienta transfectiei prin efectul asupra atasarii, eliberarii, protectiei plasmidei sau moleculei de ADN. De exemplu s-a raportat ca matrici pe baza de colagen sau atelocolagen (obtinut prin eliminarea enzimatica a telopeptidelor din colagen) pot induce expresia transgenica si ameliorarea fiziologica in regenerarea osoasa sau in tratarea si vindecarea ranilor si afectiunilor la nivelul altor tesuturi (muscular, oftalmic, nervos, vascular), in unele cazuri ca atare, dar mai ales prin includerea sau legarea covalenta a materialului genic (ex. ADN nemodificat, sau ADN plasmidic)<sup>29,30,31,32,33</sup>. Cresterea eficientei transfectiei si a regenerarii tesuturilor este mai mare in cazul legarii la matricea proteica a componentei capabile de impachetarea sau complexarea cu materialul genic, fie inainte (ex. modificare a colagenului cu polilizina prin grefare sau reticulare<sup>34</sup>, ori legarea covalenta a unor anticorpi anti-ADN<sup>35</sup>), fie dupa complexarea cu ADN plasmidic sau ADN liniar. In cel de al doilea caz, implantarea sistemului combinat vector non-viral/matrice se realizeaza prin tehnici chirurgicale (includere a poliplexului *in vitro* in scaffolduri preformate), sau prin injectare (celule, NP vector, NP scaffold, ADN), aceasta din urma tehnica fiind minimal invaziva. Cel mai adesea s-au utilizat poliplexsi ce includ polietilenimina (PEI), poli-L-lizina (PLL) sau poliamidoamine (PMAM) drept vectori non-virali. Cateva exemple sunt cuprinse in Tabelul 2. Utilizarea acestor polimeri cationici in combinatiile mai sus prezentate se conduce la avantajele si dezavantajele rezumate in Tabelul 3, constatate in cursul procesul de transfectie. Citotoxicitatea sau biodegradabilitatea scazute, remarcate in anumite cazuri, pot fi ameliorate prin combinare cu polimeri naturali, care sunt intrinsec biocompatibili si biodegradabili.



**Figura 8.** Sisteme de eliberare a materialului genic pe baza de scaffold-uri proteice.

**A.** - Matricea proteica actioneaza ca un scaffold capabil sa gazduiasca acidul nucleic cu rol terapeutic; **B.** - ADN pur este direct inclus in scaffold-ul proteic prin procese succesive de imersare – uscare prin liofilizare; **C.** - Sistemul vector/ADN este inclus in matricea proteica, apeleand la doua strategii: (i) legarea/reticularea purtatorului la matrice inainte de complexarea cu materialul genic; (ii) includerea nanocomplexului carrier/ADN deja format in matricea tip scaffold; **D.** - ADN-ul nemodificat sau complexat este legat covalent la matricea proteica. Acest tip de sistem permite prelungirea si localizarea expresiei genice in culturile celulare si in tesuturile vizate.

**Tabelul 2.** Sisteme combinatoriale pentru transfectie pe baza de polimeri naturali. (Scaffold-uri pe baza de (atelo)colagen ce incorporeaza poliplecisi)

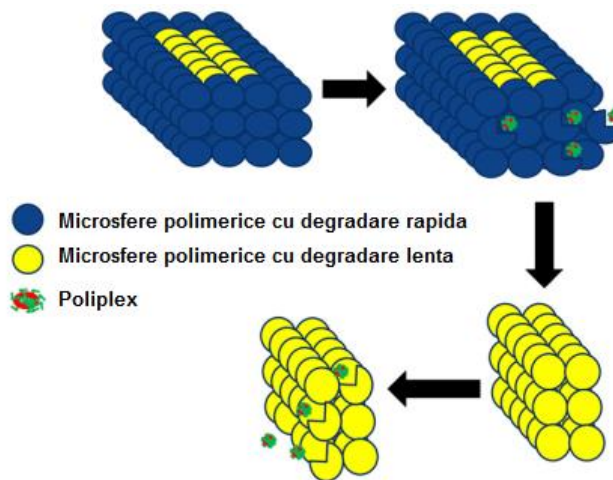
Material scaffold	Structura scaffold	Polimer cationic	Raport N:P	Plasmida	Ref.
Colagen tip I (din tendon cabalin)	Burete	PEI	6:1	P55pCMV-IVS-luc+	36
Colagen tip I (din derma bovine)	Film	PEI	10:1	Plasmida pGL3	30
	Burete	PAMAM partial degradata	1:1 ÷ 10:1	gLUC plasmida luciferaza Gaussia Princeps	27
	Burete	PEI	10:1	plasmida cu gena reporter (1) fosfataza alcalina (2) pGL3- luciferaza	30
	Pasta sau granule	PLL	2 : 1	plasmida cu gena reporter (1) pEGFP-N1 (2) FGF2 cADN (3) (TK)cADN (4) NT3cADN (5) BDNF cADN	31
Colagen tip I (din derma bovine)	Film	PMAM G5 G7 G9	0,1:1 ÷ 20:1	plasmida cu gena reporter (1) pCF1-Luc (2) pCF1CAT (3) pEGF1	32
Acid hialuronic / colagen	Pasta sau granule	PLL	2:1	plasmida cu gena reporter (1) pCF1-Luc (2) GFP	32
Colagen / acid poliglicolic	Hidrogel	PEI	5:1	plasmida cu gena reporter pBacBH2	33
	Burete	PEI acetilata	3:1 masic	plasmida cu gena reporter hBMP-2	

**Tabelul 3.** Carrieri polimerici cu aplicatii in transfectie

Polimerul	Avantaje	Limite
Chitozan	Buna biocompatibilitate si biodegradabilitate; caracter imunogen scazut; toxicitate redusa; activitate antimicrobiana.	Slaba insolubilitate la pH fiziologic. Eficienta slaba de transfectie.
PEI	Capacitate ridicata de condensare a ADN, mai mare pentru PEI liniar comparativ cu de PEI ramificat. Activitate endosomală intrinseca. Capacitate de tamponare. Eficienta ridicata de transfectie, cu posibila crestere in cazul PEI modificata hidrofob.	Biodegradabilitate scazuta sau lipsa. Contradictie intre citotoxicitate si eficienta de transfectie, ambele dependente de masa moleculara.
PAMAM	Functionalitate de suprafata ridicata. Eficienta de transfectie relativ buna. Uniformitate dimensională. Citotoxicitate mai joasa comparativ cu alte materiale.	Eficienta de transfectie modesta.
PLGA	Biodegradabilitate buna. Biocompatibilitate buna.	Eficienta scazuta de incapsulare si eliberare a pADN. Induce aciditate in mediul lichid.
PLL	Capacitate excelenta de condensare a pADN, care creste cu masa moleculara	Citotoxicitate relativ joasa. Slaba eficienta de transfectie.

Limitele actuale in cazul acestor sisteme combinate sunt corelate nu doar cu unele dezavantaje ale poliplecilor, ci si cu posibilitatile de eliberare controlata a genelor (prin procese de difuzie si biodegradare) si de sterilizare finala a sistemului complex. O varianta propusa pentru a asigura controlul spatio-temporal la eliberarea materialului genic, prezentata in Figura 9, presupune incapsularea diferitelor gene in microsfere polimerice, care prin fuziune pot genera, in anumite conditii, un scaffold tridimensional. Utilizand tehniciile actuale microsferele pot fi distribuite rapid si in mod controlat in structura spatiala finala a complexului. Din punctul de vedere al eliberarii inlantuite in timp, se presupune ca mai intai se va elibera materialul aflat la marginea structurii spatiale si apoi cel din interior, procesul fiind controlat de difuzie si eventual de viteza de biodegradare. De remarcat este faptul ca se pot obtine rezultate mai bune, in ceea ce priveste localizarea si persistenta expresiei genice, precum si cresterea ratei de suprvietuire a celulelor pe termen lung in cazul folosirii unei combinatii intre colagen si alt material (polimer natural sau sintetic, ori material anorganic) pentru realizarea scaffold-ului.

In acest context, pentru una dintre alternativele de realizare a noi vectori non-virali, s-a optat pentru nano-particule multifunctionale pe baza de atelocolagen si polimeri cationici. Aceasta optiune are in vedere posibilitatea includerii in sisteme combinate vector non-viral/matrice tridimensională tip scaffold, in baza (i) rezultatelor bune raportate in literatura in cazul utilizarii colagenului sub diverse forme ca suport in transfectie (mai ales in tratarea/regenerarea tesutului osos), (ii) evidențierii activitatii osteoinductive a formelor colagenice<sup>37</sup>, (iii) datelor anterior obtinute privind caracteristicile sistemului selectat (colagen-acid hialuronic-PCL) (lucrari anterioare ale grupului, incluzand si rezultate din etapele 2012 si 2013 ale acestui proiect<sup>38,39,40,41,42</sup>).



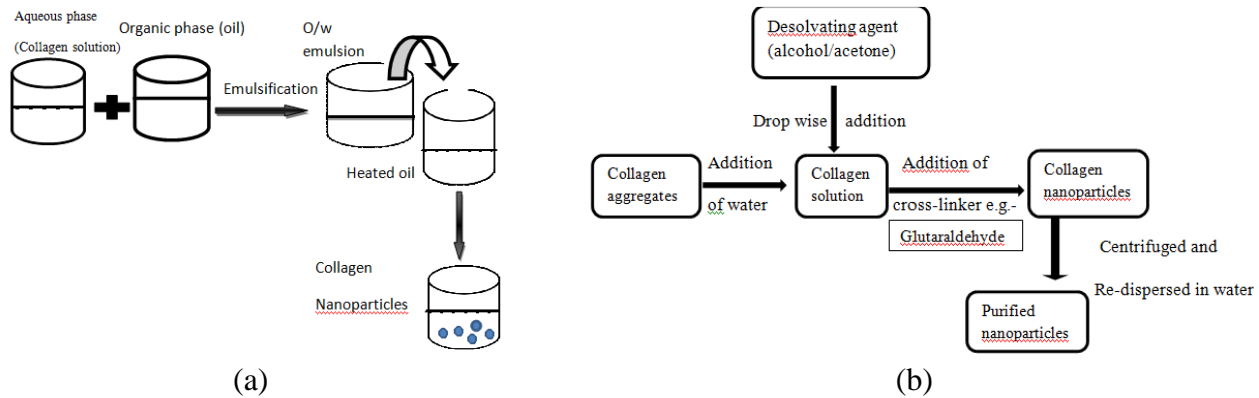
**Figura 9.** Principiul de alcatuire a unui scaffold ce asigura controlul spatio-temporal la eliberarea materialului genic.

Micro- si nano-particule pe baza de biopolimeri (proteine, polipeptide, acizi nucleici, polizaharide si amestecuri ale acestora) se pot obtine prin urmatoarele metode<sup>43,44</sup>:

- a) emulsionare (Figura 10a);
- b) desolvatare indusa de modificarea temperaturii sau pH-ului, de adaosul de saruri sau solventi organici, de complexarea cu macromolecule, ori prin ultrasonare sau chiar prin reticulare chimica (Figura 10b);
- c) coacervare (Figura 10c<sup>45</sup>);
- d) atomizare (spray drying);
- e) altele: fluidizare si precipitare; polimerizare interfaciala; extrudere prin ace, membrane sau canale ale unor dispozitive destinate tehnicilor microfluidice (microfabricare<sup>46,47</sup>), tehnologii de fabricare a particulelor cu dimensiuni de inalta precizie (PPF)<sup>48</sup>; incorporare de surfactanti in sistem<sup>49</sup>; autoasamblare (utilizand vezicule lipidice ca matrita sau ca microreactor<sup>50</sup>); tehnici litografice<sup>51</sup>; tehnici bazate pe utilizarea de fluide in stare supercritica sau a presiunii ridicate etc.

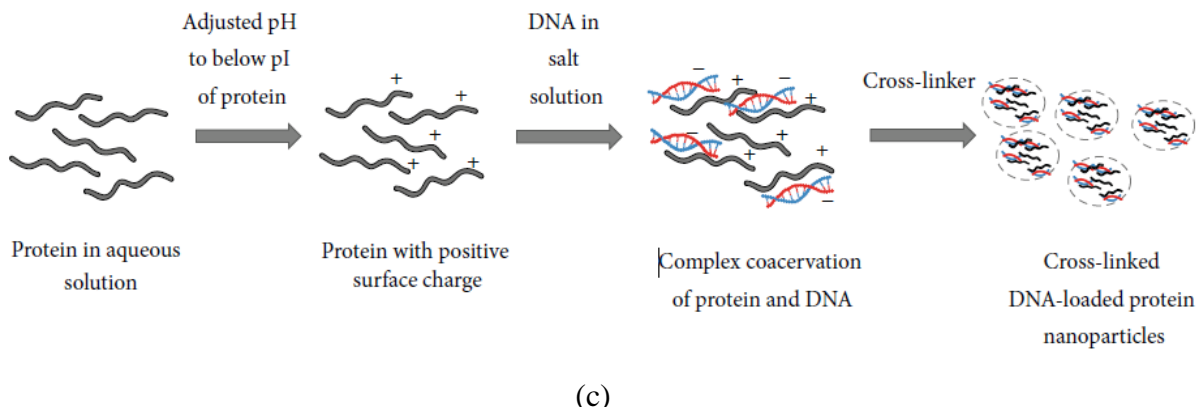
Metodele clasice sunt insotite adesea de alterarea structurii native. Pastrarea biocompatibilitatii este insa posibila prin evitarea utilizarii agentilor chimici de reticulare, in favoarea stabilizarii prin interactii ionice sau prin tratamente fizice<sup>52</sup>. Un deosebit interes s-a acordat cresterii functionalitatii si versatilitatii formelor collagenice prin modificare chimica sau conjugare cu alte molecule ori materiale functionale, ceea ce permite eliberarea succesiva sau concomitenta a mai multor agenti bioactivi (functie de modul de incarcare si localizare a componentelor bioactive in structura nanocapsulei), eliberarea dirijata (urmare functionalizarii superficiale), cresterea eficientei terapeutice si asigurarea de facilitati in strabaterea barierelor biologice (prin cresterea permeatiei si efectului de retinere)<sup>53</sup>. Comparativ cu micro- sau nanoparticulele ori micro- sau nano-capsulele pe baza doar de polimeri sintetici, cele pe baza de biopolimeri sau de combinatii biopolimer/polimer sintetic ofera si avantajul reducerii imunogenicitatii<sup>54</sup>.

Parte din alternativele preparative dezvoltate in cazul micro-/nanocapsulelor pe baza de proteine sunt redate in Figura 11.

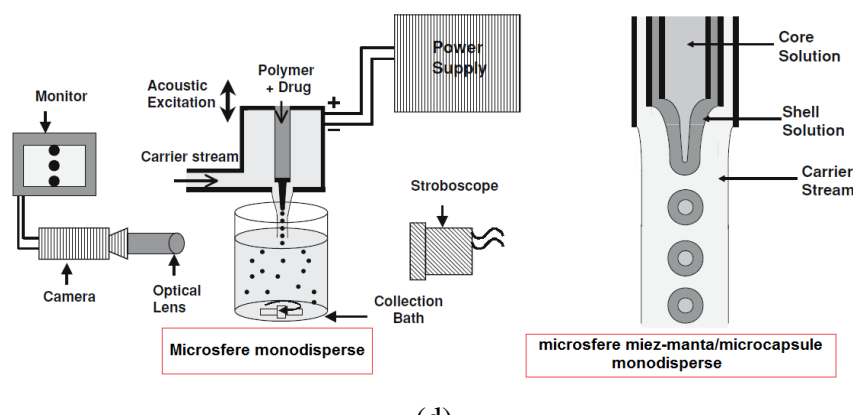


(a)

(b)

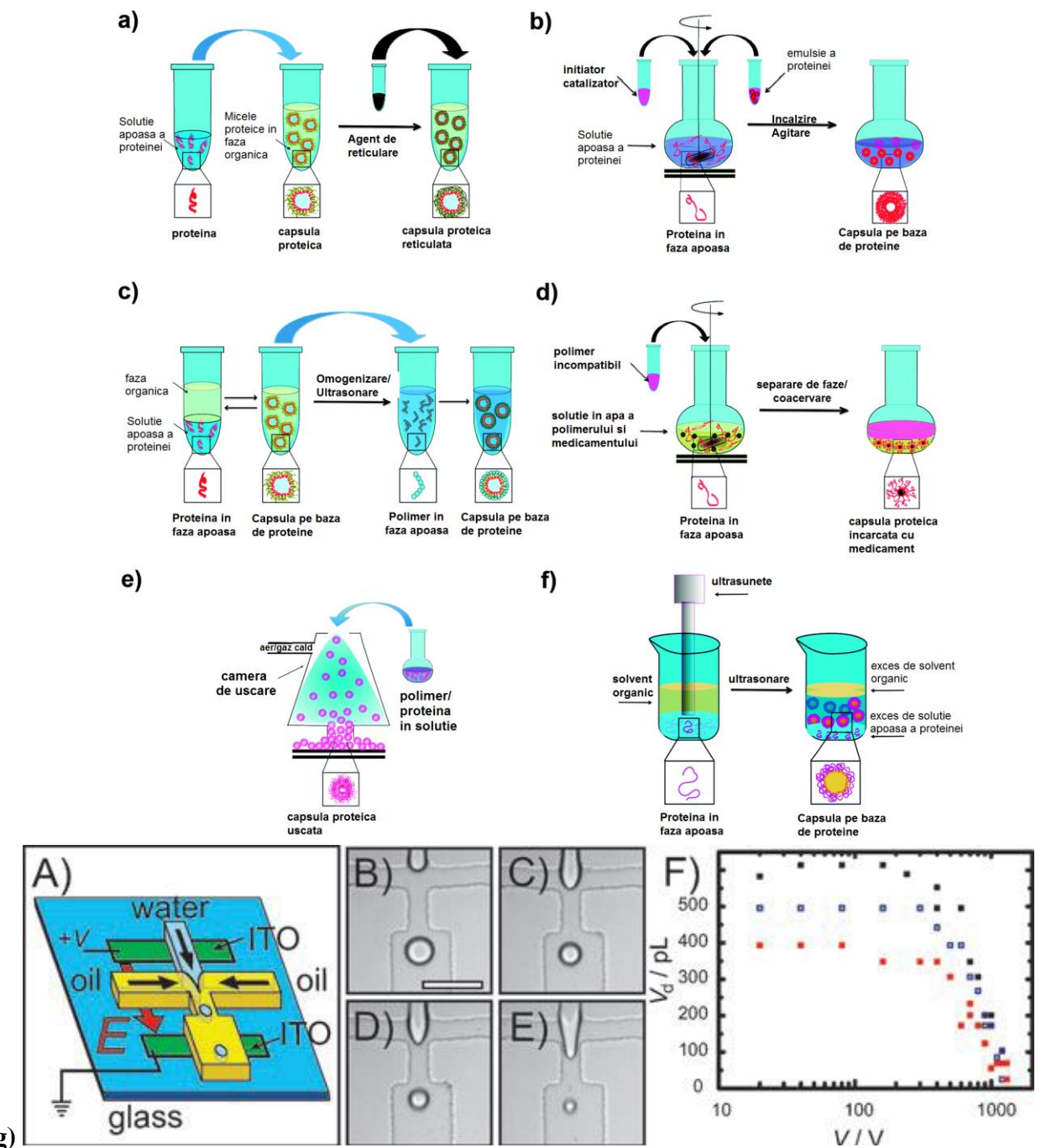


(c)



(d)

**Figura 10.** Alternative de preparare a micro- si nano-particulelor pe baza de proteine (colagen, gelatina etc.): (a) emulsionare; (b) desolvatare; (c) coacervare; (d) PPF.



**Figura 11.** Reprezentarea schematică a metodelor de emulsionare utilizate la prepararea de capsule pe baza de proteine:

(a) emulsionare simplă; (b) polimerizare (reticulare); (c) dubla emulsionare; (d) separare de faze / coacervare; (e) atomizare; (f) emulsionare prin ultrasonare; (g) emulsionare în dispozitivele microfluidice (A. Generarea de micropicaturi încărcate cu sarcini electrice sub acțiunea curgerii și a campului electric; scaderea dimensiunilor la creșterea tensiunii aplicate: B.  $V=0$  V; C.  $V=400$  V; D.  $V=600$  V; E.  $V=800$  V; F. efectul vitezei de curgere și al campului electric asupra dimensiunilor picaturilor pentru 3 valori diferite ale vitezei de curgere a fazări uleioase continue :  $Q_c=80$   $nLs^{-1}$  (negru), 110  $nLs^{-1}$  (albastru) și 140  $nLs^{-1}$  (rosu)).

Pentru colagen, metodele generale de obținere și caracteristicile sistemelor nanoparticulare rezultate sunt redate în Tabelul 4.

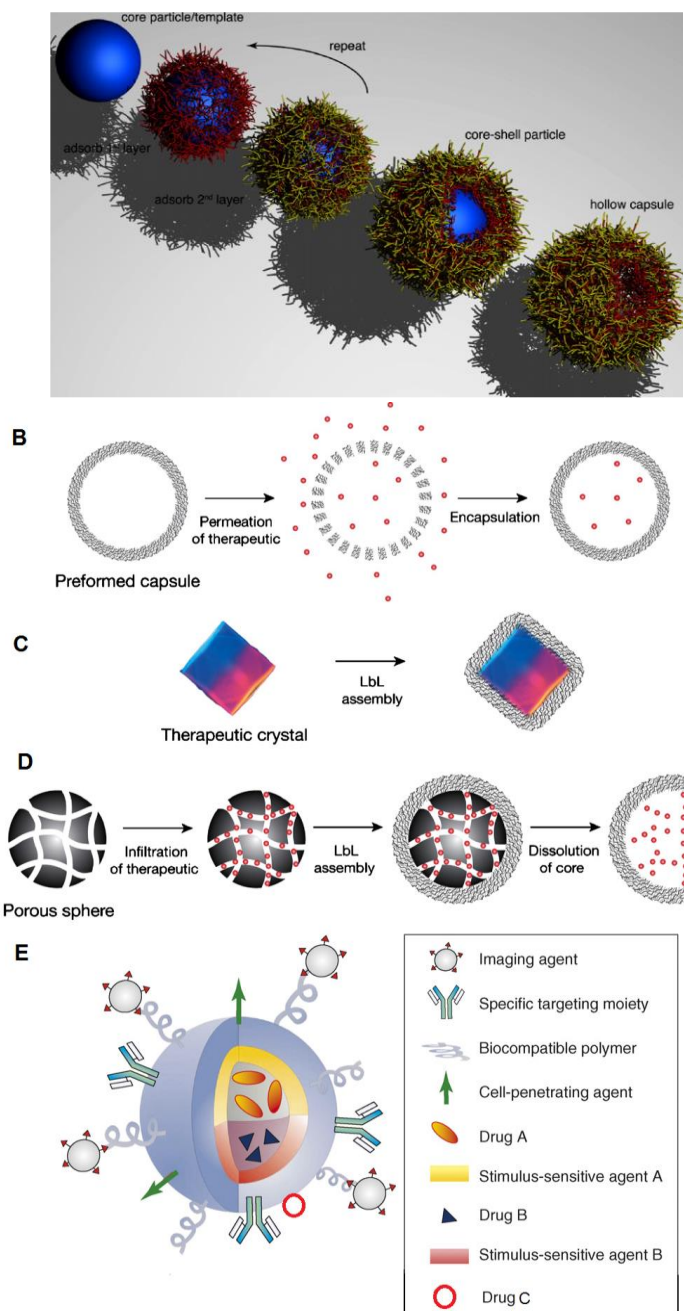
**Tabelul 4.** Realizarea micro- si nano-capsulelor pe baza de colagen.

<b>Metoda de emulsionare</b>	<b>de Stabilitatea</b>	<b>Dimensiunea nanocapsule</b>	<b>Toxicitate</b>	<b>Aplicabilitate in eliberare de principii active</b>
Separare de faze	Medie	1-2 mm	Medie	Compatibil
Coacervare	Inalta	100-200µm	Netoxic	Compatibil
Extragerea solventului	Medie	100 nm–1 µm	Netoxic	Compatibil
Polimerizare templata	Inalta	100 nm–1 µm	Netoxic	Nu exista date

Pentru marirea functionalitatii / versatilitatii se procedeaza la functionalizarea suprafetei prin: (i) utilizarea unui amestec de doua proteine cu functionalitate diferita; (ii) acoperirea capsulelor proteice cu alti polimeri biocompatibili; (iii) conjugare cu polizaharide; (iv) conjugare cu diferiti liganzi. Selectarea polimerilor ce formeaza stratul de suprafata in structurile multistrat poate asigura o stabilitate crescuta (rigidizare) a micro-/nano-capsulei, biocompatibilitate, capacitate de raspuns la diversi stimuli externi<sup>55</sup> sau permeabilitate selectiva, importanta pentru etapa de incarcare/elibera (selectiva) de component bioactiv.<sup>56</sup> O alternativa pentru realizarea de micro-si nano-capsule cu functionalitate crescuta prin realizarea structurilor multistrat o reprezinta aplicarea tehnicii de depunere strat-cu-strat (LbL),<sup>57,58</sup> caracterizata prin versatilitate si flexibilitate. Aceasta se bazeaza pe adsorbtia succesiva a unor specii cu sarcini electrice opuse, ce genereaza structuri multistat. Depunerea se poate realiza pe un substrat initial, care poate avea diferite forme si dimensiuni, de la suprafete plane pana la particule sferice. Desi tehnica LbL avea drept scop initial realizarea de filme pe un substrat solid, cu controlul grosimii filmului si al sarcinii de suprafata, in timp s-a demonstrat ca poate fi utilizata si pentru adaptarea porozitatii, capacitatii de umflare sau hidratare, a vascoelasticitatii, topografiei in filme si micro-/nano-particule, doar prin schimbarea naturii polielectrolitului, a pH-ului sau tariei ionice in solutia ce se utilizeaza la depunerea fiecarui strat subtire. In domeniul biomedical, structurile multistrat ofera posibilitatea varierii cineticii si profilului de elibera in limite largi. Componenta bioactiva poate fi inglobata in interiorul rezervorului capsulei, in straturile peretelui capsulei, sau la suprafata acesteia (Figura 12). Straturile pot dobandi permeabilitate diferita, viteza diferita de degradare, eventual abilitate de raspuns la diversi factori externi. Aceasta tehnica se poate aplica cu succes si in cazul biopolimerilor.<sup>59,60</sup> Există mai multe raportari privind obtinerea si caracterizarea unor micro-/nano-particule (micro-/nano-capsule) pe baza de colagen vizand aplicatii atat in elibera controlata, cat si in formulari cosmetice<sup>61</sup>. Cele mai importante aspecte investigate includ: (a) controlul dimensional si structural, respectiv controlul functionalitatii, care sa asigure controlul abilitatii de elibera a compusului bioactiv (cinetica de elibera si eficienta terapeutica), (b) meninterea biocompatibilitatii (indicata fiind pastrarea structurii native de triplu helix), (c) elaborarea de noi metode de obtinere sau eficientizarea celor existente, deoarece metodele clasice pentru obtinere de sisteme particulate aplicate la biopolimeri conduc adesea la matrici instabile, sau necesita etape de preparare derulate in conditii drastice (tratamente chimice, termice, iradiere UV), care afecteaza structura nativa a proteinei. Tehnicile recent elaborate pentru obtinerea de micro-/nano-particule (microsfere sau microcapsule) multistrat pe baza de polimeri naturali sau sintetici, sunt cele nanolitografice, microfluidice<sup>62</sup>, sau tehnologia de fabricare cu precizie a particulelor (PPF).

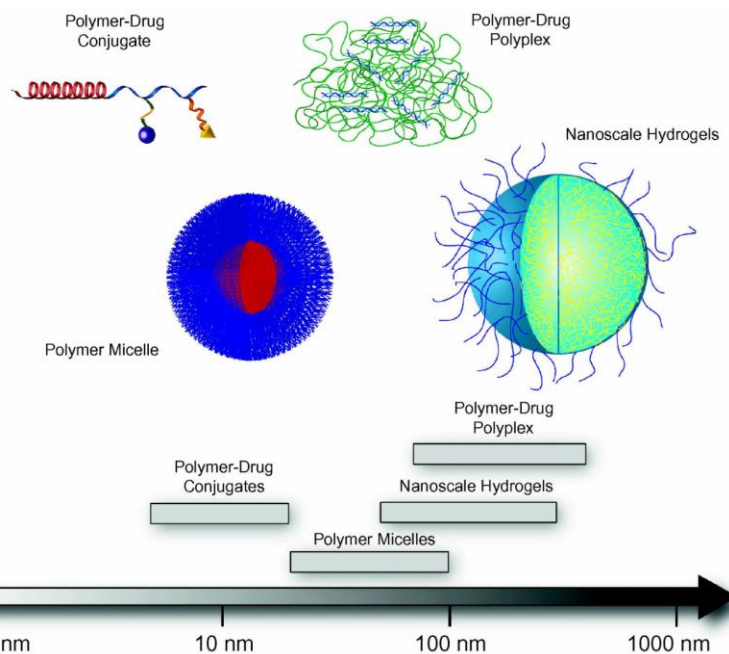
Cele mai multe date cu privire la sisteme particulate cu perete multistrat pe baza de colagen se refera la microparticule de dimensiuni apreciabile<sup>63</sup>, in domeniul nanometric, atinse de obicei in cazul conjugatelor (formarea structurilor multistrat avand la baza procese de autoasamblare)<sup>64</sup> (Figura 13). Controlului distributiei dimensionale si obtinerea de particule monodisperse, cu dimensiuni controlate, este posibila doar utilizand dispozitive speciale de microfluidica. Pentru microsferele de colagen dimensiunile minime

raportate sunt de circa 350nm, produse în interiorul unor vezicule lipidice cu rol de matrita spatială (template), printr-un proces de auto-asamblare.



**Figura 12.** Micro-/nano-capsule multistrat cu aplicatii in eliberarea controlata.

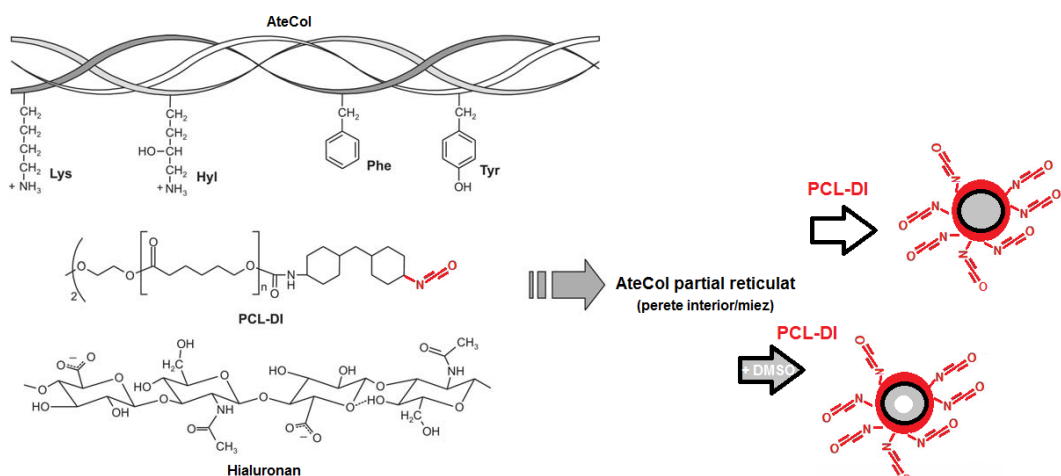
(A) Formarea prin depunere succesiva pe o particula coloidală templat, urmată de îndepartarea selectivă a miezului (micro-/nano-sferei templat) prin peretele polimeric semipermeabil. Diferite metode de incapsulare a compusului activ: (B) încarcarea unor capsule preformate; (C) incapsulare de particule cristaline; (D) înglobarea în particule poroase; (E) Micro-/nano-capsula multistrat cu funcționalitate multiplă, cu abilitate de eliberare controlată a mai multor compusi biologic activi.



**Figura 13.** Dimensiuni tipice pt sisteme particulate de eliberare a compusilor bioactivi<sup>65</sup>.

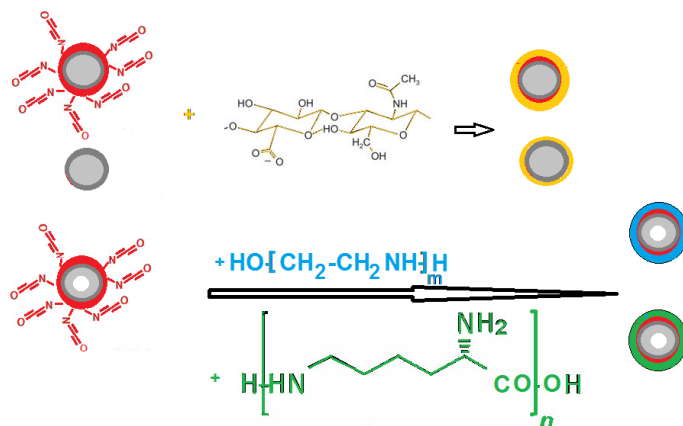
In mod original, in cadrul prezentului proiect s-a optat pentru o sinteza in mai multe etape, bazata pe metoda dublei emulsii (cu indepartare prin evaporare a solventului), care permite controlul dimensiunilor particulelor finale prin varierea conditiilor de reactie (concentratia polimerului, concentratia surfactantului, raportul faza dispersa/faza continua, viteza de agitare), echipamentul de laborator fiind foarte simplu.

Intr-o prima etapa s-a realizat un amestec semigeliat de proteina - polizaharida - agent de reticulare, care apoi s-a introdus intr-o solutie in clorura de metilen a polimerului vizat sa formeze un prim strat de acoperire. Intr-o a treia etapa, emulsia rezultata s-a transferat intr-o a doua faza, apoasa, ce contine alcool polivinilic drept stabilizator, generandu-se o a doua emulsie. Dupa indepartarea prin evaporare a solventului, particulele au fost supuse separarii (prin centrifugare), purificarii (cycluri de centrifugare/spalare repeatate). Functie de conditiile de reactie particulele rezultante detin un strat exterior de grosime variabila, constituit din policaprolactona grefata cu grupe izocianat nereactionate (Schema 1).



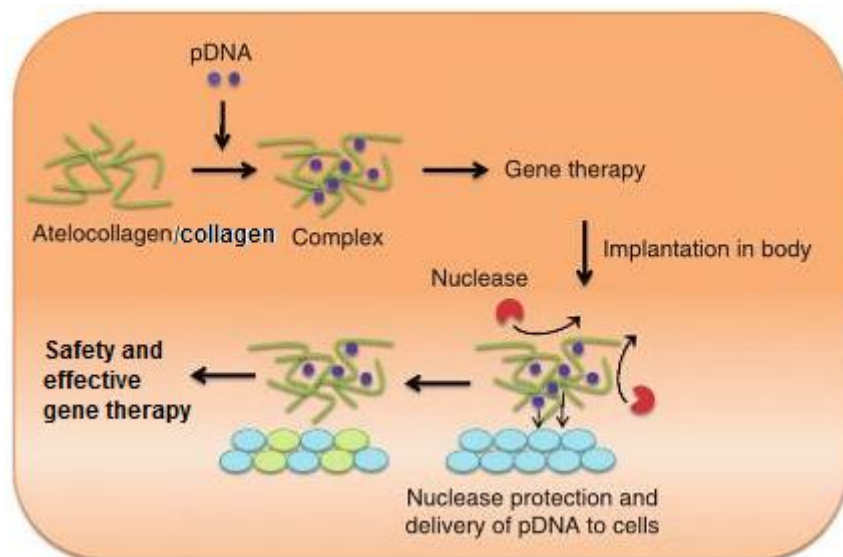
**Schema 1.** Reactiile implicate in obtinerea particulelor pe baza de biopolimeri cu strat exterior PCL-DI.

Parte din particule au fost redispersate in apa bidistilata si supuse unor reactii de functionalizare de suprafata. Drept material pentru ultimul strat de acoperire s-a utilizat acidul hialuronic, polietilenimina si poli(L-lizina) (Schema 2).



**Schema 2.** Utilizarea grupelor izocianice pentru atasarea straturilor de suprafata pe baza de DMSHA, PEI sau PLL.

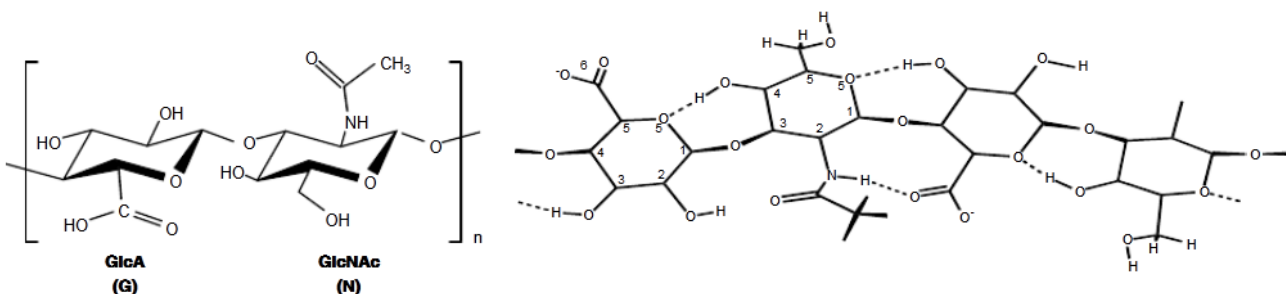
Drept componenta proteica, in prima etapa, s-a utilizat atelocolagen (AteCol)<sup>66</sup>, acesta prezentand avantajul antigenicitatii scazute fata de colagenul intact, puritate si reproductibilitate crescute, solubilitate si prelucrabilitate mai buna. Aceste caracteristici au fost valorificate in sisteme destinate transfectiei<sup>67,68,69,70,71</sup>, cu rezultate promitatoare. La temperaturi joase (sub 35°C, preferabil sub 25 °C), la pH≤6 colagenul/atelocolagenul poate complexa cu ADN, asigurand compactarea si protejarea acestuia din urma fata de alterarea fizico-chimica si de atacul nucleazelor, caracteristica ce sta la baza unor studii aplicative in transferul genic (Figura 14). S-a remarcat totusi faptul ca valorile expresiei genice pentru sistemul pADN/purtator biocompatibil non-viral (pADN inclusa in lipozom sau complexata cu PEI) incorporat in matrice de colagen au fost superioare in raport cu rezultatul obtinut in cazul utilizarii pADN ca atare, liber. S-a evideniat astfel avantajul utilizarii sistemelor combinate implantabile pe baza de colagen in obtinerea expresiei genice adevarate, prelungirea si localizarea acesteia.



**Figura 14.** Mecanismul eliberarii de material genic mediata de atelocolagen/collagen.

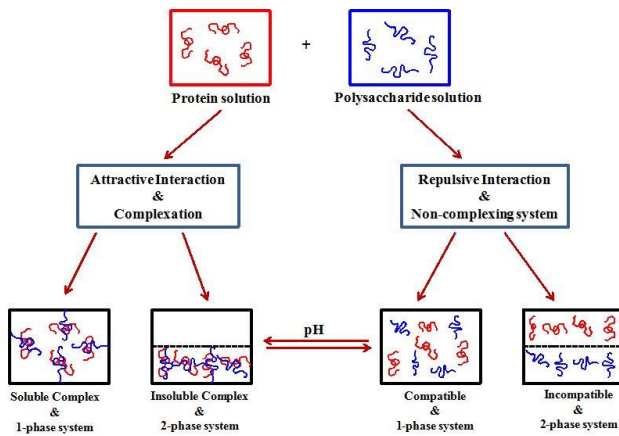
Pentru realizarea unui material cu proprietati similare matricii extracelulare (ECM) si cu o stabilitate crescuta atelocolagenul s-a reticulat cu un derivat de acid hialuronic (dimetil-silandiol-hialuronat, DMSHA),

prin tratamente fizice si chimice: iradiere UV si utilizarea unui derivat bifunctional reactiv de poli-( $\epsilon$ -caprolactona), conform Schemei 1, in vederea ajustarii caracteristicilor fizico-chimice ale produsului. Acidul hialuronic (Figura 15) este un glicozaminoglican (GAG) solubil in apa, caracterizat prin biodegradabilitate, biocompatibilitate, non-imunogenicitate, capacitatea de a forma filme sau geluri. Acesta dobandeste incarcare anionica in conditii fiziologice, putand fi usor prelucrat si modificat chimic intr-o mare varietate de derivati.<sup>72,73,74</sup> In plus acidul hialuronic joaca un rol important in modularea functiilor biologice in organism si poate proteja ADN-ul impotriva degradarii oxidative.<sup>75</sup> In transferul genic<sup>76</sup> acidul hialuronic se regaseste: (i) ca atare sau sub forma de microcapsule in care a fost inglobat ADN-ul; (ii) in copolimeri cu un policationit (polietilenimina, chitosan, poli(L-lizina))<sup>77,78,79</sup>; (iii) in microsfere conjugate cu un anticorp monoclonal (cu abilitate de eliberare la tinta)<sup>80</sup>; (iv) in nanoparticule<sup>81</sup>. pDNA complexat cu PEI a fost imobilizat intr-un hidrogel pe baza de colagen si acid hialuronic utilizand interactiuni necovalente (biotina-avidina si adsorbție nespecifică)<sup>82</sup>. In toate cazurile s-au obtinut rezultate superioare fata de utilizarea de ADN simplu, respectiv diminuarea efectului toxic, prelungirea duratei de eliberare, cresterea eficientei transfectiei, eliberare la tinta etc.



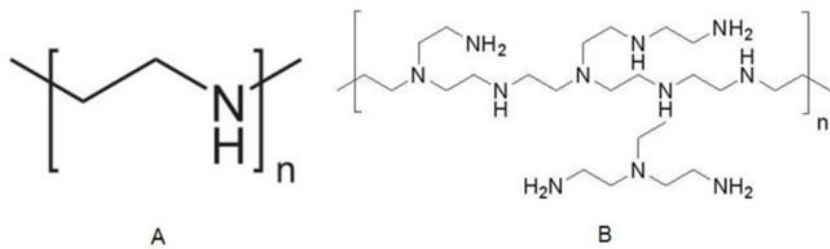
**Figura 15.** Acidul hialuronic. Structura chimica si reteaua legaturilor de hidrogen in hialuronan.

Derivatii de acid hialuronic a fost folositi si pentru realizarea stratului de suprafata, in baza interactiunilor specifice dintre colagen si acid hialuronic<sup>83,84</sup> (complexare prin interactiuni electrostatice si legaturi de hidrogen, Figura 16), sau a interactiunilor posibile cu stratul PCL-DI exterior. De mentionat ca aceasta comportare specifica in sistemul proteina-polizaharid a fost utilizata in realizarea de filme multistrat prin tehnica LbL prima oara in 2005<sup>85</sup>, desi primele studii de utilizare a tehnicii LbL in realizarea de structuri multistrat pe baza de colagen se raportasera in 2001 (Kotov et al.<sup>86</sup>). Microcapsule multistrat pe baza de acid hialuronic si PLL, stabilizate prin reticulare au fost raportate in 2007<sup>87</sup>. In nici unul din aceste cazuri nu s-au efectuat studii ale aplicabilitatii in transfectie. Recent<sup>88</sup> s-au realizat microcapsule biodegradabile multistrat (cu dimensiuni de 3  $\div$  6  $\mu\text{m}$ ) cu perete constituit prin depunere succesiva de colagen si acid hialuronic (tehnica LbL) pe un miez de CaCO<sub>3</sub> (microparticule obtinute prin metoda de co-precipitare, caracterizate prin biocompatibilitate, toxicitate joasa, solubilizare facila in conditii blande, ex. in solutie apoasa HCl 1M), in care s-a inclus o proteina model (BSA). Studiul cineticii de eliberare a demonstrat posibilitatea de control si modulare a caracteristicilor peretelui multistrat (grosime si permeabilitate determinata de numarul de straturi depuse si de gradul de reticulare al acestora, realizata inainte sau dupa formarea capsulei). Nu sunt raportate studii privind realizarea de nanosfere/nanocapsule multistrat care sa contina colagen, acid hialuronic si policationiti capabili de complexare cu ADN.



**Figura 16.** Comportarea sistemului proteina- polizaharid functie de pH.

Polietilenimina (Figura 17), in forma ramificata (BPEI) sau liniara (LPEI) este polimerul cationic cel mai utilizat in transfectie<sup>89,90,91,92</sup> si unul dintre putinii polimeri sintetici care intra in componenta unui produs (vaccin pentru eliberarea ADN) aflat in testare la nivel clinic. Utilizarea sa in transfectie este argumentata de: capacitatea ridicata (dar mai mica decat a PLL) de compactare a ADN-ului, capacitate endosomala intrinseca, abilitatea de a penetra membrana celulara (endocitoza), efect de tamponare (efect de burete de protoni, Figura 18, care faciliteaza traficul prin citoplasma si eliberarea materialului genic). Eficienta in transfectie creste in general cu raportul N/P (excesul de PEI contribuind la evitarea capturii endosomale) si masa moleculara, dar in acelasi timp creste efectul toxic (citotoxicitate si hemocompatibilitate scazute). Lipsa biodegradabilitatii este insa un dezavantaj major. In timp s-au dezvoltat diverse strategii pentru diminuarea deficienelor, combinarea cu biopolimeri si PEG fiind printre alternativele des adoptate. S-a constatat ca forma liniara, indiferent de conditiile de utilizare, asigura o viabilitate crescuta celulelor, localizare nucleara si eficienta crescuta a transfectiei, comparativ cu vectorii non-virali pe baza de BPEI. LPEI cu Mw ~22kDa se afla actualmente in testare clinica. Numeroase studii efectuate cu vectori non-virali pe baza de LPEI sau BPEI cu mase moleculare mici, dar reticulate sau combinate cu alti polimeri, au demonstrat posibilitatea utilizarii acestei variante pentru a obtine atat eficienta crescuta in transfectie, cat si citotoxicitate mult diminuata.

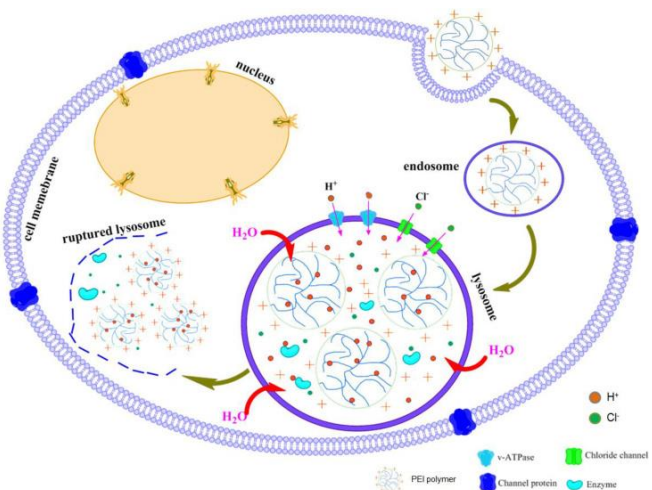


**Figura 17.** Structura polietleniminei liniare (A) si ramificate (B).

Cu toate ca a fost primul polimer utilizat in transfectie (la sfarsitul anilor '80), datorita abilitatii deosebite de a impacheta ADN-ul, poli(L-lizina) (PLL) are aplicatii mai restranse in raport cu alti polimeri (inclusiv cu PEI) din cauza citotoxicitatii (corelata cu cresterea masei moleculare medii) si a capacitatii medii/reduce de transfectie. Combinarea cu alti polimeri (PEG, peptide, proteine etc) s-a impus ca o alternativa de ameliorare a unor deficiente.

Una dintre tendintele ultimilor ani consta in combinarea mai multor materiale pentru a asigura performante optime (abilitate de impachetare a ADN si capacitate de transfectie) in conditiile unei

biocompatibilitati acceptabile (diminuarea citotoxicitatii), prin realizarea de nanoparticule miez/manta, care prezinta si avantajul penetrabilitatii crescute in virtutea dimensiunilor reduse (si controlabile).<sup>93</sup>



**Figura 18. Efectele utilizarii PEI in tehniciile de transfectie.**

In aceste conditii s-a optat pentru combinarea PEI si PLL cu biopolimeri (reducerea citotoxicitatii, cresterea biodegradabilitatii). Considerand datele de literatura, s-a preferat utilizarea de LPEI cu Mn ~1,6kDa, densitatea grefelor LPEI la suprafata nanocapsulei asigurand concentrarea adevarata a grupelor aminice secundare, cu eficienta in impachetare si transfectie.

Functie de dimensiune, particulele cu stratul superficial de derivat de acid hialuronic ar putea fi utilizate in vederea realizarii unui vector non-viral prin depunere succesiva de PLL si DMSHA (tehnica LbL, similar), sau ca o componenta (capabila de legare fizica) in sisteme injectabile tip scaffold pe baza de colagen.

## II.2. Prepararea nanoparticulelor pe baza de biopolimeri acoperite cu PCL-DI

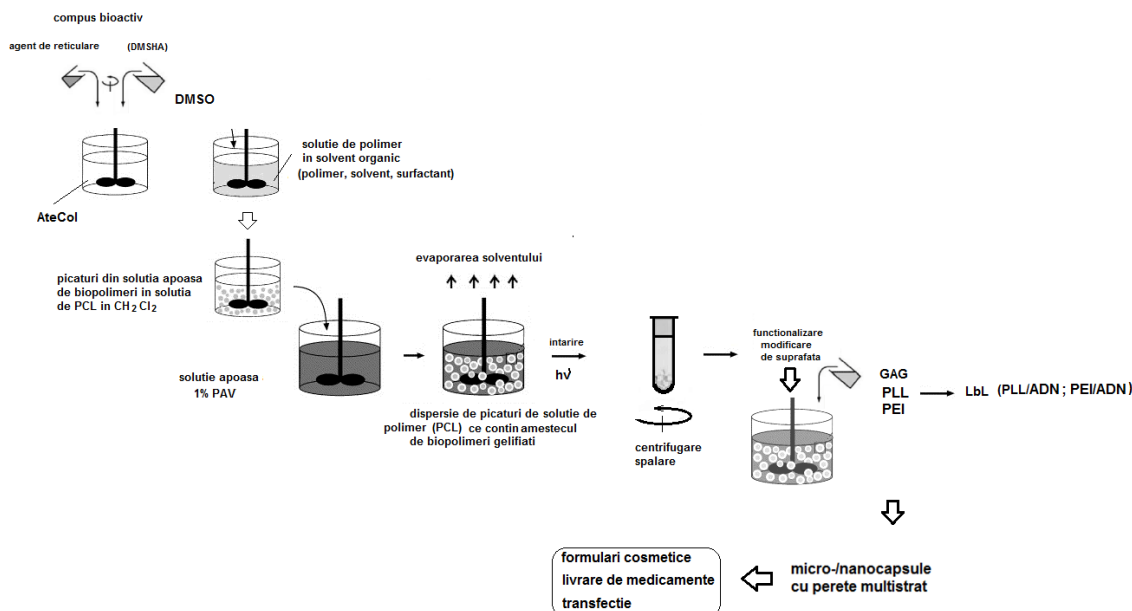
Particulele pe baza de biopolimer cu strat exterior din poli( $\epsilon$ -caprolactona) s-au preparat prin metoda dublei emulsiei cu indepartarea prin evaporare a solventului. (conform schemelor 1 si 3).

S-au luat in considerare urmatorii parametri: compozitia amestecului initial de biopolimer si agent de reticulare PCL-DI (raportul DMSHA/AteCol, procent de agent de reticulare raportat la cantitatea de biopolimer), concentratia polimerului sintetic (PCL-DI) si a surfactantului in solutia de clorura de metilen (faza organica). Rezultatele sunt prezentate in Tabelul 5.

Deoarece proprietatile fizice ale unui hidrogel pe baza de colagen pot fi usor controlate prin formulare si grad de reticulare, este posibila o ajustare fina in acest mod a comportarii la eliberarea de compusi bioactivi. In acest scop, protocolul adoptat presupune realizarea intr-o prima etapa a unei dispersii de biopolimer cu reticulare slaba, datorita unui procent variabil de agent de reticulare (diizocianat de poli( $\epsilon$ -caprolactona), PCL-DI). Amestecul este introdus in lucru imediat dupa realizare, sau se folosesc cantitati definite dintr-o *dispersie mama* stocata la -25°C, pentru max 15 zile. Portiuni din acest amestec partial gelificat au fost solubilizate sau nu in DMSO si s-au adaugat, prin picurare, sub agitare energica (1000 rpm), la o solutie de PCL-DI in clorura de metilen (raport amestec initial : CH<sub>2</sub>Cl<sub>2</sub> de 1:4 v/v), ce include un surfactant (Triton X-100).

DMSO este un solvent recunoscut pentru actiunea sa farmacologica drept antiinflamator, analgezic local, bacteriostatic, inhibitor al colinesterazei, diuretic, potentiator de actiune a medicamentelor administrate concomitent, vasodilatator, antioxidant, protector fata de actiunea distructiva a radiatiilor (prin

efect antioxidant si actiune directa asupra ADN, la concentratii mici), crioprotector.<sup>94,95,96,97</sup> Poate influenta favorabil caracterul imunogen al colagenului (stimuleaza sistemul imunitar) si asigura diminuarea aderentei de trombocite (anticoagulant). Functie de concentratie poate influenta favorabil, sau nefavorabil multiplicarea si diferențierea celulelor, respectiv procesul de replicare a ADN si transcriptia. Aceasta explica aplicatiile multiple dar si masurile de precautie impuse.<sup>98,99</sup> In cazul de fata DMSO este utilizat pentru solubilizarea colagenului slab reticulat, ceea ce asigura o dispersare eficienta in faza organica (dimensiuni mai mici pentru nanoparticulele rezultate), dar permite si obtinerea de nanocapsule, in lipsa sa obtinandu-se micro-/nano-sfere. DMSO, fiind un solvent miscibil cu apa si solventii organici, difuzeaza in mediul lichid prin peretele polimeric, evitand astfel acumularea in produsul final peste limita de toxicitate (fiind indepartat prin cicluri de centrifugare/spalare). Se asigura astfel un control al porozitatii/permeabilitatii peretelui micro-/nanocapsulei.



**Schema 3. Prepararea micro-/nanoparticulelor cu perete multistrat pe baza de AteCol/PCL.**

Dupa cum reiese din Tabelul 5 si din curbele DLS prezентate in figura 19, dimensiunea si polidispersitatea dimensională sunt influentate mai ales de iradierea dispersiei rezultate dupa indepartarea solventului organic prin evaporare, de eficienta solvirii amestecului initial in DMSO si de procentul de surfactant in solutia de PCL-DI in clorura de metilen. Iradierea dispersiei rezultate dupa indepartarea solventului asigura stabilizarea stratului exterior format din PCL-DI printr-o slaba reticulare (rezultat al interactiunii grupelor izocianice in exces cu grupele -NH<sub>2</sub> si -COOH generate dupa scindarea statistica a catenelor poliesterice sub actiunea radiatiilor UV, intr-un procent minim in conditiile utilizate: 5 minute iradiere a dispersiei racite la 4°C) si legare suplimentara la grupele -NH<sub>2</sub> si -SH accesibile din stratul de biopolimeri. Fara iradiere se obtine o distributie multimodală (proba 1). Raportul DMSO:CH<sub>2</sub>Cl<sub>2</sub> nu trebuie sa scada sub 1.2:4 v/v, cresterea dimensiunii si a polidispersitatii dimensionale fiind drastica sub aceasta valoare (Tabel 5, probele 4 si 5). Efectul concentratiei de Triton X-100 este mai modest (Tabel 5, probele 5 si 6). Alaturi de acesti doi parametri, eficienta dispersarii este puternic influentata de viteza de agitare si de forma agitatorului, toate contribuind la stabilitatea emulsiilor, aceasta din urma dictand dimensiunea si distributia dimensională finală a particulelor generate.

Scaderea continutului in PCL-DI, atat in amestecul initial cat si in solutia in CH<sub>2</sub>Cl<sub>2</sub> nu afecteaza mult randamentul, sau dimensiunea finala, dar pentru valori extreme (foarte mari sau foarte mici in raport cu gruparile cu care pot interactiona functiunile izocianice) poate crea probleme de stabilitate a stratului

exterior, cu afectarea polidispersitatii dimensionale (proba 3, proba 6). O cantitate mare de agent de reticulare afecteaza porozitatea stratului pe baza de biopolimer. Conform unor date anterioare peste 30% PCL-DI in amestecul initial presupune existenta unui exces peste maximul de grupe reactive ce pot fi implicate in reactia cu grupele izocianice disponibile. Pentru a asigura o stabilitate si permeabilitate adevarata a peretelui polimeric s-a recurs la combinarea AteCol cu DMSHA in amestecul initial (abilitate de complexare/reticulare prin interactiuni specifice) si reducerea continutului in PCL-DI in solutia organica. Se poate observa ca rezultate optime se obtin cu un continut de 5% PCL-DI si 2% DMSHA in amestecul initial si, respectiv, 30% PCL-DI in solutia de clorura de metilen (Tabelul 5).

**Tabelul 5.** Influenta parametrilor de preparare asupra caracteristicilor sistemelor particulate rezultante.

Cod	AteCol (%)	DMSHA <sup>a</sup>	PCL-DI <sup>b</sup> (%)	PCL-DI <sup>c</sup> (%)	Surf <sup>d</sup> (%)	UV <sup>e</sup>	$\eta$ (%)	Dn <sup>f</sup> (nm)	PDI <sup>f</sup>
<b>1</b>	100	-	50	66.7	4	-	77	$32.3 \pm 8.8; 3868.6 \pm 978.4$	0,53
<b>2</b>	100	-	50	66,7	4	+	85	$33.4 \pm 9.9$	0,18
<b>3</b>	100	-	50	1	4	+	92	$25.9 \pm 4.4; 68.4 \pm 18.1$ 1065.3 $\pm 227.3$	0,65
<b>4</b>	100	-	50	30	2,5	+	67	$88.1 \pm 21.2$	2,59
<b>5</b>	100	2	5	30	4	+	82	$100,6 \pm 25,8$	0,85
<b>6</b>	100	2	5	50	2,5	+	70	$65,7 \pm 18,3$	1,2
<b>7</b>	100	2	5	30	2,5	+	75	$26,9 \pm 5$	0,5
<b>8</b>	100	2	5	1	2,5	+	78	$23.2 \pm 6.5$	0,2
<b>9</b>	100	2	5	30	1,25	+	70	$38,9 \pm 15$	1,6

a- fata de cantitatea de AteCol din dispersia initiala;

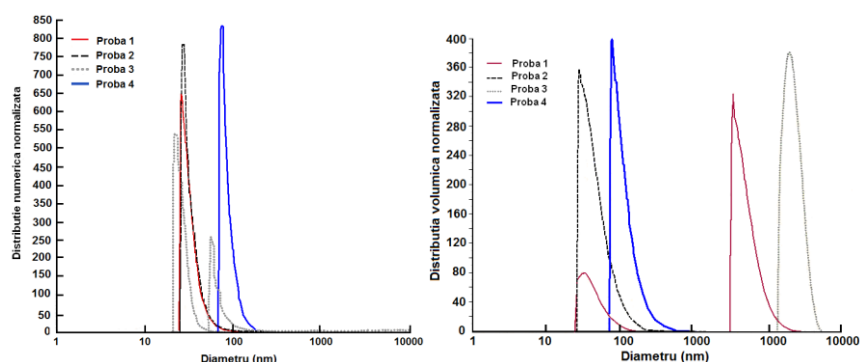
b- fata de amestecul initial de biopolimeri;

c- PCL-DI in  $\text{CH}_2\text{Cl}_2$  fata de amestecul de polimeri initial;

d- continut procentual de surfactant in solutia de clorura de metilen (v/v) ;

e- iradiere a sistemului W/O/W final (4 min, lampa cu mercur Osram HBO 200 W) dupa 4,5 ore de agitare la temperatura camerei si 30 min pe baie de gheata (1000 rpm);

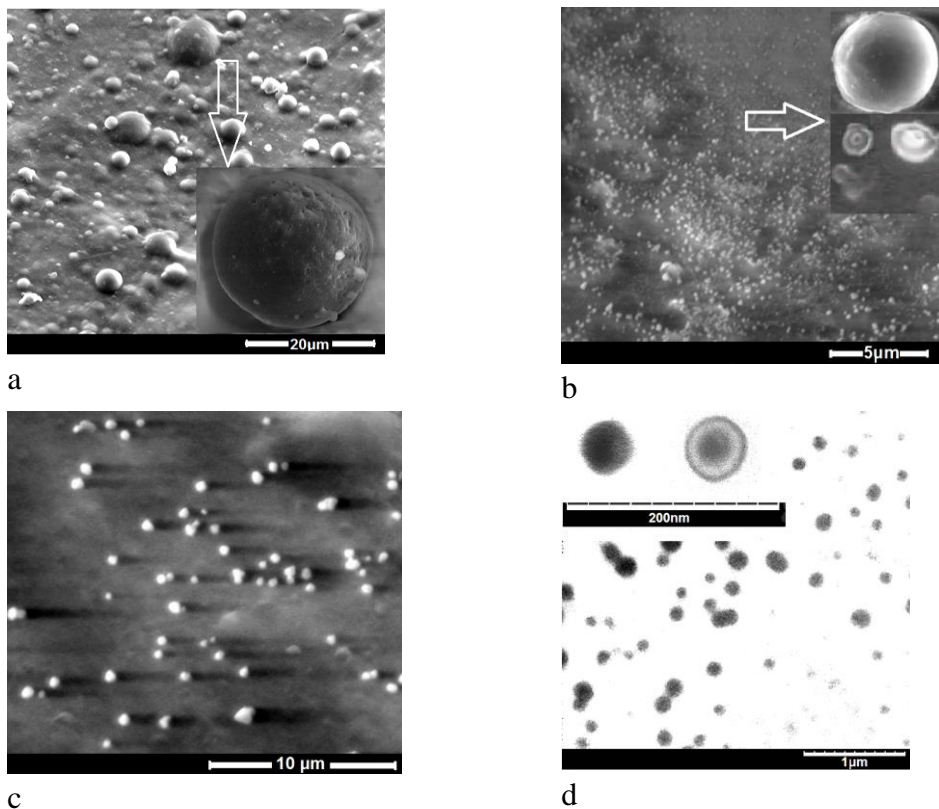
f- Dn, diametrul mediu numeric; PDI, indice de polidispersitate ( $\text{PDI} = (\sigma/D)^2 = \text{patratul raportului intre deviatia standard si diametrul mediu}$ ); determinari DLS (Laser Shimadzu-SALD 700)



**Figura 19.** Distributia numerica si volumica pentru probele 1- 4 (date DLS).

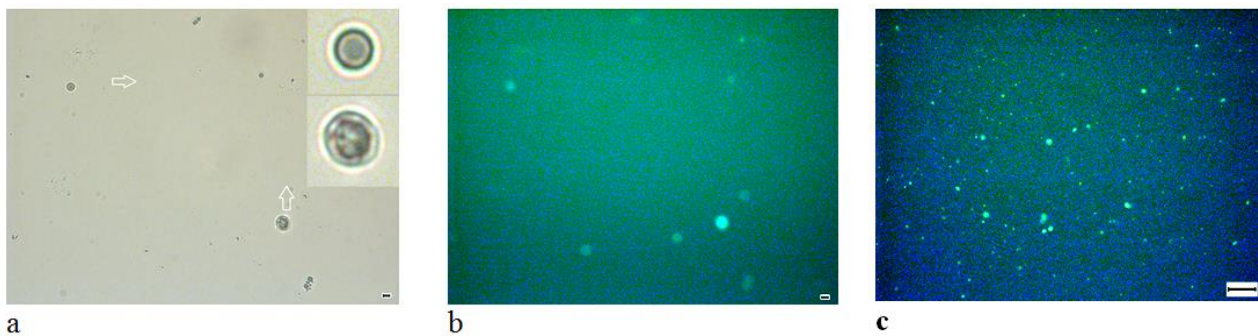
Particulele rezultante se remarca prin forma sferica, stabilitate, dimensiuni in domeniul micronic sau chiar nanometric, functie de formulare. Stabilitatea creste, iar polidispersitatea dimensională scade odata cu marirea cantitatii de PCL-DI din solutia de clorura de metilen, care formeaza stratul de suprafata. Din

microfotografiile SEM se observa ca iradierea UV in etapa finala contribuie la stabilizarea suplimentara si atasarea eficienta a stratului de PCL, dar si la diminuarea polidispersitatii dimensionale (Figura 20).



**Figura 20.** Microfotografii tipice pentru probele: (a) 1 (fara iradiere UV, SEM); (b) 2 (cu iradiere UV, SEM); (c) 6 (PCL-DI inlocuit cu DMSHA in amestecul initial, SEM); (d) 7,

Structura poroasa a particulei suport pe baza de biopolimeri este evidentata mai ales in cazul probei 1, neiradiate, si a probei 3, cu un aport minim de poliester in etapa a doua, la care acoperirea este deficitara fie datorita atasarii inadecvate, fie datorita unei cantitati insuficiente de poliester pentru a asigura acoperirea eficienta a particulelor (Figura 20 a, proba 1). In ultimul caz, acoperirea neuniforma, insuficienta, a fost confirmata si de o stabilitate precara a particulelor in conditiile investigarii prin SEM, acestea fiind usor deformate sub actiunea fasciculului de electroni la durete mai mari, datorita sensibilitatii biopolimerilor. Formarea de nanocapsule este confirmata prin vizualizarea particulelor polimere in sectiune (Figura 20b, detaliu proba 2). Inlocuirea parciala a PCL-DI cu DMSHA in amestecul initial asigura generarea de nanoparticule stable, cu dimensiuni in domeniul submicronic, astfel incat s-a optat pentru aceasta formulare a amestecului initial. Retinerea AteCol in interiorul nanocapsulelor este evidenitata din observatiile de microscopie de baleaj si transmisie (Figura 20) dar si prin microscopie de fluorescenta (microscop Leica DM 2500, dotat cu o camera color Leica DFC425 C, cu sistem de racire; Figura 21), colagenul prezentand autofluorescenta.<sup>100</sup> Eficienta procedeului s-a evideniat si prin vizualizarea nanoparticulelor cu dimensiuni sub 100 nm (Figura 21c), separate prin ultrafiltrare cu Amicon Ultra-Centrifugal Filters (Millipore)



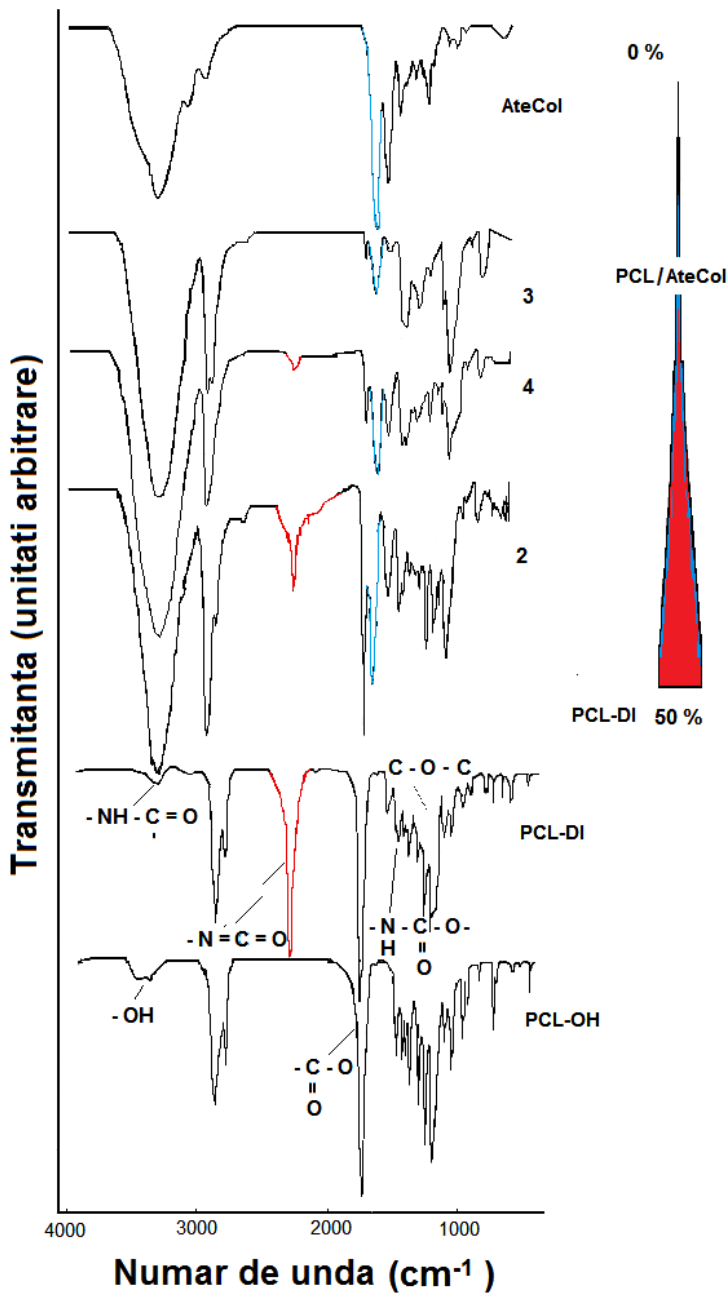
**Figura 21.** Vizualizarea nanoparticulelor multistrat pe baza de biopolimeri si PCL prin microscopie de fluorescenta (proba 7): inainte (a) si dupa filtrare (b) si (c). Scala: 2 $\mu$ m.

Compozitia chimica a nanocapsulelor multistrat si mentinerea reactivitatii grupelor izocianice de suprafata dupa separare si purificare (5 cicluri de centrifugare / redispersare prin agitare si ultrasonare / spalare cu apa bidistilata) este evidentiată si in spectrele FTIR ale probelor (Figura 22). In spectrele inregistrate pentru materialele sintetizate se pot identifica semnale atribuite colagenului la  $3300\text{ cm}^{-1}$ ,  $3080\text{ cm}^{-1}$ ,  $1630\text{ cm}^{-1}$ ,  $1550\text{ cm}^{-1}$  si  $1240\text{ cm}^{-1}$ . Acestea apartin in majoritate benzilor amidice ale acestei proteine, respectiv amida A ( $\nu(\text{NH})$ ), amida B ( $\nu(\text{NH})$ ), amida I ( $\nu(\text{C=O})$ ,  $\nu(\text{NH})$ ), amida II ( $\nu(\text{NH})$ ,  $\nu(\text{CN})$ ) si amida III (picuri pentru  $\nu(\text{CN})$ ,  $\delta(\text{NH})$ ) - si vibratiilor grupei  $\text{CH}_2$  din lantul principal si lanturile laterale ale prolinei.<sup>101,102,103</sup>

Banda amidei I, un marker sensibil al structurii secundare a peptidei, nu isi schimba pozitia sau forma prin adaugare de DMSHA sau PCL, ceea ce indica faptul ca structura colagenului nu este afectata. Intensitatea sa variaza esential functie de formulare.

Introducerea de poliesteri alifatici in formulari duce la cresterea intensitatii benzilor situate in jurul valorii de  $2940\text{ cm}^{-1}$  si  $2874\text{ cm}^{-1}$  (asociate cu grupele  $\text{CH}_2$ ; vibratii asimetrice si simetrice) si a semnalelor de la  $1079\text{ cm}^{-1}$  si  $1031\text{ cm}^{-1}$  (suprapunere a absorbtiei grupelor C–O–C din inelul eteric si din gruparile esterice ale PCL). Sunt evidențiate noi absorbtii la  $1730\text{ cm}^{-1}$  (atribuite grupei C=O esterice din PCL) si  $1160\text{ cm}^{-1}$  (o parte atribuita vibratiei C–O–C din grupa esterica si o parte vibratiei antisimetrice in inelul eteric din hialuronan, in compusii cu DMSHA<sup>104</sup>). Intensitatea lor este corelata in principal cu procentul de PCL in produsul polimeric final.

Semnalul de la  $2270\text{ cm}^{-1}$  coresponzator grupei izocianice pierde din intensitate, pana la disparitia completa, functie de cantitatea de PCL-DI adaugata in amestecul initial de biopolimeri, gradul de consumare al acesteia in reactia de reticulare, dar mai ales functie de cantitatea de PCL-DI din solutia in clorura de metilen, atasata la suprafata particulelor.



**Figura 22.** Spectre FT-IR pentru probele 2-4 (Tabel 5) comparativ cu AteCol, PCL-DI si PCL-OH.

### II.3. Functionalizarea de suprafata

Functionalitatea superficiala poate fi utilizata pentru atasarea de noi compusi (legarea la suprafata a unor medicamente, agenti de dirijare sau de marcare etc.) sau modificarea chimieei de suprafata a nanoparticulelor rezultate. Astfel, prezenta grupelor izocianice reactive la suprafata nanoparticulelor a fost ulterior utilizata pentru atasarea unui strat superficial de poli (L-lizina) sau polietilenimina, creand astfel posibilitatea aplicarii nanoparticulelor complexe multistrat rezultate in transportul si eliberarea controlata a unor componente bioactive sau in transfectie.

In cazul nanoparticulelor pe baza de AteCol neacoperite sau acoperite cu un strat foarte subtire de PCL-DI, se poate face uz de capacitatea de complexare a colagenului cu acidul hialuronic pentru a obtine nanoparticule cu miez poros preponderent proteic si strat superficial pe baza de glicozaminoglican, materiale recomandate ca suport pentru atasare/eliberare medicamente, dar si in medicina regenerativa, pentru scaffold-uri injectabile.

Realizarea acestor modificari a fost confirmata prin analiza spectrala (FTIR, fotocolorimetrie), caracterizare dimensională (diametrul mediu) și de suprafață (potential zeta prin masuratori DLS) și prin vizualizare cu ajutorul tehniciilor microscopice (microscopie electronica de transmisie, de baleaj sau de fluorescenta).

Pentru grefarea cu PLL și PEI s-au utilizat probele 6, 7 și 9, iar pentru testarea abilității de legare a DMSHA s-au utilizat probele 6 și 8 (Tabelul 6).

**Tabelul 6.** Caracteristicile nanocapsulelor după funcționalizare de suprafață cu PLL, PEI, DMSHA

Cod	Atecol (%)	PCL-DI <sup>a</sup> (%)	DMSHA <sup>b</sup> (%)	PCL-DI <sup>c</sup> (%)	Surf <sup>d</sup> (%)	PEI <sup>e</sup> (%)	PLL <sup>e</sup> (%)	DMSHA <sup>e</sup> (%)	Dn <sup>f</sup> (nm)
<b>6PLL</b>	100	5	2	50	2.5	-	10	-	20.0±4.60
<b>7PLL</b>	100	5	2	30	2.5	-	10	-	100.0± 26.7 110.0*
<b>7PEI</b>	100	5	2	30	2.5	10	-	-	100.0*
<b>9PEI</b>	100	5	2	30	1.25	10	-	-	117,5*
<b>6H</b>	100	5	2	50	2.5	-	-	10	68.7±18.1
<b>8H</b>	100	5	2	1	2.5	-	-	10	150.3±40.6

<sup>a</sup> fata de cantitatea totala de biopolimeri din dispersia apoasa initiala

<sup>b</sup> fata de cantitatea de AteCol in amestecul alimentat initial

<sup>c</sup> PCL-DI in CH<sub>2</sub>Cl<sub>2</sub> raportat la amestecul initial de polimeri din faza apoasa

<sup>d</sup> concentratia de surfactant in CH<sub>2</sub>Cl<sub>2</sub>

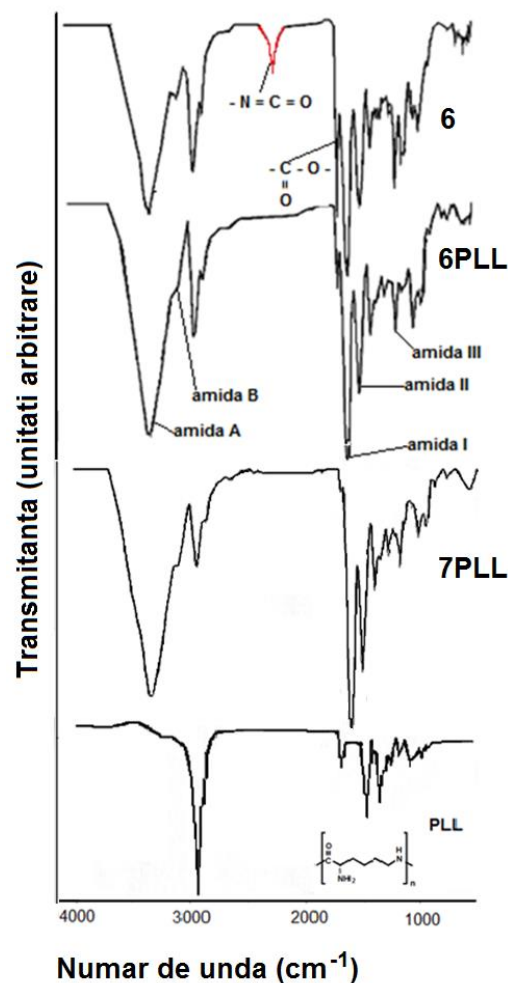
<sup>e</sup>PEI, PLL, DMSHA raportat la cantitatea de nanoparticule introduse in reactia de functionalizare

<sup>f</sup>diametrul mediu numeric din date DLS si TEM\* (\*Dn=ΣNiDi/ΣNi, unde Ni=numar de particule cu diametrul Di)

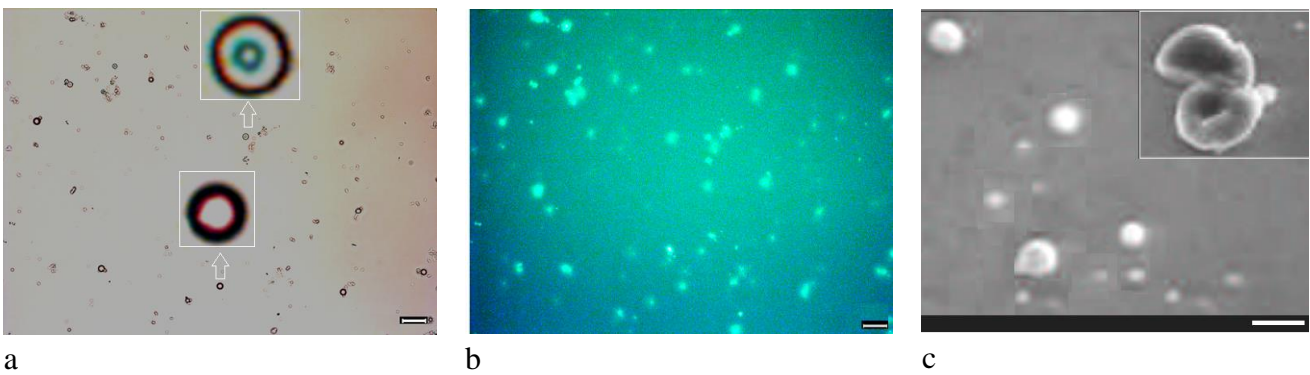
Din compararea spectrelor FTIR (Figura 23) pentru nanoparticule înainte și după tratarea cu poli(L-lizina) se poate observa disparitia (banda specifică grupei izocianice de la 2270 cm<sup>-1</sup>) sau diminuarea (benzile de la 1160 și 1031 cm<sup>-1</sup>, caracteristice C-O-C în gruparea esterica) semnalelor specifice PCL-DI. Creste intensitatea semnalelor de la aproximativ 1080 și 1350 cm<sup>-1</sup> (corelate cu prezenta benzilor amida III și V) și se intensifica și cel mai mare semnal ce corespunde benzii amida I.

Spectrele FTIR sunt utilizate frecvent pentru a monitoriza tranziția conformatională a colagenului, deoarece pot fi detectate schimbari specifice regiunilor amidice. Aceste regiuni evidențiază structura secundară a acestei proteine. Se observă că raportul intensității semnalelor de la 1240 cm<sup>-1</sup> și 1540 cm<sup>-1</sup> este aproximativ 1 după tratare cu poli(L-lizina), ceea ce confirmă menținerea structurii de triplu helix până la această etapă. Faptul că structura nativă a colagenului nu a fost afectată de includerea proteinei în rețea 3D este corelat, conform datelor de literatură, cu menținerea bioactivității, respectiv a caracterului imunogen scăzut. Pe de altă parte acest aspect al spectrului FT-IR sugerează (împreună cu restul modificărilor spectrale menționate anterior) pentru proba 6<sub>PLL</sub> o cuplare a PLL cu excesul de PCL-DI și formarea de copolimeri solubili, care trec parțial în faza apoasă. Acest aspect este argumentat și de prezenta unor semnale mai puternice pentru fragmentul de poli(L-lizina) atașat în cazul NP cu un strat mai subțire de PCL-DI, implicit mai bine legat de peretele interior de AteCol (proba 7, Figura 23). Aceasta comportare poate fi corelată și cu

diminuarea aparenta a dimensiunii medii a nanoparticulelor generate dupa modificare cu PLL, concomitent cu o crestere drastica a polidispersitatii in cazul probei 6<sub>PLL</sub> (Tabelul 6), efecte care nu pot fi atribuite cresterii stabilitatii coloidale prin atasarea catenelor hidrofile. Din acest considerent, pentru modificare ulterioara cu PLL sau cu PEI, s-a utilizat formularea ce implica doar 30% PCL-DI (in raport cu amestecul initial de polimeri, constituit din AteCol, 2% DMSHA raportat la AteCol si 5% PCL-DI raportat la total biopolimeri) in solutia de clorura de metilen. Aspectele constatate pentru proba 6<sub>PLL</sub> au fost astfel evitate in cazul probelor 7<sub>PLL</sub> si 9<sub>PLL</sub> (Tabel 6, Figura 23). Eficienta atasarii PLL a fost verificata prin analiza nanoparticulelor (proba 7) functionalizate cu PLL marcata fluorescent cu fluorescein-izotiocianat (PLL-FITC) in paralel cu proba 7<sub>PLL</sub> (nemarcata). Datele de spectroscopie de fluorescenta (evaluare la  $\lambda_{ex}$ : 485 nm;  $\lambda_{em}$ : 527 nm) au indicat un continut de 15 mg PLL-FITC/g nanoparticula. Microfotografii ale probelor marcate evidentaiza atat atasarea eficienta a PLL-FITC, cat si structura multistrat a nanocapsulelor astfel obtinute (Figura 24 a, b), remarcata de altfel si in microfotografiile SEM (Figura 24 c).

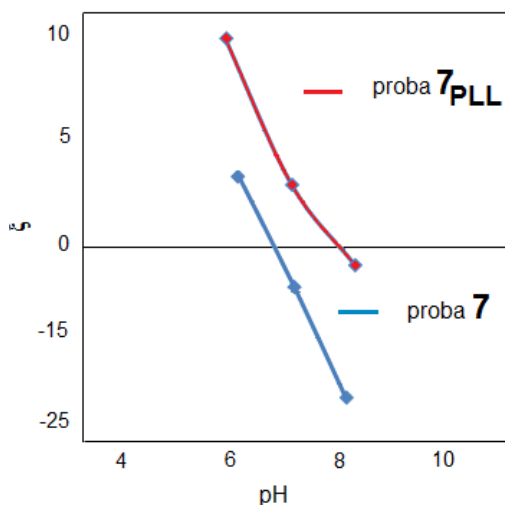


**Figura 23.** Spectre FT-IR pentru nanoparticulele grefate cu poli(L-lizina) (6<sub>PLL</sub>, 7<sub>PLL</sub>), comparativ cu intermediarii utilizati in reactie (nanoparticulele de plecare cu strat de suprafata pe baza de PCL-DI si poli(L-lizina) pura).



**Figura 24.** Microfotografii tipice pentru proba 7 functionalizata cu PLL-FITC (microscopie de fluorescenta in camp luminos (a) si intunecat (b) ) sau (c) PLL; Scala: 10  $\mu$ m.

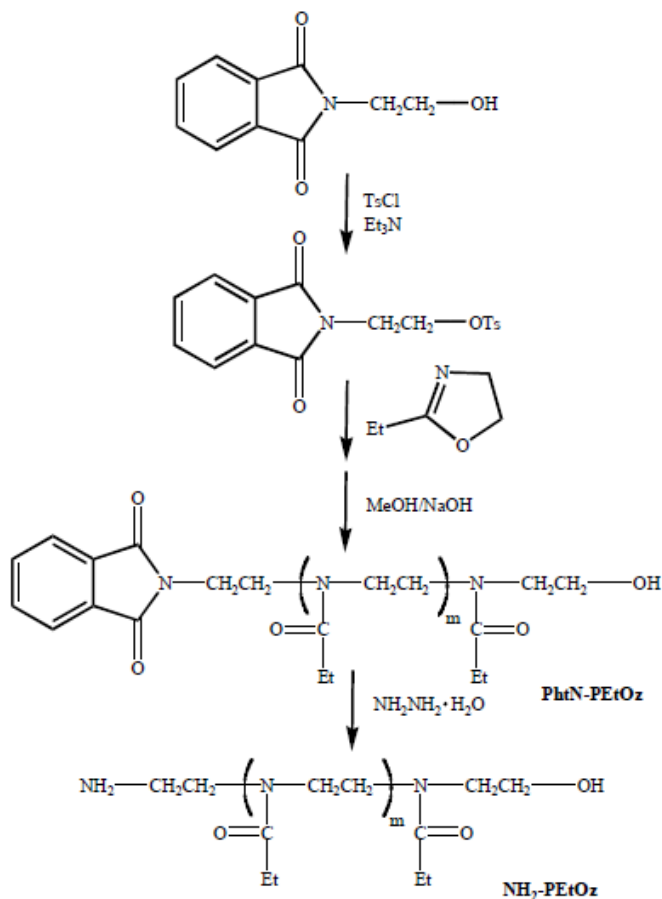
Curbele de titrare DLS, prezentate in Figura 25, evidentaiza cresterea potentialului zeta pe tot domeniul de pH investigat pentru NP modificate cu PLL, fata de nanoparticulele de plecare, acoperite doar cu PCL-DI, confirmand modificarea de suprafata.



**Figura 25.** Reprezentare comparativa a variației potentialului zeta pentru nanoparticulele sintetizate înainte (proba 7) și după funcționalizare superficială cu PLL (proba 7<sub>PLL</sub>).

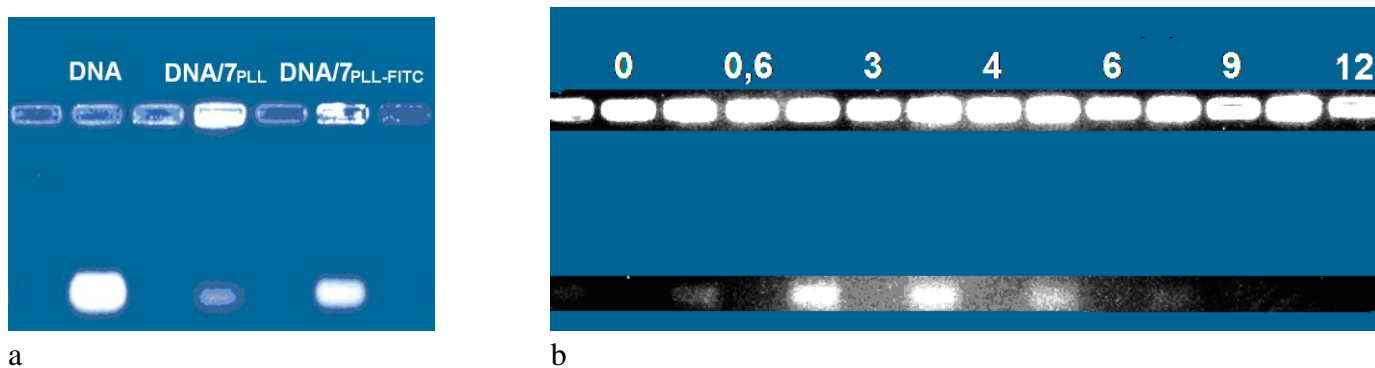
Pentru functionalizarea cu polietilenimina s-a utilizat polietilenimina liniara cu grupe terminale aminice si hidroxilice (HO-PEI-NH<sub>2</sub>), obtinuta prin hidroliza acida a poli(2-ethyl-2-oxazolinei) functionalizate corespunzator (Figura 26), cu grad de polimerizare mediu numeric GP<sub>n</sub> ~ 36 (Mn~1.6 kDa), pentru a evita efectele toxice specifice polietileniminei ramificate (BPEI) cu dimensiuni mari. Hidroliza s-a realizat printr-o alternativa modificata in baza datelor de literatura, iar cuplarea cu grupele izocianice de la suprafata nanoparticulelor s-a realizat la pH 6.5-7, urmata de purificare prin cicluri de centrifugare/spalare (cu apa bidistilata si solutie acida HCl 0,1M/apa). Investigatiile TEM, SEM, DLS si analiza spectrala (fotocolorimetrie) au confirmat realizarea cu succes a grefarii de LPEI la suprata nanoparticulelor. S-a inregistrat atat o crestere a dimensiunilor (Tabelul 6), cat si cresterea potentialului zeta la 13,4 (date obtinute la pH~6,5 pentru proba 7<sub>PEI</sub>). Analiza spectrofotometrica bazata pe formarea complexului cuproammoniacal in prezenta de Cu<sup>2+</sup>/acetat de potasiu (0,02 M, pH~5,5;  $\lambda$ =630nm) a evideniat un continut de 52 mg PEI/g NP in cazul probei 7<sub>PEI</sub> si 51,1 mgPEI/g NP in cazul probei 9<sub>PEI</sub>.

Synthetic Scheme for the preparation of NH<sub>2</sub>-PEtOz



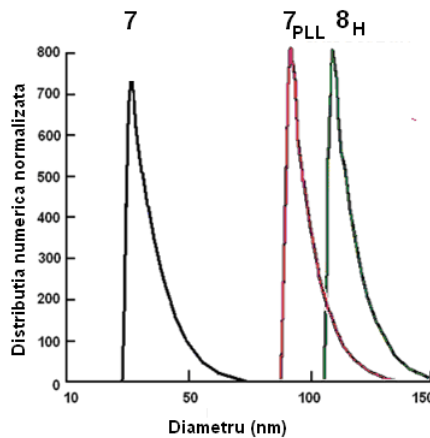
**Figura 26.** Schema de reactii pentru obtinerea H<sub>2</sub>N-PEI-OH.

Nanoparticulele astfel obtinute, cu secvente policationice la suprafata, au fost testate in privinta capacitatii de complexare cu ADN (ADN din sperma de somon, 2000 perechi baze,  $\sim 1.3 \times 10^3$  kDa). Testele pe sistem de electroforeza in gel de agaroză au evidențiat o capacitate optima de complexare la un raport N/P de 3,5 pentru proba 7<sub>PLL</sub> (Figura 27a) si respectiv  $\geq 6$  pentru proba 7<sub>PEI</sub> (Figura 27b). Pentru proba 7<sub>PLL-FITC</sub> impachetarea a fost mai putin eficienta (Figura 27a).

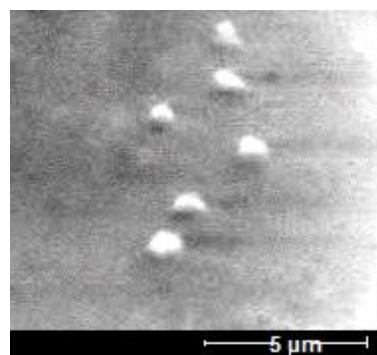


**Figura 27.** Testare a capacitatii de impachetare a ADN (electroforeza in gel de agaroză): a) proba 7<sub>PLL</sub> (la N/P=3,5, pH=7) comparativ cu 7<sub>PLL-FITC</sub>; b) proba 7<sub>PEI</sub>.

Atasarea derivatului hialuronic la suprafata particulelor de AteCol/PCL-DI este confirmata de: (i) o crestere mai mare a dimensiunilor fata de grefarea PLL si PEI (Tabele 5 si 6, Figura 28, date DLS); (ii) o diminuare a stabilitatii la actiunea fasciculului electronic (deformare rapida in cursul analizei SEM, Figura 29); diminuare a potentialului zeta, fata de nanoparticulele de origine, de la 8,52 la 4,45.

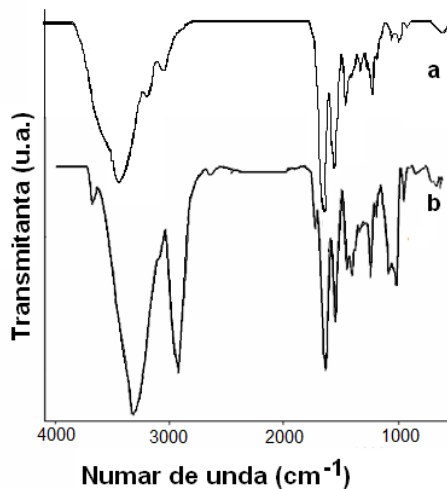


**Figura 28.** Reprezentare comparativa a modificarii dimensionale dupa functionalizarea de suprafata cu PLL sau DMSHA (date DLS). Probele : 8, 7<sub>PLL</sub>, 8<sub>H</sub>.



**Figura 29.** Microfotografie tipica pentru proba 8<sub>H</sub>.

Spectrul FT-IR (Figura 30) evidentaiza o marire accentuata sau aparitia de noi semnale la 1411 (banda amida III) si 1040 – 1100 cm<sup>-1</sup> (inel eteric).



**Figura 30.** Spectre FT-IR pentru: a) AteCol si b) proba 8<sub>H</sub>.

In conditiile de reactie utilizate (pH 6,5; temperatura camerei; in apa) se observa ca atasarea este mai eficienta in cazul aplicarii alternativei LbL (proba 8<sub>H</sub>), in baza interactiunilor specifice dintre colagen si acidul hialuronic, comparativ cu cazul atasarii DMSHA in urma interactiunii grupelor izocianice (de la suprafata nanoparticulelor complet acoperite cu un strat PCL-DI) cu grupele hidroxilice din

glicozaminoglican (proba 6<sub>H</sub>). De altfel, la testarea posibilitatii de aplicare in eliberarea de medicamente, utilizand albastru de metilen drept compus bioactiv model pentru proba 8<sub>H</sub> s-a obtinut o incarcare de 7,4 mg albastru de metilen/g nanoparticula, cu 6,08 % eliberare dupa 2h de incubare la 37°C in PBS, in timp ce pentru 6<sub>H</sub> incarcarea a fost doar de 0,35 mg albastru de metilen/g nanoparticula, iar dupa 2 h se eliberase deja 74,3% din aceasta cantitate. Aceasta comportare poate fi corelata cu: (a) gradul mare de reticulare in peretele particulelor acoperite cu PCL-DI, ceea ce afecteaza includerea eficienta a principiului activ; (b) o interactiune eficienta intre derivatul de acid hialuronic si albastrul de metilen (in principal interactiuni electrostatice) care asigura o incarcare mai eficienta si controlul cineticii de eliberare.

#### **II.4. Concluzii privind utilizarea colagenului in sisteme destinate transfectiei**

S-au realizat nanoparticule multifunctionale cu dimensiuni si caracteristici functionale adecvate unei posibile aplicari atat in transferul genic cat si in eliberarea de medicamente.

a. Prin aplicarea unei alternative modificate a metodei dublei emulsii (cu indepartarea prin evaporare a solventului), urmata de modificare chimica de suprafata prin grefare sau aplicarea tehnicii de depunere strat-cu-strat, s-au preparat in conditii blande (temperatura camerei) nanoparticule multistrat biodegradabile, sferice, stabile, cu perete interior/miez poros pe baza de biopolimeri (atelocolagen si dimetilsilanol hialuronat) si functionalitate diferita de suprafata, prin acoperire cu derivat functional reactiv de poli( $\epsilon$ -caprolactona), poli(L-lizina), polietilenimina, sau derivat al acidului hialuronic.

b. Caracteristicile dimensionale, topologia (nanocapsule multistrat sau nanosfere cu structura miez-manta) si chimia suprafetei pot fi controlate prin formulare si conditiile de reactie, prin selectia naturii, grosimii si numarului de straturi de suprafata depuse, in acord cu domeniul de aplicare vizat (eliberare de medicamente, transfer genic, inginerie tisulara, cosmetica). Principiile active pot fi incluse in interiorul particulei sau atasate la suprafata, ceea ce presupune posibila utilizare ca suport concomitant pentru material genic si alte principii bioactive, cu efect sinergetic.

c. Conditiiile de lucru au permis pastrarea nealterata a structurii native a proteinei in sistemele particulate multifunctionale finale.

d. S-a demonstrat capacitatea de impachetare a ADN de catre nanoparticulele grefate la suprafata cu policationiti (polietilenimina si poli(L-lizina)).

#### ***Directii de viitor in utilizarea colagenului in sisteme destinate transfectiei***

- realizarea de (nano)compozite: matrice organica ternara AteCol/DMSHA/PCL si hidroxiapatita/fosfat tricalcic in baza derivatilor sintetizati in acest an (AteCol-SH, PCL diacrilat);
- inglobarea sistemelor non-virale de transfer genic pe baza de polimeri naturali si sintetici in matricea tridimensională preformata sau in sistem injectabil;
- testarea eficientei in transfectie a sistemului complex vector non-viral pentru transfer genic/scaffold.

### III. Obtinerea de hidrogeluri autoorganizate pe baza de imino-chitozan

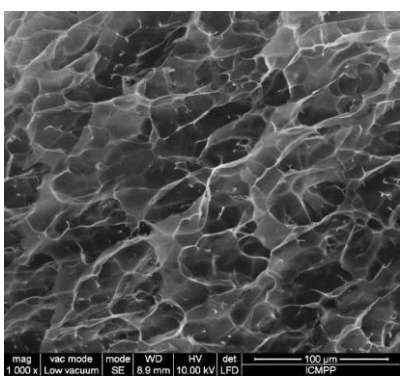
Chimia supramoleculara si dinamica constitutionala ofera o abordare evolutiva in generarea de sisteme chimice prin sinergia intre formarea de legaturi covalente reversibile la nivel molecular si inducerea de interactiuni intermoleculare necovalente la nivel supramolecular.<sup>105</sup> Auto-asamblarea componentelor in arhitecturi bine definite, controlate de afinitatile constitutionale, intruchipeaza fluxul de informatii structurale de la nivel molecular fata de dimensiunile nanometrice. Obtinerea nanomaterialelor cu arhitecturi 2-D si 3-D aplicand reactii reversibile intre componentelete constitutive ale sistemului nanometric reprezinta o solutie viabila si moderna pentru obtinerea de nanosisteme.<sup>106</sup>

In acest context, formarea de "hidrogeluri dinamice" biocompatibile prin aplicarea chimiei dinamice constitutionale este un subiect de mare actualitate atat din punctul de vedere al aplicabilitatii in in sfera biomedicala, cat si al abordarilor teoretice.<sup>107</sup>

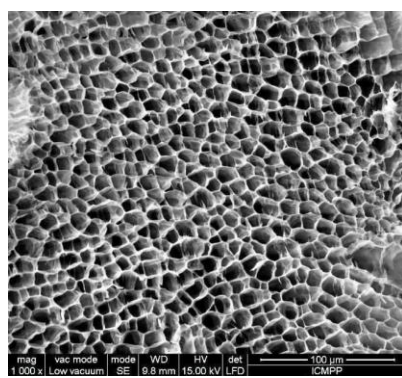
Dintre hidrogelurile raportate in literatura, cele pe baza de chitozan se bucura de o atentie deosebita datorita proprietatilor intrinseci ale acestui polizaharid, respectiv: biocompatibilitate, activitate antimicrobiana, antitumorală, hemostatica, abilitate de a forma filme sau acoperiri protective, neutralizarea acizilor grasi, capacitate de a accelera formarea tesutului osos etc., proprietati ce pot fi imbunatatite prin modificarea chimica a chitozanului prin reactii cu alti compusi si obtinerea de noi proprietati.<sup>108,109</sup>

Modalitatea cea mai simpla de a modifica chimica a chitozanului este reactia gruparilor sale aminice cu diverse aldehyde, cand se obtin unitati iminice. Reactia este cu atat mai interesanta, cu cat studii de literatura dedicate unor imine indica posibilitatea obtinerii de materiale dinamice, datorita reversibilitatii formarii acestei legaturi.

Pornind de la aceste informatii, am considerat important sa obtinem hidrogeluri noi prin reactia de condensare acida a gruparilor amina de pe lanturile de chitozan cu aldehida cinamica, acordand o atentie deosebita efectelor provocate de reversibilitatea formarii legaturii imina.<sup>110</sup> Studii de spectroscopie RMN pe hidrogel au demonstrat ca echilibrul reactiei de condensare se depuseaza lent spre formarea legaturii iminice, pe masura ce unitatile imina formate ies din solutie prin autoansamblare. Reversibilitatea formarii legaturii iminice s-a dovedit a fi instrumentul prin intermediul caruia hidrogelul se autoorganizeaza la nivel nanometric (demonstrat prin difractie de raze X la unghi larg) si micrometric (demonstrata prin microscopie electronica), evoluand de la starea de hidrogel cu pori de marime diferita, care comunica intre ei haotic (Figura 31a) la starea de hidrogel cu pori cu dimensiune apropiata, bine organizati, indicand o arhitectura canulara (Figura 31b).



a) G2



b) G2\*

**Figura 31.** Microfotografii SEM ale hidrogelului chitosan-cinamaldehida  
(a) proaspăt și (b) după o stocare de 5 zile.

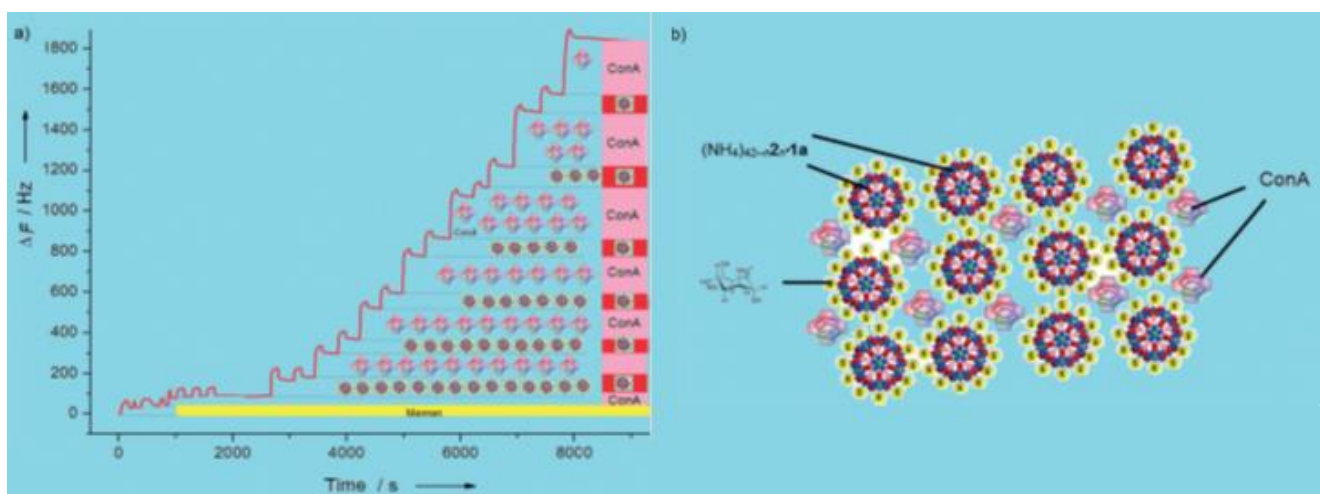
Hidrogelurile au o capacitate de umflare ridicata, echilibrul de umflare masic atingand valori de 41%. Un aspect important al acestor materiale este valoarea ridicata a capacitatiilor lor de revenire la forma

initiala după aplicarea unui stress mecanic, valoare calculată prin măsurători reologice ca fiind de aproximativ 80%.

#### IV. Obtinerea multistraturilor hibride biomimetice prin recunoasterea multivalenta a Concanavalinei A de catre gliconanocapsule {Mo132}

Membranele biologice contin zone dense de carbohidrati care joaca un rol fundamental în procesele de recunoastere celulară, prin legarea multivalenta a lectinelor. Plecând de la premisa că o creștere a densității locale de carbohidrati conduce la o îmbunătățire a activității, au fost raportate numeroase sisteme artificiale multivalente continând diferite nanosisteme (fullerene, nanotuburi de carbon, nanoparticule și nanovesicule) generatoare de nanoplatforme multivalente de carbohidrati.<sup>111,112</sup>

Tinând cont de acestea, ne-am orientat atenția spre obtinerea de noi arhitecturi multistrat prin depunerea succesiva strat cu strat a glico-nano-hibridelor pe baza de oxid de molibden {Mo132}/manozida  $(\text{NH}_4)_{42-n}2_n1a$  sau glicozida  $(\text{NH}_4)_{42-m}3_m1a$  și Concanavalina A (ConA), bazată pe interacțiunile multivalente glucid-lectina (Figura 32).<sup>113</sup> Aceste arhitecturi pot fi preparate cu ușurință și cuantificate folosind microgravimetria cu cristale de quart (QCM), care detectează adsorbția de masa la suprafața senzorilor pe baza efectului piezoelectric reciproc. Creșterea masei absorbite de materie este corelată cu o schimbare de frecvență ( $\Delta F$ ), o variație de 1 Hz corespunzând unei modificări de masa de aproximativ 700 pg.

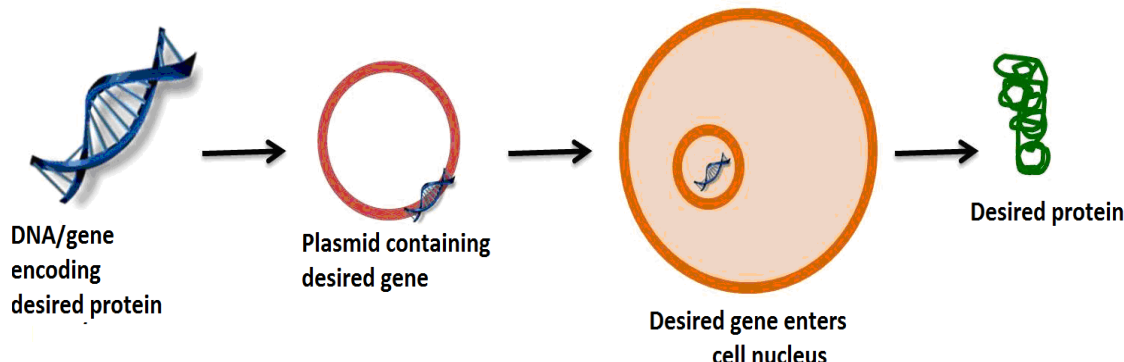


**Figura 32.** a) Monitorizarea QCM a arhitecturilor multistrat ConA/ $(\text{NH}_4)_{42-n}2_n1a$ ; b) Reprezentarea schematică a "tesuturilor celulare anorganice" care interacționează prin interacțiuni specifice glucid-lectina.

Glico-nano-capsulele obținute în acest studiu interacționează specific cu lectinele și se auto-asamblează într-o arhitectură hibridă multistrat (Figura 32) doar în cazul în care carbohidratul multivalent prezent la exterior și siturile de recunoastere a lectinei sunt compatibile. "Multistraturile hibride biomimetice" obținute sunt stabile sub un debit de apă continuu și pot servi drept rețele artificiale pentru o mai bună înțelegere a diferențelor mecanisme biologice, de care pot beneficia în mod direct domeniul separărilor chimice, senzorilor sau dispozitivelor de stocare-livrare, inclusiv a acizilor nucleici.

## **Obiectivul 2. PROIECTAREA SI REALIZAREA UNOR SISTEME BIOMIMETICE DESTINATE TRANSFECTIEI**

Terapia genica vizeaza corectarea efectelor induse de catre genele mutante, prin inlocuirea lor cu „exemplare” functionale, ori prin introducerea in genom a unor gene suplimentare, care sa compenseze, sa controleze ori sa corecteze efectele prezentei in celule a genelor ce se exprima aberant, ori maladiv. Una dintre cele mai frecvent citate definitii ale terapiei genice precizeaza faptul ca scopul acesteia este „tratarea bolilor genetice si infectioase prin introducerea selectiva, in anumite celule, a unei cantitati suplimentare de purtatori ai informatiei genetice” (Figura 1).



**Figura 33. Schema de principiu pentru livrarea materialului genetic in celule tintite.**

La originea multor afectiuni ale organismelor vii se regasesc gene imperfecte („defecte”), care determina evolutii anormale ori chiar aberante ale celulelor. Ele induc supraexprimarea unor proteine, sau determina biosinteza de proteine nefunctionale, fapt care se soldeaza cu devierea severa a metabolismului celular, tisular, ori chiar al organismului in ansamblul sau, deviere ce poate conduce la moartea celulelor afectate, ori, dimpotriva, la „functionarea” lor la parametrii supradimensionati si/sau la multiplicarea lor necontrolabila. Pentru a corecta consecintele activitatii genelor „defecte”, terapia genica propune doua cai pentru interventia in functionarea aberanta a celulelor, respectiv:

- (i) – introducerea unor gene suplimentare in zestrea genetica a celulelor afectate, gene care de regula sunt versiuni corect functionale ale celor „defecte”, dar care pot fi si distincte fata de acestea din urma, actionand complementar ori antagonic lor; in aceasta varianta de interventie, in nucleul celular se introduc tronsoane de ADN simplu sau dublu catenar ce poarta informatie genetica valida, ori plasmide ce au fost suplimentate cu tronsoane de ADN special inserate, purtatoare de informatie genetica;
- (ii) – suspendarea manifestarii genelor „defecte” prin suprimarea replicarii lor in celule, prin limitarea transcrierii lor, ori prin interventia asupra mecanismelor post-transcriptionale, respectiv asupra sistemelor de traducere a informatiei genetice in structuri proteice (asa numita tehnica a interferentei ARN, (iRNA), soldata cu moderarea exprimarii proteinelor codificate).

Avansul in domeniul nanotehnologiei depinde in principal de conceperea de noi nanomateriale. In acest context, a fost introdusa notiunea de biomimetism (creare de sisteme de inspiratie biologica), care se manifesta prin doua directii dominante de cercetare, respectiv (i) *mimarea structurala si functionala a entitatilor fiziologic ori patologic active*, in vederea studierii *ex-vivo* a mecanismelor viului si (ii) *proiectarea si transpunerea inginereasca a unor entitati cu functionalitate strict controlata, cu performante similare celor specifice viului*, utile in diagnosticarea, monitorizarea si terapia la nivel celular.

Obiectivul proiectului se incadreaza in cea de-a doua directie mentionata, vizand contributii la dezvoltarea de componente nanodimensionale cu mare versatilitate, care tinde sa o mimeze pe cea a

sistemelor vii. In acest context, au fost dezvoltate cai diverse de a obtine nanosisteme cu functionalitate multipla (ex. sa poata fi dirijat catre o tinta, sa transporte mai multe principii active sau molecule ce actioneaza sub influenta unor stimuli externi generand efecte terapeutice etc.), respectiv: (i) rute chimice clasice (modificari chimice pe sisteme preformate); (ii) aplicarea metodelor specifice din chimia dinamica constitutionala; (iii) utilizare de organisme vii ca "fabrici de nanoparticule" (iv) utilizarea electrosintezei organice/anorganice. Intr-o exprimare concisa, aceste cai uzeaza de urmatoarele principii.

- (i) Sinteza pe cale chimica a nanosistemelor cu aplicatii biomedicale implica reactiile din chimia clasica, cu formarea unor legaturi covalente stabile.
- (ii) Sinteza de nanosisteme prin chimia dinamica constitutionala (chimie supramoleculara) vizeaza conducerea corerenta si reproductibila a auto-asamblarii componentelor de tip „bloc structural” (building block) in arhitecturi bine definite, controlate de afinitatile constitutionale intre ele. Respectiv, arhitecturi se pot proiecta si sintetiza independent, multe dintre acestea reagsindu-se deja in „biblioteci”, sau „banci” de compusi.
- (iii) Utilizarea diferitelor organisme vii ca "fabrici de nanoparticule" implica procedee inalte ecologice si eficiente din punctul de vedere al randamentelor. Diverse entitati biologice, cum ar fi bacterii, ciuperci, diatomee, plante, actinomicete si virusuri sunt utilize in acest scop. Noile cai biosintetice pot, spre exemplu, reduce sarurile metalelor la nanoparticule metalice (Au, Ag, Hg, Zn, Pt etc.). Natura a elaborat diverse procedee pentru sinteza de nano- si micro-materiale anorganice scalate.
- (iv) Reactiile electrochimice aduc contributii semnificative la sinteza organica si anorganica, si prezinta un potential semnificativ pentru a dezvolta sinteza chimica „verde”. De asemenea, ele furnizeaza fundamentalul masurarii instrumentale a concentratiilor unui numar imens de specii chimice. Speciatiile compusilor poate fi si ea studiata calitativ si cantitativ.

**Pentru realizarea acestui obiectiv s-au proiectat, sintetizat, caracterizat si testat nanoparticule cu miez magnetizabil, fullerena C60, sau nucleu aromatic, capabile sa transporte principii active, inclusiv material genetic. Nanoparticulele au fost sintetizate fie pe cale chimica, fie prin chimie dinamica constitutionala.**

## A. Nanoparticule obtinute pe cale chimica

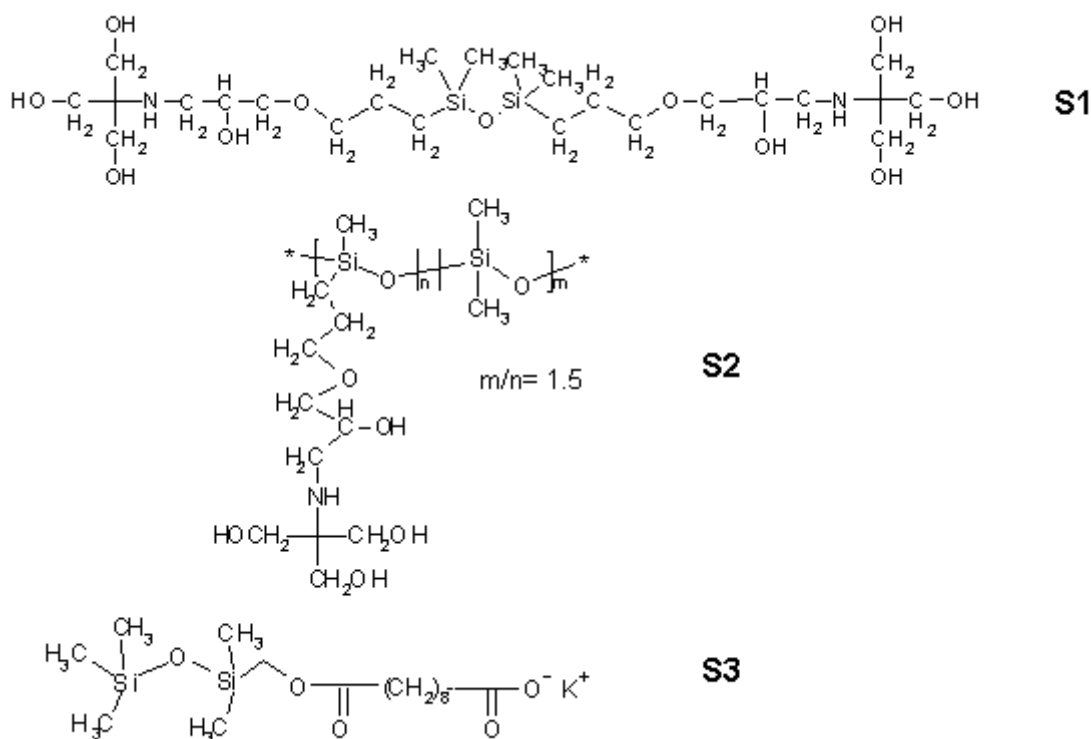
### A.1. Nanoparticule magnetice disperse in apa prin actiunea unor surfactanti siloxanici.

Nanoparticulele superparamagnetice de oxid de fier (SPION) sunt in prezent utilizeaza cu succes in aplicatii biomedicale, incluzand agenti de imbunatatire a contrastului in imagistica de rezonanta magnetica (MRI), sisteme de transport al medicamentelor, hipertermie magnetica, sau transfectie a celulelor asistata magnetic.<sup>114,115,116,117,118,119,120</sup>

In general, sinteza propriu-zisa duce la particule de tip SPION cu invelis organic, hidrofob, care pot fi disperse doar in solventi nepolari sau cu polaritate moderata. Pentru aplicatii medicale, este necesar un invelis hidrofil, pentru asigurarea dispersiei in apa. De asemenea, este necesar sa se asigure biocompatibilitatea nanoparticulelor, ceea ce presupune folosirea unor polimeri biocompatibili sau naturali, ori apelul la materiale anorganice, precum silicea sau aurul.

In aceasta etapa a proiectului, pentru dispersarea in apa a unor nanoparticule superparamagnetice de Fe<sub>3</sub>O<sub>4</sub> (magnetita) si respectiv FeCr<sub>2</sub>O<sub>4</sub> (cromita), au fost folositi surfactanti avand in structura unitati siloxanice (Schema 4). Initial a fost validata biocompatibilitatea nanoparticulelor, prin teste MTT. Pentru surfactantii S1 si S3 s-a reprezentat absorbanta formazanului la 570 nm in functie de concentratie si s-a comparat cu o solutie martor, fara surfactant. In Figura 34 se observa ca viabilitatea celulara a fost peste

90% la concentratii mai mici de 1 g/L (concentratia limita folosita in mod curent pentru incapsulare), dar rezultate satisfacatoare au fost obtinute si la concentratii mai mari.



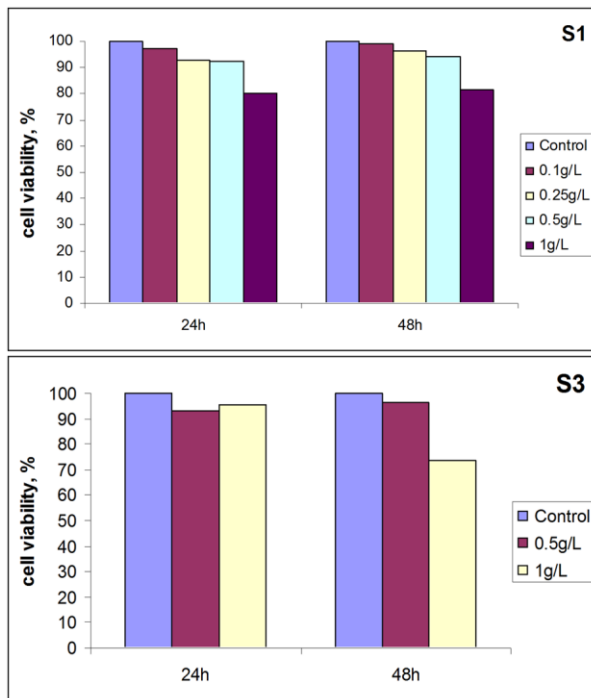
*Schema 4. Structura chimica a surfactantilor folositi pentru incapsularea SPION.*

Pentru incapsularea particulelor magnetice, acestea au fost folosite in forma in care s-au obtinut prin metoda descompunerii termice, adica avand un invelis semnificativ de material organic, anume acid oleic si dodecil-amina. Dupa dispersare intr-un solvent organic volatil, au fost introduse in solutia apoasa de surfactant siloxanic, concentratia acestie fiind de aproximativ 10 ori mai mare decat valoarea CMC, respectiv 0.5-1 g/L. Solventul organic s-a indepartat, iar dispersia apoasa a fost analizata prin mai multe tehnici, pentru a evalua stabilitatea, forma si dimensiunile particulelor rezultate, precum si biocompatibilitatea lor.

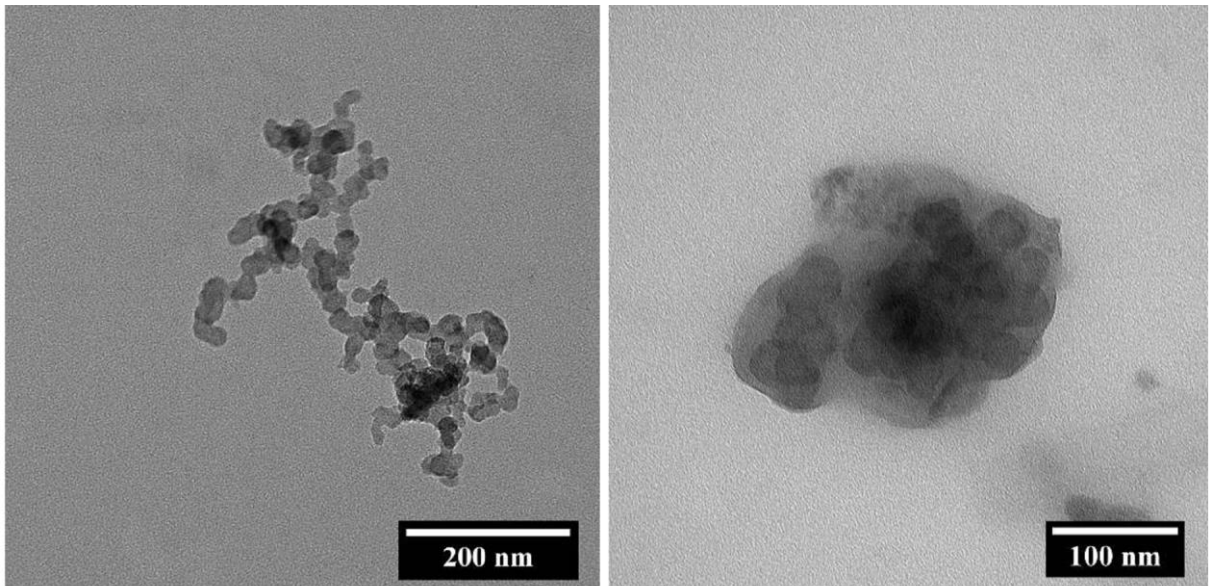
Prin DLS s-au pus in evidenta particule tip miez-manta cu diametrul mediu de 100-200 nm, in timp ce particulele initiale, cu diametre de sub 10 nm, nu au mai fost detectate. Aceasta sugereaza faptul ca nanoparticulele de oxizi metalici au fost incapsulate in agregate mai mari, iar acestea se mentin stabile in faza apoasa.

In cazul magnetitei, cele mai bune rezultate au fost obtinute cu surfactantul polisiloxanic S2. Cu surfactantul S1, stabilitatea a fost de scurta durata, in timp ce cu S3 dispersia nu a fost stabila. Folosind metoda transferului spontan din solvent nemiscibil (hexan), s-a obtinut o dispersie apoasa cu o stabilitate remarcabila si in cazul surfactantului S3.

Imaginiile TEM ale dispersiei apoase de nanoparticule de magnetita stabilizate cu S2 sunt prezentate in Figura 35, iar in Figura 36 este prezentata evolutia potentialului zeta.

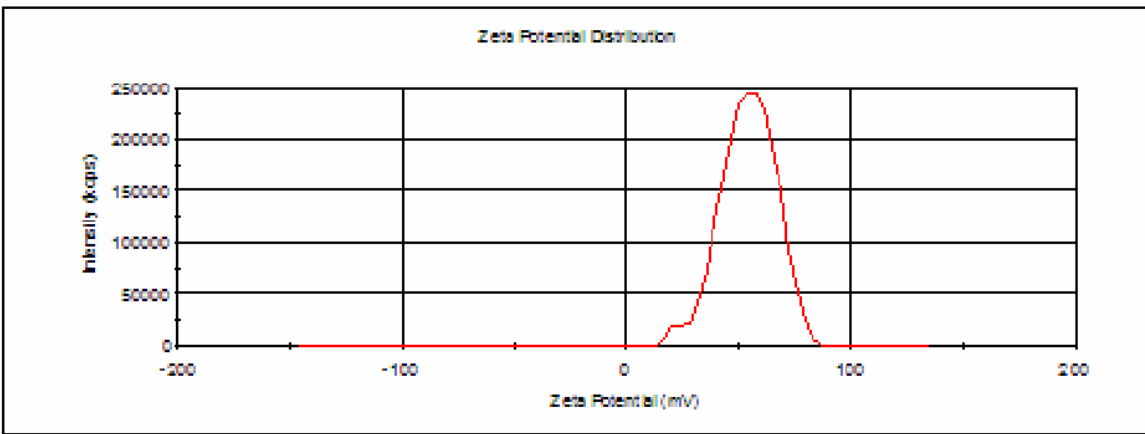


**Figura 34.** Viabilitatea celulara in prezena surfactantilor siloxanici (test MTT).

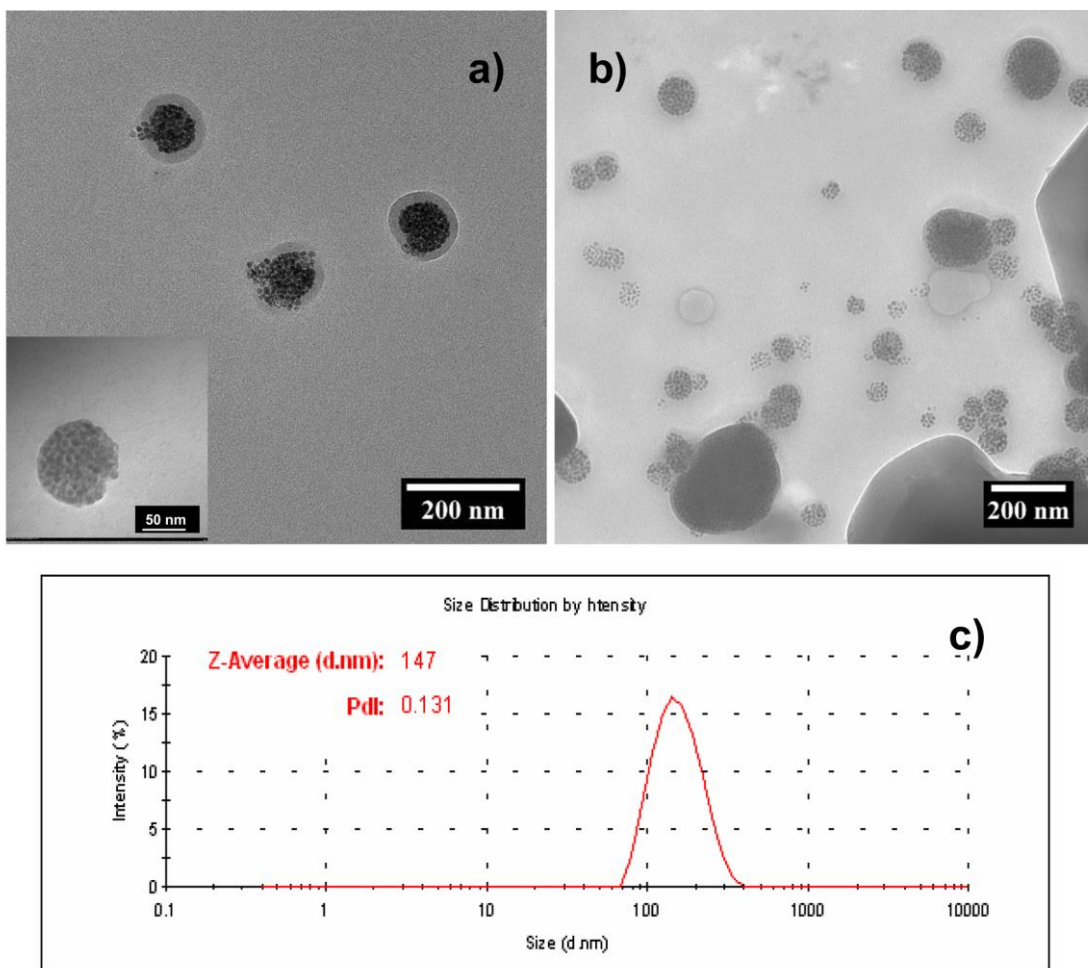


**Figura 35.** Imagini TEM ale dispersiei apoase de magnetita cu surfactantul S2.

In cazul nanoparticulelor de cromita, cel mai bun rezultat a fost obtinut cu surfactantul S3. Dispersia a fost stabila timp indelungat si chiar dupa separare, redispersarea a fost posibila prin ultrasonare. In Figura 37 sunt prezentate imagini TEM si cryo-TEM ale acestei formule, precum si curba DLS. Se poate observa morfologia de tip compozit, in care nanoparticulele de oxid metalic sunt aglomerate in agregate mai mari, acoperite de un strat de surfactant. Dimensiunea acestor agregate este bine corelata cu rezultatul masuratorilor DLS.

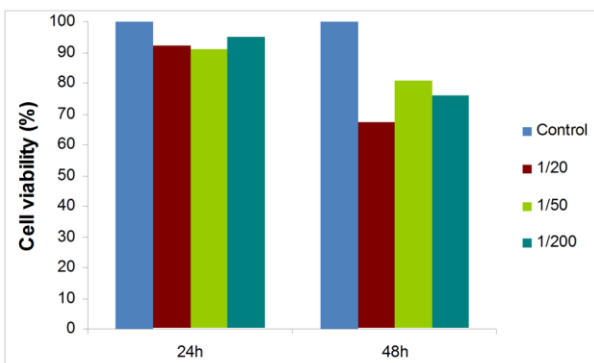


**Figura 36.** Potentialul Zeta al dispersiei apoase de magnetita cu surfactantul S2.



**Figura 37.** Imagini TEM (a) si cryo-TEM (b), respectiv curba DLS pentru proba de cromita cu surfactantul S3 (c).

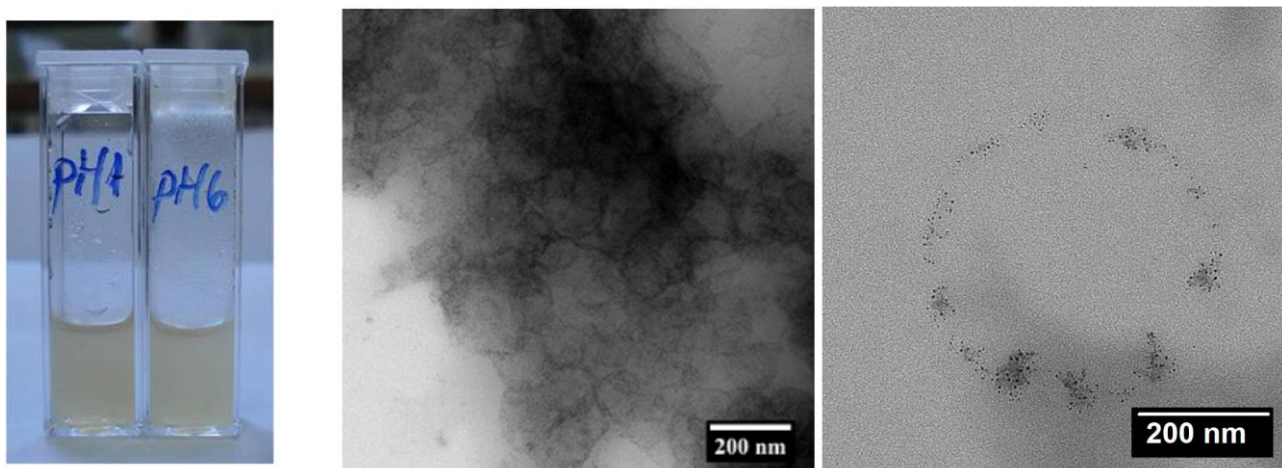
Biocompatibilitatea dispersiei de magnetita cu S1 este asigurata, Fig 38 indicand o viabilitate celulara de cca 90% pentru solutiile foarte diluate, dupa 24h, si de peste 70% dupa 48h. Trebuie mentionat faptul ca nanoparticulele de magnetita initiale au fost citotoxice, probabil din cauza dodecil-aminei prezente pe suprafata lor. Astfel, acoperirea cu un surfactant biocompatibil a crescut considerabil sansele pentru aplicatii medicale.



**Figura 38.** Citotoxicitatea dispersiilor apoase diluate de magnetita cu surfactant S1 (Exprimate in concentratii de surfactant, dilutiile din legenda sunt echivalente cu 0.17g/L, 0.03g/L si respectiv 0.008 g/L). (Teste MTT).

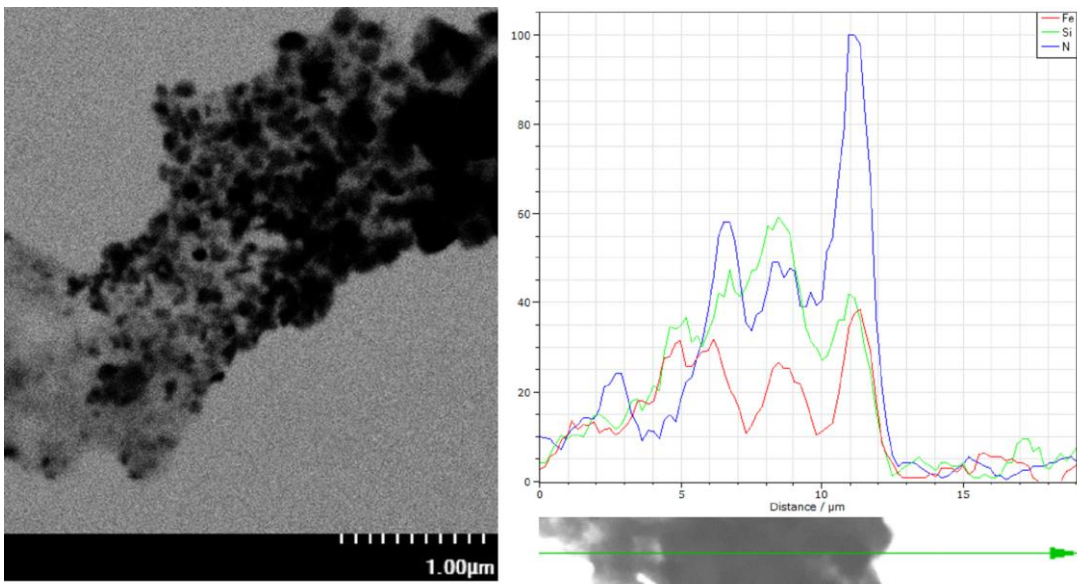
In continuare, pentru testarea abilitati de transport a unor specii biologic active, s-a realizat incapsularea nanoparticulelor SPION si a unui medicament insolubil, hidrofob, in particule multifunctionale, utilizand doar o cantitate foarte mica de surfactant siloxanic. Ca medicament model s-a ales nistatina, a carei solubilizare micelara a fost investigata in etapa precedenta.

Stabilitatea coloidală a particulelor multifunctionale a fost modestă, dar rezultate bune s-au obținut cu surfactantul polisiloxanic S2, după adăugare de tampon fosfat (pH 6.5) sau acid clorhidric (pH 1). În formula magnetita-nistatina-S2, diametrul mediu al particulelor masurate prin DLS a fost de circa 400 nm, iar valoarea absolută a potentialului zeta a fost de 26.3mV, ceea ce confirmă stabilitatea coloidală relativ bună. Imaginele TEM (Figura 39) arată vezicule de marime uniformă, continând particule mai mici în peretele lor. Acest aspect este asemănător cu observațiile precedente asupra morfologiei formulei nistatina-S2 (etapa precedenta), conform cărora medicamentul este solubilizat prin interacțiuni fizice, în stratul hidrofob al veziculelor de surfactant.



**Figura 39.** Dispersia apoasa de magnetita si nistatina cu surfactantul polisiloxanic S2, aspectul dupa 24h (stanga) si imagini TEM

Formula similară cu surfactantul S1, desi nu a fost la fel de stabilă, a putut fi analizată prin TEM (în modul STEM) și EDX (Figura 40). Se observă că elementele Fe din magnetita, Si din surfactant și N din nistatină și din surfactanți au fost detectate pe aceeași linie, arătând coexistența tuturor componentelor în particulele multifunctionale.



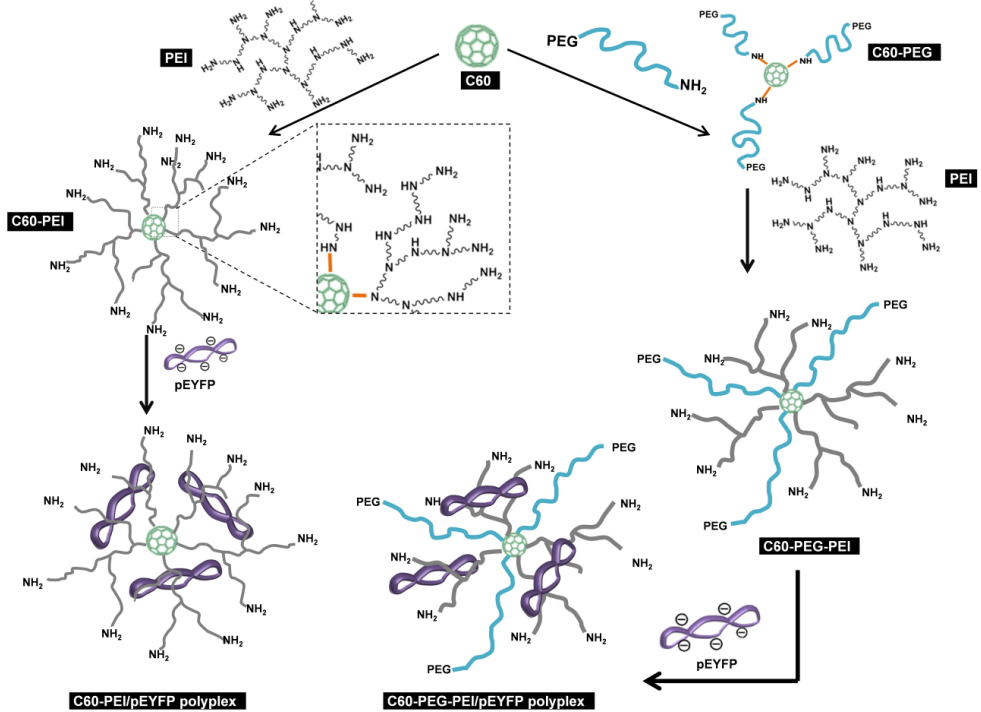
**Figura 40.** Formula magnetita-nistatina-S1 (imagine STEM si analiza EDX).

Asadar, investigatiile preliminare comparative asupra abilitatii unor oligomeri functionali polisiloxanici (sintetizati si evaluati ca surfactanti in etapa anterioara) de a genera particule multifunctionale au demonstrat asemenea posibilitatea incapsularii eficiente atat a unor nanoparticule magnetice (magnetita sau cromita), cat si a unui medicament, cu formare de particule complexe, multifunctionale, biocompatibile, cu dimensiuni sub 200 nm si respectiv 400 nm, folosind o cantitate foarte mica de derivat polisiloxanic.

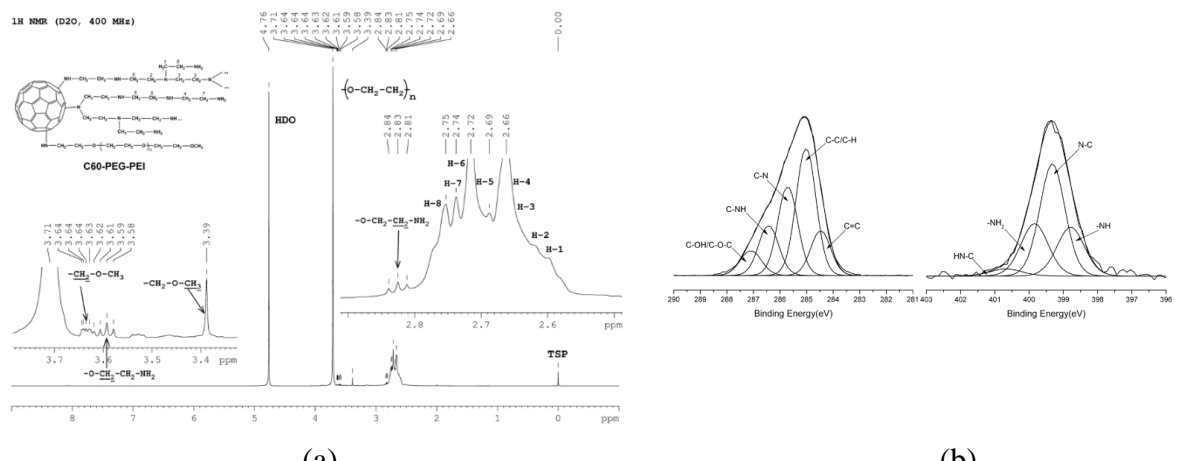
Rezultatele obtinute asigura premizele pentru utilizarea unor astfel de sisteme in vederea incorporarii unor vectori non-virali destinati transferului genic, sau a unor agenti anti-tumorali alaturi de nanoparticulele magnetice, rezultand astfel complexe dirijabile spre tinte biologice utilizand campul magnetic.

#### A.2. Influenta PEG asupra capacitatii de transfectie a conjugatelor pe baza de fullerena si polietilenglicol (C60-PEG-PEI)

In aceasta etapa a fost studiat un carrier unitar avand fullerena C<sub>60</sub> drept entitate centrala si drept invelis polietilenimina ramificata (PEI, M<sub>n</sub> 2000) - polimer cationic capabil sa condenseze material genetic si polietilenglicol (PEG, M<sub>n</sub> 2000) – polimer ce asigura stabilitatea si protectia sistemului (Schema 5).<sup>121</sup> Mentionam ca vectorul nonviral avand fullerena C<sub>60</sub> drept entitate centrala si polietilenimina ramificata (PEI, M<sub>n</sub> 2000) drept invelis a fost discutat in etapa 2013. In prezenta etapa se va prezenta conjugatul pe baza de C<sub>60</sub>, PEI si PEG, cu referiri comparative la conjugatul pe baza de C<sub>60</sub> si PEI. Abilitatea conjugatului C<sub>60</sub>-PEG-PEI de a transporta tronsoane de ADN plasmidic (pEYFP) a fost demonstrata prin electroforeza pe gel de agaroză, pentru diverse rapoarte intre numarul de moli de grupari aminice ale carrier-ului si numarul de moli de grupari fosfat ale ADN-ului (N/P)<sup>122,123</sup>, asa cum se prezinta in Figura 41d. Caracterizarea fizico-chimica a carrier-ului unitar s-a efectuat prin analiza <sup>1</sup>H-RMN (Figura 41a) si XPS (Figura 41b). Din imaginile AFM (Figura 41c) se observa ca poliplexii C<sub>60</sub>-PEG-PEI/pEYFP prezinta o morfologie globulara cu dimensiuni de aproximativ 50 nm la un raport N/P=50. Dimensiunea nanoparticulelor este functie de raportul N/P si variaza de la 50 nm la 120 nm, cand raportul N/P variaza de la 50 la 200.



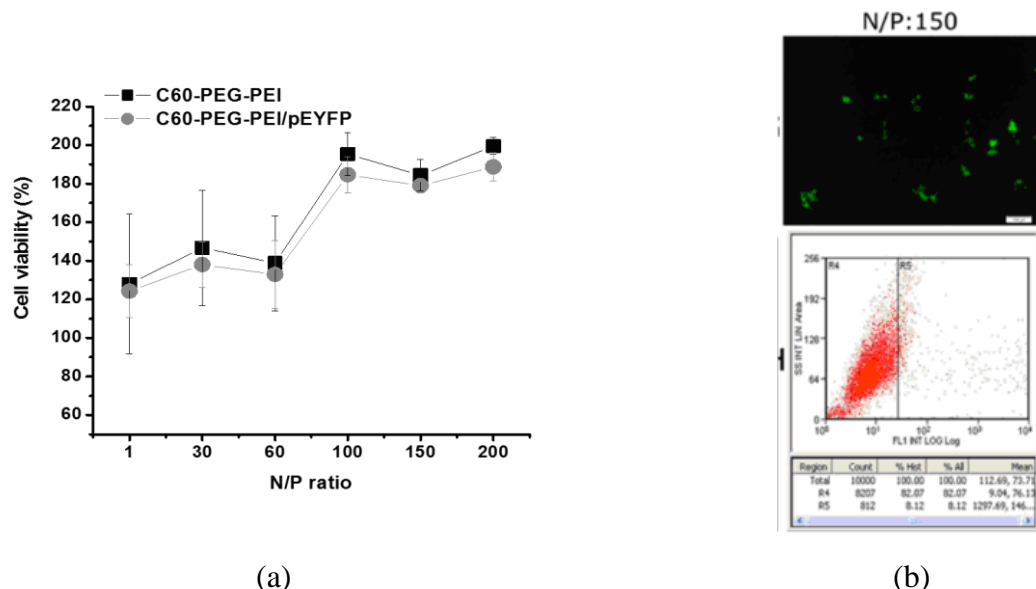
**Schema 5.** Modul de preparare a poliplecilor rezultati prin condensarea conjugatelor C60-PEI si C60-PEG-PEI cu ADN plasmidic.



**Figura 41.** Rezultatele caracterizarii conjugatului C60-PEG- PEI.

Studiul *in vitro* s-a realizat pentru conjugatele C<sub>60</sub>-PEG-PEI cu compozitia elementala 67,52 % C si 25,00 % N si 7,48 % O, prin comparare cu compusul model PEI, caracterizat prin compozitia elementala 62,01 % C si 37,99 % N, toate contributiile procentuale fiind determinate prin analiza XPS. Drept partener

de complexare s-a utilizat plasmida pEYFP-C1, care codifica o proteina fluorescenta la lungimile de unda de excitatie/emisie 513/527 nm. Cunoscandu-se ca 1 mg ADN plasmidic contine 3  $\mu$ moli de fosfor, s-au calculat diverse rapoarte N/P prin varierea cantitatii de carrier, pentru o cantitate constanta de ADN. Conjugatele C<sub>60</sub>-PEG-PEI/ADN au fost incubate timp de 30 minute la temperatura ambianta, inaintea utilizarii, iar apoi au fost analizate prin electroforeza pe gel de 0.8 % agaroză continand SYBR® Green (pentru colorarea ADN) in tampon TAE (Tris-acetat - EDTA). Electroforeza a fost efectuata la o diferența de potential de 60 V, timp de 30 minute. La final, gelurile au fost fotografiate sub expunere la UV (Figura 41d). Se observa ca vectorul C<sub>60</sub>-PEG-PEI prezinta capacitate de incarcare a plasmidului pEYFP la rapoarte N/P mai mari de 5/1. Valorile de potential zeta (o masura a stabilitatii coloidale) indica faptul ca poliplexsii prezinta valori positive indifferent de valoarea N/P. Asadar carrier-ul nanoparticulat sintetizat poate juca rolul de vector genetic non-viral.



**Figura 42.** Caracterizarea comparativa a carrier-ului si a cargocomplecsilor acestuia.

Citotoxicitatea cargocomplecsilor incarcati sau nu cu ADN a fost testata asupra liniei celulare HEK 293T. Analizand rezultatele prezentate in Figura 42a se constata, in cazul incubarii in prezenta C60-PEG-PEI si C60-PEG-PEI/pADN, ca viabilitatea celulelor este mai mare de 100%, fapt pus pe seama prezentei PEG in structura conjugatului, acesta avand abilitatea de a stimula proliferarea celulara. In cazul compusului PEI se constata scaderea progresiva a viabilitatii pentru concentratii mai mari decat 0.55  $\mu$ g/mL, atingandu-se o valoare de circa 50 % in cazul concentratiilor de 2.2  $\mu$ g/mL si 3.3  $\mu$ g/mL. Asadar, complexarea PEI cu pADN determina cresterea cresterea viabilitatii celulare la valori peste cele ale probelor de control.

Expresia genei reporter purtate de plasmida pEYFP-C1 si respectiv exprimarea proteinei fluorescente YFP ca urmare a transfectarii aplicate liniei celulare HEK 293T a fost estimata prin tehnica microscopiei de fluorescenta, utilizand microscopul Olympus IX81. Au fost astfel obtinute imagini reprezentative pentru transfectarea cargocomplecsilor C6-PEG-PEI/pEYFP si pentru poliplexul PEI/pEYFP, la diferite rapoarte N/P. Eficienta de transfectie asupra celulelor HEK 293T atinge un maxim pentru raportul N/P de 150/1.

Eficienta transfectiei a fost, de asemenea, urmarita prin microscopie in fluorescenta si prin citometrie in flux (Figura 42b), determinand procentul celulelor YFP-poziitive in canalul FL1. Aceasta analiza cantitativa a confirmat rezultatele stabilite prin microscopia de fluorescenta, indicand ca, dupa transfectarea cu cargocomplexul C60-PEG-PEI/pEYFP corespunzator raportului N/P de 150/1, 10 % din cele 8000 de celule analizate au exprimat proteina fluorescenta YFP.

Asadar, in urma studiilor legate de influenta PEG asupra capacitatii de transfectie a conjugatelor pe baza de fullerenă si polietilenglicol (C60-PEG-PEI), se desprind urmatoarele concluzii:

- conjugatul C60-PEG-PEI se poate sintetiza printr-o metoda simpla si reproductibila, la rapoarte molare C60/PEG/PEI de 1/1/3.5, determinate prin  $^1\text{H}$ -RMN si XPS; poliplexii prezinta morfologie sferica cu dimensiuni intre 50 si 120 nm, in functie de raportul molar N/P;
- electroforeza pe gel de agaroză a aratat C<sub>60</sub>-PEG-PEI complexeaza total ADN plasmidic incepand de la valori ale raportului N/P de 3:1;
- viabilitatea celulelor HEK 293T nu este afectata de incubarea cu compusul C60-PEG-PEI si poliplexul C60-PEG-PEI/pEYFP, obtinandu-se valori mai mari de 100 % in raport cu proba de control, fapt pus pe seama prezentei PEG in compositie.
- folosind doua metode de investigare, microscopia cu fluorescenta si citometria in flux, s-a stabilit faptul ca eficienta de transfectie asupra celulelor HEK 293T a cargocomplexilor C60-PEG-PEI/pEYFP creste odata cu cresterea raportului N/P.

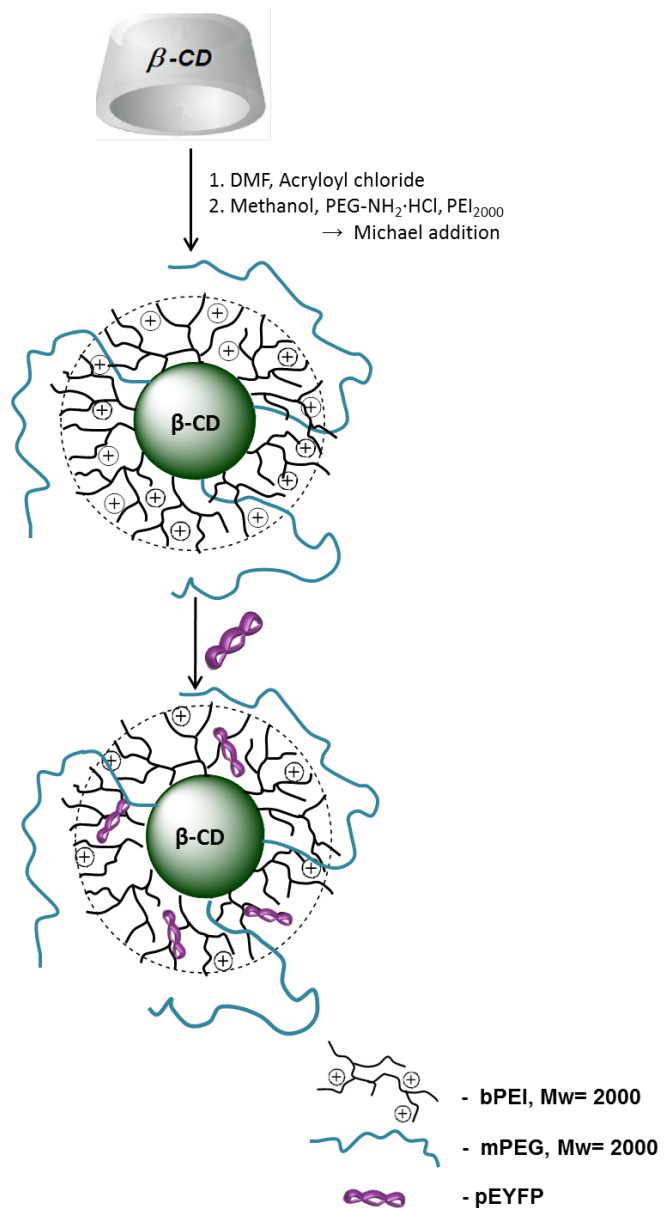
### A.3. Nanoparticule pe baza de $\beta$ -ciclodextrina modificata cu polietilenimina si polietilenglicol ( $\beta$ -CD-PEI-PEG), capabile a sustine transfectia ADN

Vectori non-virali cu structuri bine definite s-au sintetizat prin reactia gruparilor vinilice, legate de atomul de carbon C6 al  $\beta$ -CD, cu gruparile aminice din PEI ramificat (Mw=2000 g/mol) sau PEG, prin aditia Michael (Schema 6).

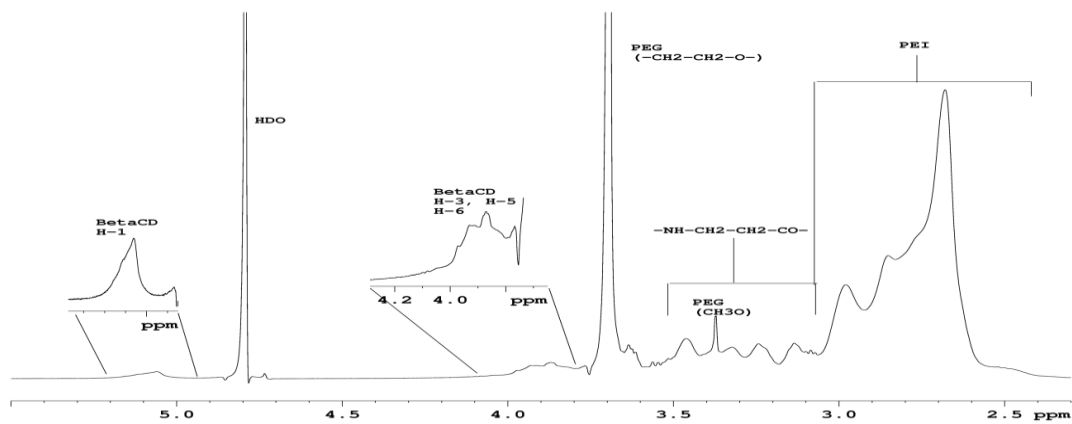
S-au obtinut conjugate cu structura dendrimerica  $\beta$ -CD-PEI-PEG in raport molar  $\beta$ -CD/PEG/PEI-PEG de 1/0.9/5.5 conform rezultatelor obtinute prin:  $^1\text{H}$ -RMN,  $^{13}\text{C}$ -RMN, HSQC, HPLC-MS, XPS (Figurile 42-46). Abilitatea conjugatului de a transporta plasmida EYFP (capabila ca, dupa transfectarea cu succes, sa induca exprimarea unei proteine fosforescente), a fost demonstrata prin electroforeza pe gel de agaroză, pentru diverse rapoarte intre numarul de moli de grupari aminice ale carrier-ului si numarul de moli de grupari fosfat ale ADN-ului (N/P), asa cum se prezinta in Figura 47. (se observa ca la raport N/P mai mare de 10, conjugatele sunt capabile sa impacheteze plasmidul).

Rezultatele TEM (Figura 48) indica faptul ca dimensiunile carrier-ilor dupa complexarea cu ADN (pEYFP) sunt de ordinul nanometrilor, mai mici decat ale carrieri-lor necomplexati, acesta fiind un bun indiciu asupra capacitatii de incarcare cu plasmid, fapt echivalent cu o foarte buna impachetare a ADN-ului in cargocomplex. Asadar, carrier-ii nanoparticulati sintetizati pot juca, *in vitro*, rolul scontat, de vector genetic non-viral. De remarcat faptul ca dimensiunea poliplexilor variaza intre 3 si 12 nm, in functie raportul N/P.

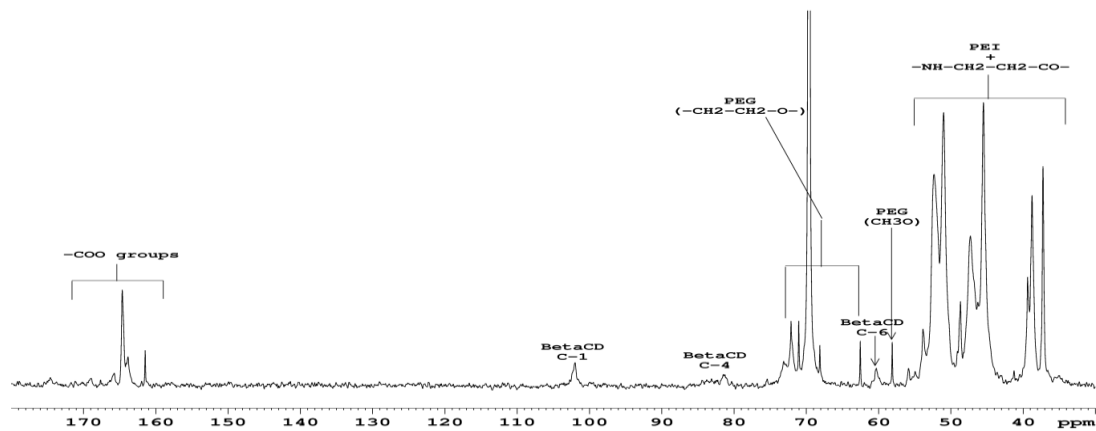
Citotoxicitatea cargocomplexilor incarcati sau nu cu ADN a fost testata asupra liniei celulare HEK 293T. Analizand rezultatele prezentate in Figura 49a se constata, in cazul incubarii in prezenta  $\beta$ -CD-PEI si  $\beta$ -CD-PEG-PEI /pADN, ca viabilitatea celulelor este mai mare de 100 %, fapt datorat prezentei lanturilor de PEG care induc o proliferare sporita a celulelor in timpul experimentului. In cazul compusului PEI unitar (Figura 49b) se constata scaderea progresiva a viabilitatii pana la 70%.



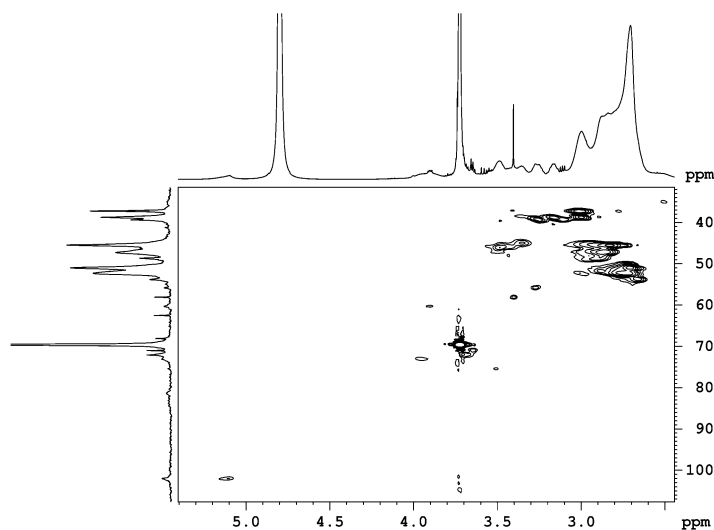
**Schema 6.** Etapele de obtinere a poliplexului  $\beta$ -CD-PEI-PEG/pEYFP.



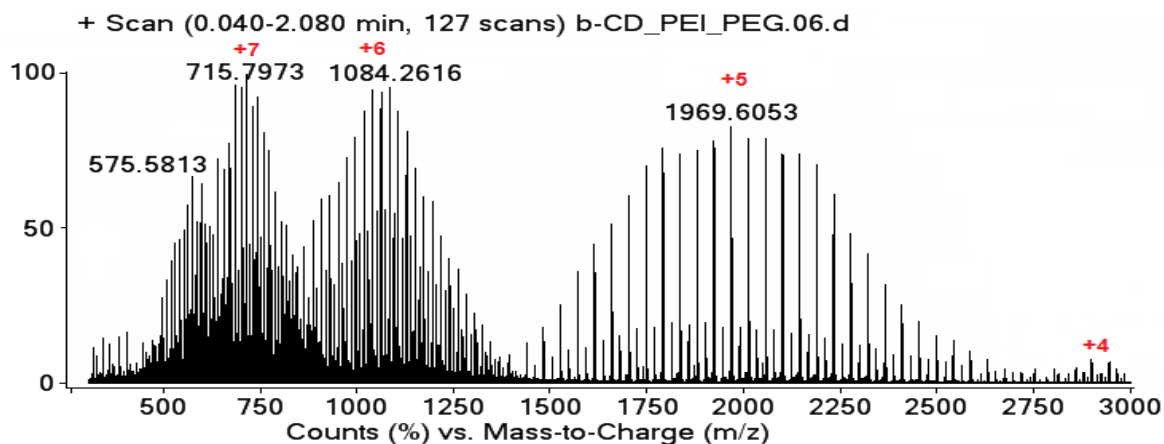
**Figura 42.** Spectrul  $^1\text{H}$ -RMN al conjugatului  $\beta$ -CD-PEI-PEG.



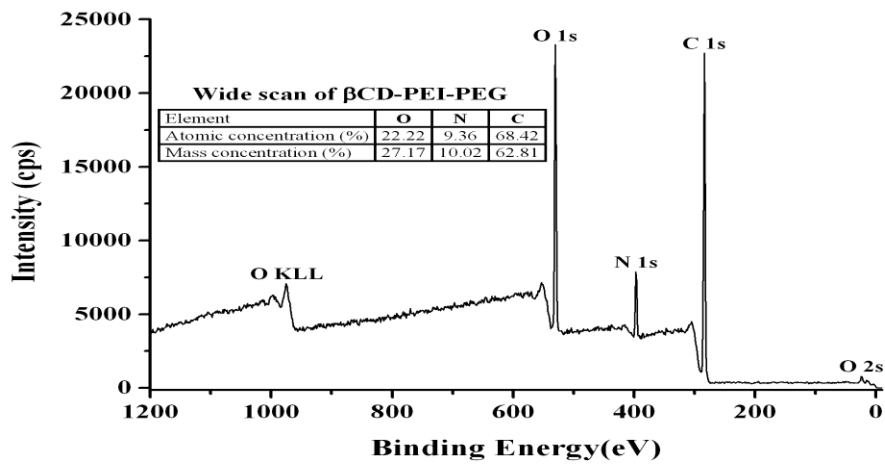
**Figura 43.** Spectrul  $^{13}\text{C}$ -RMN al conjugatului  $\beta\text{-CD-PEI-PEG}$ .



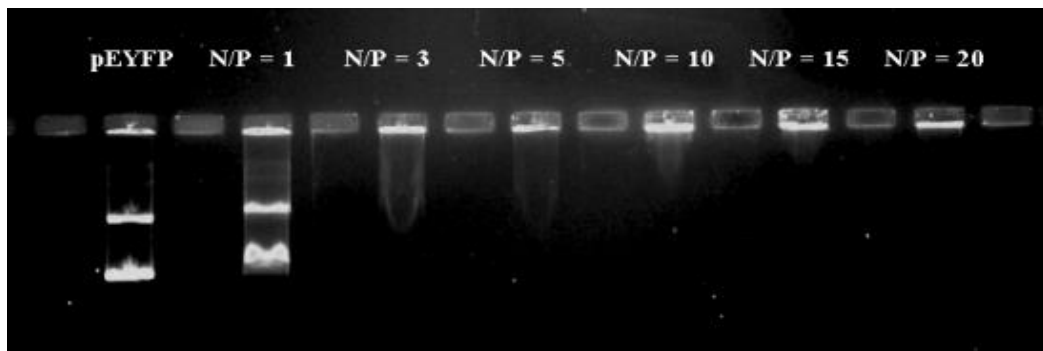
**Figura 44.** Spectrul 2D RMN al conjugatului  $\beta\text{-CD-PEI-PEG}$ .



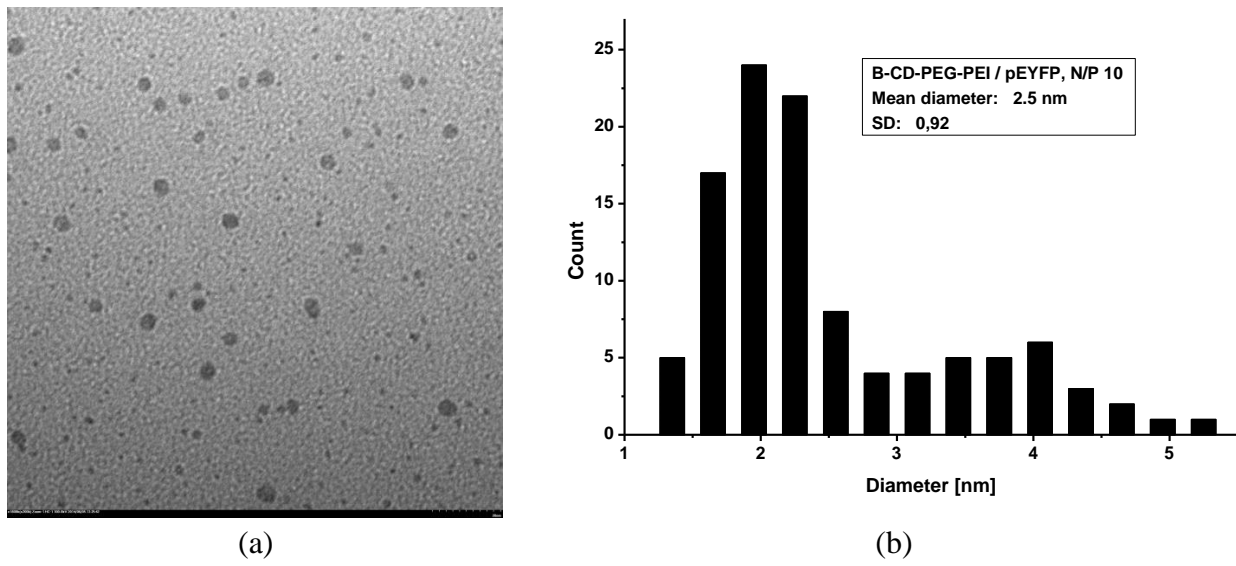
**Figura 45.** Spectrul MS al conjugatului  $\beta\text{-CD-PEI-PEG}$ .



**Figura 46.** Spectrul XPS (wide scan) al conjugatului  $\beta$ -CD-PEI-PEG.

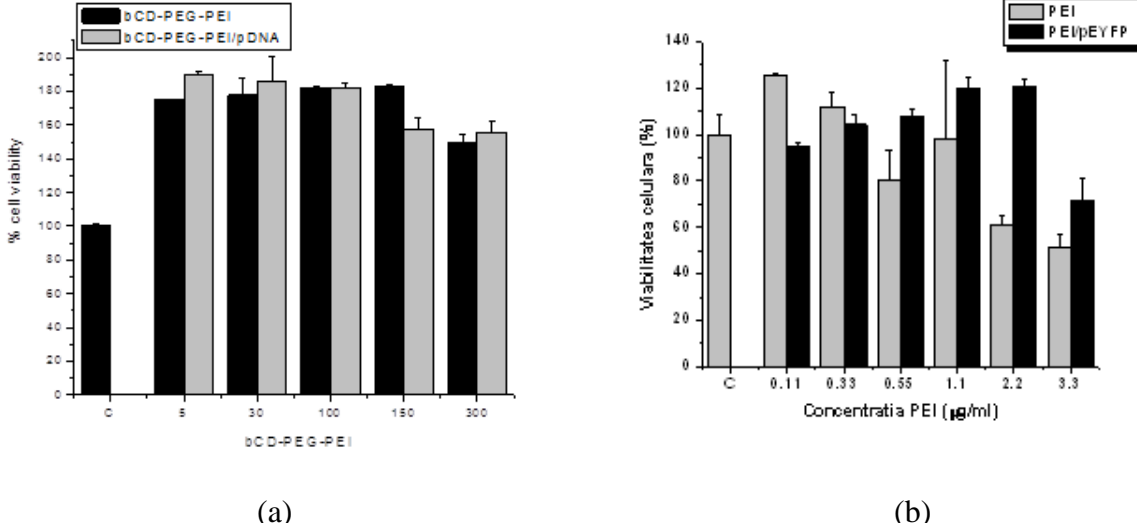


**Figura 47.** Migrarea in del de agaroză a poliplexelor  $\beta$ -CD-PEI-PEG/pEYFP.

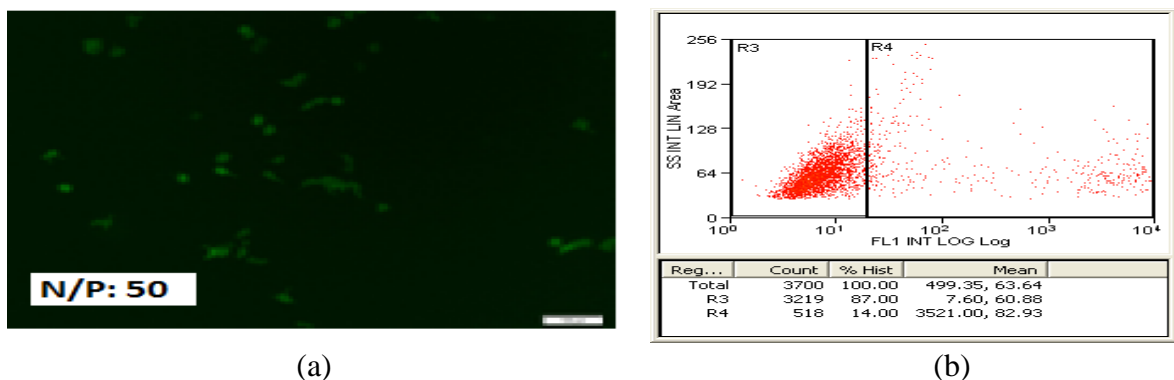


**Figura 48.** Caracterizarea TEM a poliplexelor  $\beta$ -CD-PEI-PEG/pEYFP.

Expresia genei reporter purtate de plasmida pEYFP-C1 si respectiv exprimarea proteinei fluorescente YFP ca urmare a transfectarii aplicate liniei celulare HEK 293T a fost estimata prin tehnica microscopiei de fluorescenta, utilizand microscopul Olympus IX81. Au fost astfel obtinute imagini reprezentative pentru transfectarea cargocomplexelor  $\beta$ -CD-PEG-PEI/pEYFP si pentru poliplexul PEI/pEYFP, la rapoartele N/P de 1:1, 10:1, 20:1 si 30:1. Figura 50a prezinta efectele transfectiei efectuate cu cargocomplexul  $\beta$ -CD-PEG-PEI /pEYFP. Eficienta de transfectie asupra celulelor HEK 293T atinge un maxim pentru raportul N/P de 50:1. Transfectarea mediata de poliplexul PEI/pEYFP conduce la exprimarea proteinei YFP in cantitati extrem de scazute (sub 10 celule transfectate per camp, in observarea la o marire de 400 de ori).



**Figura 49.** Citotoxicitatea compusilor  $\beta$ -CD-PEI-PEG si PEI, liberi sau complexati cu ADN plasmidic pEYFP, indusa asupra celulelor epiteliale HEK 293T, dupa 48 de ore.



**Figura 50.** Imagini obtinute prin microscopia de fluorescenta (a) si identificarea prin citometrie in flux a celulelor HEK 293T transfectate cu plasmida pEYFP incarcata pe carrier-ul  $\beta$ -CD-PEG-PEI, la un raport N/P de 50:1.

Eficienta in transfectie a fost, de asemenea, urmarita prin citometrie in flux, determinand procentul de celule fluorescent-pozitive (in virtutea exprimarii proteinei YFP) in canalul FL1 (Figura 50b). Aceasta analiza cantitativa a confirmat rezultatele stabilite prin microscopia de fluorescenta, indicand ca, dupa transfectarea cu cargocomplexul  $\beta$ -CD-PEG-PEI/pEYFP, 14 % din 8000 de celule analizate au exprimat proteina fluorescenta YFP, corespunzator raportului de incarcare cu plasmida, N/P de 50:1.<sup>124</sup>

Drept concluzie a studiului, este evident ca:

- conjugatul  $\beta$ -CD-PEG-PEI se poate obtine printr-o metoda simpla si reproductibila, la rapoarte molare  $\beta$ -CD/PEG/PEI de 1/0.9/5.5, fapt confirmat prin analize RMN, XPS, ESI-MS;
- conjugatul  $\beta$ -CD/PEG/PEI este capabil sa impacheteze plasmidul EYFP la rapoarte molare N/P mai mari de 10/1; dimensiunea poliplexelor este cuprinsa intre 3 si 12 nm, in functie de raportul molar N/P;
- pentru raportul molar N/P de 50/1, poliplexul prezinta o eficienta maxima de transfectie de 14 %;
- conjugatul si poliplexul prezinta o foarte buna citocompatibilitate.

## B. Nanoparticule obtinute aplicand chimia dinamica constitutionala.

Polimerii rezultati prin dinamica constitutionala, numiti si “dinameri”, pot fi definiti ca entitati polimerice ale caror monomeri sunt legati prin legaturi reversibile si au, prin urmare, capacitatea de a-si modifica compozitia prin schimbul intramolecular al componentelor. Acestea din urma pot fi atat de natura moleculara (cand se formeaza legaturi covalente reversibile), cat si de natura supramoleculara (cand au loc interactiuni necovalente). Proprietatile dinamice le confera dinamerilor capacitatea de adaptare si evolutie sub influente externe de factura chimica (modificari ale parametrilor compozitionali ai solutiilor) sau fizica (variatii ale marimilor termodinamice). O astfel de auto-asamblare, spontana dar directionata, este de interes major pentru proiectarea structurilor supramoleculare, sinteza si ingineria de materiale cu proprietati noi.<sup>125,126</sup>

Chimia supramoleculara este prin natura sa o chimie dinamica, avand in vedere labilitatea interactiunilor necovalente intre componentele moleculare ale unei entitati supramoleculare, care permite asocierea, disocierea si rearanjarea componentelor in speciile supramoleculare. Proprietatile dinamice sunt datorate existentei legaturilor covalente dinamice, astfel incat speciile moleculare nou formate vor avea capacitatea de a suferi procese de schimb dinamic si reorganizare.<sup>127,128</sup>

In acest context, strategia combinatoriala dinamica este o metoda rapida de screening in vederea obtinerii unei librarii mari de compusi cu proprietati dorite. Schimbari intermoleculari pot interveni intre entitatile hidrofile si hidrofobe, iar prin efectul dinamic moleculea se poate adapta la conformatia ADN-ului, devenind tinta pentru ADN, si impreuna pot penetra membrana celulara.<sup>129</sup>

Complexele autoasamblate sunt constituite din entitati active legate de miez prin legaturi covalente reversibile si sunt capabile sa tinteasca membrana celulara. Miezul poate fi decorat suplimentar cu diverse grupari functionale, necesare pentru imbunatatirea proprietatilor de transfectie.

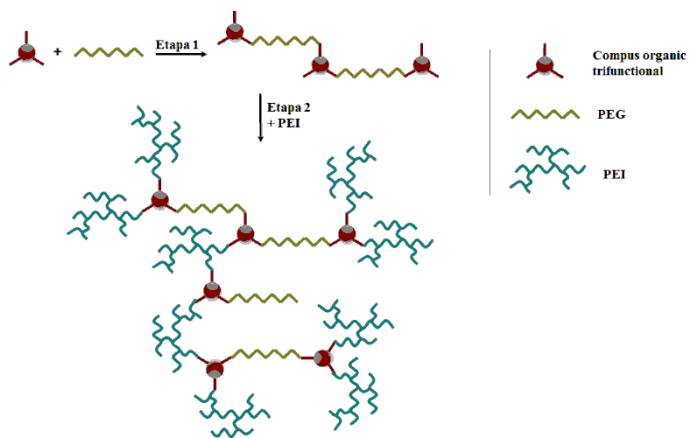
**In aceasta etapa s-au obtinut dinameri plecand de la macromonomeri PEG liniar functionalizat cu grupari aminice si PEI ramificat (Mw 800 g/mol), ca si conector fiind folosita o trialdehida sau un lipid (squalena), acestea fiind responsabile pentru formarea conjugatelor.**

### **B.1. Vectori utilizati in transfectie pe baza de compusi organici trifunctionali, PEG si PEI (T-PEG-PEI)**

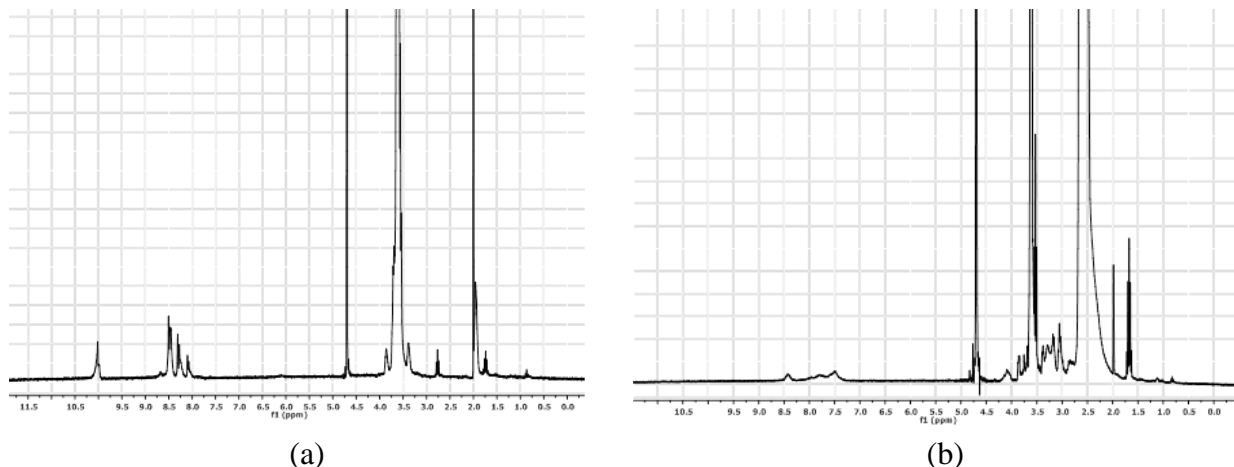
Arhitectura vectorilor sintetizati a pornit de la un miez organic trifunctional modificat cu PEI, compus ce leaga AND-ul formand poliplecisi, si cu PEG, utilizat pentru a mari stabilitatea vectorilor si a imbunatatii biocompatibilitatea acestora (Schema 7).

Vectorii au fost sintetizati in 2 etape. In prima are loc reactia dintre compusul organic trifunctional si PEG (in acetonitril, la temperatura camerei, timp de 72 de ore). Raportul dintre cei doi compusi a fost ales astfel incat sa ramana grupe functionale ale compusului trifunctional nereactionate. Grupurile nereactionate au fost modificate cu PEI in cea de-a doua etapa de sinteza (reactia are loc in apa, la temperatura camerei, timp de 72 de ore).

Structura vectorilor a fost confirmata prin spectroscopie <sup>1</sup>H-RMN, spectrele fiind prezentate in Figura 51.

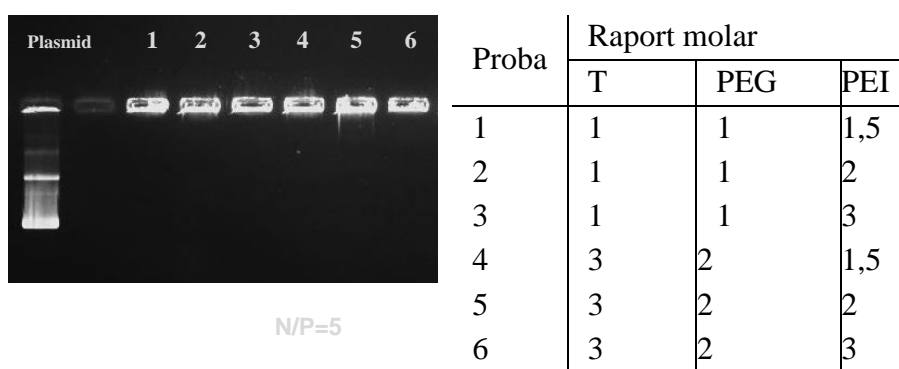


**Schema 7.** Calea de obtinere a vectorilor pe baza de compus organic trifunctional, PEG si PEI (T-PEG-PEI).



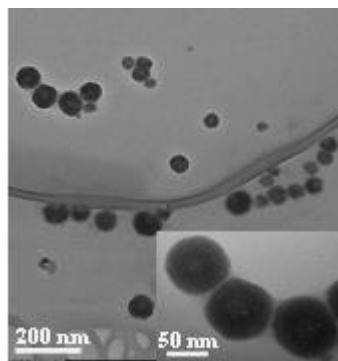
**Figura 51.** Spectrele RMN ale compusului T-PEG-PEI, la finalul celor doua etape ale sintezei.

Abilitatea de complexare a vectorului T-PEG-PEI cu ADN-ul plasmidic (pCS2+NLS-eGFP, 4830 perechi de baze) a fost investigata prin gel electroforeza la diferite rapoarte N/P (20, 10, 5, 3 si 1). Se observa ca la rapoarte N/P mai mari de 5 plasmidul a fost complet impachetat de conjugatul T-PEG-PEI (Figura 52).



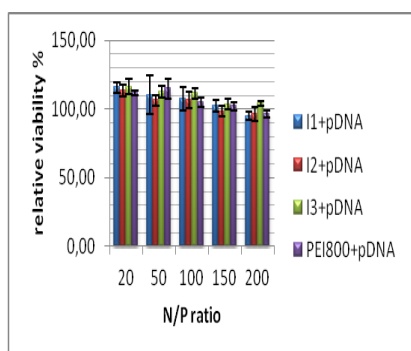
**Figura 52.** Rezultatele gel electroforezei pentru poliplecii T-PEG-PEI in diferite rapoarte molare T/PEG/PEI complexati cu plasmid pCS2+NLS-eGFP, la raport N/P=5.

Studiile de morfologie a poliplexelor formati au fost realizate prin microscopie electronica de transmisie (TEM) (Figura 53). In urma conjugarii plasmidului cu vectorul sintetizat se obtin aggregate sferice cu dimensiuni intre 39 si 126 nm, dependente de rapoartele molare PEG/PEI.

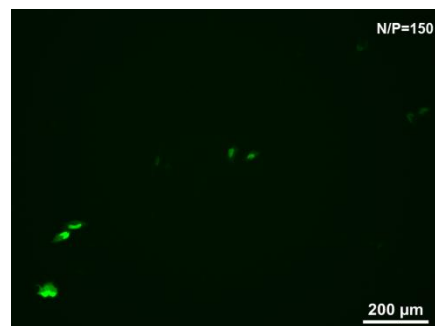


**Figura 53.** Micrografiile TEM pentru poliplexul T-PEG-PEI/ pCS2+NLS-eGFP, la un raport molar T : PEG : PEI de 1:1:3 si pentru N/P=10.

Viabilitatea celulelor HeLa, cultivate in presenza conjugatelor necomplexe si complexate cu ADN plasmidic pCS2+NLS-eGFP la diverse rapoarte N/P, a fost determinata folosind tehnica MTT. Viabilitatea a fost exprimata procentual, prin raportarea la viabilitatea celulelor cultivate in mediu de cultura normal, in absenta complexelor (considerata 100%). In cazul complexelor, concentratia ADN a fost mentinuta constanta la 1 $\mu$ g/mL, iar concentratia conjugatilor polimerici cu PEI a fost variata astfel incat sa se obtina raporturi N/P intre 20 si 200. In Figura 54 sunt prezentate rezultatele de viabilitate celulara in functie de valoarea raportului N/P si a raportului T/PEG/PEI. Se observa ca poliplexii obtinuti nu prezinta citotoxicitate. Tinand cont ca dimensiunile lor sunt cuprinse intre 39 si 126 nm, se poate concluziona ca poliplexii T-PEG-PEI pot fi utili in transfectie.



**Figura 54.** Viabilitatea celulara relativa pentru celule HeLa tratate cu poliplexi T-PEG-PEI/pCS2+NLS-eGFP, la rapoarte molare T:PEG:PEI de 1:1:1 (I1); 1:1:3 (I2); 3:2:3 (I3)



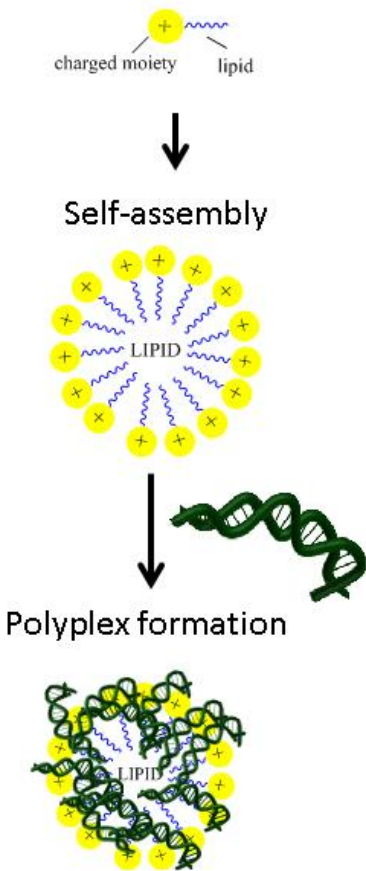
**Figura 55.** Celule HeLa transfectate cu poliplex T-PEG-PEI/pCS2+NLS-eGFP. T:PEG:PEI =1:1:3 (I2), N/P=5.

Eficienta transfectiei *in vitro* a fost evaluata pe celule HeLa. Celulele HeLa au fost transfectate, in placi cu 96 de godeuri, cu conjugate si plasmid pCS2+NLS-eGFP. Concentratia de ADN per godeu a fost fixata la 400 ng. Celulele au fost monitorizate post-transfectie la 72 ore, utilizand un microscop Leica DMI 3000 cu filtru de fluorescenza GFP. Rezultatele prezentate in Figura 55 pentru poliplexul T-PEG-PEI/pCS2+NLS-eGFP cu raportul molar T:PEG:PEI=1:1:3 indica faptul ca transfectia celulelor HeLa a avut loc.

## B.2. Vectori utilizati in transfectie pe baza de lipid (squalena) si PEI (S-PEI)

Experimentele au vizat legarea unui terpenoid (squalena) de un polimer cationic (PEI), in scopul de a crea un bioconjugat cu abilitati de auto-agregare, ce poate genera particule auto-asamblate, in mediu apos.

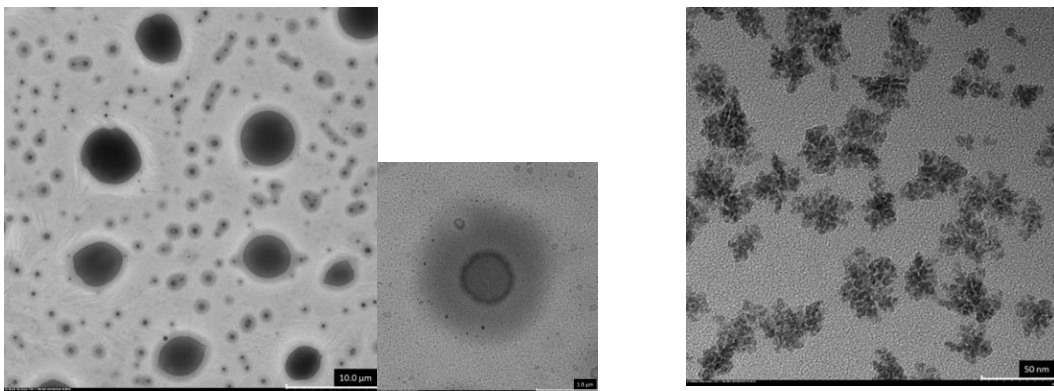
Arhitectura vectorilor sintetizati are la baza squalena functionalizata cu grupare aldehidica la unul dintre capete, capabila sa interactioneze cu grupurile aminice din PEI, generand legaturi covalente dinamice. Datorita hidrofobicitatii, squalena formeaza prin autoasamblare vectori cu miez hidrofob<sup>130</sup> si invelis hidrofil alcătuit din PEI. Un astfel de agregat poate leaga AND-ul, formand poliplexsi (Schema 8).



*Schema 8. Formarea poliplexelor de tip S-PEI/pADN.*

Micrografiile TEM (Figura 56) indica obtinerea unei morfologii globulare a conjugatelor S-PEI, cu dimensiuni cuprinse intre 400 si 500 nm, care, dupa impachetarea AND-ului, genereaza poliplexii supraagregati, in care entitatile constitutive au dimensiuni mult mai mici, de aproximativ 50 nm. Acest fapt demonstreaza ca bioconjugatele S-PEI prezinta o buna capacitate de compactare a pasmidului pCS2+NLS-eGFP.

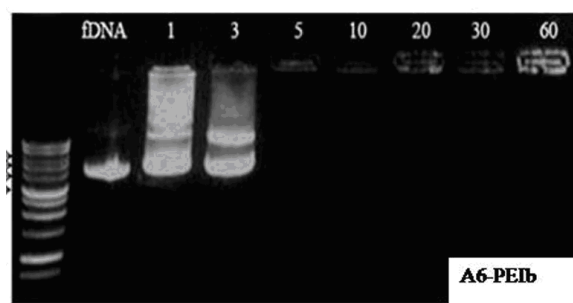
Alcatuirea complexa a conjugatelor S-PEI cu ADN plasmidic este probata prin electroforeza in gel de agaroză. In Figura 57 se observa, pentru fiecare compus in parte, de la ce raport N/P poate acesta sa complexeze total ADN plasmidic si sa impiedice migrarea ADN in gel. Vectorul S-PEI este capabil sa condenseze plasmidul pentru rapoarte N/P mai mari de 3, ceea ce-l recomanda pentru a fi testat in ulterior in terapia genica.



(a) Bioconjugat S-PEI in apa, formeaza globule de aproximativ 400-500 nm.

Poliplex S-PEI/ pCS2+NLS-eGFP cu N/P 20; dimensiunea nanoparticulei de aprox. 50 nm. (b)

**Figura 56.** Micrografiile TEM ale complexului S-PEI (a) si respectiv ale poliplexului S-PEI/pCS2+NLS-eGFP (b).



**Figura 57.** Separarea electroforetica pe gel de agaroză a poliplexelor S-PEI/ pCS2+NLS-eGFP, la diferite rapoarte N/P.

Eficienta transfectiei *in vitro* a fost evaluata pe celule HeLa, transfectate, in placi cu 96 de godeuri, cu conjugate si plasmid pCS2+NLS-eGFP (care, odata transfectat, induce exprimarea in celule a unei proteine fluorescenta). Concentratia de ADN/godeu a fost constanta, de 400 ng. Celulele au fost monitorizate post-transfectie la 48 ore utilizand un microscop Leica DMI 3000, cu filtru de fluorescenta GFP. Nu s-a inregistrat tendinta de citotoxicitate.

Asadar, bioconjugatele pe baza de squalena si PEI sunt apte a complexa ionic si a transfecta plasmide pCS2+NLS-eGFP, sub forma unor nanoparticule cu dimensiuni de ordinul 50 nm. Acestea au abilitate de transfectie asupra celulelor HeLa la rapoarte N/P de circa 150.

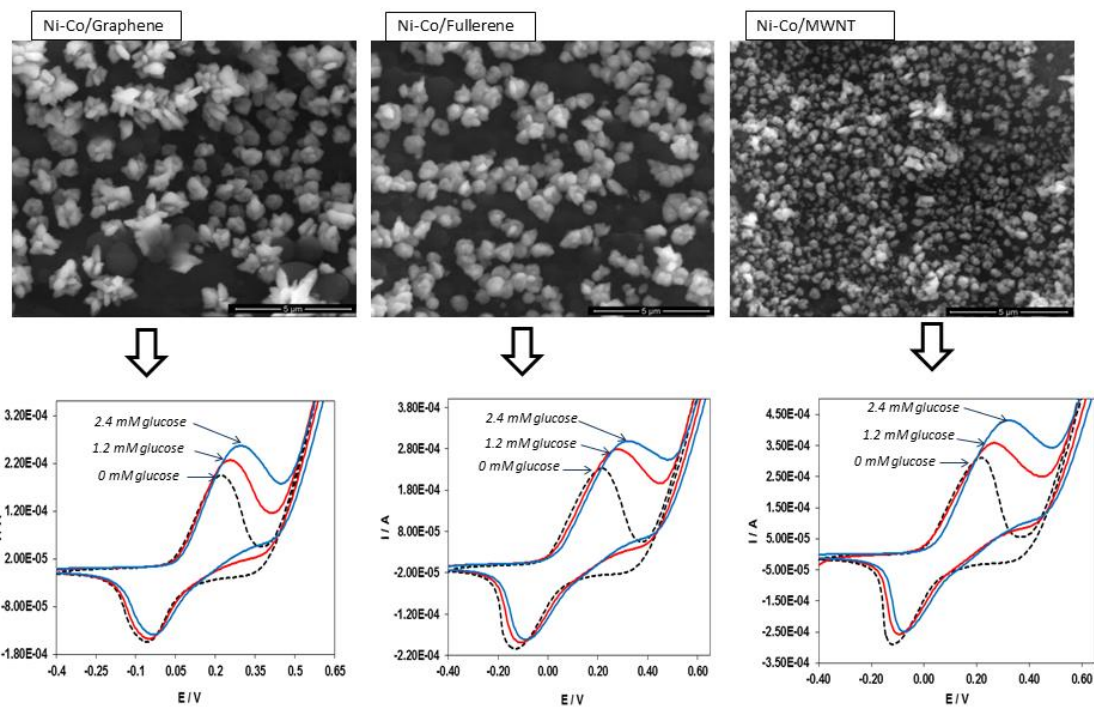
### **Obiectivul 3. STUDIUL POSIBILITATILOR DE CARACTERIZARE PRIN TEHNICI ELECTROCHIMICE A COMPOZITIEI MEDIILOR IN CARE SE EFECTUEAZA TRANSFECTIA**

Utilizarea *in vitro* a vectorilor genetici non-virali, adaugati fiind in mediile in care sunt cultivate celulele, impune controlul strict al componzitiei sistemului apos, astfel incat plajele fiziologice (sau cele particulare culturii celulare) sa nu fie afectate de dozarea poliplexilor si a speciilor chimice adjuvante, ori insotitoare. In acest sens, unul dintre parametri ai caror valori sunt de acut interes este concentratia glucozei, de regula prescrisa odata cu mediul de cultura. Acest parametru poate suferi abateri atunci cand vectorii genetici non-virali sunt dozati, fie prin simpla dilutie, fie prin implicare in interactii fizico-chimice. Din acest motiv, supravegherea pe cale electrochimica a concentratiei glucozei in medii compozitional complexe si aglomerate macromolecular este esentiala. In cadrul fazei 2014, ca obiectiv suplimentar, s-a abordat si aceasta problematica. Bazele teoretice si realizarile experimentale in acest sens sunt prezentate in cele ce urmeaza.

#### **Oxidarea electrochimica sensibila a glucozei utilizand nanoparticule Ni-Co electrodepose pe materiale carbonice**

Acest obiectiv si-a propus scaderea limitei de detectie electrochimica a glucozei prin modificarea suprafetei electrodului, realizata prin electrodepunerea nanoparticulelor metalice de Ni-Co cu diferite marimi si distributii pe diferite materiale carbonice (grafene, fulerene si nanotuburi de carbon). In acest context, materialele carbonice functioneaza totodata si ca suport pentru depunerea nanoparticulelor metalice, influentand densitatea si dimensiunea acestora (Figura 58), pornind de la ipoteza ca particulele metalice se ancoreaza in mod preferential la nivelul situsurilor de inalta energie de pe suprafata carbonului. Densitatea acestor situsuri pe materialul suport influenteaza numarul particulelor de Ni-Co rezultate. De asemenea, prezenta defectelor si a gruparilor funktionale (grupari -OH) de pe suprafata nanotuburilor de carbon, face ca aceste materiale sa devina suporturi promitatoare pentru procesul de nucleatie si crestere a nanostructurilor Ni-Co.

Studiul experimental derulat demonstreaza modul in care conditiile si parametrii de operare influenteaza morfologia si componzitia nanoparticulelor Ni-Co rezultate, care se reflecta apoi in activitatea electrochimica si activitatea electrocatalitica de detectie a glucozei (subfigurile din linia de jos a Figura 15).



**Figura 58.** Morfologia si comportamentul electrochimic al depunerilor de Ni-Co pe electrozii destinati masurarii concentratiei de glucoza in mediile de cultura.

Rezultatele experimentale indica faptul ca electrozii modificate cu materialul compozit format din particule Ni-Co depuse electrochimic pe nanotuburile de carbon cu pereti multipli (MWNT) prezinta activitate electrocatalitica crescuta, atribuita cel mai probabil, densitatii mari de nanoparticule de Ni-Co depuse uniform pe nanotuburile de carbon care ofera o suprafata activa mare in comparatie cu grafenul si fulerenă. Utilizand acesti electrozi (Ni-Co/MWNT) a fost posibila detectia electrochimica a glucozei, cu o sensibilitate ridicata de  $1868 \mu\text{A}/\text{mM}\cdot\text{cm}^2$ , atingand o limita de detectie joasa, de  $2.07 \mu\text{M}$  glucoza. Rezultatele obtinute ar putea avea un mare impact pentru dezvoltarea de noi senzori electrochimici pe baza de nanoparticule.<sup>131</sup>

## Concluzii Generale

Au fost studiate, proiectate, obtinute si caracterizate sisteme de legare si transport la nanoscara a acizilor nucleici, apti a transfecta celule in cultura la rapoarte N/P favorabile. Randamentele de transfectie se situeaza la aceleasi valori, sau chiar usor peste cele raportate in literatura stiintifica. Sistemele ce au la baza (atelo)colagen, conjugate ale PEI si PEG cu ciclodextrina, fullerena C60 si squalena, precum si sistemele cu autoasamblare avute in vedere se dovedesc utile drept «unelte» in ingineria genica si medicina personalizata, prezentand functionalitate similara cu entitatile biologice pe care le mimeaza. De asemenea au fost obtinute rezultate notabile in sinteza si caracterizarea nanoparticulelor cu capacitate de raspuns la stimuli externi si in obtinerea si caracterizarea hidrogelurilor si a criogelurilor pe baza de atelocolagen si glicozamino-glicani, destinate realizarii substitutului matricei extracelulare. In etapa urmatoare de redulare a proiectului, aceste sisteme, precum si altele in curs de investigare, vor fi testate amplu, in vederea optimizarii caracteristicilor lor functionale, cu scopul cresterii randamentelor cu care asigura eliberarea de principii active si transfectarea in vitro si ex vivo a celulelor.

**Rezultatele stiintifice ale derularii etapei 2014  
in cadrul proiectului PN-II-ID-PCCE-2011-2-0028**

**Sinoptic:**

- lucrari stiintifice publicate: **21**;
- lucrari stiintifice acceptate pentru publicare: **3**;
- lucrari stiintifice trimise spre publicare: **3**;
- participari la manifestari stiintifice, prezentari orale si postere: **14**;
- cursuri / traininguri: **7**;
- actualizare pagina web: <http://www.intelcentru.ro/index-5-a.html>.

## Bibliografie 2012-2014

- <sup>1</sup> <http://www.onlinetmd.com/top-ten-medical-device-technologies>
- <sup>2</sup> G. David, Gh. Fundoreanu, M. Pinteala, B. Minea, A. Dascalu, B. C. Simionescu, Polymer engineering for drug / gene delivery: from simple towards complex architectures and hybrid materials, *Pure Appl. Chem.* 86, Issue 11, (2014) 1621–1635.
- <sup>3</sup> F. N. Tebbe, R. L. Harlow, D. B. Chase, D. L. Thorn, G. C. Campbell Jr., J. C. Calabrese, N. Herron, R. J. Young Jr., E. Wasserman, Synthesis and Single-Crystal X-ray Structure of a Highly Symmetrical C<sub>60</sub> Derivative, C<sub>60</sub>Br<sub>24</sub>, *Science*, 1992, 822-825.
- <sup>4</sup> M. Pinteala, A. Dascalu, C. Ungureanu. Binding fullerenol C<sub>60</sub>(OH)<sub>24</sub> to dsDNA, *International Journal of Nanomedicine*, 2009, 4, 193–199.
- <sup>5</sup> L.O. Husebo, B. Sitharaman, K. Furukawa, T. Kato, L.J. Wilson, Fullerenols Revisited as Stable Radical Anions, *Journal of American Chemical Society*, 2004, 126 (38), 12055–12064.
- <sup>6</sup> J. K. Oh, J. M. Park, Iron Oxide-based Superparamagnetic Polymeric Nanocomposites: Preparation and Biomedical Application, *Prog. Polym. Sci.* 36, 168–189 2011.
- <sup>7</sup> S. H. Yuk, K. S. Oh, S. H. Cho, B. S. Lee, S. Y. Kim, B. K. Kwak, K. Kim, I. C. Kwon, Glycol Chitosan/Heparin Immobilized Iron Oxide Nanoparticles with a Tumor-Targeting Characteristic for Magnetic Resonance Imaging, *Biomacromolecules* 12, 2335–2343, 2011.
- <sup>8</sup> N. Manolova, I. Rashkov, F. Beguin, H. van Damme, Amphiphilic derivatives of Fullerenes Formed by Polymer Modification, *J. Chem., Soc., Chem. Commun.*, 23 (1993), 1725-1727.
- <sup>9</sup> J. Shi, H. Zhang, L. Wang, L. Li, H. Wang , Z. Wang, Z. Li, C. Chen, L. Hou, C. Zhang, Z. Zhang, PEI-derivatized fullerene drug delivery using folate as a homing device targeting to tumor, *Biomaterials*, 34 (2013), 251-261.
- <sup>10</sup> M. Constantin, S. Bucataru, V. Harabagiu, I. Popescu, P. Ascenzi, G. Fundoreanu  
Poly(N-isopropylacrylamide-co-methacrylic acid) pH/thermo-responsive porous hydrogels as self-regulated drug delivery system, *European Journal of Pharmaceutical Sciences*, 62, 86-95, 2014.
- <sup>11</sup> M. Constantin, S. Bucataru, P. Ascenzi, B. C. Simionescu, G. Fundoreanu  
Poly(NIPAAm-co-β-cyclodextrin) microgels with drug hosting and temperature-dependent delivery properties, *Reactive and Functional Polymers*, 84, 1-9, 2014.
- <sup>12</sup> S. Bucataru, G. Fundoreanu, I. Prisacaru, M. Balan, I. Stoica, V. Harabagiu, M. Constantin  
Synthesis and characterization of thermosensitive poly(N-isopropylacrylamide-co-hydroxyethylacrylamide) microgels as potential carrier for drug delivery, *Journal of Polymer Research*, 21, 580-591, 2014.
- <sup>13</sup> H. Hosseinkhani, T. Azzam, H. Kobayashi, Y. Hiraoka, H. Shimokawa, A. J. Domb, Y. Tabata, Combination of 3D tissue engineered scaffold and non-viral gene carrier enhance in vitro DNA expression of mesenchymal stem cells, *Biomaterials* 27 (2006) 4269–4278.
- <sup>14</sup> S. O'Rorke, M. Keeney, A. Pandit, Non-viral polyplexes: Scaffold mediated delivery for gene therapy, *Progr. Polym. Sci.* 35 (2010) 441–458.
- <sup>15</sup> H.-J. Park, F Yang, S-W Cho, Nonviral delivery of genetic medicine for therapeutic angiogenesis, *Adv. Drug Deliv. Rev.* 64 (2012) 40–52.
- <sup>16</sup> L. Jin, X. Zeng, M. Liu, Y. Deng, N. He, Current Progress in Gene Delivery Technology Based on Chemical Methods and Nano-carriers, *Theranostics* 4 (2014) 240-255.-
- <sup>17</sup> L. De Laporte, J. Cruz Rea, L. D. Shea, Design of modular non-viral gene therapy vectors, *Biomaterials* 27 (2006) 947–954.
- <sup>18</sup> A. Martin-Herranz, A. Ahmad, H. M. Evans, K. Ewert, U. Schulze, C. R. Safinya, Surface functionalized cationic lipid-DNA complexes for gene delivery: PEGylated lamellar complexes exhibit distinct DNA interaction regimes, *Biophys. J.* 86 (2004) 1160–1168.
- <sup>19</sup> J. M. Dang, K. W. Leong, Natural polymers for gene delivery and tissue engineering, *Adv. Drug Deliv. Rev.* 58 (2006) 487–499.
- <sup>20</sup> Nitta SK, Numata K: Biopolymer-based nanoparticles for drug/gene delivery and tissue engineering. *Int. J. Mol. Sci.* 14 (2013) 1629–1654.
- <sup>21</sup> S. M. Dizaj, S. Jafari, A. Y. Khosroushahi, A sight on the current nanoparticle-based gene delivery vectors, *Nanoscale Res. Lett.* 9 (2014) 252.
- <sup>22</sup> C. H. Lee, A. Singla, Y. Lee, Biomedical applications of collagen, *Int. J. Pharm.* 221 (2001) 1-22.
- <sup>23</sup> N. Kasoju, S. S. Ali, V. K. Dubey, U. Bora, Exploiting the Potential of Collagen as a Natural Biomaterial in Drug Delivery, *J. Proteins & Proteomics*, 1 (2010) 9-14
- <sup>24</sup> A. Sano, M. Maeda, S. Nagahara, T. Ochiya, K. Honma, H. Itoh, T. Miyata, K. Fujioka Atelocollagen for protein and gene delivery, *Adv. Drug Deliv. Rev.*, 55 (2003)1651-1677.
- <sup>25</sup> B. Rossler, J. Kreuter, D. Scherer, Collagen microparticles: preparation and properties. *J. Microencapsul.* 12 (1995) 49–57.
- <sup>26</sup> P. K. Sehgal, A. Srinivasan, Collagen-coated microparticles in drug delivery, *Expert Opin. Drug. Deliv.*, 6 (2009) 687-695.
- <sup>27</sup> U. Shimanovich, G J. L. Bernardes, T. P. J. Knowles, A. Cavaco-Pinto, Protein micro- and nano-capsules for biomedical applications, *Chem. Soc. Rev.* 43 (2014) 1361-1371.
- <sup>28</sup> P. Saccardo, A. Villaverde, N. González-Montalbán, Peptide-mediated DNA condensation for non-viral gene therapy, *Biotechnol. Adv.* 27 (2009) 432–438.
- <sup>29</sup> J. Sebag, Surgical anatomy of vitreous and the vitreo-retinal interface. In: *Clinical Ophthalmology*, W.Tasman and E. A. Jaeger (eds.), Philadelphia, PA: J. B. Lippincott (2007) vol. 6, chapter 51, pp. 1882–1960.

- <sup>30</sup>] T. Ochiya, Y. Takahama, S. Nagahara, Y. Sumita, A. Hisada, H. Itoh, New delivery system for plasmid DNA in vivo using atelocollagen as a carrier material: the Minipellet. *Nat. Med.* 5 (1999) 707–710.
- <sup>31</sup> J. Bonadio, E. Smiley, P. Patil, S. Goldstein, Localized, direct plasmid gene delivery in vivo: prolonged therapy results in reproducible tissue regeneration. *Nat. Med.* 5 (1999) 753–759.
- <sup>32</sup> G. J. Angella, M. B. Sherwood, L. Balasubramanian, J. W. Doyle, M. F. Smith, G. van Setten, M. Goldstein, G. S. Schultz, Enhanced short-term plasmid transfection of filtration surgery tissues. *Invest. Ophthalmol. Vis. Sci.* 41 (2000), 4158–4162.
- <sup>33</sup> R. M. Capito, M. Spector Collagen scaffolds for nonviral IGF-1 gene delivery in articular cartilage tissue engineering. *Gene Ther.* 14 (2007) 721–732.
- <sup>34</sup> H. Cohen-Sacks, V. Elazar, J. Gao, A. Golomb, H. Adwan, N. Korchov, Delivery and expression of pDNA embedded in collagen matrices. *J. Control. Release* 95 (2004) 309–320.
- <sup>35</sup> X. Jin, L. Mei, C. Song, L. Liu, X. Leng, H. Sun Immobilization of plasmid DNA on an anti-DNA antibody modified coronary stent for intravascular site-specific gene therapy. *J. Gene Med.* 10 (2008) 421–429.
- <sup>36</sup> F. Scherer, U. Schillinger, U. Putz, A. Stemberger, C. Plank Nonviral vector loaded collagen sponges for sustained gene delivery in vitro and in vivo. *J. Gene Med.* 4 (2002) 634–643.
- <sup>37</sup> M. Murata, B.Z. Huang, T. Shibata, S. Imai, N. Nagai, M. Arisue, Bone augmentation by recombinant human BMP-2 and collagen on adult rat parietal bone. *Int. J. Oral. Maxillofac. Surg.* 28 (1999) 232–237.
- <sup>38</sup> G. David, B. C. Simionescu, S. Maier, C. Balhui - Micro-/nanostructured polymeric materials: Poly( $\epsilon$ -caprolactone) crosslinked collagen sponges. – *Dig. J. Nanomater. Biostruct.* 6 (2011) 1575–1585.
- <sup>39</sup> G. David, M. Cristea, C. Balhui, D. Timpu, F. Doroftei, B. C. Simionescu - Effect of Crosslinking Methods on Structure and Properties of Poly( $\epsilon$ -caprolactone) Stabilized Hydrogels Containing Biopolymers *Biomacromolecules* 13 (2012) 2263–2272.
- <sup>40</sup> B. C. Simionescu, A. Neamtu, C. Balhui, M. Danciu, D. Ivanov, G. David Macroporous structures based on biodegradable polymers-candidates for biomedical application, *Biomed. Mater. Res. A* 101 (2013) 2689–2698.
- <sup>41</sup> C. Balhui, G. David, M. Drobota, V. E. Musteata, Dielectric Characterization of Biopolymer /Poly( $\epsilon$ -Caprolactone) Hydrogels, *Int. J. Polym. Anal. Ch.* 19 (2014) 234–244.
- <sup>42</sup> R. Diaconescu, B. C. Simionescu, G. David, Control and prediction of degradation of biopolymer based hydrogels with poly( $\epsilon$ -caprolactone) subunits, *Int. J. Biol. Macromol.* 71 (2014) 147–154.
- <sup>43</sup> V. Chak, D. Kumar, S. Visht. A Review on Collagen Based Drug Delivery Systems. *IJPPTP* (International Journal of Pharmacy Teaching & Practices) 4 (2013) 811–820.
- <sup>44</sup> C. Pinto Reis, R J. Neufeld, A . J. Ribeiro, F. Veiga, Nanoencapsulation I. Methods for preparation of drug-loaded polymeric nanoparticles, *Nanomed.-Nanotechnol.* 2 (2006) 8–21.
- <sup>45</sup> W Lohcharoenkal, L Wang, Y C Chen, Y Rojanasakul, Protein Nanoparticles as Drug Delivery Carriers for Cancer Therapy, *BioMed Res. Int.* (2014) Article ID 180549, 12 pages
- <sup>46</sup> D. R. Link, E. Grasland-Mongrain, A. Duri, F. Sarrazin, Z. Cheng, G. Cristobal, M. Marquez and D. A. Weitz, Electric Control of Droplets in Microfluidic Devices, *Angew. Chem., Int. Ed.* 45 (2006) 2556–2560.
- <sup>47</sup> E. Rondeau, J. J. Cooper-White, Biopolymer microparticle and nanoparticle formation within a microfluidic device. *Langmuir* 24 (2008) 6937–6945.
- <sup>48</sup> [47] K. K. Kim, D. W. Pack, Microspheres for Drug Delivery, in BIOMEMS and Biomedical Nanotechnology, vol I. Biological and Biomedical Nanotechnology, M Ferrari, A.P Lee, J. Lee (eds), Springer e-books (2006) Chap. 2 pp 19–50/pp 28.
- <sup>49</sup> E. Nogueira, A. Loureiro, P.Nogueira, J. Freitas, C. R. Almeida, J. Harmark, H. Hebert, A. Moreira, A. M. Carmo, A. Preto, A. C. Gomes, A. Cavaco-Paulo, Liposome and protein based stealth nanoparticles, *Faraday Discuss.* 166 (2013) 417–429.
- <sup>50</sup> M. Papi, V. Palmieri, G. Maulucci, G. Arcovito, E. Greco, G Quintiliani, M Fraziano, M De Spirito, Controlled self assembly of collagen nanoparticle, *J. Nanopart. Res.* 13 (2011) 6141–6147.
- <sup>51</sup> V. Singh, F. Y. Xu, S. V. Sreenivasan, Nanoimprint lithography formation of functional nanoparticles using dual release layers, US 2012/0114559 A1, May 10, 2012.
- <sup>52</sup> B. P. Chan, C. M. Chan, K. F. So, Collagen-based microspheres and methods of preparation and uses thereof, US 20080317866, 12/25/2008.
- <sup>53</sup> M. Matsusaki, M. Akashi, Functional multilayered capsules for targeting and local drug delivery, *Expert opin. drug del.* 6 (2009) 1207–1217.
- <sup>54</sup> R. Suto and P. Srivastava, A mechanism for the specific immunogenicity of heat shock protein-chaperoned peptides, *Science* 269 (1995) 269 1585–1588.
- <sup>55</sup> N. Sanvicens, M. Pilar Marco, Multifunctional nanoparticles –properties and prospects for their use in human medicine, *Trends Biotechnol.*, 26 (2008) 425–433.
- <sup>56</sup> (a) L. Pastorino, E. Erokhina, V. Erokhin, Smart Nanoengineered Polymeric Capsules as Ideal Pharmaceutical Carriers, *Curr. Org. Chem.* 17 (2013) 58–64; (b) L. Pastorino, S. Erokhina, F. C. Soumetz, P. Bianchini, O. Konovalov, A. Diaspro, C. Ruggiero, V. Erokhin, Collagen containing microcapsules: smart containers for disease controlled therapy, *J. Colloid Interf. Sci.* 357 (2011) 56–62; (c) L. Pastorino, S. Erokhina, O. Konovalov, P. Bianchini, A. Diaspro, C. Ruggiero, Permeability Variation Study in Collagen-Based Polymeric Capsules, *BioNanoScience* 1 (2011) 192–197; (e) N. Habibi, L. Pastorino, O. H. Sandoval, C. Ruggiero, Polyelectrolyte based molecular carriers: The role of self-assembled proteins in permeability properties, *J. Biomater. Appl.* 28 (2013) 262–269.
- <sup>57</sup> G. Decher, Fuzzy nanoassemblies: Toward layered multicomposites. *Science* 277 (1997) 1232–1237.
- <sup>58</sup> A. P. R. Johnston, C. Cortez, A. S. Angelatos, F. Caruso, Layer-by-layer engineered capsules and their applications, *Curr. Opin. Colloid In.* 11 (2006) 203–209.

- <sup>59</sup> Lvov, Y. Polyion/protein nanostructures. In A. Hubbard (Ed.), Encyclopedia of surface and colloid science, Marcel Dekker, New York, (2002) 4162–4171.
- <sup>60</sup> J. F. Leary, T. W. Prow, Molecular programming of nanoparticle systems for an ordered and controlled sequence of events for gene- drug delivery, US 2007/0190155 A1, 16 Aug 2007.
- <sup>61</sup> T. Kojima, S. Kojima, H. Yoshikawa, T. Kazumori, T. Kaneko, C. Kaise, Cosmetic base comprising collagen-modified liposome and skin cosmetic containing the same US 2011/0081402 A1, Apr 7, 2011.
- <sup>62</sup> E. Rondeau, J. J. Cooper-White, Formation of multilayered biopolymer microcapsules and microparticles in a multiphase microfluidic flow, BIOMICROFLUIDICS 6, 024125 (2012) 1-16.
- <sup>63</sup> D. M. Suflet, I. Popescu, I. M. Pelin, M. T. Nistor, G. E. Hitruc, F. Doroftei, G. Fundueanu, Preparation and characterization of microcapsules based on phosphorylated curdlan and hydrolyzed collagen, Dig. J. Nanomater. Biostruct. 6 (2011) 653 – 661.
- <sup>64</sup> N. Kamaly, G. Fredman, M. Subramanian, S. Gadde, A. Pesic, L. Cheung, Z. A. Fayad, R. Langer, I. Tabas, O. C. Farokhzad, Development and in vivo efficacy of targeted polymeric inflammation-resolving nanoparticles, PNAS 110 (2013) 6506-6511.
- <sup>65</sup> W. B. Liechty, N. A. Peppas, Expert Opinion: Responsive Polymer Nanoparticles in Cancer Therapy, Eur. J. Pharm. Biopharm. 80 (2012) 241–246.
- <sup>66</sup> S. Maier, V. Maier, I. Buciscanu, Novel procedure for large-scale purification of atelocollagen, by selective precipitation, J.A.L.C.A. 105 (2010) 1-8.
- <sup>67</sup> a) G. M. Mrevlishvili, D. V. Svintradze, Complex between triple helix of collagen and double helix of DNA in aqueous solution, Int. J. Biol. Macromol. 35 (2005) 243–245; b) R. M. Pidaparti, D. V. Svintradze, Y. Feng Shan, H. Yokota; Optimization of hydrogen bonds for combined DNA/collagen complex, J. Theor. Biol. 256 (2009) 149–156.
- <sup>68</sup> S. Nimesh, Gene therapy: Potential Applications of Nanotechnology, 1st Edition, chap 11, Atelocollagen, Woodhead Publishing Ltd, Cambridge, UK (2013) p 225-235.
- <sup>69</sup> H. Cohen-Sacks, V. Elazar, J. Gao, A. Golomb, H. Adwan, N. Korchov, R.J. Levy, M.R. Berger, G. Golomb, Delivery and expression of pDNA embedded in collagen matrices, J. Control. Release 95 (2004) 309– 320.
- <sup>70</sup> T. Ochiya, S. Nagahara, A. Sano, H. Itoh, M. Terada, Biomaterials for Gene Delivery: Atelocollagen-mediated Controlled Release of Molecular Medicines, Curr. Gene Ther. 1 (2001) 31-52.
- <sup>71</sup> K. Honma, T. Ochiya, S. Nagahara, A. Sano, H. Yamamoto, K. Hirai, Y. Aso, M. Terada., Atelocollagen-Based Gene Transfer in Cells Allows High-Throughput Screening of Gene Functions, Biochem. Biophys. Res. Comun. 289 (2002) 1075-1081.
- <sup>72</sup> J. Necas, L. Bartosikova, P. Brauner, J. Kolar, Hyaluronic acid (hyaluronan): a review, Vet. Med.-Czech. 53 (2008) 397–411.
- <sup>73</sup> J. A. Burdick, G. D. Prestwich, Hyaluronic acid hydrogels for biomedical applications, Adv. Mater. 23(2011) H41-56.
- <sup>74</sup> M. Rinaudo, Main properties and current applications of some polysaccharides as biomaterials, Polym. Int. 57 (2008) 397–430.
- <sup>75</sup> H. Zhao, T. Tanaka, Z. Darzynkiewicz, Protective effect of hyaluronate on oxidative DNA damage in WI-38 and A549 cells, Int. J. Oncol. 32 (2008) 1159-1167.
- <sup>76</sup> W. Khan, H. Hosseinkhani, D. Ickowicz, P.-D. Hong, D.-S. Yu, A. J. Domb, Polysaccharide gene transfection agents, Acta Biomater. 8 (2012) 4224–4232.
- <sup>77</sup> Yao J, Fan Y, Du R, Zhou J, Lu Y, Wang W. Amphoteric hyaluronic acid derivative for targeting gene delivery. Biomaterials 31 (2010) 9357–9365.
- <sup>78</sup> M. de la Fuente, B. Seijo, M. J. Alonso, Novel hyaluronic acid–chitosan nanoparticles for ocular gene therapy. Invest. Ophth. Vis. Sci. 49 (2008) 2016–2024.
- <sup>79</sup> Y. Takei, A. Maruyama, A. Ferdous, Y. Nishimura, S. Kawano, K. Ikejima, et al. Targeted gene delivery to sinusoidal endothelial cells: DNA nanoassociate bearing hyaluronan–glycocalyx. FASEB J 18 (2004) 699–701.
- <sup>80</sup> Y. H. Yun, D. J. Goetz, P. Yellen, W. Chen, Hyaluronan microspheres for sustained gene delivery and site-specific targeting. Biomaterials 25 (2004) 147–157.
- <sup>81</sup> S. Mahor, E. Collin, B. C. Dash, A. Pandit, Controlled release of plasmid DNA from hyaluronan nanoparticles. Curr. Drug Deliv. 8 (2011) 354–362.
- <sup>82</sup> T. Segura, P. H. Chung, L. D. Shea, DNA delivery from hyaluronic acid-collagen hydrogels via a substrate-mediated approach, Biomaterials 26 (2005) 1575–1584.
- <sup>83</sup> L. Lapčík, L. L. Lapčík, S. De Smedt, J. Demeester, P. Chabrechek, Hyaluronan: preparation, structure, properties, and applications, Chem. Rev. 98 (1998) 2663–2684.
- <sup>84</sup> N. Barbani, L. Lazzeri, C. Cristallini, M. G. Cascone, G. Polacco, G. Pizzirani, Bioartificial materials based on blends of collagen and poly(acrylic acid) J. Appl. Polym. Sci. 72 (1999) 971–976.
- <sup>85</sup> J. Zhang, B. Senger, D. Vautier, C. Picart, P. Schaaf, J.-C. Voegel, P. Lavalle, Natural polyelectrolyte films based on layer-by layer deposition of collagen and hyaluronic acid, Biomaterials 26 (2005) 3353–3361.
- <sup>86</sup> G. G. S. Grant, D. S. Koktysh, B. Yun, R. L. Matts, N. A. Kotov. Layer-by- layer assembly of collagen thin films: controlled thickness and biocompatibility. Biomed. Microdevices 3 (2001) 301–306.
- <sup>87</sup> H. Lee, Y. Jeong, T. G. Park, Shell Cross-Linked Hyaluronic Acid/Polylysine Layer-by-Layer Polyelectrolyte Microcapsules Prepared by Removal of Reducible Hyaluronic Acid Microgel Cores, Biomacromolecules 8 (2007) 3705-3711.
- <sup>88</sup> F. Sousa, O. Kreft, G. B. Sukhorukov, H. Möhwald, V. Kokol, Biocatalytic response of multi-layer assembled collagen/hyaluronic acid nanoengineered capsules, J. Microencapsul. 14; 31 (2014):270-276.
- <sup>89</sup> D. N. Nguyen, J. J. Green, J. M. Chan, R. Langer, D. G. Anderson, Polymeric Materials for Gene Delivery and DNA Vaccination, Adv. Mater. 21 (2009) 847–867.

- <sup>90</sup> U. Lungwitz, M. Breunig, T. Blunk, A. Göpferich, Polyethylenimine-based non-viral gene delivery systems, *Eur. J. Pharm. Biopharm.* 60 (2005) 247–266.
- <sup>91</sup> C.-S. Cho, Design and Development of Degradable Polyethylenimines for Delivery of DNA and Small Interfering RNA: An Updated Review, *ISRN (International Scholarly Research Network) Materials Science* (2012) Article ID 798247, 24 pag.
- <sup>92</sup> M. Jager, Stephanie Schubert, Sofia Ochrimenko, Dagmar Fischer, Ulrich S. Schubert, Branched and linear poly(ethylene imine)-based conjugates: synthetic modification, characterization, and application, *Chem. Soc. Rev.* 41 (2012) 4755–4767.
- <sup>93</sup> M. Karimi, P. Avci, R. Mobasseri, M. Hamblin, H. Naderi-Manesh, The novel albumin–chitosan core–shell nanoparticles for gene delivery: preparation, optimization and cell uptake investigation. *J. Nanopart. Res.* 15 (2013) 1–14.
- <sup>94</sup> A. Hornito, L. J. Weber, Skin penetrating property of drug dissolved in dimethyl sulfoxide (DMSO) and other vehicles, *Life Sci.* 3 (1964) 1389.
- <sup>95</sup> C. Sanmartin –Suárez, R. Soto-Otero, I Sánchez-Sellero, E. Méndez-Álvarez, Antioxidant properties of dimethylsulfoxide and its viability as a solvent in the evaluation of neuroprotective antioxidants, *J. Pharmacol. Toxicol.* 63 (2011) 209–215.
- <sup>96</sup> G. Kashino, Y. Liu, M. Suzuki, S.-I. Masunaga, Y. Kinashi, K. Ono, K. Tano, M. Watanabe An alternative mechanism for Radioprotection by Dimethyl Sulfoxide, Possible Facilitation of DNA Double Strand Break Repair *J. Radiat. Res.* 51, (2010) 733–740.
- <sup>97</sup> M. Beljanski, The regulation of DNA replication and transcription, in chapter 5. *Carcinogens in DNA replication and release of specific information*, Demos Medical Publishing, 2013, p10-12.
- <sup>98</sup> N. C. Santos, J. Figueira-Coelho, J. Martins-Silva, C. Saldanha. Multidisciplinary utilization of dimethyl sulfoxide: pharmacological, cellular, and molecular aspects *Biochem. Pharmacol.* 65 (2003) 1035–1041.
- <sup>99</sup> P. Windrum , T. C. Morris, M. B. Drake, D. Niederwieser, T. Ruutu, EBMT Chronic Leukaemia Working Party Complications Subcommitté, Variation in dimethyl sulfoxide use in stem cell transplantation: a survey of EBMT centres, *Bone Marrow Transpl.* 36 (2005) 601–603.
- <sup>100</sup> D. Fujimoto, K. Akiba, N. Nakamura, Isolation and characterization of a fluorescent material in bovine achilles tendon collagen, *Biochem. Biophys. Res. Commun.* 76 (1977) 1124–1129.
- <sup>101</sup> B. G. Frushour, J. L. Koenig, Raman scattering of collagen, gelatin, and elastin. *Biopolymers* 14 (1975) 379–391.
- <sup>102</sup> H. G. Edwards, D. W. Farwell, J.M. Holder, E. E. Lawson, Fourier-transform Raman spectra of ivory. III. Identification of mammalian specimens. *Spectrochim. Acta A Mol. Biomol. Spectrosc.* 53A (1997) 2403–2409.
- <sup>103</sup> K. J. Payne, A. Veis, Fourier transform ir spectroscopy of collagen and gelatin solutions: deconvolution of the amide I band for conformational studies. *Biopolymers* 27 (1988) 1749–1760.
- <sup>104</sup> D. I. Fan, B. Wu, Z. Xu, Q. Gu, Determination of hyaluronan by spectroscopic methods. *J. Wuhan Univ. Technol.- Mater. Sci. Ed.* 21 (2006) 32–34.
- <sup>105</sup> a) J.-M. Lehn, *Chem. Soc. Rev.* 2007, 36, 151– 160; b) Constitutional Dynamic Chemistry, *Top. Curr. Chem.* (Ed.: M. Barboiu) 2012, Springer, Berlin; c) M. Barboiu, J.-M. Lehn, *Proc. Natl. Acad. Sci. USA* 2002, 99, 5201 –5206; d) F. Dumitru, Y. M. Legrand, A. van der Lee, M. Barboiu, *Chem. Commun.* 2009, 2667– 2669.
- <sup>106</sup> a) J.-M. Lehn, *Angew. Chem.* 2013, 125, 2906 – 2921; *Angew. Chem. Int. Ed.* 2013, 52, 2836– 2850; b) M. Barboiu, *Chem. Commun.* 2010, 46, 7466 –7476; c) E. Moulin, G. Cormos, N. Giuseppone, *Chem. Soc. Rev.* 2012, 41, 1031 –1049; d) N. Giuseppone, *Acc. Chem. Res.* 2012, 45, 2178 –2188; e) M. Barboiu, M. Ruben, G. Blasen, N. Kyritsakas, E. Chacko, M. Dutta, O. Radekovich, K. Lenton, D. J. R. Brook, J.-M. Lehn, *Eur. J. Inorg. Chem.* 2006, 784 –789; f) E. Busseron, Y. Ruff, E. Moulin, N. Giuseppone, *Nanoscale* 2013, 5, 7098 –7140.
- <sup>107</sup> C. Arnal-H\_rault, A. Pasc-Banu, M. Barboiu, M. Michau, A. van der Lee, *Angew. Chem.* 2007, 119, 4346 – 4350; *Angew. Chem. Int. Ed.* 2007, 46, 4268 –4272; b) C. Arnal-H\_rault, M. Barboiu, A. Pasc, M. Michau, P. Perriat, A. van der Lee, *Chem. Eur. J.* 2007, 13, 6792 –6800; c) M. Michau, M. Barboiu, R. Caraballo, C. Arnal-H\_rault, P. Periat, A. van der Lee, A. Pasc, *Chem. Eur. J.* 2008, 14, 1776 –1783.
- <sup>108</sup> S. Kumar, J. Koh, *Int. J. Biol. Macromol.* 2012, 51, 1167– 1172.
- <sup>109</sup> S. Lin-Gibson, H. J. Walls, S. B. Kennedy, E. R. Welsh, *Carbohydr. Polym.* 2003, 54, 193 –199.
- <sup>110</sup> L. Marin, S. Moraru, M.C. Popescu, A. Nicolescu, C. Zgardan, B.C. Simionescu, M. Barboiu, Out-of-Water Constitutional Self-Organization of Chitosan–Cinnamaldehyde Dynagels, *Chem. Eur. J.* 2014, 20, 4814 – 4821.
- <sup>111</sup> J. F. Nierengarten, J. Iehl, V. Oerthel, M. Holler, B. M. Illescas, A. Munoz, N. Martin, J. Rojo, M. Sanchez-Navarro, S. Cecioni, S. Vidal, K. Buffet, M. Durka, S. P. Vincent, *Chem. Commun.* 2010, 46, 3860 – 3862.
- <sup>112</sup> M. Durka, K. Buffet, J. Iehl, M. Holler, J. F. Nierengarten, J. Taganna, J. Bouckaert, S. P. Vincent, *Chem. Commun.* 2011, 47, 1321 – 1323;
- <sup>113</sup> M. Barboiu, Z. Mouline, M. Silion, E. Licsandru, B.C. Simionescu, E. Mahon, M. Pinteala, Multivalent Recognition of Concanavalin A by {Mo132} Glyconanocapsules—Toward Biomimetic Hybrid Multilayers, *Chem. Eur. J.* 2014, 20, 6678 – 6683.
- <sup>114</sup> C. Huang, K.G. Neoh, L. Wang, E. T. Kang, B. Shuter, Magnetic nanoparticles for magnetic resonance imaging: modulation of macrophage uptake by controlled PEGylation of the surface coating, *J. Mater. Chem.* 20 (2010) 8512-8520.
- <sup>115</sup> Z.P. Xu, Q.H. Zeng, G.Q. Lu, A.B. Yu, Inorganic nanoparticles as carriers for efficient cellular delivery, *Chem. Eng. Sci.* 61 (2006) 1027–1040.
- <sup>116</sup> S. Laurent, S. Dutz, U.O. Häfeli, M. Mahmoudi, Magnetic fluid hyperthermia: Focus on superparamagnetic iron oxide nanoparticles, *Adv. Colloid Interf. Sci.* 166 (2011) 8-23.
- <sup>117</sup> M. Hofmann-Amtenbrink, B. von Rechenberg, H. Hofmann, Superparamagnetic nanoparticles for biomedical applications, in: M.T. Chan. (Ed.), *Nanostructured Materials for Biomedical Applications*. Transworld Research Network, Kerala 2009, chapter 9, pp. 119-149.

- 
- <sup>118</sup> D. Horák, B. Rittich, A. Španová, M. J. Beneš, Magnetic microparticulate carriers with immobilized selective ligands in DNA diagnostics, *Polymer* 46 (2005) 245-1255.
- <sup>119</sup> A. Kumar Gupta, M. Gupta, Synthesis and surface engineering of iron oxide nanoparticles for biomedical applications, *Biomaterials* 26 (2005) 3995-4021.
- <sup>120</sup> T. Neuberger, B. Schöpf, H. Hofmann, M. Hofmann, B. von Rechenberg, Superparamagnetic nanoparticles for biomedical applications: Possibilities and limitations of a new drug delivery system, *J. Magn. Magn. Mater.* 293 (2005) 483-496.
- <sup>121</sup> C. M. Uritu, C.D. VARGANICI, I. Ursu, A. Coroaba, A. Nicolescu, A.I. Dascalu, D. Peptanariu, D.Stan, C. A. Constantinescu, V. Simion, M. Calin, S. S. Maier, M. Pinteala, M. Barboiu, Hybrid Fullerene Conjugates as Vectors for DNA Cell-Delivery. Trimis spre publicare ACS Nano ID: nn-2014-06698d
- <sup>122</sup> N. Manolova N, I. Rashkov, F. Beguin, H. van Damme, Amphiphilic derivatives of Fullerenes Formed by Polymer Modification, *J. Chem., Soc., Chem. Commun.*, 23 (1993), 1725-1727.
- <sup>123</sup> B. Lu, X. Xu, X. Z. Zhang, S.X. Cheng, Low Molecular Weight Polyethylenimine Grafted N-Maleated Chitosan for Gene Delivery: Properties and In Vitro Transfection Studies, *Biomacromolecules*, 9 (2008), 2594-2600.
- <sup>124</sup> R. Ardeleanu, M. Calin, S.S. Maier, C.M. Uritu, N. Marangoci, A. Fifere, M. Silion, A. Nicolescu, L. Ursu, F. Doroftei, A. Coroaba, D. Peptanariu, D. Stan, C.A. Constantinescu, V. Simion, M. Pinteala. Transfection-capable PEGylated-cyclodextrin-containing polycationic nanovectors. A new synthesis pathway. Pentru trimis spre publicare Nanotechnology.
- <sup>125</sup> W.G. Skene, J.M. Lehn. Proc. Natl. Acad. Sci. 2002, 99, 8270-8275.
- <sup>126</sup> J. M. Lehn. Prog. Polym. Sci. 2005, 30, 814–831
- <sup>127</sup> J. M. Lehn Supramolecular chemistry: concepts and perspectives. Weinheim: VCH; 1995.
- <sup>128</sup> J.L. Atwood, J.E.D. Davies, D.D. MacNicol, F. Voigtle, J. M. Lehn. Comprehensive supramolecular chemistry. Oxford: Pergamon; 1996.
- <sup>129</sup> R. Catana, M. Barboiu, I. Moleavin, L. Clima, A. Rotaru, E.E. Ursu, M. Pinteala. Dynamic Constitutional Frameworks for DNA Biomimetic Recognition. Trimis spre publicare Chem. Commun.
- <sup>130</sup> Franco Dosio, L. Harivardhan Reddy, Annalisa Ferrero, Barbara Stella, Luigi Cattel, and Patrick Couvreur. Novel Nanoassemblies Composed of Squalenoyl-Paclitaxel Derivatives: Synthesis, Characterization, and Biological Evaluation. *Bioconjugate Chem.* 2010, 21, 1349–1361.
- <sup>131</sup> A. Arvinte, F. Doroftei, M. Pinteala, Comparative electrodeposition of Ni-Co metal nanoparticles on carbon materials and their efficiency in electrochemical oxidation of glucose. Trimis spre publicare la RSC Advances.

**RAPORT STIINTIFIC**  
**pentru faza 2015, unica, a proiectului PN-II-ID-PCCE-2011-2-0028**

Denumirea proiectului: **SISTEME DE INSPIRATIE BIOLOGICA PENTRU ENTITATI PROIECTATE STRUCTURAL SI FUNCTIONAL**

Coordonator: **INSTITUTUL DE CHIMIE MACROMOLECULARA „PETRU PONI” DIN IASI**  
 Director de proiect: **DR. MARIANA PINTEALA**

ADRESA WEB: [http://www.intelcentru.ro/Biomimetics\\_PCCE/](http://www.intelcentru.ro/Biomimetics_PCCE/)  
[http://www.intelcentru.ro/Biomimetics\\_PCCE/ro/index.html](http://www.intelcentru.ro/Biomimetics_PCCE/ro/index.html)

**Planul de realizare a proiectului pentru faza 2015  
 si angajamentele initiale privind diseminarea**

Anul	Etapa	Obiective	Activitati	Rezultate livrate per etapa
2015	Unica	<p><b>1. Realizarea de matrice macromoleculare biomimetice, active in transfectie</b></p> <p><b>2. Evaluarea abilitatii de transfectie a sistemelor dezvoltate in cadrul proiectului</b></p> <p><b>3. Elaborarea unor protocoale de testare electrochimica a sistemelor la nanoscara, utile in transfectie</b></p> <p><b>4. Realizarea de matrice macromoleculare biomimetice, active in transfectie  <i>(initiere obiectiv prevazut in etapa 2016)</i></b></p>	<p><b>1.1. Realizarea si testarea de hidrogeluri structurate, apte a stoca si vehicula acizi nucleici</b></p> <p><b>2.1. Determinarea capacitatii de complexare a acizilor nucleici cu vectorii non-virali</b></p> <p><b>2.2. Testarea sistemelor de transfectie asupra culturilor celulare</b></p> <p><b>3.1. Cuantificarea electrochimica a prezentei acizilor nucleici in sistemele de transfectie</b></p> <p><b>4.1. Obtinerea si caracteriza-rea unor comozite biomimetice injectabile</b></p> <p><b>4.1.1. Realizarea si caracteri-zarea de nanoparticule sensibile la pH / temperatura, pe baza de derivati de pullulan amfifili cationici</b></p> <p><b>4.1.2. Sintza si caracterizarea de copolimeri de N-izopropil-acrilamida si acid maleic, capabili de autoasamblare / disociere functie de pH si/sau temperatura, cu rol de nano-containere in aplicatii bio-medicale</b></p>	10 lucrari ISI 10 participari la manifestari stiintifice

## Preambul

In scopuri clinice, corectarea prin transfectie a unor abateri sau carente cu origine genetica ale functionalitatii celulelor se practica in doua variante:

- (i) – prin transferul catre tesuturi a cargocomplecsilor cu rol de vectori genici non-virali, sub medierea fluxului sanguin si apoi a transportului activ prin tesuturi;
- (ii) – prin transferul localizat, activat si temporizat intre o matrice gazda a cargocomplecsilor, implantata ori injectata, si tesuturile imediat invecinate.

Esentiale pentru prima varianta sunt proiectarea si sinteza carrierilor, urmata de „incarcarea” acestora cu acizii nucleici. In aceasta varianta, carrierii si apoi cargo-complecsii utilizati trebuie sa posede stabilitate in torrentul sanguin, sa fie lipsiti de toxicitate locala si sistematica si sa poata eluda mecanismele apararii imunitare.

In cazul celei de-a doua variante, cargocomplecsii (alcatuiti din carrieri unitari, cu existenta moleculara individuala, ce s-au atasat acizilor nucleici, „invelindu-i” pe acestia din urma in masura suficienta pentru a le diminua sarcina negativa) sunt inglobati si retinuti fizic intr-o matrice macromoleculara cu morfologie proprie. Odata stocati, cargocomplecsii trebuie sa ramana functionali si mobili pe un orizont de timp suficient de lung, urmand sa difuzeze din matrice dupa ce aceasta a fost implantata ori injectata intr-un ambient tisular. Difuzia trebuie sa se realizeze fara pierderea integritatii cargocomplecsilor (respectiv fara ca acizii nucleici sa se largheze accidental, ori sa fie cedati sub solicitarile fizico-chimice ale ambientului tisular), acestia urmand sa fie apoi preluati in mod selectiv de catre celulele tintite.

Caracteristica critica a cargocomplecsilor vehiculabili de catre fluxul sanguin consta in abilitatea lor de a ramane nedetectati de catre sistemul imunitar (respectiv sa fie „invizibili” celulelor imunocompetente si „neattractivi” pentru anticorpi). Aceasta caracteristica poate fi conferita prin „dotarea” carrierilor cu tronsoane moleculare imunoindiferente, alaturi de tronsoane implicate in recunoasterea receptorilor celulari specifici, dar si in penetrarea membranelor celulare.

Cargocomplecsii transferabili prin medierea unor matrice macromolecularare trebuie sa posede, in plus fata de cei anterior mentionati, abilitatea de a migra pasiv (doar sub forte motrice de factura fizico-chimica) prin medii aglomerate, ce nu pot fi prezumate ca fiind complet inerte. In acest scop, carrierii destinati realizarii acestui tip de cargocomplecsi trebuie dotati (prin proiectarea moleculei lor) cu domenii catenare amfifile (ionizabile pe o plaja larga a incarcarii electrice) si amfipatice (afine diferentiat fata de specii sau tronsoane moleculare cu hidrofilie antagonica).

Matricele macromolecularare destinate sistemelor implantabile / injectabile in tesuturi, sisteme care urmeaza sa asigure efectele specifice transfectarii, trebuie si ele proiectate astfel incat sa fie compatibile atat cu cargocomplecsii, cat si cu tesuturile vii, aflate in stare fiziologica, ori patologica. In acest sens, proiectarea tine cont de principiile ingineriei tisulare, carora li se adauga doar restrictii privind cvasi-inertia matricelor in raport cu cargocomplecsii.

**Etapa 2015 a proiectului PN-II-ID-PCCE-2011-2-0028 este dedicata studiului si dezvoltarii de sisteme destinate transfectarii mediate de catre matrice macromolecularare, implantate ori injectate in tesuturi. In acest sens, au fost obtinuti si caracterizati carrieri cu amfipatie controlata, apti a se mentine activi in medii aglomerate macromolecular. De asemenea, au fost realizate si caracterizate structuri si comozite macromolecularare (inclusiv mixte, anorganic-organice) utilizabile drept gazde temporare ale cargocomplecsilor.**

## **Obiectivul 1. REALIZAREA DE MATRICI MACROMOLECULARE BIOMIMETICE, ACTIVE IN TRANSFECTIE**

Una dintre directiile de cercetare cele mai dinamice vizeaza realizarea de biocompozite mixte biomimetice, care sa combine caracteristicile biopolimerilor (biocompatibilitate, biodegradabilitate, bioactivitate) cu proprietatile de rezistenta si prelucrabilitate specifice polimerilor sintetici, in scopul realizarii de materiale regenerative complexe, asa cum sunt cele necesare medicinei personalizate [1]. Din aceasta categorie fac parte si sistemele de transfectie cu morfologie matriciala, care integreaza matrice biopolimerice tridimensionale si poliplecisi, cu sanse de aplicare la nivel clinic [2]. Principalele avantaje ale acestor sisteme sunt:

- abilitatea de a proteja cargocomplecsii incarcati cu acizi nucleici, pe durata tranzitului prin sistemul circulator;
- posibilitatea de a controla viteza de eliberare a materialului genetic, precum si viteza de degradare a matricei suport;
- posibilitatea de proiectare optimala, la scara moleculara, a matricelor;
- abilitatea de a evita unele dintre barierele intra- si extra-celulare in calea transfectiei, chiar in contextul renuntarii la o serie de etape de sinteza dedicate asigurarii invingerii respectivelor bariere, permitand astfel simplificarea si facilitarea fabricarii sistemelor de transfectie;
- posibilitatea de crestere a eficientei transfectiei prin metode simple, fapt care eficientizeaza transpunerea la nivel clinic a tehnicilor de transfectie;
- accelerarea etapelor premergatoare implementarii vectorilor non-virali la nivel clinic.

Adesea, aceste sisteme complexe de transfectie au la baza colagenul, un compus natural provenit din surse regenerabile, folosit pe scara larga in domeniul biomedical, atat in medicina regenerativa, cat si in industria farmaceutica. Sistemele complexe bazate pe matrice colagene sunt folosite cu succes in regenerarea tesuturilor [3, 4]. In acest gen de aplicatii, matricea trebuie sa prezinte proprietati fizico-mecanice si biologice similare tesutului in care urmeaza a se integra. Cerintele minime impuse, in acest sens, matricelor, sunt urmatoarele [5, 6]:

- sa promoveze interactiuni sinergetice intre material si tesutul biological;
- sa asigure atasarea, diferențierea si multiplicarea celulara prin intermediul functionalizarii adekvate a suprafetelor si interfetelor;
- sa prezinte o morfologie adekvata (structura poroasa cu pori interconectati) pentru asigurarea fluxurilor metabolice (alimentarea cu nutrienti si eliminarea reziduurilor), permitand astfel proliferarea celulara;
- sa asigure o viteza de biodegradare cat mai apropiata de viteza de regenerare a tesutului biological, pentru a nu genera goluri in tesut (atunci cand degradarea este prea rapida) si pentru a nu impiedica dezvoltarea normala a tesutului (atunci cand degradarea este prea lenta);
- sa determine efecte inflamatorii si/sau toxice minime, in limitele acceptabile dezvoltarii normale a tesutului.

Pentru a genera matricele in cauza, se pot utiliza structuri tridimensionale preformate, sau se poate apela la sisteme injectabile, cu abilitati de autoasamblare *in situ*, apte a se adapta dinamic la spatialitatea zonei in care transfectia urmeaza a se derula.

Combinarea strategiilor specifice ingineriei tisulare si transfectiei genice este posibila prin incorporarea vectorilor non-virali in matrice tridimensionale tip scaffold, pentru asigurarea eliberarii localizate si temporizate a principiilor active [1, 2]. Date recente evidențiază superioritatea in transfectie a unor astfel de sisteme complexe, pe baza de lipide sau de gelatina, sub forma nanoparticulata, incorporate intr-o matrice de colagen si glicozaminoglicani, in regenerarea cartilajului articular [7].

In acest context, in cadrul etapei 2015 a proiectului PN-II-ID-PCCE-2011-2-0028, s-a abordat realizarea componentelor intermediare destinate unui sistem complex de transfectie, respectiv:

- A. - obtinerea de nano-hidroxiapatita functionalizata, utilizabila in scopul conferirii caracteristicilor impuse matricei tridimensionale (rezistenta mecanica, viteza controlata de biodegradare), dar si pentru a facilita transfectia, *per se*, sau prin favorizarea retinerii cargocomplecsilor incarcati cu acizi nucleici;
- B. - efectuarea de teste preliminare privind includerea nano-hidroxiapatitei functiona-lizate in matrice tridimensionale biomimetice macroporoase hibride, pe baza de biomacromolecule si polimeri sintetici;
- C. - prepararea si caracterizarea unor nanocompozite acetat de celuloza/compusi anorganici nanoparticulati.

## **A. Obtinerea nano-hidroxiapatitei functionalizate**

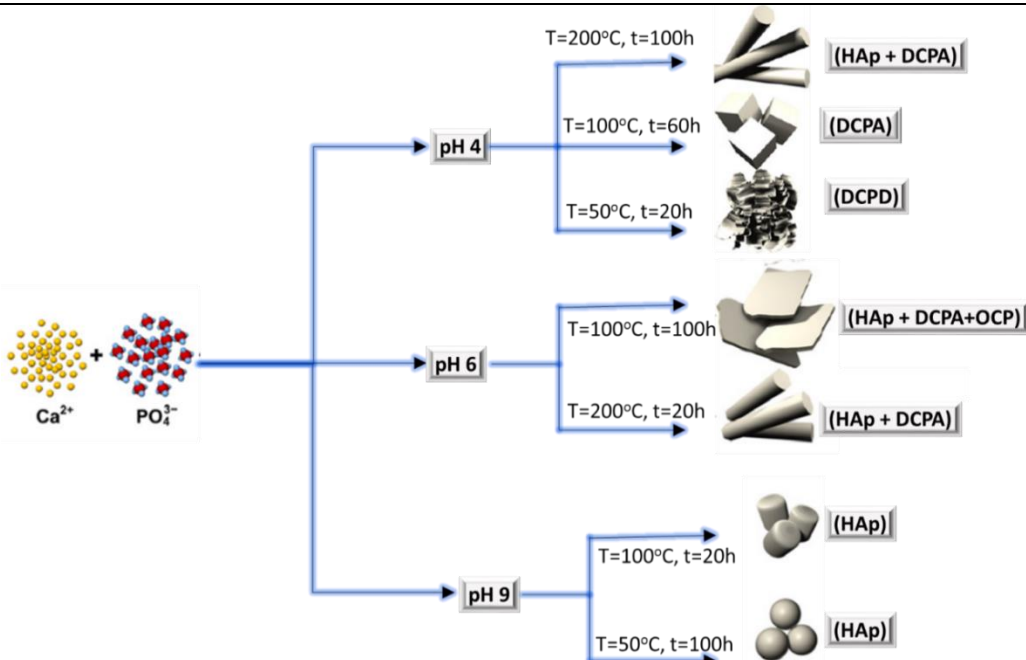
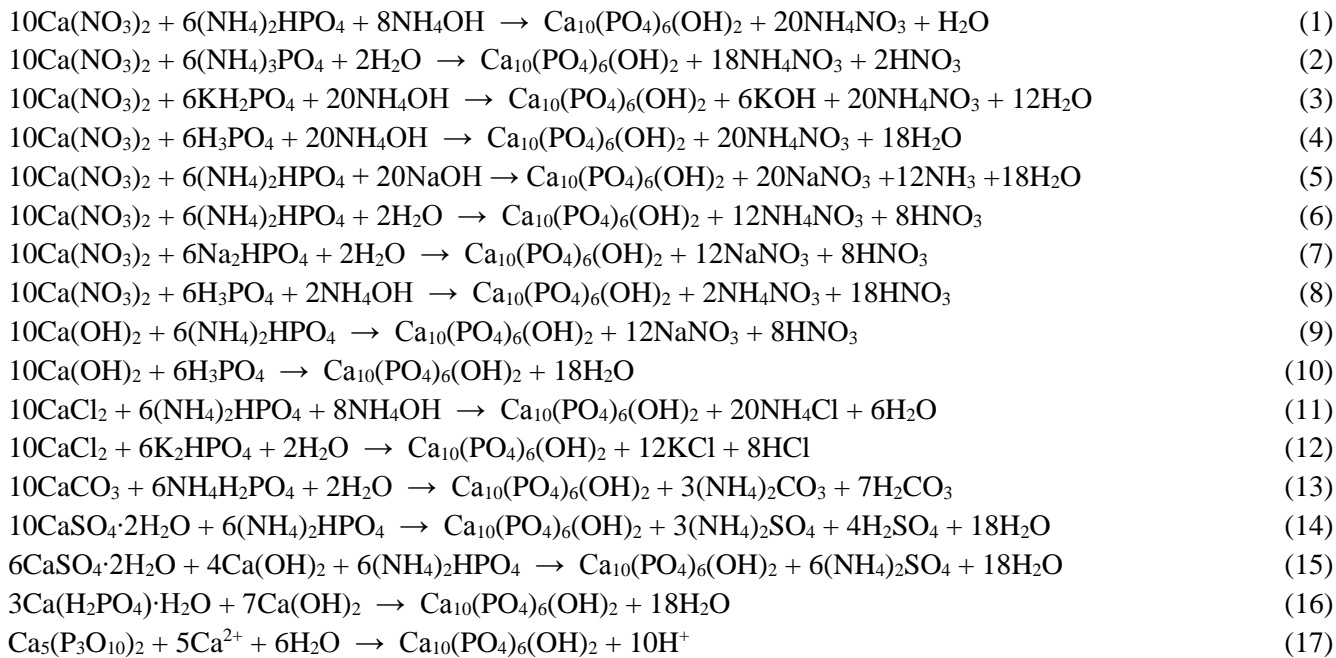
### **A1. Generalitati**

Fosfatii de calciu sunt compusi minerali cu un rol esential in sistemele biologice, majoritatea tesuturilor dure din organismul vertebratelor incluzand in compositia lor mari cantitati de astfel de minerale [8]. Dintre toate tipurile sintetizabile de fosfati de calciu, hidroxiapatita (HAp) este compusul cu structura cea mai apropiata de speciile minerale biologice (asa-numita bioapatita). Din acest motiv, hidroxiapatita asigura o buna bio-compatibilitate si un potential ridicat in osteogeneza [9]. Ea este utilizata frecvent in regenerarea osoasa, pentru biocompatibilizarea protezelor metalice ori polimerice, pentru realizarea de materiale de uz stomatologic, dar si drept component in sisteme cu eliberare controlata a principiilor farmacologic-active, ori in sisteme complexe de inducere a transfectiei [10]. Desi poate dobandi un comportament ideal *in vivo*, HAp are proprietati mecanice slabe (rezistenta scazuta la oboseala si la impact). Caracteristici-le HAp pot fi valorificate insa atunci cand aceasta este inclusa in materiale compozite, sau in sisteme cu functionalitate complexa.

Exista doua clase de aplicatii biomedicale in care fosfatii de calciu joaca un rol de neocolit:

- acoperirea suprafetelor implanturilor metalice, pentru biocompatibilizarea lor suplimentara si centru facilitarea interactiunii lor cu tesuturile vii;
- realizarea de compositii biodegradabile / bioerodabile / bioresorbabile, solide sau injectabile, destinate regenerarii locale a tesuturilor osoase si/sau eliberarii de principii active [10, 11].

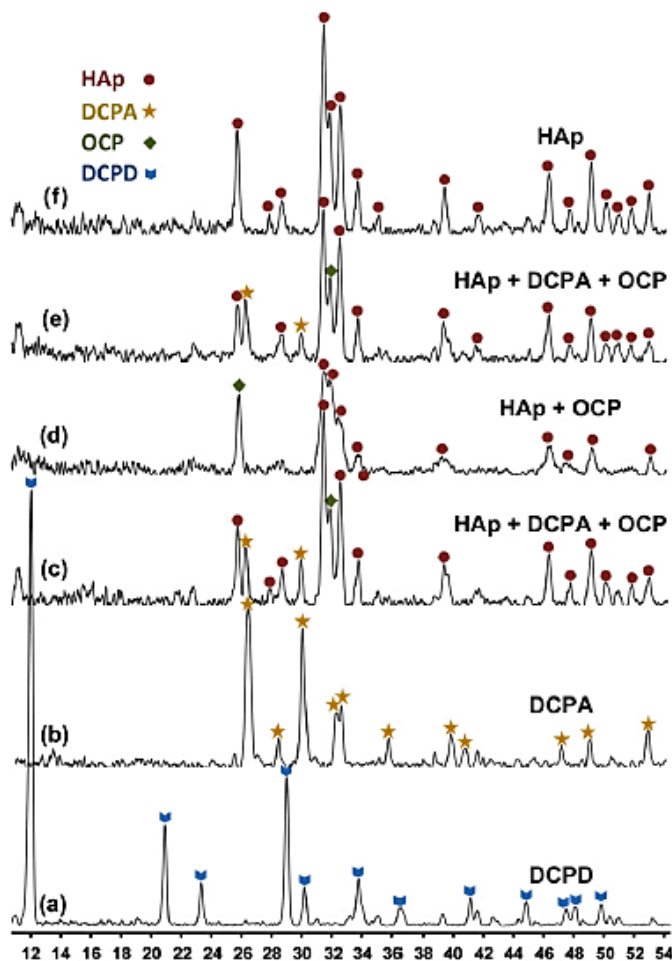
In vederea cresterii performantelor acestor clase de aplicatii, dar si pentru extinderea gamei de utilizari, s-au dezvoltat tehnici de obtinere a formelor nanoparticulate de HAp [12]. Structura, forma si proprietatile HAp pot fi modificate atat prin modificarea metodelor de obtinere, cat si prin varierea parametrilor reactiilor implicate (pH, temperatura, durete). Uzual, HAp se sintetizeaza prin metoda precipitarii, metoda sol-gel, metoda hidrotermala, metoda in emulsie si metoda biomimetica. Metodele „umede” sunt cel mai frecvent utilizate, deoarece sunt cele mai simple, iar conditiile de reactie sunt facil si exact controlabile. Metoda sol-gel furnizeaza particule de HAp cu cele mai bune performante la interfatarea lor cu osul. Dezavantajul sau este necesitatea aplicarii unei calcinari la final, la temperaturi de circa 900 °C, in vederea asigurarii unei puritati avansate a HAp [13]. Metoda hidrotermala permite, in schimb, cristalizarea HAp direct din solutie, la temperaturi si presiuni ridicate. Metoda precipitarii umede este cea mai simpla si conduce la cantitati mari de HAp. Ea nu necesita utilizarea de solventi organici si permite lucrul cu o mare varietate de precursori. Cateva dintre reactiile frecvent utilizate pentru precipitarea umeda sunt prezentate mai jos.



**Figura 1.** Varietati compozitionale si morfologice ale particulelor de fosfati de calciu obtinuti prin metoda precipitarii umede, functie de conditiile de reactie [14].

Compozitia chimica si structura morfologica a fosfatilor de calciu sintetizati chimic depinde in mare masura de trei parametri ai proceselor de sinteza, respectiv de pH-ul la care are loc precipitarea, de temperatura de lucru (eventual sub presiune) si de durata de mentinere a mediului de reactie la temperatura de lucru [14 - 16].

Determinarea tipului de fosfat de calciu obtinut prin sinteza se poate realiza prin calculul raportului Ca/P, din date EDX, si prin analiza RDX, fiecare tip de fosfat de calciu avand un spectru RDX caracteristic. Figura 2 reuneste difractogrammele RDX caracteristice pentru hidroxiapatita (HAp), dicalciu fosfatul anhidru (DCPA), octacalcium fosfat (OCP) si dicalciu fosfatul dihidrat (DCPD).



**Figura 2.** Difractogrammele RDX ale HAp, DCPA, OCP si DCPD.

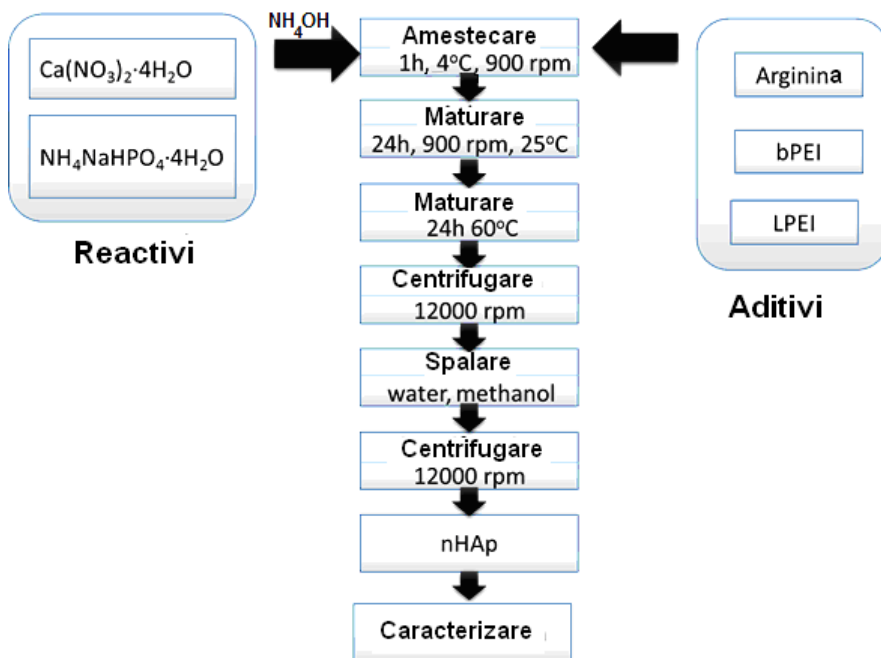
Analiza FT-IR poate furniza informatii utile pentru caracterizarea fosfatilor de calciu. Astfel, HAp si derivatii sai prezinta o serie de benzi de absorbtie caracteristice, respectiv: intervalul  $950\text{-}1136\text{ cm}^{-1}$  pentru gruparea fosfat,  $\text{PO}_4^{3-}$ , intervalul  $1400\text{-}1550\text{ cm}^{-1}$  pentru gruparea  $\text{CO}_3^{2-}$ . Prezenta benzilor specifice carbonatului denota substituirea parciala a gruparilor fosfat cu grupari carbonat. Varietatea carbonatata a HAp prezinta o biocompatibilitate sporita si este cel mai frecvent utilizata in aplicatii medicale.

## A2. Sintea hidroxiapatitei functionalizate

In vederea realizarii de matrice compozite mixte, anorganic-organice, destinate gazduirii cargocomplecsilor activi in transfectie, s-a elaborat un protocol pentru sinteza HAp sub forma nanoparticulata si functionalizata superficial cu compusi cationici activi in complexarea acizilor nucleici. S-a recurs la o varianta derivata din metoda precipitarii umede. Aceasta varianta prezinta o serie de avantaje, intre care:

- simplitate si reproductibilitate;
- conditii de reactie blande (temperatura relativ joasa, mediu apos);
- functionalizarea chimica superficiala simpla, utilizand reactivi adevarati;
- controlul relativ eficient al dimensiunilor si morfologiei particulelor.

Schema 1 prezinta principiul variantei de sinteza a HAp elaborate in cadrul proiectului.



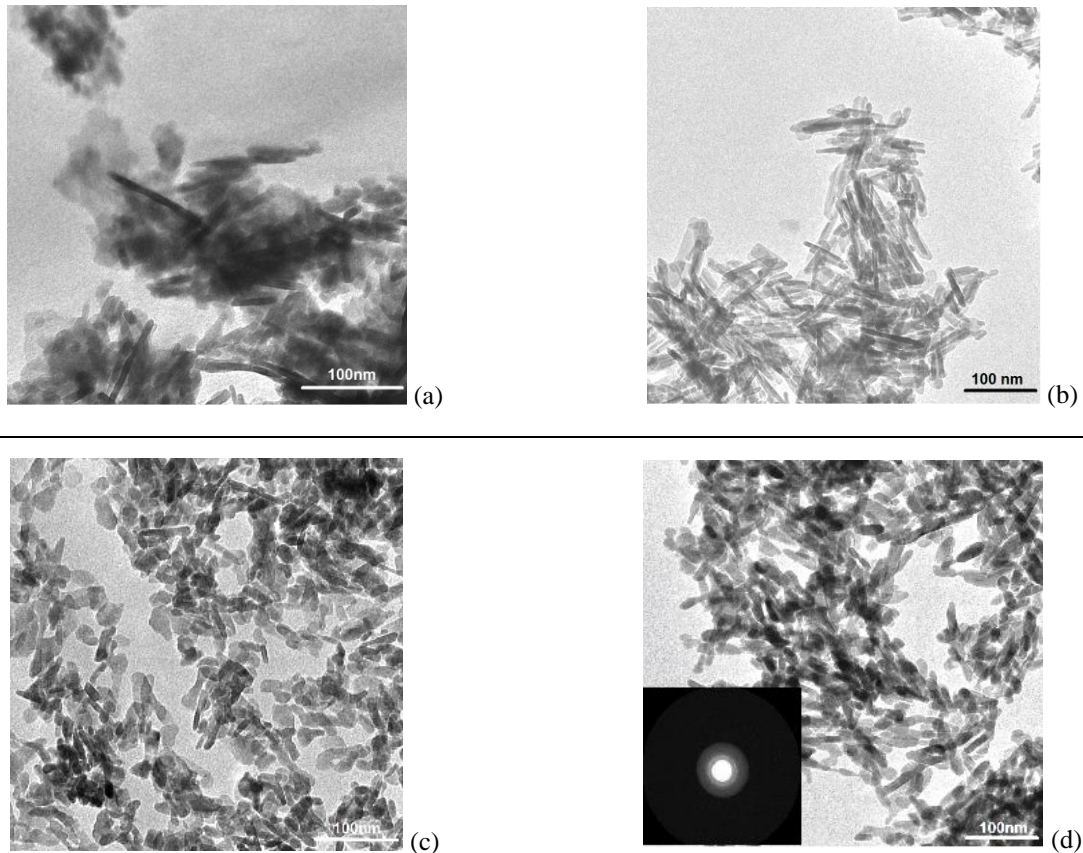
**Schema 1.** Varainta experimentală de preparare a hidroxiapatitei functionalizate, prin metoda precipitării.

### A3. Caracterizarea hidroxiapatitei functionalizate

Morfologia particulelor de HAp sintetizate a fost investigată prin tehnica TEM, utilizând un sistem Hitachi 7700. Figura 3 prezintă rezultatele obținute pentru patru dintre probe. În lipsa compusilor cationici, dar și în prezența argininei, particulele de HAp au dobândit structuri aciculare, iar în sistemele cu PEI au rezultat nanoparticule cu morfologie planară, lungimea și raportul dimensiunilor scăzând drastic odată cu creșterea cantității de polimer adăugată, astăzi cum rezulta din datele reunite în Tabelul 1. Se constată faptul că în prezența compusilor care contin grupuri carboxilice, iminice și aminice primare, creșterea cristalelor este inhibată (fapt raportat deja în literatura de specialitate [17, 18]). Formarea nanoparticulelor de HAp și modificarea suprafeței acestora în prezența aditivilor adăugați în mediul de reacție a fost confirmată prin analiza EDX (microscop Quanta 200, echipat cu modul EDX) și FT-IR (Bruker Vertex70), precum și prin analiza DLS (înregistrându-se creșterea evidență a potentialului zeta). Conform datelor EDX, raportul Ca/P este cuprins în intervalul 1,56 – 1,63, ceea ce confirmă formarea hidroxiapatitei carbonatace (CDHA).

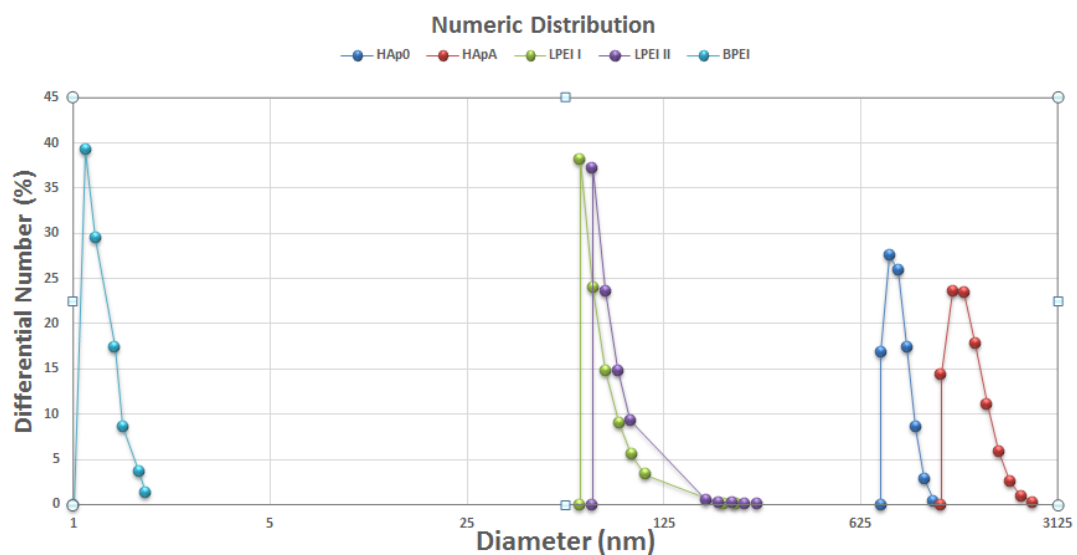
**Tabelul 1.** Caracteristicile nanoparticulelor de HAp obținute prin sinteza.

Proba	HAp	HAp <sub>Arginina</sub>	HAp <sub>bPEI</sub>	HAp <sub>LPEI-I</sub>	HAp <sub>LPEI-II</sub>
Lungimea cristalelor [nm]	72.8	71.3	45.9	45.5	32.2
Plaja lungimilor (min - max)	27.5-134	43.3-177.6	21.8-74.4	16.9-91.6	14.1-76.9
Latimea cristalelor [nm]	9.27	7.85	9.36	11.62	17.35
Raportul geometric lungime/latime	7.86	9.07	4.90	3.91	1.86
Raportul Ca/P	1.62	1.56	1.63	1.57	1.61
Potentialul zeta, $\xi$ [V]	8.2	12.0	33.0	15.5	20.0
Ag <sub>DLS</sub> [nm]	1660	1150	316	427	338



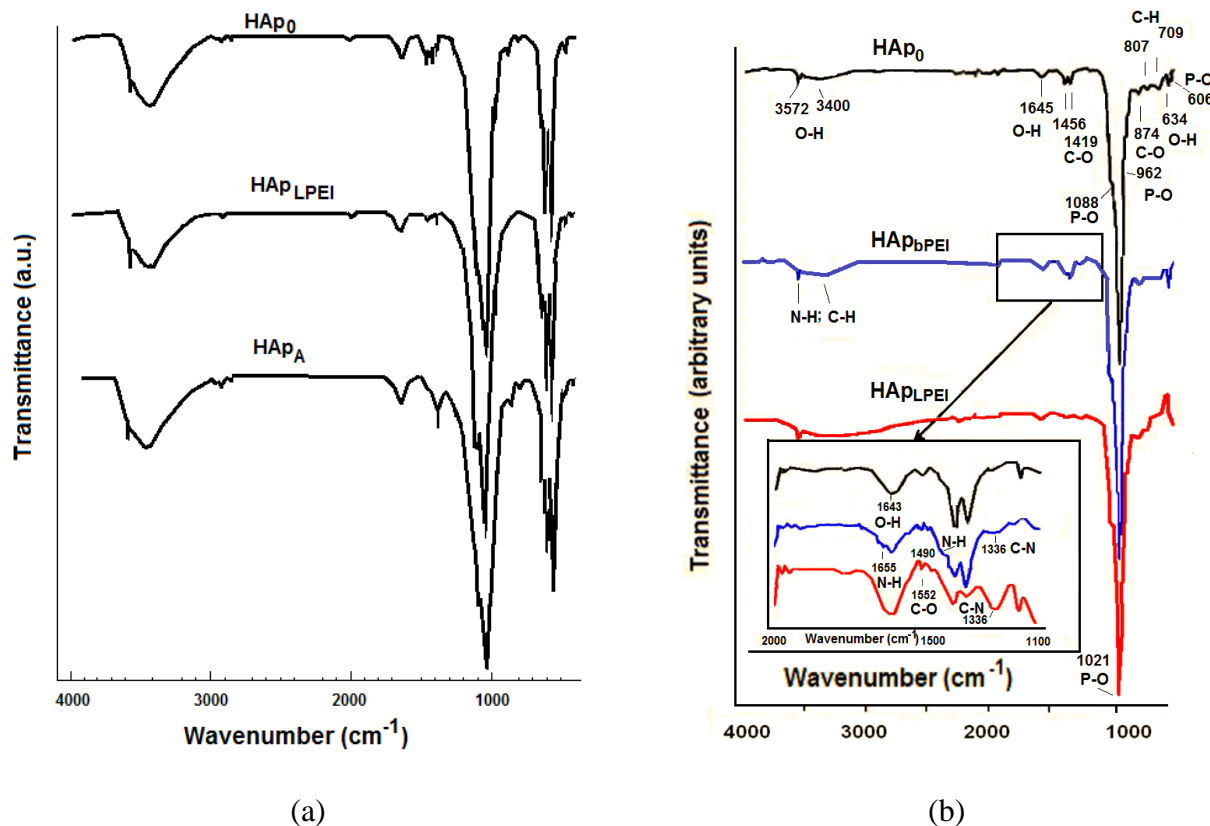
**Figura 3.** Microfotografii tipice TEM pentru probele de nHAp functionalizata sintetizate:  
(a) HAp0; (b) HApA; (c) HApbPEI; (d) HApLPEI. Scala: 100nm.

Dupa cum se observa analizand imaginile din Figura 3 si datele din Tabelul 1, tendinta de agregare si dimensiunile nanoparticulelor scad in ordinea HAp0 > HApA > HApLPEI  $\geq$  HApbPEI. Modificarea dimensiunilor si scaderea tendintei de agregare a nanocristalelor, in special dupa adaugarea de polimeri cationici, este confirmata si de datele DLS, reunite in Figura 4.



**Figura 4.** Distributia dimensionala pentru diferitele tipuri de nHAp sintetizate.

Pentru a evidenția modificările structurale intervenite ca urmare a prezentei argininei și polietileniminei în mediul în care a avut loc sinteza HAp, s-au trasat spectrele FTIR/ATR-FTIR. Figura 5 redă respectivele spectre obținute pentru agregatele de HAp și pentru nanoparticulele de hidroxiapatita modificată.

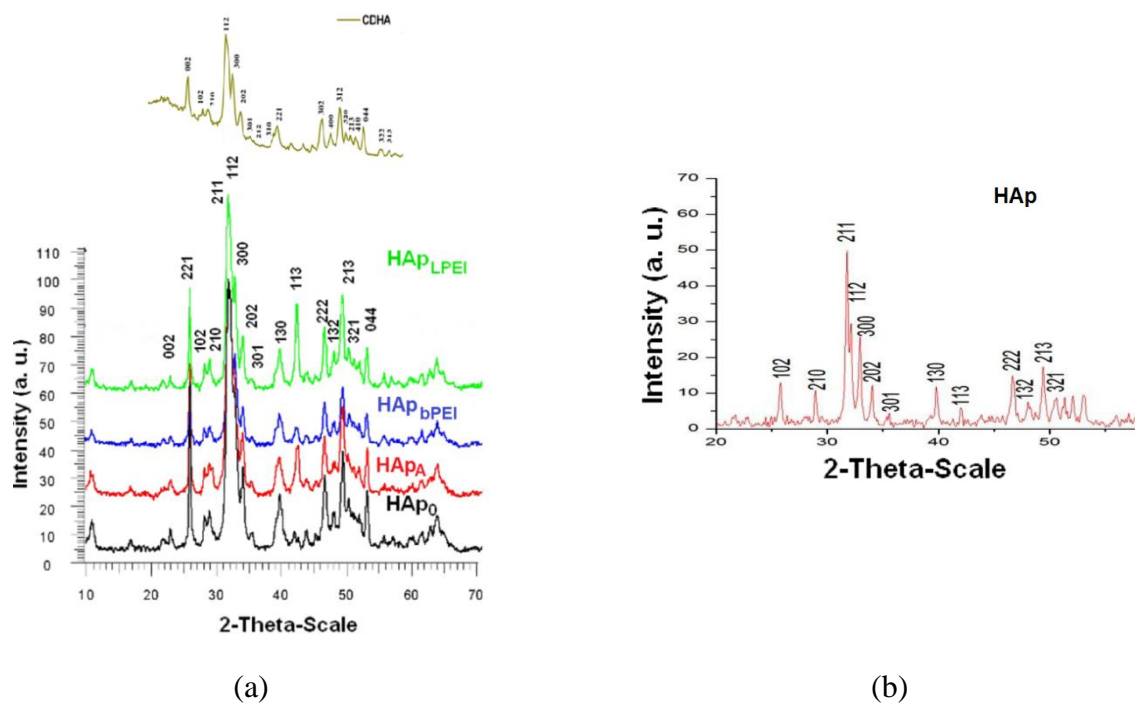


**Figura 5.** Spectrele în infraroșu tipice pentru nHAp funcționalizată:  
(a) spectre FTIR (pastile KBr); (b) spectre ATR-FTIR.

Probele analizate prezintă spectre FTIR aproape identice (Figura 5.a), care evidențiază benzile de absorție caracteristice HAp, situate la  $3572.6\text{ cm}^{-1}$  și  $634\text{ cm}^{-1}$  (asociate gruparilor OH din cristalele de HAp stoichiometrică), respectiv la  $950\text{-}1136\text{ cm}^{-1}$  și  $606\text{ cm}^{-1}$  (pentru gruparile  $\text{PO}_4^{3-}$ ) [19]. Spectrele relevă și benzile de absorție ale  $\text{CO}_3^{2-}$ , datorate  $\text{CO}_2$  din atmosferă, la lungimile de undă  $1419\text{ cm}^{-1}$ ,  $1456\text{ cm}^{-1}$  și  $1550\text{ cm}^{-1}$  [20]. Spectrele ATR-FTIR evidențiază prezența unor benzi de absorție suplimentare în raport cu spectrul HApo, care pot fi atribuite stratului organic de la suprafața cristalelor (nanoparticulelor) (Figura 5.b). Astfel, banda largă din intervalul  $3100\text{-}3650\text{ cm}^{-1}$  se datorează benzilor de vibratie ale gruparilor  $-\text{N}-\text{H}-$  iminice și aminice primare, dar și ale gruparilor  $-\text{OH}$  și  $-\text{CH}_2-$  prezente în LPEI. Banda de la  $1640\text{ cm}^{-1}$  este mai amplă și este scindată ca urmare a suprapunerii semnalelor gruparilor  $-\text{NH}_2$  și  $-\text{NH}-$  ale PEI. Benzile de vibratie specifice  $-\text{CNH}-$  ( $794\text{ cm}^{-1}$ ), și cele de deformare asociate gruparilor  $-\text{NH}-$  și  $-\text{NH}_2$  ( $650\text{-}900\text{ cm}^{-1}$ ) ale PEI sunt evidente în cazul probelor sintetizate în prezența compusilor bazici, în comparație cu proba martor, HApo.

Atasarea compusilor organici la suprafața nanoparticulelor de HAp a fost cuantificată prin analiza spectrală a supernatantului rezultat la centrifugare, respectiv din spetrele  $^1\text{H-RMN}$  (Bruker, Avance DRX 400) și UV-VIS (UV-6300PC, VWR double beam spectrophotometer). Cantitatile astfel determinate reprezintă circa 9%, 6,5%, 4,6% și 5% față de fractia anorganica, pentru HApa, HApbPEI, HAplPEI-I și HAplPEI-II, respectiv.

Cristalinitatea si compozitia de faza a produsilor de reactie s-a determinat prin difractometrie cu raze X (XRD, difractometru D8 Advance (Bruker), sursa cu lungimea de unda  $\lambda = 1.54 \text{ \AA}$ ). In cazul CDHA, difractogrammele obtinute (Figura 6.b) coincid in buna masura cu cele din literatura [21]. Diferenta evidenta pentru unghiul  $2\theta$  cu valoarea de aproximativ  $42^\circ$  poate fi atribuita interactiunii speciilor organice cu HAp, ceea ce confirma efectul aditivilor in controlul morfologiei nanoparticulelor de HAp.



**Figura 6.** Compararea difractogramelor probelor sintetizate (a) cu cea a hidroxiapatitei carbonatata deficiente in Ca (CDHA [21]), respectiv cu cea a HAp cristaline [22] (b).

Testarea abilitatii hidroxiapatitei functionalizate cu compusi cationici de a se asocia cu ADN s-a realizat prin tehnica electroforetica. Rezultatele comparative in raport cu HAp nefunctionalizata sunt prezentate in Figura 7. Determinarea s-a efectuat pe gel de agaroză, utilizand ADN plasmidic (pCMV-Luc 10), la pH 7.4, pentru un raport N/P de 20. Capacitatea maxima de impachetare a pADN a fost estimata pentru proba nHApLPEI.



**Figura 7.** Evidențierea electroforetică a abilității de impachetare a pADN de către hidroxiapatita functionalizată cu polietilenimina ramificată (bPEI) și liniară (LPEI).

## B. Obtinerea compozitelor ternare, biopolimer / polimer / hidroxiapatita

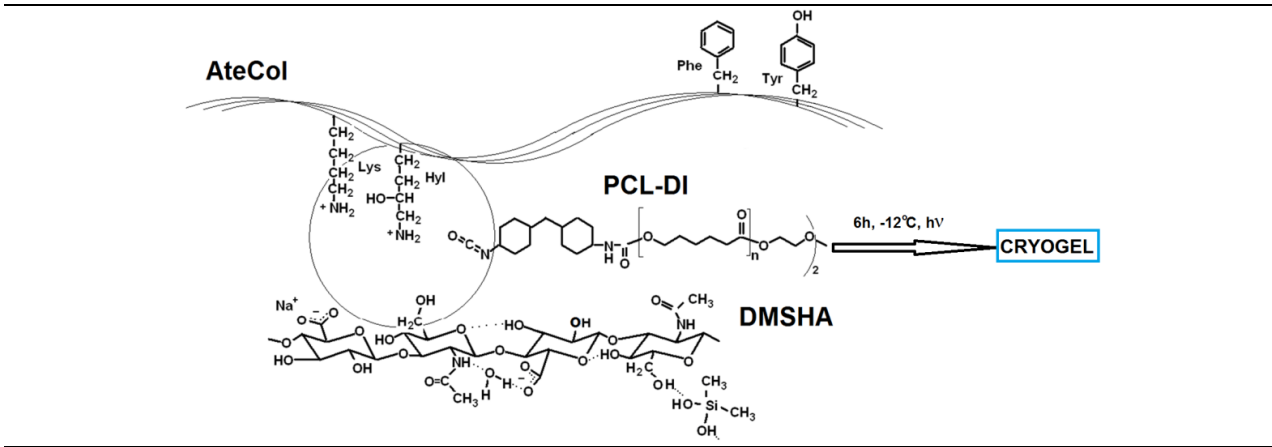
### B1. Prepararea matricelor hibride de tipul compozitelor ternare

O serie de studii anterioare au evidențiat posibilitatea realizării de matrice biocompatibile, biomimetice, prin asocierea unei proteine (atelocolagenul) cu un polizaharid (dimetilsilanolhialuronatul, un derivat al acidului hialuronic) și cu un polimer sintetic biocompatibil (poli( $\epsilon$ -caprolactona), sub forma derivatului bifuncțional reactiv al acesteia, diizocianat poli( $\epsilon$ -caprolactona), PCL-DI, cu rol de agent de reticulare și de control al duratei de degradare (Figura 8). Aceleasi studii au demonstrat posibilitatea controlului caracteristicilor morfologice, al proprietăților mecanice, termice, dielectrice, al gradului de reticulare și al degradabilității matricelor hibride, prin formularea recepturilor și prin adaptarea protocolelor de generare a structurii tridimensionale [23-26]. S-a constatat că rezistențele mecanice și rezistențele la degradare cresc odată cu gradul de reticulare (respectiv cu creșterea ponderii PCL-DI în recepturi), dar și cu creșterea fracției de derivat al acidului hialuronic, capabil a complexa componenta proteica. În aceeași serie, porozitatea matricelor scade însă. Formularea optimă în vederea evenualei utilizări pentru realizarea de substitută ale tesuturilor dure presupune asigurarea unui raport gravimetric procentual între AteCol : DMSHA : PCL-DI de minimum 10 : 1 : 1, iar, pentru aplicatii în ingineria tisulară, metoda de preparare impune transformarea compozitiilor în criogeluri. Aceasta tehnica prezinta urmatoarele avantaje:

- posibilitatea obținerii de structuri tridimensionale elastice, macroporoase, cu pori interconectați;
- posibilitatea purificării prin îndepărțarea componentelor nereacționate, în cursul etapei de decongelare / spalare;
- prelucrabilitate superioară altor variante, amestecul preluând forma incintei în care se realizează congelarea, incinta care acționează drept matrita.

Că urmare a studiilor preliminare anterior menționate, s-a optat pentru realizarea unei matrice hibride, organic – anorganice, de tip criogel, prin includerea în recepturi a nano-hidroxiapatitei functionalizate superficial cu LPEI (25% masic în raport cu componenta proteica). Noile probe preparate s-au codificat astfel: CH10P10/HAp25-15. Pentru comparare, s-au realizat compozitii similare fără HApLPEI-I (CH10P10-15) și compozitii în care, pe lângă HApLPEI-I, s-a adăugat și 15% masic  $\beta$ -TCP (Sigma Aldrich), codificate respectiv: CH10P10/HAp25 și TCP15-15.

Argumentul incluzării a două tipuri de fosfat de calciu în recepturi deriva din caracteristicile pe care acestea le conferă materialelor în care se regăsesc. Astfel, HAp induce friabilitate și resorbabilitate redusa, blocand sau întârziind formarea de tesut osos nou și remodelarea locală. În schimb,  $\beta$ -TCP asigură un spor de hidrofilie, biodegradabilitate și solubilitate mari, stabilind astfel un echilibru dinamic între resorbția matricei compozite și formarea de tesut osos nou. Activitatea de remodelare a osteoclastelor asupra substraturilor cu continut de fosfati de calciu depinde de solubilitatea acestora [27]. Clinic, s-a constatat faptul că nici HAp și nici  $\beta$ -TCP nu pot fi utilizate individual, ca săruri anorganice, în regenerarea osoasă, deoarece induc complicații post-operatorii. În plus,  $\beta$ -TCP nu prezintă caracter osteoinductiv și osteogen, necesitând combinarea sa cu alți fosfati de calciu și/sau cu alte specii (macro)moleculare. Combinatia HAp cu  $\beta$ -TCP este cunoscută sub denumirea de fosfat de calciu bifazic (BCP), material cu un caracter osteoinductiv, apt să asigure proprietăți mecanice adecvate aplicatiilor, dar și solubilitate controlată a substraturilor în care este inclus, funcție de fractia sa masică în compozite. Asocierea  $\beta$ -TCP și PCL asigură osteoconductivitate și proprietăți mecanice de excepție, dat fiind faptul că ionii de calciu și fosfat se pot asocia electrostatic la grupele  $-C=O$  ale PCL [28].



**Figura 8.** Principiul protocolului de obtinere a criogelurilor hibride atelocolagen / dimetil-silan-diol-hialuronat, reticulate cu di-izocianatul poly( $\epsilon$ -caprolactonei).

## B2. Caracterizarea matricelor hibride de tipul compozitelor ternare

Desi toate probele obtinute sunt stabile dimensional, s-a remarcat o mai buna integrare fizica a componentelor in cazul probei ce include doar HApLPEI-I, comparativ cu cea in care se regaseste, in plus,  $\beta$ -TCP. Acest fapt poate fi atribuit dimensiunii si uniformitatii sporite a nanoparticulelor anorganice, dar si interactiunii LPEI cu celelalte componente, cu rol de agent de legare (data fiind compatibilitatea cunoscuta a PROZO si a PEI cu majoritatea polimerilor, precum si abilitatea acestora de a interactiona cu compusii polari anorganici). In schimb,  $\beta$ -TCP comercial (utilizat sub forma de aglomerate de dimensiuni micronice), poate facilita aparitia de discontinuitati in structura tridimensională si implicit o mai slaba coeziune a matricei hibride.

Integrarea particulelor anorganice in matricea organica a fost confirmata prin spectroscopie FTIR, prin difractometrie RDX si prin analiza DSC. Prezenta fractiei anorganice in compozitia criogelului macroporus a fost evidentiată prin analiza XPS, asa cum rezulta din datele reunite in Tabelul 2.

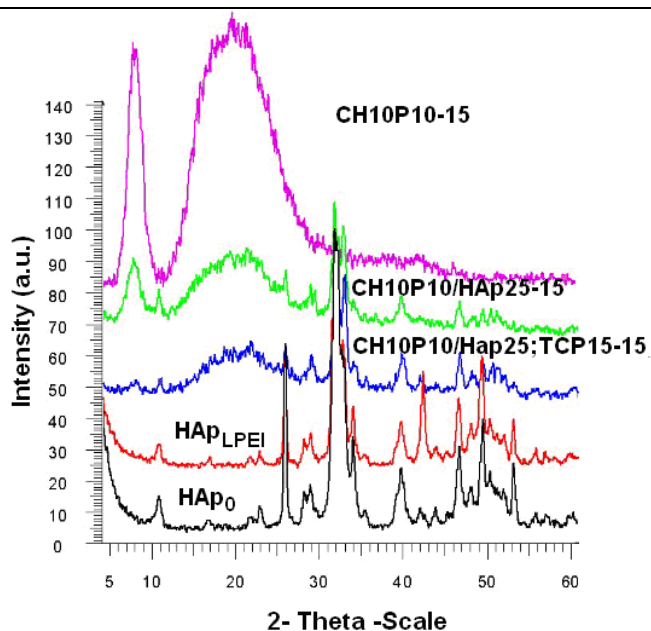
**Tabelul 2.** Compozitia elementala a criogelurilor preparate.

Elementul	Proba					
	CH10P10-15		CH10P10/HAp25-15		CH10P10/HAp25:TCP15-15	
	wt%	At%	wt%	At%	wt%	At%
C	66,6	71,9	46,5	58,2	50,4	61,4
N	12,4	11,5	9,7	10,4	9,1	9,5
O	20,0	16,2	25,2	23,7	25,1	23,0
P	--	--	6,1	3,0	4,9	2,3
Ca	--	--	12,6	4,7	10,5	3,9

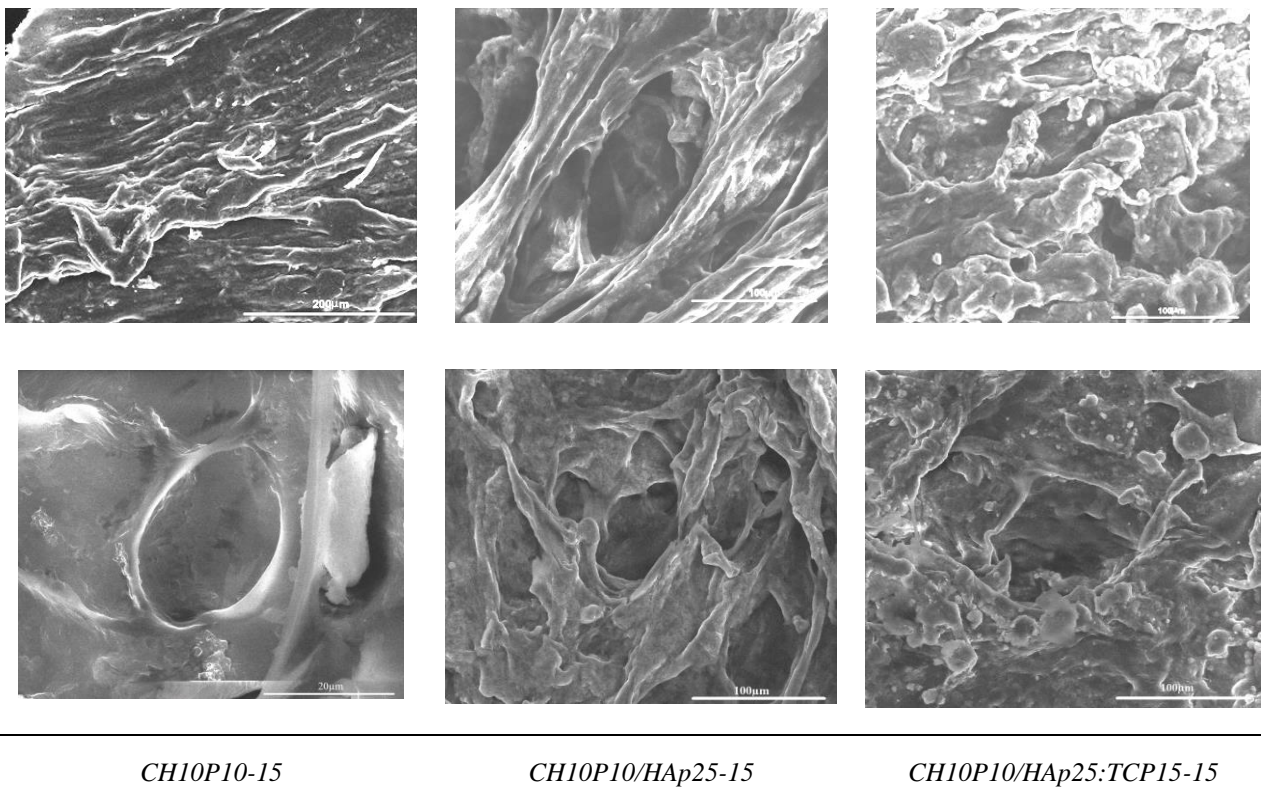
In spectrele ATR-FTIR ale criogelurilor, alaturi de semnalele specifice polipeptidelor (benzile amida A, la  $3307\text{ cm}^{-1}$ , amida B, la  $3075\text{ cm}^{-1}$ , amida I, la aproximativ  $1650\text{ cm}^{-1}$  si amida 2, la  $1545\text{ cm}^{-1}$ ) si de cele atribuite DMSHA (picurile de la  $1020\text{ cm}^{-1}$  si  $1084\text{ cm}^{-1}$ , banda  $\nu$  a gruparii  $-\text{C}-\text{O}-$  din inelele zaharidice ale HYAL), apar benzile specifice gruparii fosfat din HAp, situate la  $910\text{-}1140\text{ cm}^{-1}$ . Raportul absorbtiorilor la  $1240$  si respectiv  $1450\text{ cm}^{-1}$  ( $A_{1240}/A_{1450}$ ), utilizat pentru a evalua continutul de triplu helix specific colagenului nedenaturat [29] (caz in care are valori in plaja  $1.01 \div 1.014$ ), se modifica de la 0.94 in AteCol, la 0.86 in CH10P10-15, 0.93 in CH10P10/Hap25-15 si respectiv 0.73 in CH10P10/HAp25-15, fapt care indica cresterea gradului de dezordine in respectivele probe. La aceeasi concluzie conduce si

analiza spectrelor RDX (Figura 9), in care se observa mentinerea picului specific colagenului, de la  $20 \sim 7.7^\circ$ , dar diminuarea intensitatii acestuia in proba ce contine  $\beta$ -TCP. In plaja  $15\text{--}28^\circ$  ale valorilor  $2\theta$ , picurile indica pozitia spatiilor intercatenare in triplul helix al colagenului [30, 31]. Peste acestea se suprapun semnalele provenite din componenta anorganica, unele prezentand mici deplasari, indiciu al interactiunii la interfata organic / anorganic. Semnalul de la  $2\theta$  aproximativ  $42^\circ$  se diminueaza, ceea ce confirma interactiunea preferentiala a LPEI, regasita la suprafata nanoparticulelor de HAp, cu biomacromoleculele imediat invecinate.

Gradul de dezordine indus de prezenta  $\beta$ -TCP in composit este observabil si in microfotografiile SEM (Figura 10). Pentru proba CH10P10/HAp25:TCP15-15 sunt evidente diminuarea porilor, ingrosarea peretilor acestora si aparitia de aglomerari de componenta anorganica, prin comparatie cu probele CH10P10-15 si CH10P10/HAp25-15, cat si aglomerari de material anorganic. Dimensiunea porilor scade de la  $140.4 \mu\text{m}$  pentru CH10P10-15, la  $76.4 \mu\text{m}$  pentru CH10P10/HAp-25-15, respectiv  $63.1 \mu\text{m}$  pentru CH10P10/HAp25:TCP15-15.

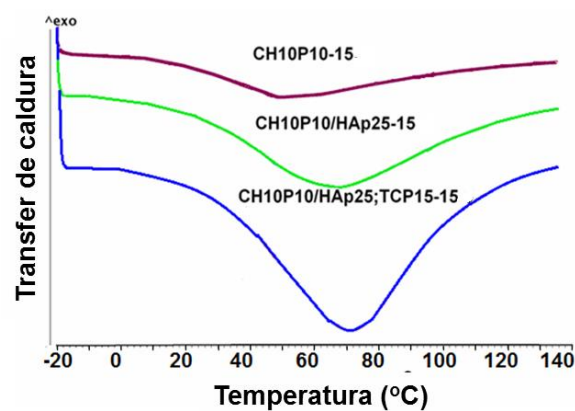


**Figura 9.** Difractogramele probelor de criogel hibrid obtinute.



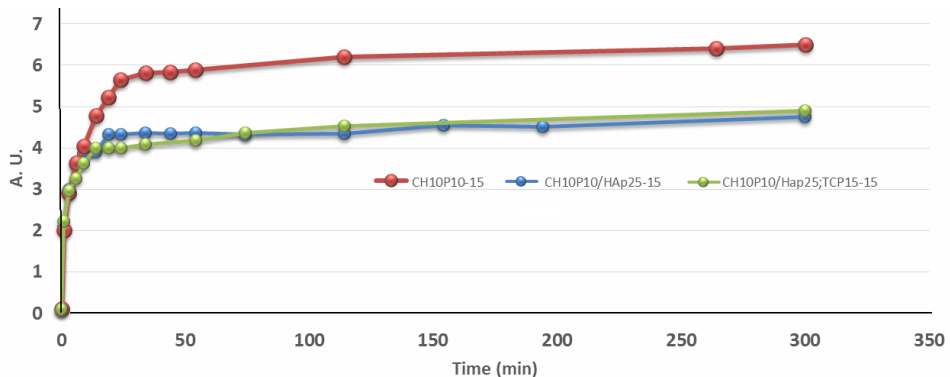
**Figura 10.** Microfotografii SEM tipice pentru probele de criogel analizate.

Curbele DSC (Figura 11) evidentaaza o crestere a valorii temperaturii de denaturare,  $T_d$ , (considerata ca fiind o masura a gradului de reticulare a formelor colagenice), odata cu adaugarea de componenta anorganica, fapt care atesta dezvoltarea de interactiuni la interfata anorganic / organic, fractia organica parand a induce un slab efect de reticulare fizica (prin interactiuni electrostatice).

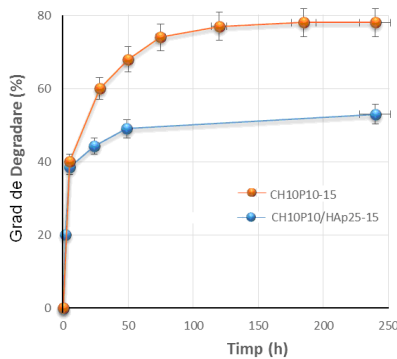


**Figura 11.** Curbe DSC trasate pentru probele de criogel hibrid obtinute.

Evaluarea capacitati de umflare (Figura 12) si a degradarii in mediul umed (Figura 13) pun in evidenta o relativa crestere a stabilitatii compozitului odata cu cresterea fractiei anorganice, precum si efectul hidrofiliei crescute a  $\beta$ TCP, comparativ cu HAp.



**Figura 12.** Comportarea la umflare in apa a structurilor macroporoase sintetizate.



**Figura 13.** Comportarea la degradare in mediu umed a structurilor macroporoase sintetizate. Conditii: PBS 0.1M, 37°C.

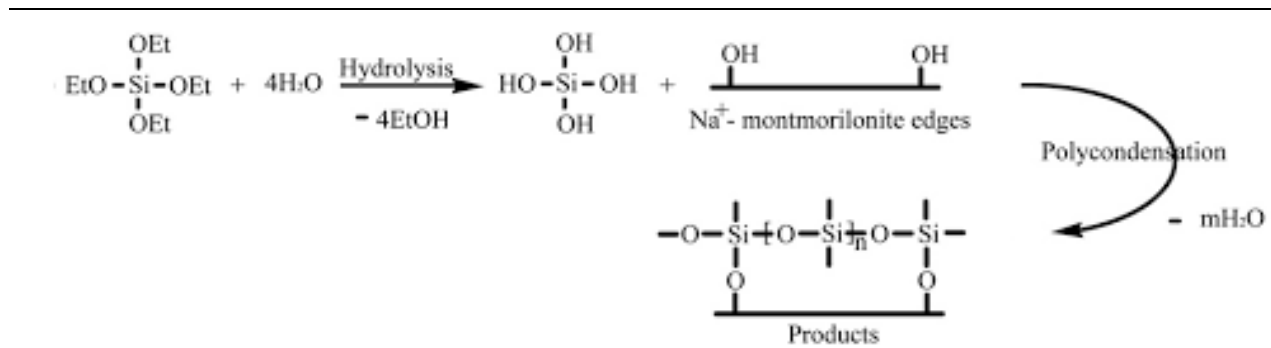
### C. Compozite acetat de celuloza / nanofibre de argila si silice

Materialele hibride polimeri / compusi anorganici, in special cele din categoria nanomaterialelor, ofera o gama larga de aplicatii in domeniul biomedicinei si al eliberarii de medicamente. Recent a fost evidentiat avantajul utilizarii nanofibrelor de argila si silice (SiNWs), o clasa noua de nanofibri (materiale de umplere la scara nanometrica), cu structura interconectata 2D-1D, larg accesibile. SiNWs sunt formate, in general, din fibrile cu lungimi de peste 1  $\mu\text{m}$  si diametre de aproximativ 20 nm, cu arhitectura 2D-1D interconectata [32, 33]. SiNWs pot fi obtinute si sub forma de straturi 2D de particule hibride, caracterizate printr-o suprafata specifica mare. Sinteza nanofibrilor poate fi condusa in conditii blande, fara adaos de agenti de templare. In pofida faptului ca metoda de sinteza si mecanismul de reactie sunt bine cunoscute [33], pana in prezent SiNWs au un numar redus de aplicatii. Ca material de umplere, microfibriile SiNWs prezinta avantajul costului redus si al biocompatibilitatii [34]. In plus SiNWs au abilitatea de a asambla structuri supramoleculare pe baza de saruri ale aminoacizilor, comportament care este de asteptat sa se manifeste si in cazul proteinelor.

Studiul prezentat in cele ce urmeaza demonstreaza posibilitatea utilizarii SiNWs, similar nanofibrilor de silice (fara unitati 2D), ca material de ranforsare a compozitelor acetatului de celuloza (CA), oferind o perspectiva de utilizare a membranelor pe baza de CA si SiNWs in aplicatii biomedicale. Compozite hibride pe baza de acetat de celuloza (polimer artificial biodegradabil) si nano-hidroxiapatita au fost anterior realizate printr-o tehnica de nanomanufacturare intr-o singura etapa. Acestea au fost apoi evaluate in calitatea lor de matrice cu arhitecturi 3D biomimetice, in studii *in vitro* de regenerare osoasa, dovedindu-se eficiente in promovarea adeziunii si dezvoltarii osteoblastelor [35].

## C.1. Prepararea membranelor hibride CA / nanofibre de argila si silice

Pentru obtinerea membranelor nanocompozite, s-a pornit de la o solutie de 12 % de acetat de celuloza in apa, care a fost maturata, static, 24 de ore, in vederea eliminarii bulelor de aer (spre a evita formarea de goluri in membranele finale). SiNWs au fost obtinute printr-un proces sol-gel, pornind de la tetraetil orthosilicat (Sigma-Aldrich), in prezena montmorilonitului de sodiu, conform metodei din referinta [32]. Schema 2 prezinta principiul procesului de sinteza al SiNWs.

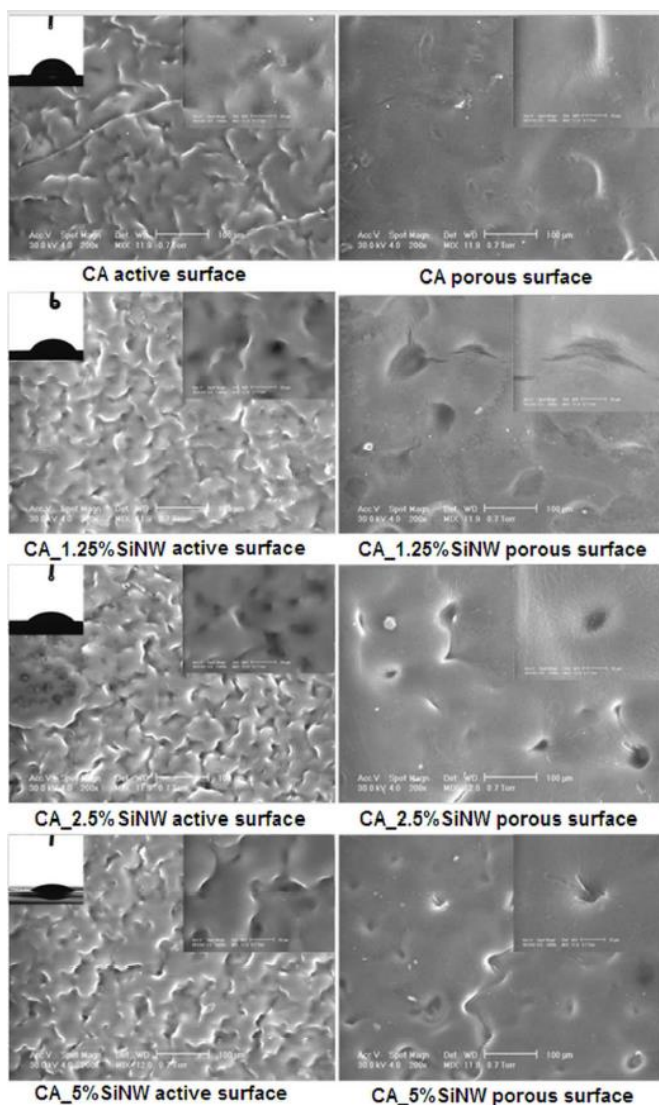


*Schema 2. Varainta experimentală de preparare a SiNWs.*

Ulterior prepararii, SiNWs au fost dispersate in solutia de CA, prin ultrasonare, la diferite rapoarte de amestecare, respectiv de 1.25, 2.5 si 5 % masic. Nanocompozitele s-au obtinut sub forma de membrane prin turnarea suspensiei pe un substrat din sticla, urmata de imersare intr-o baie de coagulare. Dupa formare, membranele au fost spalate si stocate in apa deionizata, pentru prevenirea dezvoltarii de microorganisme pe suprafata lor.

## C.2. Caracterizararea membranelor hibride CA / nanofibre din argila si silice

Morfologia membranelor nanocompozite s-a investigat prin tehnica SEM (Figura 14), dupa ce au fost acoperite cu un strat subtire din aur. S-a constatat o descrestere a dimensiunii si densitatii porilor in prezena SiNWs, comparativ cu membranele ce contin doar CA.



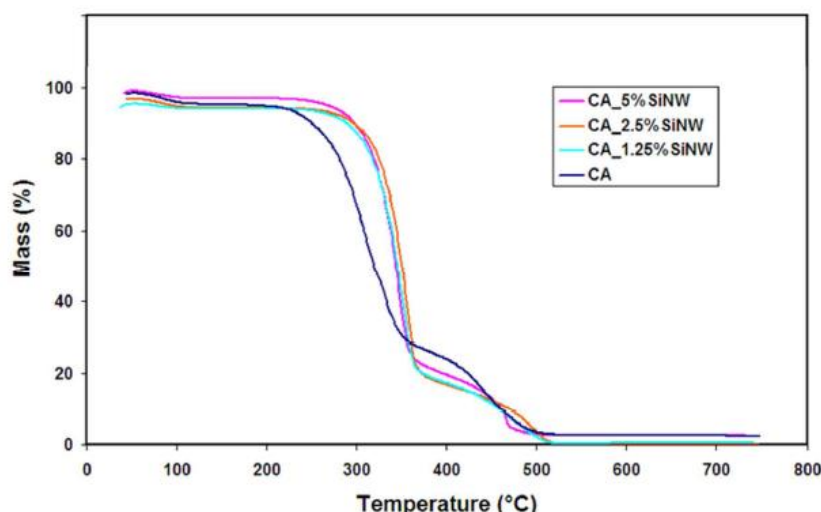
**Figura 14.** Imagini SEM tipice pentru membranele compozite obtinute prin turnare la diferite grade de incarcare cu SiNWs (0, 1.25, 2.5 si 5 % fata de CA).

In probele ce nu contin SiNWs, porii suprafetei active sunt dificil de vizualizat, intrucat porii initial mari si interconectati din membranele umede au colapsat in timpul uscarii (impuse in investigatiile SEM). Drept consecinta, dupa uscare, porii initial sferici sau cilindrici s-au transformat in pori de tip lamelar. Adaugarea SiNWs conduce la formarea de pori stabili dupa uscare, cu diametre de circa 10 ori mai mici comparativ cu cei din membrana de CA.

In vederea evaluarii hidrofiliei membranelor usacte, s-au realizat studii ale tensiunii superficiale, prin metoda determinarii unghiului de contact al apei, la temperatura camerei (Figura 14, inserturile din coltul stanga-sus al imaginilor SEM), utilizand un tensiometru pentru unghiuri de contact CAM 200/KSV Instruments. S-a constatat descresterea valorilor unghiului de contact odata cu cresterea continutului de material de umplere. Rezultatele se coreleaza cu observatiile de microscopie electronica. Cresterea densitatii porilor (evidentiata prin SEM) a influentat proprietatile suprafetelor membranelor si a determinat descresterea semnificativa a unghiului de contact pentru membranele nanocompozite [36]. Membranele care contin doar CA conduc la unghiuri de contact de circa 65°. In cazul membranelor compozite cu SiNWs, valorile unghiului de contact descresc, iar dinamica absorbtiei picaturii depinde de gradul de incarcare cu

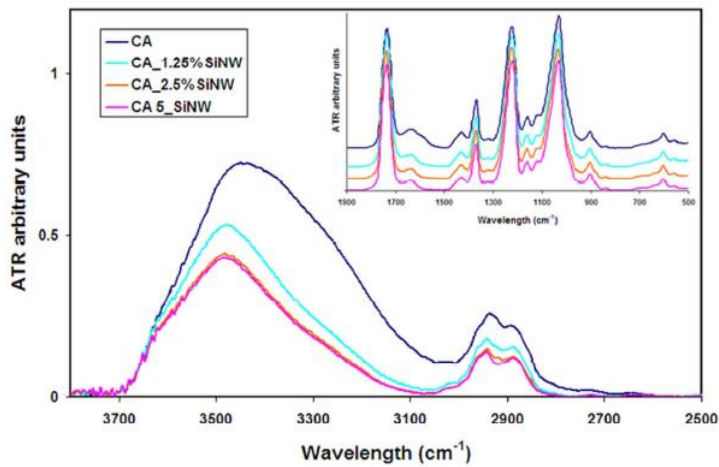
SiNWs, o picatura de apa cu volumul de  $6.5 \mu\text{L}$  fiind absorbita in aprox. 7.5 minute in cazul membranei CA, respectiv in doar doua minute, in membranele cu 5% SiNWs. Acest comportament confirma morfologia observata prin SEM. Proprietatile de suprafata confirmă direct imbunatatirea proprietatilor de umectare si indirect cresterea densitatii porilor.

Comportamentul termic al membranelor obtinute (Figura 15) indica existenta unor interacciuni fizice intre umplutura (SiNWs) si matricea polimera (CA). Pierderea apei legate fizic nu a fost influentata semnificativ de continutul de SiNWs, fapt datorat absorbtiei apei in membranele poroase si nu umflarii matricei polimere. Temperatura de inceput a degradarii termice creste cu continutul de SiNWs, indicand o stabilizare evidenta in timpul degradarii CA.

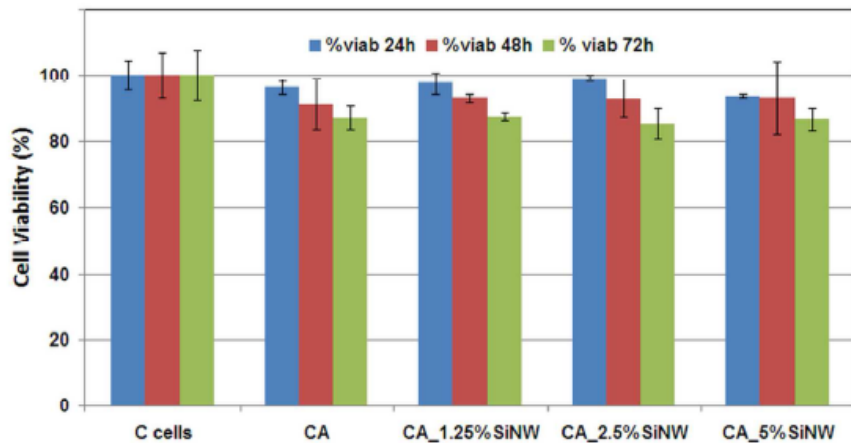


**Figura 15.** Stabilitatea termica evaluata prin analiza termogravimetrica (NETZSCH STA 449C Jupiter), pentru diferite grade de incarcare a membranelor CA cu SiNWs (0, 1.25, 2.5, 5 % masic, raportat la CA).

Interacciunile fizice intre filerul SiNWs si matricea CA, observata prin analiza termogravimetrica (TGA), a fost confirmata de analiza spectrelor FTIR (Figura 16). Absorbtiiile IR au aratat o descrestere a intensitatii benzilor de vibratie din plaja  $3100\text{-}3700 \text{ cm}^{-1}$  si de la  $1638 \text{ cm}^{-1}$ , in raport cu probele ce contin doar CA, odata cu cresterea continutului de SiNWs. Banda de vibratie de la  $3450 \text{ cm}^{-1}$  a scazut in intensitate, iar pozitia sa s-a deplasat cu  $30 \text{ cm}^{-1}$  in cazul incarcarii cu 1.25 % SiNWs si nu s-a modificat, indiferent de continutul de filler. Deplasarea respectivei benzi indica o modificare a interacciunilor cu apa absorbita fizic, fara implicarea apei legate de catre compozitele SiNWs-CA.



**Figura 16.** Spectrele FTIR pentru diferite grade de incarcare a membranelor CA cu SiNWs (0; 1,25; 2,5; 5 %).



**Figura 17.** Evolutia viabilitatii celulare in prezena membranelor compozite cu continut diferit de SiNWs in CA (control de crestere a celulelor: C cells; matricea CA: CA; 1.25%: CA\_1.25% SiNWs; 2.5%: CA\_2.5%SiNWs; 5%: CA\_5%SiNWs).

In vederea evaluarii abilitatii matricelor compozite de a fi utilizate in aplicatii biomedicale, s-a testat citotoxicitatea acestora in raport cu fibroblaste in prima cultura din derma de sobolan (RDF R106-05, Rat Dermal Fibroblasts, Sigma-Aldrich) varietatea Sprague Dawley, precum si asupra fibroblastelor izolate din derma de iepure albinos (N-6067, Cell Biologics). Testele au fost efectuate in concordanta cu normele ISO 10993-5:2009 [37]. O serie separata de teste au fost realizate utilizand fibroblaste obtinute in laborator, in prima cultura. In acest scop, au fost prelevate probe din derma unui iepure albinos, iar dupa manipularile uzuale, tesutul a fost cultivat pana la obtinerea unui monostrat de celule in jurul fiecarui fragment tisular, la 37 °C, in atmosfera de 5% CO<sub>2</sub>, reimprospatand mediului la fiecare trei zile. Pentru dezvoltarea ulterioara, celulele care au migrat din tesut au fost trecute pe o suprafata de 25 cm<sup>2</sup> a unui vas de cultura si cultivate pana la atingerea unei confluente de 70-80%, in absenta si in prezenta probelor de composit. Experimentele au fost realizare in triplu exemplar. Analizele MTT [bromură de 3-(4, 5-dimetiltiazol-2-il)-2,5-difeniltetrazoliu] s-au efectuat dupa 24, 48 si 72 ore de incubare a probelor cu celule. Absorbanta solutiei rezultate a fost cuantificata spectrofotometric la lungimea de unda de 570 nm, cu ajutorul unui cititor de

placi Tecan. Valorile absorbantelor rezultate in urma experimentelor au fost comparate cu absorbanta probei martor (cultura de celule realizata in absenta probelor de composit). Conform prescriptiilor ISO 10993-5:2009, probele care au asigurat o viabilitate celulara de peste 70% dupa 72 ore de incubare au fost considerate ca fiind ne-citotoxice. Figura 17 prezinta rezultatele testelor de citotoxicitate efectuate asupra fibroblastelor prelevate si cultivate in laborator.

#### **D. Concluziile studiului privind realizarea de matrici macromoleculare biomimetice, active in transfectie**

Etapa 2015 a proiectului PN-II-ID-PCCE-2011-2-0028 a inclus o prima sectiune vizand obtinerea de matrice tridimensionale destinate dezvoltarii de sisteme complexe de transfectie. S-au avut in vedere doua directii de studiu, respectiv:

- a) realizarea de matrice hibride de tip polimer natural / polimer sintetic / fractie anorganica, respectiv obtinerea de criogeluri pe baza de AteCol –DMSHA/PCL si HAp functionalizata, aceasta din urma utilizata individual sau in combinatie cu  $\beta$ TCP;
- b) realizarea de biocompozite polimer artificial biodegradabil / fractie anorganica, respectiv membrane din acetat de celuloza / montmorilonit-silice.

Pornind de la datele de literatura privitoare la avantajele utilizarii criogelurilor (bio)compozite colagen-hidroxiapatita in ingineria tesuturilor dure [38] si avand in vedere posibilitatea controlarii caracteristicilor biocompozitelor AteCol–DMSHA/PCL prin conditiile de preparare (formulare, receptura, procedura) [1, 23-26], s-au elaborat protocoale pentru obtinerea de matrice tridimensionale macroporoase pe baza de biopolimeri, polimeri sintetici si componenta anorganica, inzestrante cu urmatoarele caracteristici:

- prelucrabilitate si proprietati mecanice superioare biopolimerilor componenti;
- coeziune superioara in cazul utilizarii componente anorganice sub forma de nanoparticule functionalizate cu polietilenimina, care, pe de o parte actionea-za drept agent de cuplare, iar pe de alta asigura atat complexarea eficienta a ADN, cat si atasarea unor vectori genici non-virali;
- structura poroasa cu pori interconectati avand dimensiuni controlabile prin receptura compozitiei; o astfel de structura este adecvata atat facilitarii transportului nutrientilor catre celule, cat si eliminarii reziduurilor rezultate in urma activitatii celulare;
- biocompatibilitate demonstrata anterior pentru compozitiile AteCol – DMSHA / PCL;
- biodegradabilitate controlata prin continutul de PCL, de componenta anorganica, prin raportul proteina / polizaharid si prin raportul HAp / TCP;
- capacitate redusa de umflare in apa, urmare a prezentei componente anorganice, dar adecvata dezvoltarii celulare;
- puritate suficienta, asigurata prin indepartarea reactantilor neinglobati in retea si a urmelor de solvent, inainte de etapa de liofilizare;
- functionalitate adecvata atasarii ulterioare a unor vectori genici non-virali, conferita de componente (polietilenimina, colagen, acid hialuronic).

De asemenea, in baza unor protocoale dezvoltate in cadrul proiectului, s-a demonstrat posibilitatea de realizare a unor membrane poroase hibride, acetat de celuloza / nanofibre din argila si silice, a caror lipsa de citotoxicitate in raport cu fibroblastele a fost certificata.

## **Obiectivul 2. EVALUAREA ABILITATII DE TRANSFECTIE A SISTEMELOR DEZVOLTATE IN CADRUL PROIECTULUI**

Terapia genica este o metoda utilizata pentru a introduce material genetic in celule cu scopul de a trata diverse maladii cu originea in alterarea mecanismelor intracelulare ce implica informatia genetica (cum sunt cancerul, infectiile virale si unele boli genetice). Aceasta tehnica terapeutica avansata impune utilizarea unor „unelte” specifice, inalt eficiente si non-toxice, apte a livra gene in celulele tintite [39]. Cele mai utilizate astfel de „unelte” sunt vectorii non-virali cationici, a caror componozitie, structura si morfologie poate fi precis proiectata, pentru a li se conferi proprietatile impuse [40-42]. Compusii cationici macromoleculari cei mai frecvent utilizati in testarile *in vitro* si *in vivo* sunt polietileniminele liniare (l-PEI) si ramificate (b-PEI), datorita densitatii mari de sarcini pozitive pe care le poarta, sarcini dobandite in directa relatie cu valoarea pH-ului mediului apos in care se regasesc. Raportul teoretic intre grupurile aminice primare, secundare si tertiare din b-PEI a fost determinat ca fiind 1 : 2 : 1 [43]. La pH fiziologic (aproximativ 7.4), gradul de protonare al PEI este de circa 50% [44]. Recent, literatura de specialitate a descris prepararea si performantele unui vector genic pe baza de PEI, cu mare capacitate de compactare a ADN-ului plasmidic, la pH 4 [45]. In teste preliminare de terapie genica, PEI a fost utilizat pentru compactarea si livrarea de ADN scurt dublu catenar (20-25 baze azotate), sau pentru introducerea in celule a unor oligonucleotide si molecule de si-ARN, demonstrandu-se insa ca exista mari diferente intre conformatiile poliplexilor astfel rezultati, in comparatie cu cei care se formeaza in prezenta ADN-ului plasmidic, chiar in conditiile utilizarii aceleiasi varietati de PEI. Mai mult decat atat, s-a demonstrat si faptul ca pentru formarea poliplexilor cu ADN scurt dublu catenar si cu si-ARN se poate utiliza doar PEI cu masa moleculara mica (0.6 ÷ 2 kDa), data fiind toxicitatea substantial redusa in raport cu cea a PEI cu masa moleculara inalta (25 sau 70 kDa) [46].

Avand in vedere considerentele mai sus prezentate, in cadrul etapei 2015 a proiectului PN-II-ID-PCCE-2011-2-0028, s-au abordat doua directii de studiu, respectiv:

- (i) modelarea si optimizarea procesului de complexare a ADN-ului dublu catenar ce include 25 nucleotide, cu b-PEI avand masa moleculara medie de 2 kDa;
- (ii) elucidarea conformatiei poliplexilor formati in urma complexarii ADNdc cu b-PEI, atunci cand b-PEI de 2 kDa a fost atasat la un ciclu siloxanic hidrofob, prin intermediul unui spatiator.

Acstea directii integreaza cele doua activitati regasite in planul de realizare al etapei 2015, intitulate:

- 2.1. Determinarea capacitatii de complexare a acizilor nucleici cu vectorii non-virali;
- 2.2. Testarea sistemelor de transfectie asupra culturilor celulare.

Toate sub-obiectivele respectivelor activitati sunt tratate sub o mai ampla filosofie a studiilor propuse prin planul de realizare, cu scopul de a dezvolta protocoale si tehnici de prelucrare a datelor care sa furnizeze un plus de cunoastere in spetele investigatiei experimentale.

### **2.1. Modelarea statistico-matematica si optimizarea formarii poliplexilor prin co-precipitarea ADN dublu catenar cu polietilenimina**

In vederea modelarii statistico-matematice a procesului de formare a poliplexilor intre ADN-ul dublu catenar scurt (25 b) si polietilenimina cu masa moleculara medie de 2 kDa, s-a elaborat un plan experimental factorial central compus rotabil, cu doi factori, care a permis determinarea suprafetei de raspuns in coordonatele:

*eficienta de complexare = f(concentratie ADNdc, concentratie bPEI, pH).*

Modelul experimental astfel rezultat a fost utilizat pentru identificarea domeniului optimal pentru conducerea procesului de complexare a ADNdc cu 2 kDa bPEI, prin co-precipita-rea acestora in conditiile clasice ale prepararii polipeptidilor. Un astfel de demers experimental este larg utilizat pentru punerea la punct a protocolelor aplicative [47].

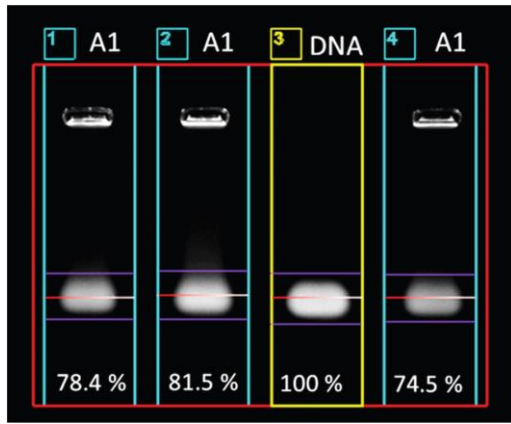
Metodologia suprafetei de raspuns (RSM, Response Surface Method) reprezinta o tehnica statistico-matematica destinata modelarii proceselor complexe prin proiectarea experimentelor (DOE, Design of Experiments) si determinarea coeficientilor unor modele matematice polinomiale asociate planurilor experimentale, aplicand algoritmi de regresie multipla [48]. Proiectarea experimentelor permite investigarea influentei unui numar dat de factori experimentali (reglabili la valori precise) asupra unor variabile de raspuns masurate experimental (cu inalta precizie, de regula prin metode instrumentale). Planurile experimentale stabilite sunt apoi aplicate, iar datelor obtinute li se ajusteaza modele polinomiale cu diverse grade de complexitate, modele a caror adevarata statistica este verificata cu minutiozitate. Dupa verificarea validitatii respectivelor modele, acestea pot fi utilizate drept functii obiectiv si functii restrictie in probleme de optimizare, carora li se aplica algoritmi de identificare a optimului, in conditii de neincalcare a restrictiilor. Principalele avantaje ale derularii experimentelor in baza unor planuri experimentale de tip DOE (proiectate) constau in:

- restrangerea semnificativa a numarului de experiente individuale in cadrul experimentului proiectat;
- punerea in evidenta a interactiilor intre factorii experimentali, in influenta pe care acestia o exercita asupra raspunsurilor masurate.

Unul dintre dezavantajele experimentelor planificate este insa imposibilitatea aplicarii modelelor statistico-matematice obtinute pentru efectuarea de extrapolari, respectiv pentru predictia valorilor raspunsurilor experimentale inafara plajelor factorilor de influenta care au fost avute in vedere la proiectarea experimentelor.

Experimentele pentru determinarea cantitativa a complexarii ADNdc cu bPEI au avut in vedere trei factori: (i) concentratia ADNdc, (ii) concentratia bPEI si (iii) pH-ul initial al solutiei. Plajele de variatie a acestor factori au fost normate in intervalul [-1, 1], in vederea codificarii nivelurilor experimentale. Codificarea permite includerea in modelele statistico-matematice a unor factori ce iau valori in plaje net diferite (inclusiv ca ordin de marime), utilizand aceeasi scala (adimensională) pentru fiecare dintre ei [49].

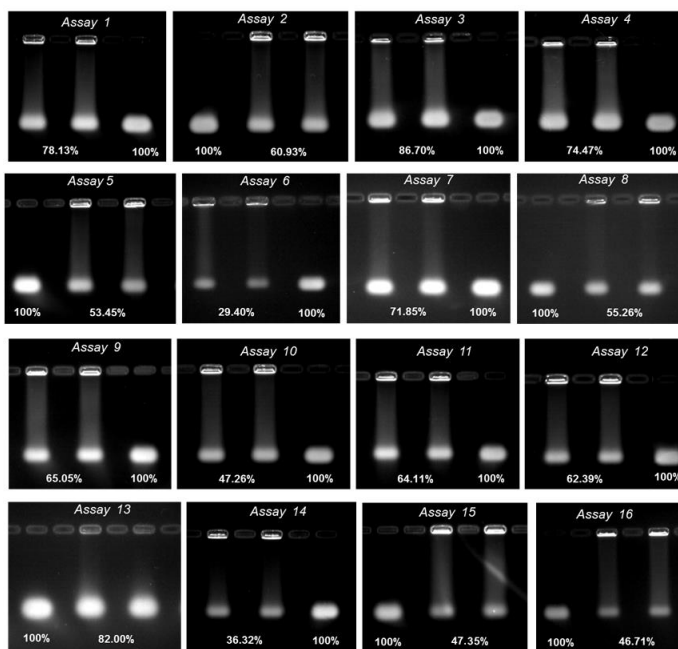
Raspunsurile experimentale obtinute in urma aplicarii planului experimental au fost masurate electroforetic (pe gel de agaroză), determinand intensitatile benzilor specifice ale ADNdc, in prezenta si in absenta bPEI, la diferite rapoarte molare de amestecare si la diferite valori ale pH-ului. S-a utilizat, in acest scop, aplicatia software dedicata Gel Quant Express [50]. Figura 18 prezinta un exemplu de prelucrare a datelor electroforetice, in triplicat, pentru una dintre experientele din planul experimental, respectiv la un raport ADNdc / bPEI = 1.498 si la o valoare a pH-ului de 8 unitati.



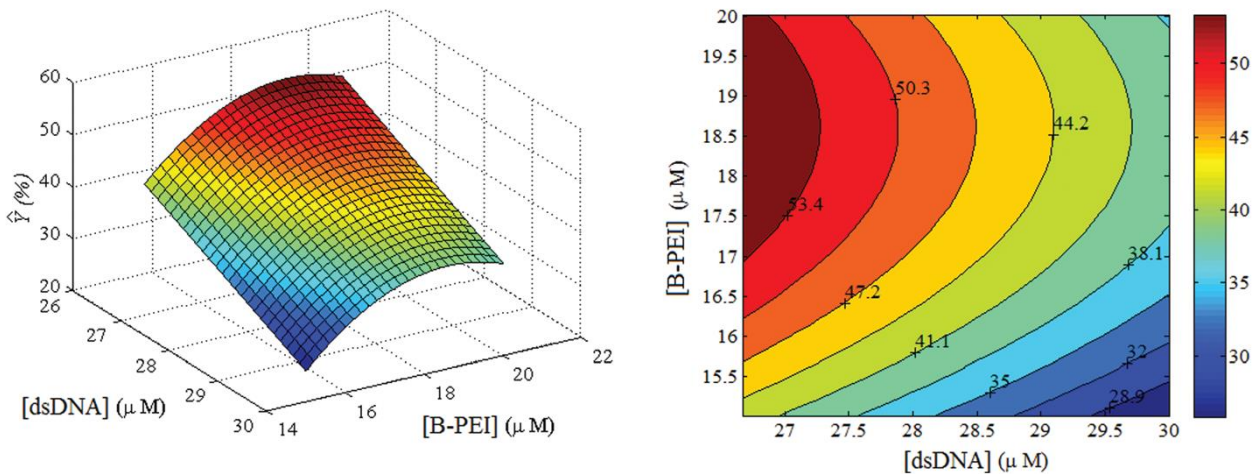
**Figura 18.** Rezultatul uneia dintre determinarile electroforetice, efectuate conform planului experimental ( $ADNdc / bPEI = 1.498$  si  $pH 8$ ).

Spoturile asociate benzilor de migrare 1, 2 si 4 corespund poliplecilor formati, iar cel al benzii 3 corespunde  $ADNdc$  liber (utilizat ca etalon pentru intensitate 100 %).

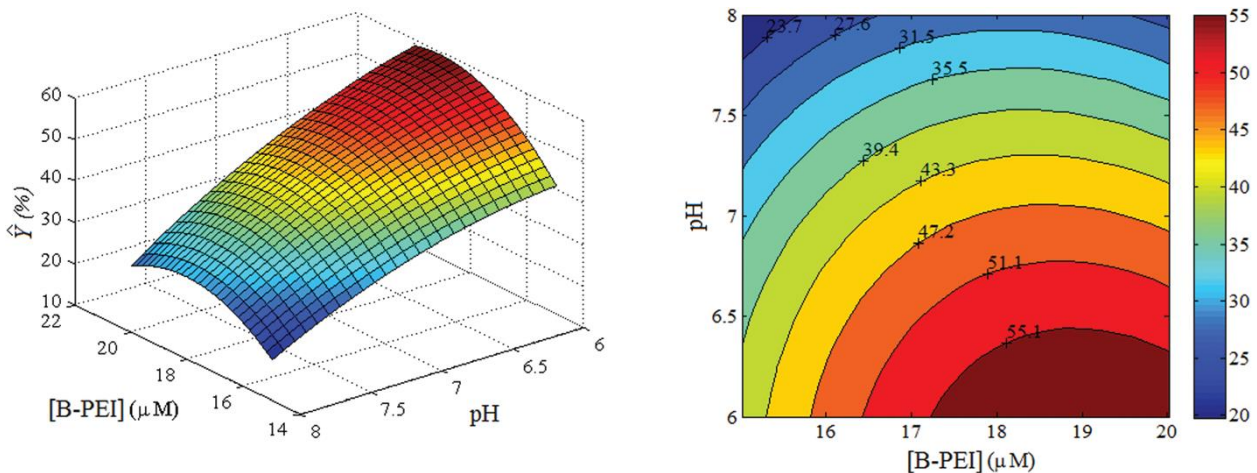
Figura 19 include rezultatele testelor de migrare electroforetica a poliplecilor preparati conform planului experimental. Utilizand aceste date s-au determinat (prin regresie multipla [51]) coeficientii polinoamelor asociate planului experimental, iar suprafetele de raspuns rezultate sunt prezentate in Figurile 20 si 21.



**Figura 19.** Rezultatele experimentale pentru cele 16 experiente incluse in planul experimental.



**Figura 20.** Suprafata de raspuns determinata statistico-matematic pentru dependenta capacitatii de complexare a ADNdc de catre bPEI, la diferite rapoarte de amestecare a acestora si la o aceeasi valoare a pH-ului, de 7.0 unitati.



**Figura 21.** Suprafata de raspuns determinata statistico-matematic pentru dependenta capacitatii de complexare a ADNdc de catre bPEI, la diferite concentratii ale bPEI si la diverse valori ale pH-ului, in conditiile unei concentratii constante a ADNdc, de  $28.33 \mu M$ .

Suprafata de raspuns redată în Figura 20 reflectă faptul că la concentrații mari ale ADNdc se obțin eficiente de complexare scazute, pe când creșterea concentrației bPEI până la  $19 \mu M$  conduce la o îmbunătățire semnificativă a eficienței de complexare. Pentru valori mai mari ale concentrației bPEI ( $> 19 \mu M$ ), efectul creșterii acestui factor asupra eficienței de complexare se atenuă. Dependenta redată grafic în Figura 21 indică faptul că eficiența de complexare a ADNdc de catre bPEI crește pe măsură ce valoarea pH-ului de lucru scade de la 8 la 6. Asadar, capacitatea de complexare a ADNdc scurt (25 b) crește odată cu creșterea fracției bPEI în amestec, dar și odată cu scăderea pH-ului, dat fiind faptul că gradul de protonare al bPEI sporește la valori acide ale pH-ului.

In baza concluziilor anterioare s-a procedat la optimizarea procesului de formare a poliplexilor prin interacția ADNdc (25 b) cu bpEI (2 KDa), pentru identificarea condițiilor ce asigură eficiente de complexare apropiate de 100%. Problema de optimizare a fost soluționată aplicând algoritmul simplex [52], pus la

dispozitie de aplicatia software Scilab 5.4.1 (open-source). Solutia optima s-a obtinut pentru concentratiile de  $26.33 \mu\text{M}$  ADNdc si  $19.26 \mu\text{M}$  bPEI, lucrandu-se la valoarea de 5.8 a pH-ului, conditii in care raspunsul prezis de model pentru eficienta de complexare este de 70.52%, iar raspunsul experimental confirmat este de 70.79%. Valoarea experimentalala a raspunsului (70.79%) este usor mai mare decat orice valoare a eficientei de complexare rezultata in experientele individuale ale planului experimental, ceea ce confirma faptul ca respectivele conditii sunt cele optime in domeniul de variatie al factorilor de influenta avut in vedere la proiectarea experimentului. In vederea cresterii eficientei de complexare la peste 90%, s-a recurs la interpolarea in rezultatelor experimentale in regiunile de variație a factorilor neinvestigate prin experimentul proiectat (regiuni pentru care modelele statistico-matematice nu sunt valide implicit), apeland la metoda gradientului [52]. Conform acestei metode cautarea optimului se realizeaza in directia gradientului functiei obiectiv, ea putand fi aplicata chiar daca expresia matematica a raspunsului experimental nu este cunoscuta pentru o anumita regiune de experimentalala, cu conditia ca sistemul experimental sa fie in continuare disponibil. In studiul de fata, metoda gradientului a fost aplicata pentru a extinde suprafata de raspuns modelata si pentru a imbunatatiti astfel eficienta de complexare intre DNAdc si bPEI [50]. Punctul de plecare pentru metodologia de extindere a suprafetei de raspuns pe directia gradientului a fost punctul optim anterior identificat aplicand metoda Nelder-Mead ( $z_1 = 26.33 \mu\text{M}$  ADNdc,  $z_2 = 19.26 \mu\text{M}$  bPEI,  $z_3 = \text{pH } 5.8$ ). In noua problema de optimizare s-au inclus doar variabilele  $z_1$  si  $z_2$ , corespunzand concentratiilor ADNdc si bPEI, variavile  $z_3$  fiind mentinuta constanta la valoarea optimului anterior identificat, respectiv la pH 5.8, pentru a evita posibila degradare a ADNdc la valori mai acide. Valorile eficacitatii de complexare (raspunsul notat cu Y) in planul experimental extins in mod dinamic au fost determinate prin electroforeza pe gel. S-a constatat ca pentru cresteri ce se incadreaza in intervalul  $\Delta z_1 = (28.00 - 26.33) = 1.67 \mu\text{M}$ , variația raspunsului experimental a fost  $\Delta Y = (63.31 - 70.79\%) = -7.48 \%$ . Similar, pentru  $\Delta z_2 = 2.51 \mu\text{M}$ , variația raspunsului a fost  $\Delta Y = 29.12 \%$ . Pe baza acestor valori, directiile gradientului au fost calculate utilizand ecuatia:

$$d_i^{(k)} = \frac{\left(\partial Y / \partial z_i^{(k)}\right)}{\sqrt{\sum_i \left(\partial Y / \partial z_i^{(k)}\right)^2}} \approx \frac{\left(\Delta Y / \Delta z_i^{(k)}\right)}{\sqrt{\sum_i \left(\Delta Y / \Delta z_i^{(k)}\right)^2}}.$$

Valorile obtinute prin calcul au fost:  $d_1 = -0.36004$  si  $d_2 = 0.93294$ . Aplicand, in continuare, relatia gradientului extins:

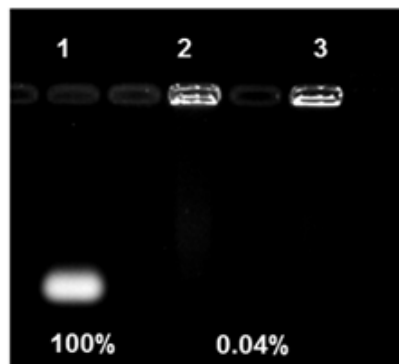
$$z_i^{(k+1)} = z_i^{(k)} + \lambda^{(k)} d_i^{(k)} \quad \forall i = 1, 2, \dots n$$

si utilizand un pas de lungime fixa  $\lambda = 3$ , noile valori ale variabilelor z devin:  $z_1 = 25.25 \mu\text{M}$  si  $z_2 = 22.06 \mu\text{M}$ , carora le corespund conditiile optime pentru o eficacitate sporita a formarii poliplexului (valori oferite de metoda gradientului):

$$\begin{aligned} z_1 &= [\text{DNAdc}] = 25.25 \mu\text{M}; \\ z_2 &= [\text{bPEI}] = 22.06 \mu\text{M}; \\ z_3 &= \text{pH} = 5.8. \end{aligned}$$

Eficienta de complexare confirmata experimental pentru aceste noi conditii optimale a fost  $Y = 99.96\%$ . Imaginea electroforetica prezentata in Figura 22 dovedeste faptul ca noile conditii experimentale asigura sporul scontat al eficacitatii de complexare.

## A-G4



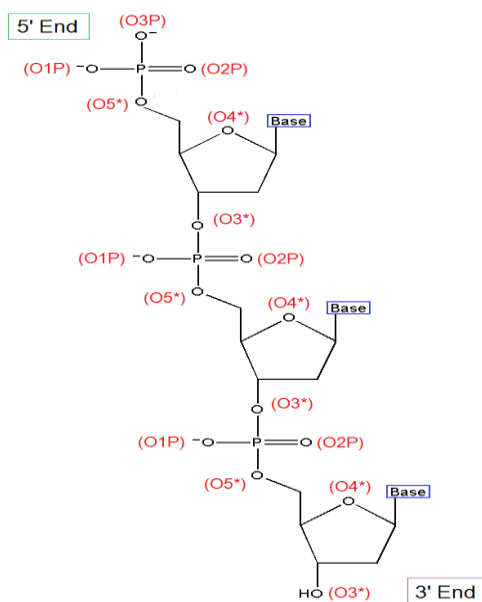
**Figura 22.** Confirmarea experimentală a noului optim al capacității de complexare a ADNdc (25 b) de către bPEI (2 kDa). Lucrând la un raport [ADNdc] / [bPEI] de 1.145 și la pH 5.8, fractia de ADNdc nelegat este de doar 0,04%.

Spotul corespunzător benzii de migrare 1 este dat de o concentrație de 25.55 pm ADNdc, ca martor pentru legare zero (respectiv pentru intensitate 100 % a fluorescentei).

## 2.2. Elucidarea conformației poliplecșilor formati în urma complexării ADNdc cu carrieri pe baza de polietilenimina

Mecanismul de formare al poliplecșilor s-a investigat prin calcule de dinamica moleculară, utilizând aplicatia software YASARA. Simularea dinamica moleculară este un instrument de calcul destinat studiului structurii și funcțiilor biomacromoleculelor, precum și a interacțiunilor dintre acestea. Ea oferă detalii cu privire la deplasările atomistice individuale ale macromoleculelor înconjurate de molecule de solvent.

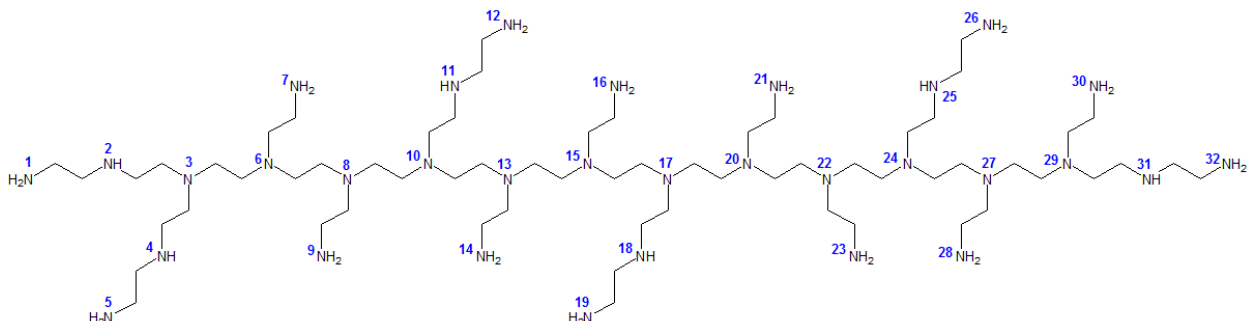
In prezentul studiu, similarile s-au efectuat considerand un tronson de ADNdc cu 25 de nucleotide (strand 5'-CAAGCCCTAACGAACTTCAACGTA-3'; catena antisens 5'-TACGTTGAAGTTCTGTTAAGGGCTTG-3'). Cele 50 de nucleotide ale catenelor DNA ds au sarcina -52 în stare complet deprotoionată și o masă moleculară de 15.43 kDa. În structura modelată cu aplicatia YASARA sunt incluse și două grupuri fosfat terminale, atașate în pozițiile 5' ale catenelor, grupuri care contribuie cu două sarcini negative (asociate la O1P și O3P) la valoarea de ansamblu a sarcinii ADNdc. Structura generică a tronsonului 5'-3' al catenei ADNdc este prezentată în Figura 23.



**Figura 23.** Structura generică a tronsonului terminal 5' al unei catene a ADNdc și modul de notare a atomilor de oxigen ai grupărilor fosfat.

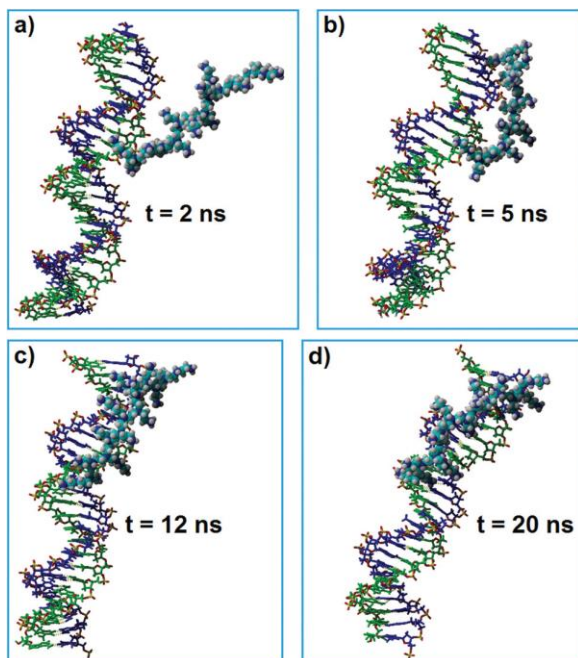
Molecula bPEI a fost construită utilizând aplicatia software HyperChem, iar conformația moleculei a fost optimizată la nivelul modelului semiempiric PM3P. Molecula include 32 grupuri aminice (16 grupuri în

catena principala si 16 in segmentele ramificate), respectiv 14 grupari de tip amina primara ( $-NH_2$ ), 6 grupari de tip amina secundara ( $-NH-$ ) si 12 grupari de tip amina tertiara ( $-N=$ ). Sarcina de ansamblu a moleculei este asadar +32, in stare complet protonata. Figura 24 prezinta structura si numerotarea atomilor de azot din molecula de bPEI, utilizata pentru modelarea dinamica moleculara.



**Figura 24.** Structura moleculei de bPEI utilizata in calculele de dinamica moleculara.

In conformitate cu protocolul de simulare, macromoleculele (ADNdc si bPEI) au fost incluse in cesti de solvatare cubice ( $100 \text{ \AA} \times 100 \text{ \AA} \times 100 \text{ \AA}$ ) continind 32373 molecule de apa, parametrizate TIP3P. Pe ansamblu, sistemul molecular supus studiului de dinamica moleculara contine 99201 atomi, inclusiv contraionii  $\text{Na}^+$  si  $\text{Cl}^-$ , in proportie de 0,9%. Celula de simulare a fost mai intai echilibrata prin minimizarea energiei, iar macromoleculele de DNAdc si bPEI anterior optimizate au fost considerate drept structuri initiale pentru studiile de dinamica moleculara. S-a considerat ca bPEI este complet protonata la pH 5.8.



**Figura 25.** Instantanee de pe calea de reactie conform careia se deruleaza interactia intre ADNdc si bPEI, soldata cu formarea unui poliplex local la „suprafata” acidului nucleic. Pe intreaga cale de reactie, valoarea implicita a pH-ului a fost considerata ca fiind de 5,8 unitati. Timpii de simulare: (a)  $t = 2 \text{ ns}$ ; (b)  $t = 5 \text{ ns}$ ; (c)  $t = 12 \text{ ns}$ ; (d)  $t = 20 \text{ ns}$ . Moleculele de apa de solvatare au fost omise, pentru claritatea imaginilor.

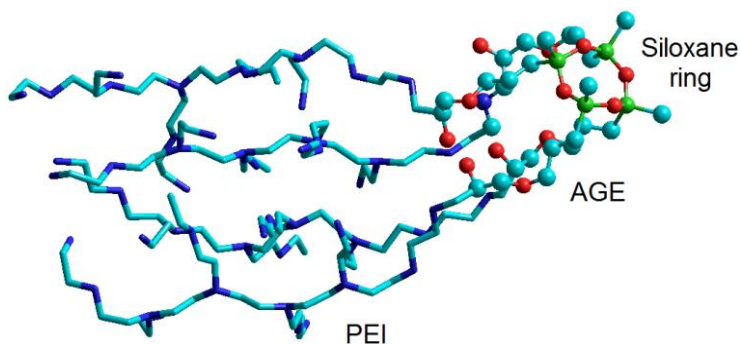
Figura 25 prezinta instantanee din cursul derularii interacțiunilor intre ADNdc si bPEI, la diverse intervale de timp. Astfel, după 2 ns intervine o prima interacție intre cele 2 macromolecule, observându-se că pot exista forme locale de poliplexci. După 5 ns se observă apariția unei conformatii mai stabile dar incomplet organizată, mediata de legături de hidrogen intermolecular, concomitent cu eliminarea unor molecule de apă. Pentru timpi mai mari decât 12 ns, structurile formate sunt bine definite, cu caracteristici

de poliplex optim, in virtutea interactiunii gruparilor protonate ale bPEI cu gruparile fosfat ionizate ale ambelor lanturi ale ADNdc. Se observa si o scadere a distantei intre centrii geometrici (COG), de la 40 Å la 25 Å, iar numarul de atomi ai moleculelor distincte, participanti la interacție, creste semnificativ (de la 0, pentru t = 1 ns, la 500, pentru t > 12 ns), fapt care conduce la formarea legaturilor de hidrogen intre atomii de hidrogen ai gruparilor aminice ale bPEI si atomii de oxigen din catenele de ANDdc.

Rezultatele simularii prin dinamica moleculara au elucidat mecanismul molecular al complexarii intre ADNdc si bPEI, aducand informatii necesare pentru proiectarea edificiilor moleculare ale vectorilor genici non-virali, pentru ca acestia sa devina capabili a impacheta, transporta si elibera gene in celulele tintite.

### **2.3. Studiul mecanismului de formare a poliplexelor prin complexarea ADNdc cu carrieri amfipatici, pe baza de polietilenimina**

Vectorul amfipatic continind (in medie) 3.7 molecule de bPEI cu masa moleculara de 2 kDa atasate unui ciclu siloxanic a fost sintetizat conform reactiilor prezentate in Schema 3. Figura 26 prezinta structura si conformatia vectorului amfipatic D4-PEI.

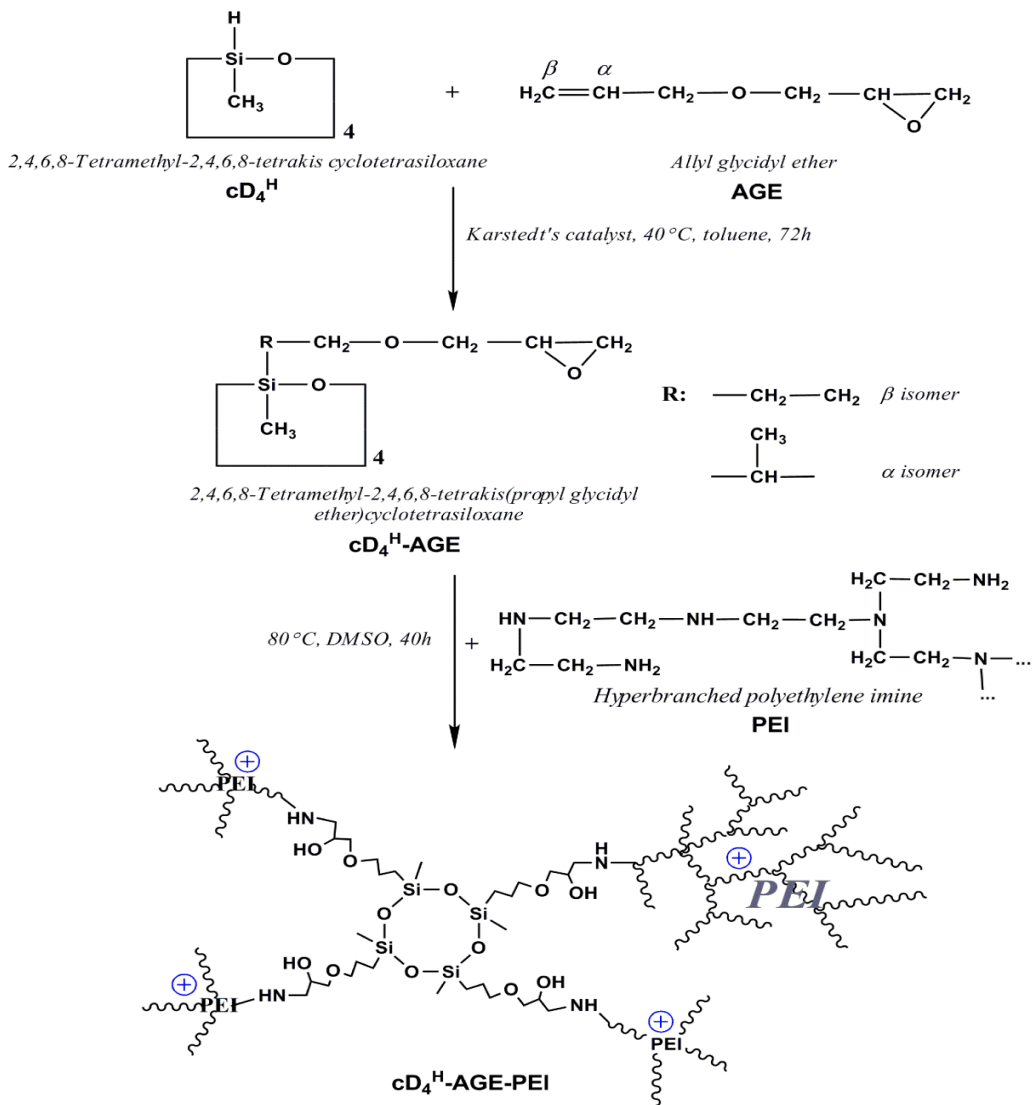


**Figura 26.** Structura moleculara optimizata a conjugatului cD4H-AGE-PEI, stabilita prin calcule semiempirice PM3.

Capacitatea de interacție ionica a conjugatului cD4H-AGE-PEI cu ADNdc (25 b), conformatia poliplexului local rezultat si comportamentul dinamic al partenerilor in mediul aproape, la pH fiziologic, au fost investigate prin tehnici ale chimiei computationale.

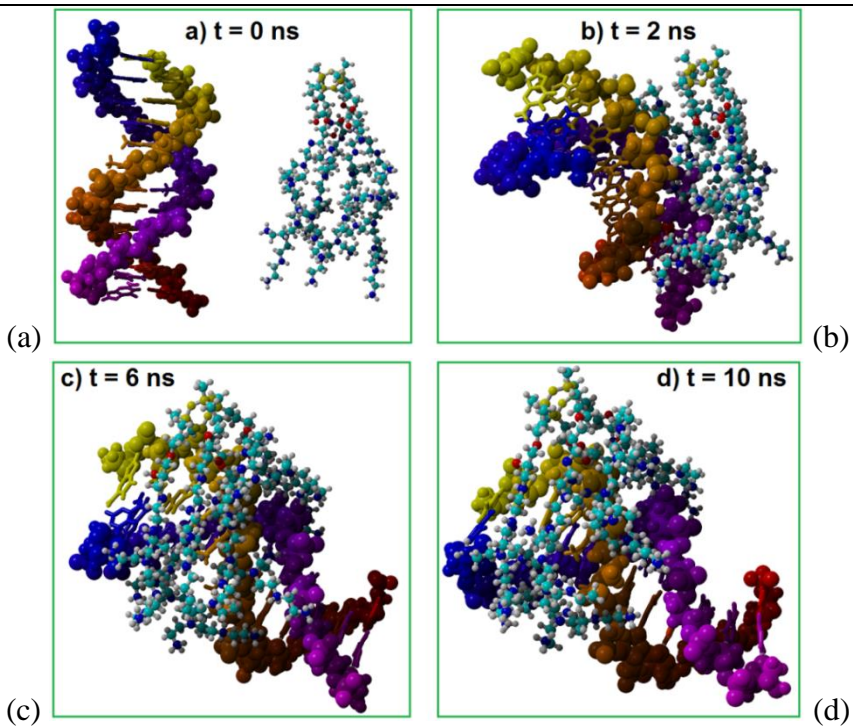
Primul pas in determinarea conformatiei poliplexului D4-PEI/ADNdc a constat in optimizarea geometriei moleculare a conjugatului D4-PEI, prin calcule semiempirice cuantice PM3, *in vacuo*. Conform rezultatelor calculelor PM3 (a se vedea Figura 26), D4-PEI apartine grupului punctual de simetrie C1, cu urmatoarele caracteristici: caldura de formare -1,029.2 kcal/mol, lungimea maxima 35.746 Å, zona accesibila pentru solvent 2,480 Å<sup>2</sup> si un dipol momentul apreciabil, de 8,30 Debyes.

Dinamica interactiunii intre D4-PEI si ADNdc a fost pusa in evidenta utilizand aplicatia software YASARA, destinata studiului (bio)macromoleculelor organice. Conform protocolului de simulare, ADNdc si D4-PEI au fost solvatate cu 32823 molecule de apa parametrizate TIP3P, in cesti de solvarate cu dimensiunile de 100 Å x 100 Å x 100 Å. Figura 27 prezinta instantanee selectate la diverse intervale de timp, pe calea de reactie dupa care se dezvolta interacția ADNdc (25 b) cu moleculea policationica amfipatica D4-PEI.



**Schema 3.** Reactiile de obtinere a vectorului non-viral amfipatic cationic, D4-PEI.

La momentul initial ( $t = 0$ ), ADN si carrier-ul sunt separate printr-o distanta de  $30.5 \text{ \AA}$  intre centrele lor geometrice (distanta COG). La timpul de simulare  $t = 2 \text{ ns}$ , distanta COG intermoleculara se reduce pana la  $14.32 \text{ \AA}$ , ca urmare a intercatiunii electrostatice, fapt care conduce la formarea unor structuri locale polplexice evidente. Pentru valori mai mari ai timpilor de simulare, structura polplexului se stabilizeaza progresiv. Potrivit calcululelor de dinamica moleculara, energia potentiala a sistemului incepe sa descreasca din chiar din primele momente ale intercatiunii, ajungand la o valoare foarte mica dupa  $t=10 \text{ ns}$ , cand are loc stabilizarea polplexului. Aceasta observatie sugereaza faptul ca formarea polplexului se deruleaza printr-un proces energetic favorabil. La timpi de simulare mai mari decat  $4 \text{ ns}$ , numarul de atomi intermoleculari ce participa in interactie variaza intre 500 si 611, conducand la formarea a mai mult de 8 legaturi de hidrogen intermolecular (corespunzatoare unei energii totale mai mari decat  $40 \text{ kcal/mol}$ ), care asigura o mai buna stabilitate a polplexului. Legaturile de hidrogen se formeaza intre grupurile aminice ale lanturilor bPEI si atomii de oxigen din catena ADNdc (in special cu O1P si O2P, iar sporadic cu O3\*).



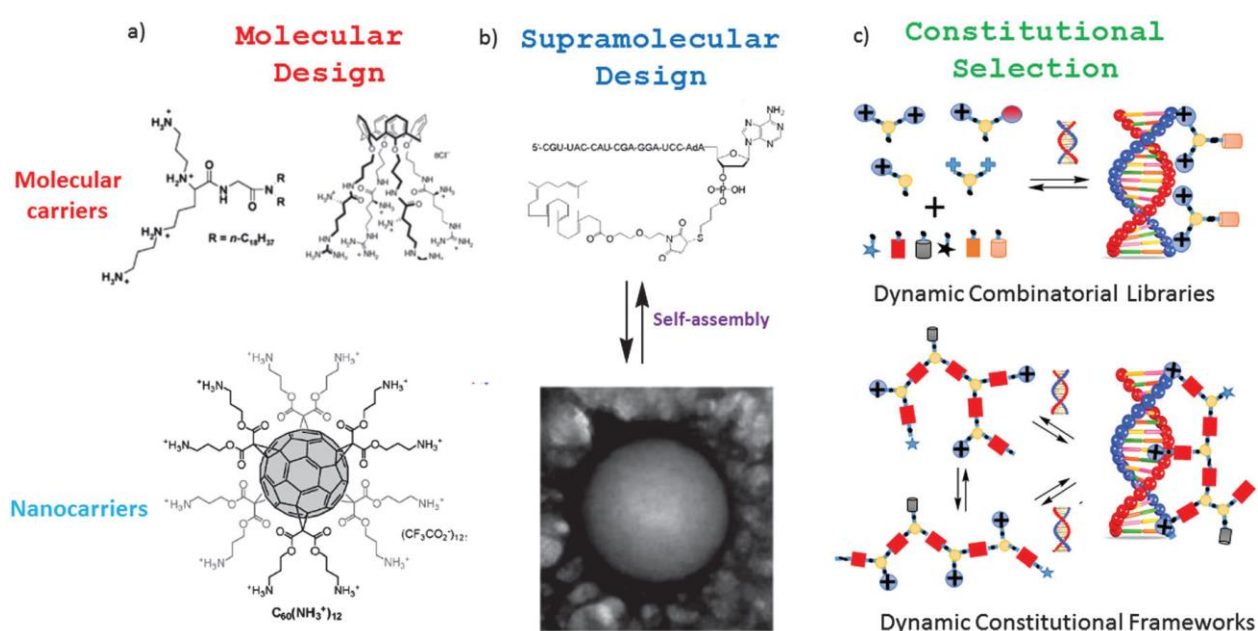
**Figura 27.** Instantanee selectate la diverse intervale de timp din calculul de dinamica moleculara, in cursul interactiei ADNdc cu carrierul amfipatic D4-PEI.

Din datele de simulare *in silico* [53] a rezultat faptul ca lanturile de bPEI sunt orientate inafara planului ciclului siloxanic, generandu-se astfel o structura amfipatica, hidrofila prin efectul cumulativ al lanturilor de PEI (care sunt capabile sa interactioneze cu acizii nucleici), respectiv local hidrofoba in virtutea ciclul siloxanic (ce tinde sa se izoleze steric de domeniile ionice). Coeficientul de partitie al D4-PEI, in stare neionizata, in amestec 1-octanol / apa, cuantificat prin valoarea LogP, reprezinta o masura a amfipatiei carrierului dar si a capacitatii polplexului de a traversa membranele lipidice. Valori pozitive ale LogP indica o solubilitate mai mare in faza non-apoasa, in timp ce cele negative indica o predilectie pentru medii apoase. Numai molecule amfifile avand volume moderate si valorile LogP in intervalul  $-2 \div -4$  au capacitatea de a penetra membranele celulare, in virtutea unui mecanism de difuzie pasiva (care nu implica endocitoza, sau transportul vectorizat). Moleculele care au valori LogP negative mai mari sunt puternic respinse, iar cele cu valori pozitive ale LogP sunt sechestrante in straturile lipidice. Valoarea LogP determinata experimental pentru conjugatul D4-PEI este de  $-1.902 \pm 0.06$ , definind carrierul sintetizat drept o molecule cu hidrofilie moderata, ce are capacitatea de a penetra barierele membranelor lipide prin mecanisme pasive. Avand in vedere numarul mare de grupari aminice protonabile ale PEI ramase libere dupa complexarea cu ADN, valoarea neasteptat de scazuta a LogP (care indica un raport de partitie de aproximativ 79 : 1 intre faza apoasa si non-apoasa, cand D4-PEI este in stare cvasi-protonata, la o valoare a pH de 10.8) poate fi asociata tendintei de segregare spatiala relativa a domeniilor hidrofile si hidrofobe ale carrierului amfipatic, domenii care nu se impiedica steric reciproc. Aceasta ipoteza a fost confirmata si prin calcule de chimie cuantica.

Concluzia studiului de dinamica moleculara in cursul interactiei ADNdc cu carrierul amfipatic D4-PEI este aceea ca, prin structura sa chimica si prin conformatia sa spatiala, carrierul dezvoltat in cadrul proiectului reprezinta un vector genic cu certa eficienta in transfectie. Structura si functionalitatea sa pot fi insa imbunatatite prin atasarea de tronsoane proteice cu rol in recunoasterea tintelor celulare (inclusiv anticorpi), dar si cu rol de facilitare a penetrarii membranelor (*cell penetrating peptides*).

## 2.4. Studiul posibilitatilor de realizare a unor vectori genici formati extemporaneu, prin autoasamblare dinamica in prezența ADN

In etapele anterioare ale proiectului PN-II-ID-PCCE-2011-2-0028 s-au raportat, rezultatele sintezei de carrieri si ale generarii de poliplexi recurgand la vectori non-virali sintetizati in prealabil (Figura 28.a) [50, 54], rezultati prin asamblare supramoleculara (Figura 28.b) [55], sau rezultati in urma rearanjajrilor prin mecanisme ale chimiei dinamice combinatoriale (Figura 28.c) [56].

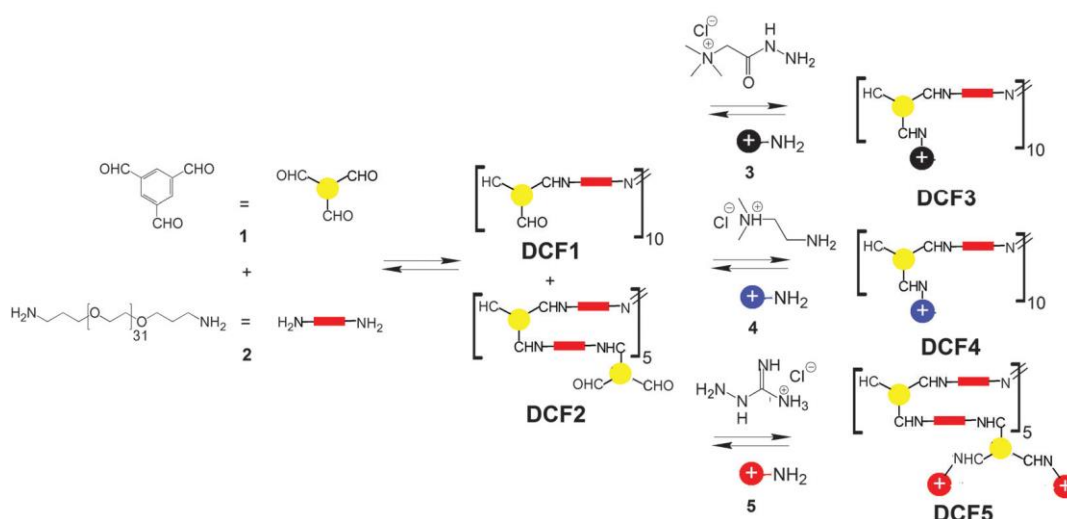


**Figura 28.** Variante de generare a cargocomplecsilor recurgand la carrieri moleculari (a si b) si la nanosisteme cu autoasamblare (c).

In cadrul etapei 2015 a proiectului s-a studiat posibilitatea de formare a unor structuri poliplexe prin rearanjarea componentelor mic-moleculare aflate in sistem, in functie de natura acestora (structura lor chimica) si de conditiile de reactie (temperatura, concentratie, natura solventilor etc.).

In functie de natura si functionalitatea componentelor aflate in sistem, chimia dinamica constitutionala creaza oportunitatea autoasamblarii dinamice a acestora, la solicitarea partenerilor macromoleculari. Se pot obtine astfel combinatii liniare si/sau retele de componente interconectate (reticulate) reversibil prin conectori unitari (molecule de sine statatoare). Acestea din urma pot contine grupari functionale cu activitate sinergica in promovarea interactiilor cu acizii nuceici, dar si cu membranele celulare.

Prezentul studiu aplica noul concept DCFs (Dynamic Constitutional Frameworks) pentru recunoasterea ADN. In acest sens, s-au utilizat macromonomeri PEG liniari, trialdehyde (cu rol de conector) si molecule ionizate pozitiv, pentru crearea unui sistem cu asamblare dinamica, apt a recunoaste particularitatile compozitionale si conformatiile ale acizilor nucleici. Schema 4 prezinta conceptul generarii prin asamblare dinamica a unor structuri covalente pozitiv ionizate, apte a interactiona electrostatic cu acizii nucleici.



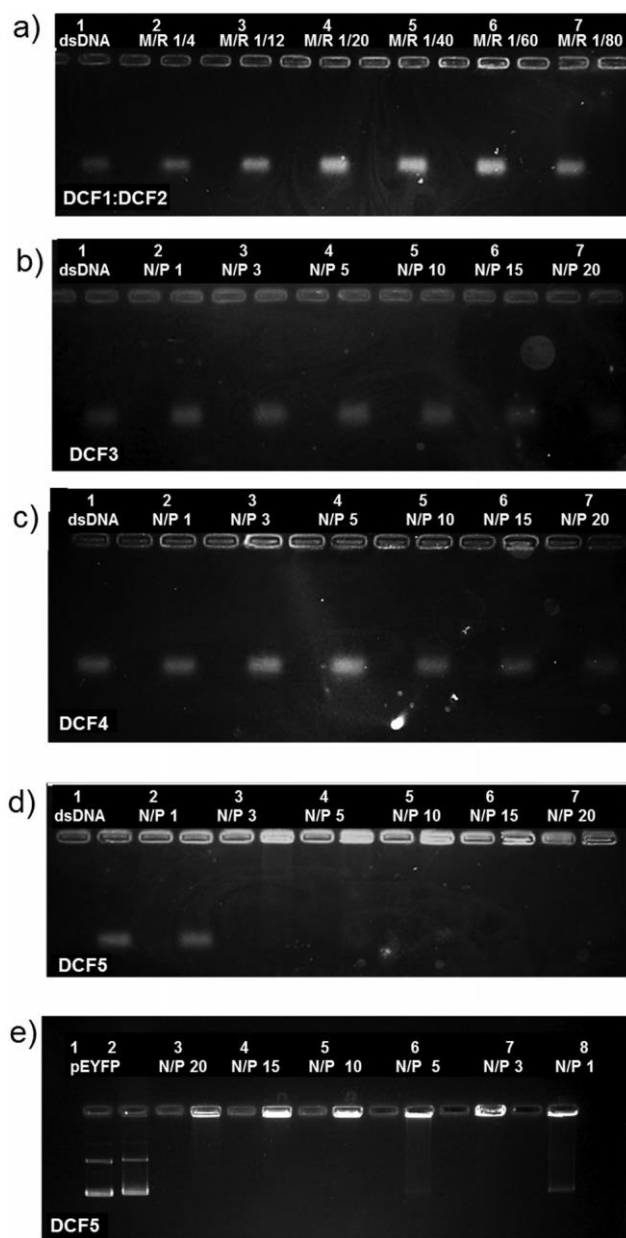
**Schema 4.** Tehnica si etapele sintezei DCFs.

Combinarea PEG (dreptunghiul rosu) prin intermediul 1,3,5 benzen-trialdehidei (cercul galben) conduce la formarea  $DCF1/DCF2 = 1/1$  (mol : mol).

Interactia ulterioara cu un amestec de compusi cu grupari terminale incarcate pozitiv (reactiv Girard T, N,N-dimetil-etinen-amina protonata, sau cu clorhidrat de aminoguanidina) generaza sistemele  $DCF3 \div DCF5$ , capabile sa recunoasca ADN-ul.

Capacitatea sistemelor  $DCF1 \div DCF5$  de a leaga ADN a fost evaluata prin monitorizarea mobilitatii electroforetice a ADN-ului dublu catenar (din sperma de somon, cu circa 200 baze azotate) si plasmidic (plasmida EYFP), la electroforeza pe gel, din solutii apoase cu diferite rapoarte N/P, in prezenta respectivelor sisteme cationice. In acest scop s-au preparat solutii tamponate, la rapoartele N/P de 1, 3, 5, 10, 15 si 20, obtinute prin amestecarea ADN-ului cu cantitati adecvate de  $DCF1 : DCF2$  (control negativ),  $DCF3$ ,  $DCF4$  si  $DCF5$ . Respectivele solutii au fost apoi incarcate in godeurile gelului. Figura 29 reda rezultatul testului de migrare / complexare a ADN-ului in gelul de agaroză. Controlul negativ nu a relevat retentia ADNdc (Figura 29.a), in timp ce  $DCF3$  si  $DCF4$ , in prezenta de ADNdc, au prezentat capacitate de legare diferita, functie de raportul N/P (Figura 29.b si 29.c), dar pentru nici un raport testat nu au prezentat capacitate totala de legare a ADN-ului.  $DCF5$  a asigurat retinerea neta a ADNdc incepand cu raportul  $N/P = 3$  (Figura 29.d, banda de migrare 3), demonstrand astfel interactiunea puternica intre fragmentul molecular de guanidiniu si ADNdc. Avand in vedere faptul ca sistemul  $DCF5$  a prezentat cea mai buna actiune de complexare a ADN-ului dublu catenar, s-a decis testarea sa si in raport cu ADN-ul plasmidic (EYFP, 4500 bp). Si in acest caz, s-a constatat ca pentru rapoarte N/P mai mari de 1, sistemul  $DCF5$  este capabil a complexa plasmida (Figura 29.e).

Studiul realizat in etapa 2015 a proiectului PN-II-ID-PCCE-2011-2-0028 a demonstrat faptul ca, chiar la rapoarte N/P mici, legarea ADNdc este mult mai eficace atunci cand in structura DCF se regasesc grupari guanidinice (la un raport impresionant de mic, inferior echimolaritatii, respectiv  $N/P < 1$ ). Sistemele cu grupari amoniu ( $DCF3$ ,  $DCF4$ ) nu asigura complexari satisfacatoare. Structura  $DCF5$  poate fi asimilita cu structura histonelor, care reprezinta modelul perfect de entitate moleculara capabila a impacheta ADN-ul. Simplitatea strategiei de sinteza propusa pentru realizarea sistemului  $DCF5$  (cea care a fost capabila sa autogenereze retele constitutionale dinamice in prezenta ADN) reprezinta o alternativa viabila pentru aplicarea sistemelor dinamice in terapia genica.



**Figura 29.** Cromatogramele obtinute la separarea electroforetica in gel a:

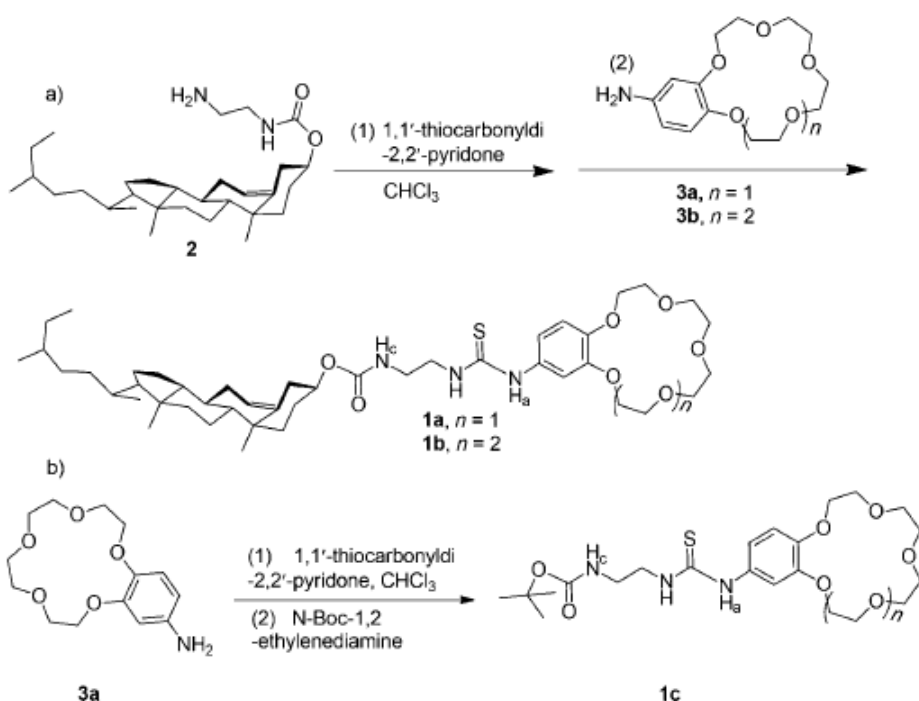
(a) DCF1 : DCF2 (control negativ); (b) DCF3/ADNdc; (c) DCF4/ADNdc;  
 (d) DCF5/ADNdc; (e) DCF5/pEYFP. Cantitatile de ADNdc si de pEYFP au fost mentinute  
 constante in toate experimentele si utilizate drept referinta in banda 1.  
 $DCF1 : DCF2 / DNAdc = 1/4, 1/12, 1/20, 1/40, 1/60, 1/80$  (benzile 2 ÷ 7).  
 In cazul DCF3÷5:  $N/P = 1, 3, 5, 10, 15$  (benzile 2 ÷ 7).

## 2.5. Studiul sistemelor destinate facilitarii transfectiei mediate de vectorii genici non-virali, prin intermediul canalelor ionice

Canalele ionice artificiale selective pentru  $K^+$ , pe baza colesterol si eter coroana, reprezinta unul dintre sistemele care mimeaza caile la care celulele apeleaza pentru asigurarea transportului transmembranar al compusilor mic-moleculari, inclusiv al contraionilor cu care biomacromoleculele se antureaza intracitoplasmatic. In procesele de echilibrare compozitionala a citosolului, celulele transfectate necesita

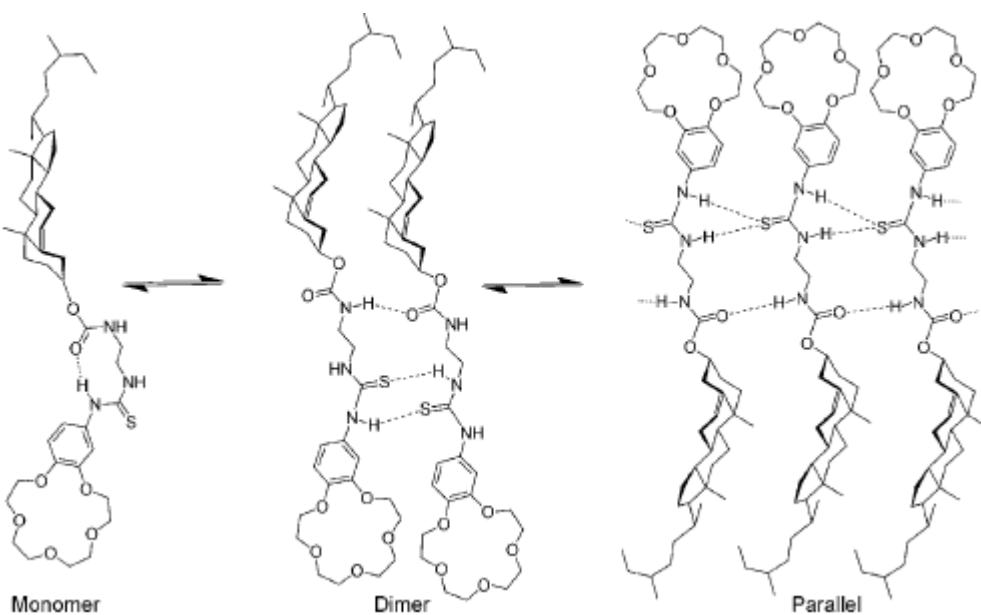
importul unor electroliti din mediul extracelular, asa cum este si matricea ce gazduieste temporar cargocomplecsii transfectanti. Studiul unor sisteme artificiale destinate facilitarii transportului de masa prin membrane lipidice ofera informatii utile pentru proiectarea compozitionala a matricelor gazda.

Schimbul de ioni prin membrana lipidica este o conditie prealabila pentru multe procese fiziologice [57, 58]. Canalele ionice naturale joaca un rol semnificativ in sprijinirea metabolismul celulelor vii, si disfunctia lor poate duce la o serie de boli, chiar la moarte. Intre canale ionice, canalul KCSA K<sup>+</sup> este foarte selectiv pentru cationii de K<sup>+</sup>. Abordari biomimetice au fost folosite pentru a dezvolta canale artificiale supramoleculare, cu speranta de a ajunge la selectivitatea ridicata similara canalului KCSA [59-67]. In studiul nostru [68] am proiectat si sintetizat o serie de compusi pe baza de eteri coroana si colesterol-tioureido-etylamilida, capabili sa se autoasambleze in canale ionice robuste, cu o selectivitate extrem de ridicata pentru K<sup>+</sup>, apropiata de cea a canalelor naturale. Schema 5 prezinta reactiile implicate in sinteza precursorilor.



**Schema 5. Sinteza compusilor:** a) colesterol tioureidoetylamilida-15-eter coroana-5 (1a), si colesterol tioureidoetylamilida-18-eter coroana-6 (1b);  
b) compusul de referinta tert-butiltioureidoetylamilida-15-eter coroana-5 (1c).

Compusii sintetizati pe baza de tioureido-etylamilida, eter coroana si colesterol formeaza, prin legaturi de hidrogen, asamblari de tip canal cu eterii coroana, aranjate foarte aproape una de alta si indreptate spre centrul canalului, generand astfel filtrele cu selectivitate ionica (Figura 30). Resturile de colesterol au, pe de o parte, scopul de a stabiliza canalele ionice, iar pe de alta, de a actiona in calitate de „brate” de ancorare, inducand difuzivitate scazuta si preorganizarea macrocyclurilor in straturile lipidice.



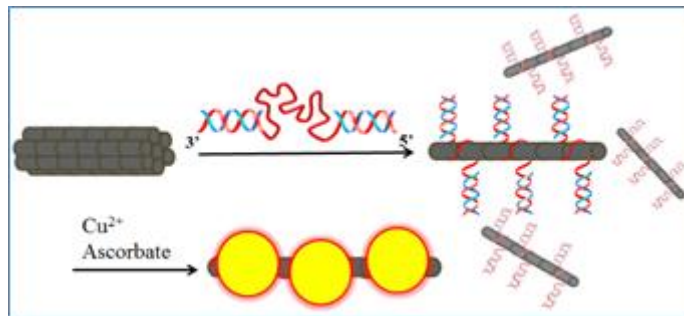
**Figura 30.** Echilibrele dependente de concentratie intre legaturile de hidrogen intramoleculare din structura monomerului si legaturile de hidrogen intermoleculare stabilite la nivelul dimerului si oligomerilor.

Rezultatele obtinute au aratat ca anumiti compusi sintetizati sunt complet inactivi fata de cationii de  $\text{Li}^+$ ,  $\text{Na}^+$  si  $\text{Cs}^+$ , dar extrem de activi fata de cationii de  $\text{K}^+$  si slab activi fata de cationii de  $\text{Rb}^+$ . Rezultatele obtinute conduc la concluzia ca selectivitatea ridicata a canalelor ionice artificiale pe baza de colesteril-tioureido eter coroana pentru  $\text{K}^+$  este similara cu cea a canalului KCSA  $\text{K}^+$ . Experimentele de transport de ioni arata ca aceste structuri supramoleculare formeaza asamblari de tip membrana, cu evidenta conductibilitate cationica. Macrociclurile indreptate inspre partea hidrofila a canalului faciliteaza transportul cationilor, permitand controlul selectiv al transportului ionilor  $\text{K}^+$ , fapt rareori observat in sisteme artificiale cu auto-asamblare.

## 2.6. Studiul sistemelor destinate facilitarii transfectiei mediate de vectorii genici non-virali, prin retinerea ADN liber in maticele gazda

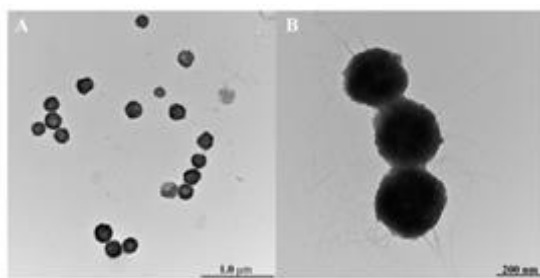
In situatiile in care cargocomplecsii largheaza ADN-ul pe care il transporta, se impune ca in matricele gazda sa fie prezente sisteme capabile a captura local acizii nucleici. O astfel de actiune poate fi asigurata de nanotuburile de carbon „decorate” cu nanoparticule metalice. In acest sens, in cadrul etapei 2015 s-a derulat un studiu asupra asistarii asocierii ADN cu entitati nanoparticulate.

O serie de nanoparticule hibride, generate prin „decorarea” nanotuburilor de carbon (SWCNT) cu nanoparticule metalice, in special ale metalelor tranzitionale, au aplicatii in spectroscopia Raman de suprafata amplificata, in special in imagistica RAMAN a probelor biologice [69]. In studiul intreprins [70] a fost dezvoltata o metoda noua si simpla pentru dispersarea, mediata de ADN, si decorarea SWNTs cu nanoparticule de cupru, in solutie tampon. Metoda exploateaza concentratiile scazute de  $\text{Cu}^{2+}$  si ascorbat de sodiu ca agent reducator. Metoda recurge la sevante ADN sintetice monocatenare pentru dispersarea necovalenta a SWNT si domenii de ADN dublu catenar, in calitate de substrat pentru cresterea nanoparticulelor de cupru. Schema 6 descrie tehnica de dispersare elaborata.



**Schema 6.** Dispersarea nanotuburilor de carbon de catre ADN ce contine regiuni de ADN monocatenar si domenii scurte de ADN dublu catenar, pentru formarea de nanoparticole de cupru in solutie.

In conditii experimentale blande, suprafata SWNT ramane in mare masura neperturbata, mentinand proprietatile specifice ale nanotuburilor de start. Imagistica TEM a demonstrat formarea de SWNTs decorate cu nanoparticule de cupru uniforme dimensional (diametrul echivalent mediu de 309 nm), obtinute aplicand strategia de doispersare propusa in Schema 6. Figura 31 prezinta alcatuirea si dimensiunile nanoparticulelor generate.



**Figura 31.** Imagini TEM ale nanoparticulelor hibride CuNP/SWNTs.

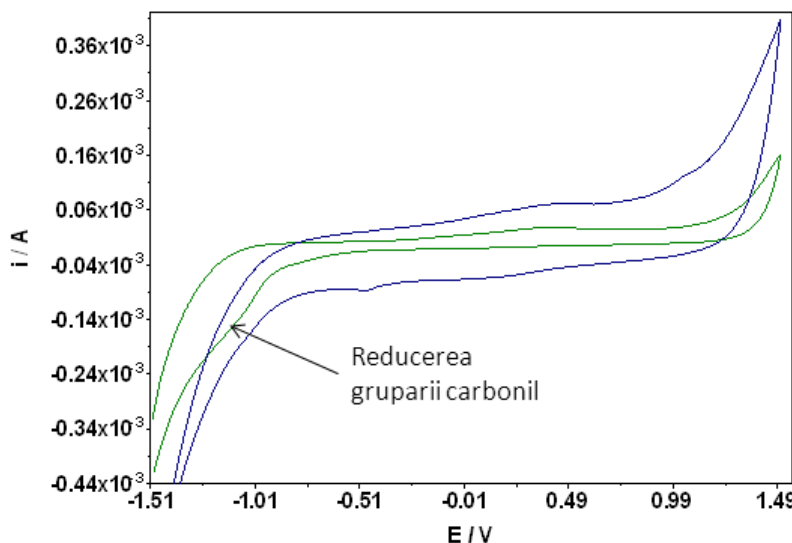
- (A) Pozitionarea CuNPs de-a lungul unuia sau mai multor SWCNT individuale.
- (B) Zoom in imaginea unui hibrid CuNP/SWNTs care releva mai multe nanotuburi acoperite cu CuNPs.

Rezultatele obtinute probeaza faptul ca metoda propusa evita modificarea chimica a SWNTs, mentinand performantele mecanice si electronice ale nanotuburilor. Aplicarea hibrizilor SWNT-cupru in imagistica Raman a celulelor vii este, in prezent, in curs de investigare.

### **Obiectivul 3. ELABORAREA UNOR PROTOCOALE DE TESTARE ELECTROCHIMICA A SISTEMELOR LA NANOSCARA, UTILE IN TRANSFECTIE**

Formarea structurilor autoasamblate de tip micelar, precum si atasarea AND-ului la suprafata miclelor pot fi evaluate prin tehnici electrochimice, evidențiind disparitia picurilor caracteristice anumitor grupari functionale ale precursorilor utilizati si/sau aparitia altora noi, specifice complexului format. In acest sens, in cadrul proiectului, s-au utilizat tehnici de voltametrie ciclica pentru a evalua formarea structurilor micelare avand la suprafata aminoguanidina legata de un compus organic trifunctional (benztrialdehida). Primul impediment intampinat a fost solubilitatea scazuta a benztrialdehidei in apa; pentru a-l depasi si pentru a conduce experimentele in solutii apoase, activitatea electrochimica a acestui compus a fost evaluata prin depunerea benztrialdehidei, prin evaporare din acetonitril, pe suprafata electrodului de lucru. Masuratorile au fost apoi realizate in mediu acid ( $H_2SO_4$  50 mM).

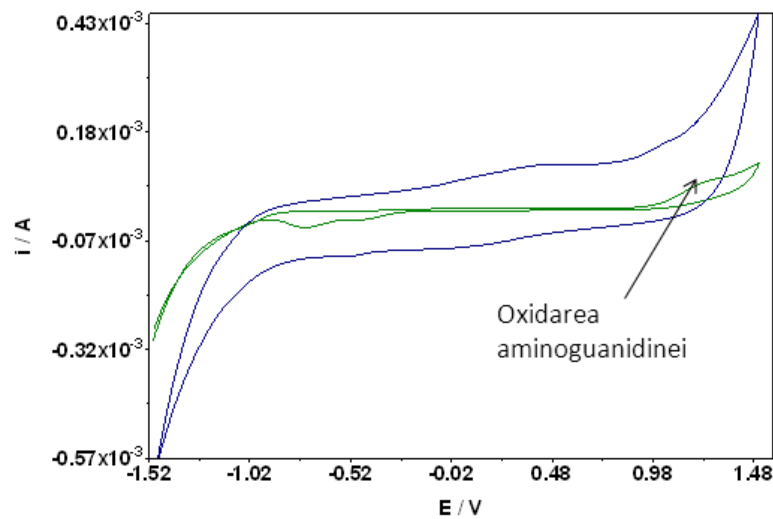
Figura 32 prezinta compararea voltamogramelor obtinute pentru benztrialdehida si structurile micelare. Conversia electrochimica a gruparii carbonil la alcoolul primar corespunzator conduce, in mediu acid, la aparitia picului de reducere, la un potential de circa -1 V. Inexistenta acestui pic de reducere in cazul structurii micelare indica faptul ca structura nativa a benztrialdehei a fost afectata prin atasarea aminoguanidinei.



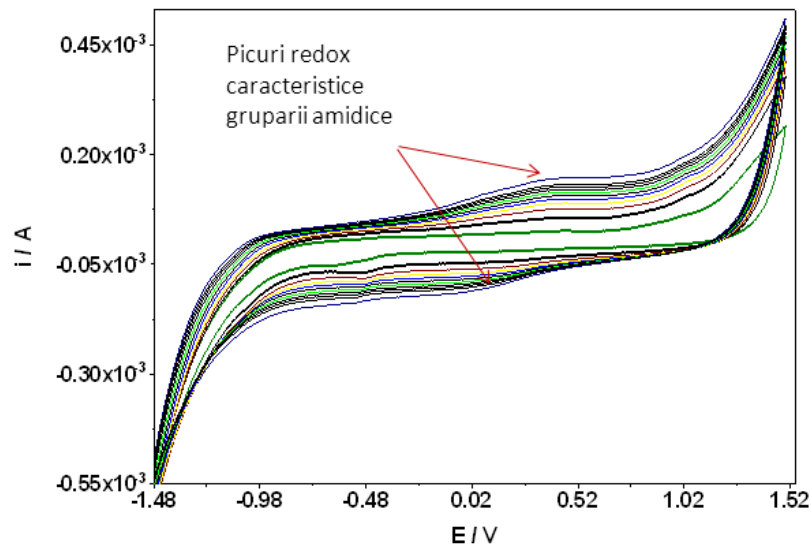
**Figura 32.** Voltametrie ciclica in  $H_2SO_4$  50 mM pentru benztrialdehida (linia verde) si structurile micelare (linia albastra).

Figura 33 ilustreaza comparativ comportamentul electrochimic al aminoguanidi-nei si pe cel al structurii micelare. Se constata ca picul de oxidare care apare la 1.17 V, characteristic aminoguanidinei, nu se regaseste in voltamograma ciclica a miclelor, confirmand implicarea acesteia in legaturile amidice cu benztrialdehida.

Curentul capacativ crescut, observat in cazul miclelor prin comparatie cu al celor doi precursori individuali, indica marirea accentuata a suprafetei efective a electrodului, prin depunerea miclelor sub forma de film. Cresterea acestui curent odata cu numarul de scanari este prezentata in Figura 34, indicand obtinerea unei morfologii diferite prin acumularea respectivelor micle, incarcate pozitiv, la suprafata electrodului.



**Figura 33.** Voltametrie ciclica in  $H_2SO_4$  50 mM pentru aminoguanidina (linia verde) si structurile micelare (linia albastra).



**Figura 34.** Stabilitatea electrochimica a miclelor in  $H_2SO_4$  50 mM.

## **Obiectivul 4. REALIZAREA DE MATRICE MACROMOLECULARE BIOMIMETICE, ACTIVE IN TRANSFECTIE**

In cadrul celui de-al patrulea obiectiv al etapei s-au initiat studii preliminare privind activitati aferente anului 2016. Astfel, au fost abordate doua tematici legate de inzestrarea matricelor macromoleculare cu abilitatea de a raspunde unor stimuli (factori de influenta uzuali) ce variaza in plaje fiziologice.

### **4.1. Realizarea si caracterizarea de nanoparticule sensibile la pH / temperatura, pe baza de derivati de pullulan amfifili cationici**

Polizaharidele solubile in apa au multiple aplicatii, care deriva din proprietatile lor remarcabile, cum ar fi biocompatibilitatea, biodegradabilitatea si lipsa de toxicitate. Recent, naoparticulele polimerice pe baza de polizaharide naturale au intrat in etapa de testare clinica pentru vectorizarea (vehicularea spre celule tinta) si eliberarea controlata a speciilor farmacologice. In acest spirit, in cadrul etapei 2015 au fost conceputi si preparati derivati noi ai pullulanului, cu proprietati amfifile si grupe cationice, cu lanturi alchilice scurte si functii cationice situate pe acelasi lant pendant. Au fost investigate proprietatile de autoasamblare ale derivatilor de pullulan in solutie apoasa, cu scopul de a evalua capacitatea de a genera sisteme de nanoparticule cu abilitati de vectorizare a speciilor biomacromoleculare, inclusiv a acizilor nucleici.

Pullulanul a fost modificat cu dimetilaminopropilamina, folosind carbonildiimidazol ca agent de cuplare. Derivatii de pullulan amfifili cu caracter cationic au fost caracterizati prin FTIR,  $^1\text{H}$  si  $^{13}\text{C}$ -RMN, analiza elementala si titrare conductometrica. Procesul de auto-asamblare ale polielectrolitilor amfifili a fost studiat prin fluorescenza si masuratori de vascozitate, in functie de gradul de substituire (DS) a gruparilor –OH cu grupari alchilice cationice. S-a demonstrat ca intotdeauna concentratia critica micelara (CCM) descreste cu cresterea gradului de substitutie. De asemenea, directa proportionalitate intre vascozitate si concentratia polimerului este una dintre caracteristicile derivatilor cu valori mici ale gradului de substituire. Cresterea continutului de grupari pendante induce agregarea in doua etape, demonstrand coexistenta legaturilor de hidrogen intermolecularare (atribuite gruparilor –NHCO– si –OH situate de-a lungul lantului macromolecular al pullulanului) si interactiunilor hidrofobe intra- si inter-moleculare intre fragmentele hidrofobe de tipul –CH<sub>2</sub>CH<sub>2</sub>CH<sub>2</sub>–. Rezultatele obtinute demonstreaza faptul ca derivatii de pullulan amfifili cationici pot ingloba molecule hidrofobe, ceea ce deschide posibilitatea utilizarii lor in domeniul vectorizarii si eliberarii acizilor nucleici.

### **4.2. Sinteza si caracterizarea de copolimeri de N-izopropil-acrilamida si acid maleic, capabili de autoasamblare / disociere functie de pH si/sau temperatura, cu rol de nano-containere in aplicatii bio-medicale**

Intr-o alta serie de experimente s-au conceput si preparat copolimeri de N-izopropilacrilamida si acid maleic, poli(NIPAAm-*co*-MA), care reprezinta o clasa promitatoare de polimeri sensibili la doua tipuri de stimuli externi. Polimerii sensibili la stimuli au un cert potential in modularea caracteristicilor matricelor macromoleculare ce gazduiesc acizi nuceici. In particular, copolimerizarea NIPAAm cu MA confera polimerului atat sensibilitate la pH (datorita gruparilor –COOH din structura MA), cat si la variatii ale temperaturii (datorita unitatilor NIPAAm). In solutie apoasa, macromoleculele polimerului sensibil la stimuli trec din stare solubila in stare insolubila, functie de pH si temperatura. Astfel, macromoleculele liniare de poli(NIPAAm-*co*-MA), se autoasambleaza / disociaza dupa cum pH-ul si/sau temperatura se modifica, fapt care permite utilizarea lor drept nano-containere pentru aplicatii biomedicale.

## **Rezultatele stiintifice ale derularii etapei 2015 in cadrul proiectului PN-II-ID-PCCE-2011-2-0028**

### **Sinoptic:**

- lucrari stiintifice publicate: **19**;
- lucrari stiintifice acceptate pentru publicare: **4**;
- lucrari stiintifice publicate in periodice ale unor conferinte: **3**;
- lucrari stiintifice trimise spre publicare: **8**;
- participari la manifestari stiintifice: **22**;
- lucrari prezentate ca poster: **15**.
- sustinere teze de doctorat cu finantare partiala de la proiect:
  - Ioana Simionca – *Sinteza si caracterizarea unor materiale cu proprietati redox cu aplicatii in realizarea senzorilor electrochimici*
- actualizare pagina web: <http://www.intelcentru.ro/index-5-a.html>

### **Bibliografie 2015**

1. G. David, Gh. Fundoreanu, M. Pinteala, B. Minea, A. Dascalu, B. C. Simionescu, Polymer engineering for drug / gene delivery: from simple towards complex architectures and hybrid materials, *Pure Appl. Chem.*, **86** (11) 1621–1635, 2014.
2. S. O'Rourke, M. Keeney, A. Pandit, Non-viral polyplexes: Scaffold mediated delivery for gene therapy, *Progr. Polym. Sci.*, **35**, 441–458, 2010.
3. H. C. Lee, A. Singla, Y. Lee, Biomedical applications of collagen, *Int. J. Pharm.*, 221, 1-22, 2001.
4. A. Mitra, C. H. Lee, K. Cheng, Biomedical Applications and Tissue Engineering of collagen, *Advanced Drug Delivery*, 23, 445-469, 2014.
5. E. S. Place, N. D. Evans, M. M. Stevens. Complexity in biomaterials for tissue engineering, *Nat. Mater.*, 8, 457-470, 2009.
6. B. Dhandayuthapani, Y. Yoshida, T. Maekawa, D. S. Kumar, Polymeric Scaffolds in Tissue Engineering Application: A Review, *Int. J. Polym. Sci.*, ID 290602, 2011.
7. R.M. Capito, M. Spector, Collagen scaffolds for nonviral IGF-1 gene delivery in articular cartilage tissue engineering, *Gene Ther.*, 14(9), 721-732, 2007.
8. M. Vallet-Regí, J.M. González-Calbet, Calcium phosphates as substitution of bone tissues, *Prog. Solid State Chem.*, 32, 1-31, 2004.
9. P. Zhang, Z. Hong, T. Yu, X. Chen, X. Jing, „In vivo mineralization and osteogenesis of nanocomposite scaffold of poly(lactide-co-glycolide) and hydroxyapatite surface-grafted with poly (L-lactide)”, *Biomaterials*, 30, 58–70, 2009.
10. S. V. Dorozhkin, Nanodimensional and Nanocrystalline Calcium Orthophosphates, *Am. J. Biomed. Eng.*, 2(3), 48-97, 2012.
11. M. Sadat-Shojaei, M. T. Khorasani, E. Dinpanah-Khoshdargi, A. Jamshidi, Synthesis methods for nanosized hydroxyapatite with diverse structures, *Acta Biomater.*, 9, 7591-7621, 2013.
12. H. Zhou, J. Lee, Nanoscale hydroxyapatite particles for bone tissue engineering, *Acta Biomater.*, 7, 2769-2781, 2011.
13. P. Li, K. de Groot, Better bioactive ceramics through sol-gel process, *J. Sol-gel Sci. Technol.*, 2, 797-801, 1994.
14. M. N. Salimi, R. H. Bridson, L. M. Grover, G. A. Leeke, Effect of processing conditions on the formation of hydroxyapatite nanoparticles, *Powder Technol.*, 218, 109-118, 2012.
15. R. K. Roeder, G. L. Converse, H. Leng, W. Yue, Kinetic Effects on Hydroxyapatite Whiskers Synthesized by the Chelate decomposition Method, *J. Am. Ceram. Soc.*, 89 [7], 2096-2104, 2006.

16. V. M. Rusu, C. H. Nga, M. Wilkec, B. Tierscha, P. Fratzld, M. G. Peter, Size-controlled hydroxyapatite nanoparticles as self-organized organic–inorganic composite materials, *Biomaterials*, 26, 5414–5426, 2005.
17. M. Okada, T. Furuzono, Hydroxylapatite nanoparticles: fabrication methods and medical applications, *Sci. Technol. Adv. Mater.*, 13, 064103, 2012.
18. M. Sadat-Shojaei, M. T. Khorasani, E. Dinpanah-Khoshdargi, A. Jamshidi, Synthesis methods for nanosized hydroxyapatite with diverse structures, *Acta Biomaterialia*, 9, 7591–7621, 2013.
19. W. E. Klee, G. Engel, Infrared spectra of the phosphate ions in various apatites, *J. Inorg. Nucl. Chem.*, 32, 1837–1843, 1970.
20. A. Ślósarczy, Z. Paszkiewic, C. Paluszakiewicz, FTIR and XRD evaluation of carbonated hydroxyapatite powders synthesized by wet methods, *J. Mol. Struct.*, 744, 653–656, 2005.
21. T. S. S. Kumar, K. Madhumathi, Y. Rubaiya, M. Doble, Dual mode antibacterial activity of ion substituted calcium phosphate nanocarriers for bone infections, *Front. Bioeng. Biotechnol.*, 3, 59, 2015.
22. A. Chandrasekar, S. Sagadevan, A. Dakshnamoorthy, Synthesis and characterization of nano-hydroxyapatite (n-HAP) using the wet chemical technique, *Int. J. Phys. Sci.*, 8(32), 1639–1645, 2013.
23. David G, Cristea M, Balhui C, Timpu D, Doroftei F, Simionescu B. C., Effect of cross-linking methods on structure and properties of poly( $\epsilon$ -caprolactone) stabilized hydrogels containing biopolymers, *Biomacromolecules*, 13, 2263–2272, 2012.
24. B. C. Simionescu , A. Neamtu, C. Balhui, M. Danciu, D. Ivanov, G. David, Macroporous structures based on biodegradable polymers—candidates for biomedical application, *J. Biomed. Mater. Res.*, 101A, 2689–2698, 2013.
25. R. Diaconescu, B. C. Simionescu, G. David, Control and prediction of degradation of biopolymer based hydrogels with poly( $\epsilon$ -caprolactone) subunits, *Int. J. of Biol. Macromolec.*, 71, 147–154, 2014.
26. C. Balhui, G. David, M. Drobota, V. E. Musteata, Dielectric Characterization of Biopolymer/Poly( $\epsilon$ -Caprolactone) Hydrogels, *Int. J. Polym. Anal. Charact.*, 19 (3), 234–244, 2014.
27. S. Yamada, D. Heymann, J.-M. Bouler, G. Daculsi, Osteoclastic resorption of calcium phosphate ceramics with different hydroxyapatite/ $\beta$ -tricalcium phosphate ratios, *Biomaterials*, 18 (15), 1037–1041, 1997.
28. L. Bin, L. Deng-xing, Current Application of b-tricalcium Phosphate Composites in Orthopaedics, *Orthopaedic Surgery*, 4, 139–144, 2012.
29. Yu. A. Lazarev, A. V. Lazareva, Infrared spectra and structure of synthetic polytripeptides, *Biopolymers*, 17, 1197–1214, 1978.
30. D.O. Ellis, S. McGavin, The structure of collagen - an X-ray study, *J. Ultrastruct. Res.*, 32:191–211, 1970.
31. N.F. Mohd Nasir, M.G. Raha, N.A. Kadri, S.I. Sahidan, M.Rampado, C.A Azlan, The Study of Morphological Structure, Phase Structure and Molecular Structure of Collagen-PEO 600K Blends for Tissue Engineering Application, *Am. J. Biochem. & Biotech.*, 2 (5), 175–179, 2006.
32. W. Bi, R. Song, X. Meng, Z. Jiang, S. Li, T. Tang, In situ synthesis of silica gel nanowire/Na<sup>+</sup>-montmorillonite nanocomposites by the sol-gel route, *Nanotechnology*, 18, article id. 115620, 7 pag., 2007.
33. M. C. Corobea, I. Capek, R. Ianchis, D. Donescu, R. Somoghi, M. Ghiurea, C. L. Nistor, V. Purcar, L. O. Cintea, C. Radovici, G. Prodan, Silica nanowires obtained on clay mineral layers and their influence on mini-emulsion polymerisation, *Appl. Clay Sci.*, 95, 232–242, 2014.
34. A. J. Mieszawska, N. Fourligas, I. Georgakoudi, N. M. Ouhib, D. J. Belton, C. C. Perry, D. L. Kaplan, Osteoinductive silk–silica composite biomaterials for bone regeneration, *Biomaterials*, 31, 8902–8910, 2010.
35. P. Gouma, R. Xue, C.P. Goldbeck, P. Perrotta, C. Balázsi, Nano-hydroxyapatite - Cellulose acetate composites for growing of bone cells, *Mater. Sci. Eng. C*, 32, 607–612, 2012.
36. S. I. Voicu, A. Dobrica, S. Sava, A. Ivan, L. Naftanaila, Cationic surfactants-controlled geometry and dimensions of polymeric membrane pores, *J. Optoelectron. Adv. Mater.*, 14, 923–928, 2012.
37. ISO 10993-5:2009(E), Biological evaluation of medical devices - Part 5: Tests for *in vitro* cytotoxicity.
38. S. C. Rodrigues, C. L. Salgado, A. Sahu, M. P. Garcia, M. H. Fernandes, F. J. Monteiro, Preparation and characterization of collagen-nanohydroxyapatite biocomposite scaffolds by cryogelation method for bone tissue engineering applications, *J. Biomed. Mater. Res.*, A101, 1080–1094, 2013.
39. R. M. Blaese, K. W. Culver, A. D. Miller, C. S. Carter, T. Fleisher, M. Clerici, G. Shearer, L. Chang, Y. W. Chiang, P. Tolstoshev, J. J. Greenblatt, S. A. Rosenberg, H. Klein, M. Berger, C. A. Mullen, W. J. Ramsey, L.

- Muul, R. A. Morgan, W. F. Anderson, T Lymphocyte-Directed Gene Therapy for ADA- SCID: Initial Trial Results After 4 Years, *Science*, 1995, 270, 475-480.
40. M. E. Davis, Non-viral gene delivery systems, *Curr. Opin. Biotechnol.*, 2002, 13, 128-131.
  41. K. Wang, X. Yan, Y. Cui, Q. He, J. Li, Synthesis and in vitro behavior of multivalent cationic lipopeptide for DNA delivery and release in HeLa cells, *Bioconjugate Chem.*, 2007, 18, 1735-1738.
  42. X. Yan, J. Blacklock, J. Li, H. Mohwald, One-pot synthesis of polypeptide-gold nanoconjugates for in vitro gene transfection, *ACS Nano*, 2012, 6, 111-117.
  43. A. von Harpe, H. Petersen, Y. X. Li, T. Kissel, Characterization of commercially available and synthesized polyethylenimines for gene delivery, *J. Controlled Release*, 2000, 69, 309-322.
  44. G. J. M. Koper, R. C. van Duijvenbode, D. D. P. W. Stam, U. Steuerle, A. Borkovec, Synthesis and protonation behavior of comblike poly(ethyleneimine), *Macromolecules*, 2003, 36, 2500-2507.
  45. Y. Fukumoto, Y. Obata, K. Ishibashi, N. Tamura, I. Kikuchi, K. Aoyama, Y. Hattori, K. Tsuda, Y. Nakayama, N. Yamaguchi, Cost-effective gene transfection by DNA compaction at pH 4.0 using acidified, long shelf-life polyethylenimine, *Cytotechnology*, 2010, 62, 73-82.
  46. M. Wagner, A. C. Rinkenauer, A. Schallon, U. S. Schubert, Opposites attract: influence of the molar mass of branched poly(ethylene imine) on biophysical characteristics of siRNA-based polyplexes, *RSC Adv.*, 2013, 3, 12774-12785.
  47. Z. Y. Wang, J. Li, S. Cheong, U. Bhaskar, O. Akihiro, F. M. Zhang, J. S. Dordick, R. J. Linhardt, Response surface optimization of the heparosan N-deacetylation in producing bioengineered heparin, *J. Biotechnol.*, 2011, 156, 188-196.
  48. D. C. Montgomery, *Design and Analysis of Experiments*, John Wiley & Sons, New York, 2001.
  49. A. Witek-Krowiak, K. Chojnacka, D. Podstawczyk, A. Dawiec, K. Pokomeda, Application of response surface methodology and artificial neural network methods in modelling and optimization of biosorption process, *Bioresour. Technol.*, 2014, 160, 150-160.
  50. L. Clima, L. Ursu, C. Cojocaru, A. Rotaru, M. Barboiu, M. Pinteala, Experimental design, modeling and optimization of polyplex formation between DNA oligonucleotides and branched polyethylenimine, *Org. Biomol. Chem.*, 2015, 13, 9445-9456.
  51. M. A. Bezerra, R. E. Santelli, E. P. Oliveira, L. S. Villar, L. A. Escaleira, Response surface methodology (RSM) as a tool for optimization in analytical chemistry, *Talanta*, 2008, 76, 965-977.
  52. A. Karimi, P. Siarry, Global Simplex Optimization - A simple and efficient metaheuristic for continuous optimization, *Eng. Appl. Artif. Intel.*, 2012, 25, 48-55.
  53. C.M. Uritu, M. Calin, S. S. Maier, C. Cojocaru, A. Nicolescu, D. Peptanariu, D. Stan, M. Barboiu, M. Pinteala, *J. Mater. Chem. B*, 2015, 3, 2433-2446.
  54. C. M. Uritu, C. D. Varganici, L. Ursu, A. Coroaba, A. Nicolescu, A. I. Dascalu, D. Peptanariu, D. Stan, C. A. Constantinescu, V. Simion, M. Calin, S. S. Maier, M. Pinteala, M. Barboiu, Hybrid fullerene conjugates as vectors for DNA cell delivery, *J. Mater. Chem. B*, 2015, 3, 2433-2446.
  55. L. Clima, D. Peptanariu, M. Pinteala, A. Salic, M. Barboiu, DyNAvectors: dynamic constitutional vectors for adaptive DNA transfection, *Chem. Commun.*, DOI: 10.1039/x0xx00000x.
  56. I.-A. Turin-Moleavini, F. Doroftei, A. Coroaba, D. Peptanariu, M. Pinteala, A. Salic, M. Barboiu, Dynamic constitutional frameworks (DCFs) as nanovectors for cellular delivery of DNA, *Org. Biomol. Chem.*, 2015, 13, 9005-9011.
  57. S. M. Hurtley, Crossing the bilayer, *Science*, 2005, 310, 1451-1451.
  58. S. W. Kowalczyk, T. R. Blosser, C. Dekker, Biomimetic nanopores: learning from and about nature, *Trends Biotechnol.*, 2011, 29, 607-614.
  59. F. M. Ashcroft, From molecule to malady, *Nature*, 2006, 440, 440-447.
  60. R. S. Kass, The channelopathies: novel insights into molecular and genetic mechanisms of human disease, *J. Clin. Invest.*, 2005, 115, 1986-1989.
  61. P. Ball, Life's lessons in design, *Nature*, 2001, 409, 413-416.
  62. B. Bhushan, Biomimetics: Lessons from nature – An overview, *Philos. Trans. R. Soc. A*, 2009, 367, 1445-1486.

63. N. Busschaert, P. A. Gale, Small molecule lipid bilayer anion transporters for biological applications, *Angew. Chem. Int. Ed.*, 2013, 52, 1374-1382.
64. N. Busschaert, P. A. Gale, Niedermolekulare transmembranäre Anionentransporter für biologische Anwendungen, *Angew. Chem.*, 2013, 125, 1414-1422.
65. P. A. Gale, From anion receptors to transporters, *Acc. Chem. Res.*, 2011, 44, 216-226.
66. N. Sakai, S. Matile, Synthetic Ion Channels, *Langmuir*, 2013, 29, 9031-9040.
67. P. Xin, P. Zhu, P. Su, J. L. Hou, Z. T. Li, Hydrogen-Bonded Helical Hydrazide Oligomers and Polymer That Mimic the Ion Transport of Gramicidin A, *J. Am. Chem. Soc.*, 2014, 136, 13078-13081.
68. Z. Sun, M. Barboiu, Y.M. Legrand, E. Petit, A. Rotaru, Highly Selective Artificial Cholesteryl Crown Ether K<sup>+</sup>-Channels, *Angew. Chem. Int. Ed.*, 2015, 54, 1-6.
69. X. Wang, C. Wang, L. Cheng, S. Lee, Z. Liu, Noble metal coated single-walled carbon nanotubes for applications in surface enhanced Raman scattering imaging and photothermal therapy, *J. Am. Chem. Soc.*, 2012, 134, 7414-7422.
70. E.L Ursu, L. Clima, C. Hejesen, A. Rotaru, M. Pinteala, DNA-mediated copper nanoparticle formation on dispersed single-walled carbon nanotubes, *Helvetica Chimica Acta*, 2015, 98, 1141-1146.

**3.12.2015**

**Director project,**

**Dr. Mariana Pinteala**